

АКАДЕМИЯ НАУК СОЮЗА ССР

# ЖУРНАЛ ФИЗИЧЕСКОЙ ХИМИИ

ТОМ  
XXIX

10

ВЫПУСК

ОКТАБРЬ  
1955

---

---

ИЗДАТЕЛЬСТВО АКАДЕМИИ НАУК СССР  
МОСКВА

# ЖУРНАЛ ФИЗИЧЕСКОЙ ХИМИИ

*Редакционная коллегия:*

В. Я. АНОСОВ, К. В. АСТАХОВ, А. И. БРОДСКИЙ, Г. К. БОРЕСКОВ,  
Я. И. ГЕРАСИМОВ, С. В. ГОРБАЧЕВ, Г. С. ЖДАНОВ, Н. А. ИЗГАРЫШЕВ,  
Л. А. НИКОЛАЕВ, Н. Н. СЕМЕНОВ, А. Н. ТЕРЕНИН, А. Н. ФРУМКИН,  
К. В. ЧМУТОВ

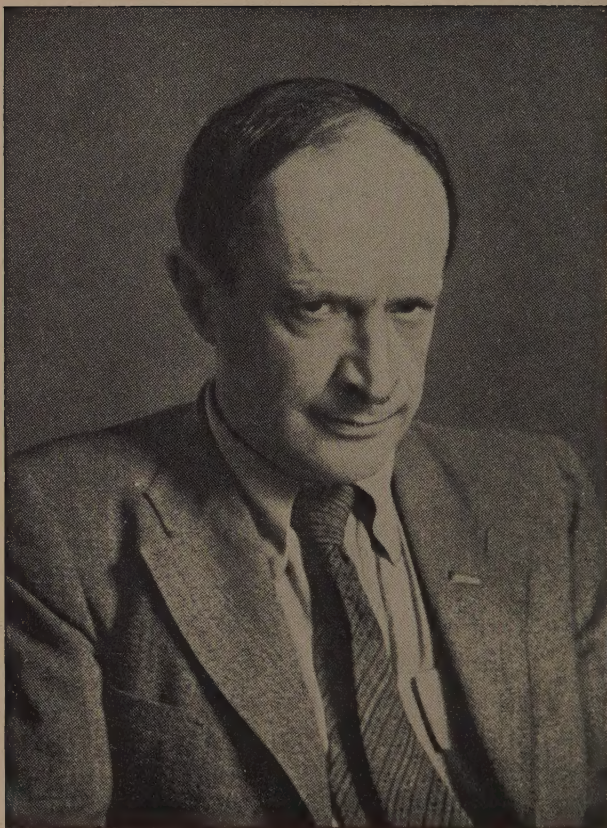
*Главный редактор* Я. И. ГЕРАСИМОВ

*Заместители главного редактора* С. В. ГОРБАЧЕВ, К. В. ЧМУТОВ

*Отв. секретарь* Л. А. НИКОЛАЕВ

PRINTED IN U.S.S.R.





АЛЕКСАНДР НАУМОВИЧ  
ФРУМКИН



*Редакция Журнала физической химии  
горячо приветствует и поздравляет академика*

*Александра Наумовича  
ФРУМКИНА,*

*выдающегося исследователя  
в области физической химии  
в день его 60-летия  
и желает ему здоровья и многих лет  
плодотворной работы*

## РАБОТЫ А. Н. ФРУМКИНА И ЕГО ШКОЛЫ В ОБЛАСТИ ПОВЕРХНОСТНЫХ ЯВЛЕНИЙ И КИНЕТИКИ ЭЛЕКТРОДНЫХ ПРОЦЕССОВ

*(К шестидесятилетию со дня рождения академика А. Н. Фрумкина)*

Александр Наумович Фрумкин — выдающийся советский физико-химик, основатель крупной школы в области поверхностных явлений и кинетики электродных процессов, работы которой оказали большое влияние на развитие этих разделов науки во всех странах.

Исследования А. Н. Фрумкина в этой области, развивающиеся на протяжении около сорока лет, во многом содействовали возникновению современных представлений о строении поверхностных слоев на границах раздела различных фаз и выяснению механизма процессов, протекающих в этих слоях. Работы А. Н. Фрумкина в значительной степени способствовали оформлению новой пограничной области физической химии — электрохимической кинетики, сделавшейся основой не только теории электродных потенциалов и химических источников тока, электролиза, коррозии металлов и полярографического анализа, но и важных разделов коллоидной химии, теории адсорбции и гетерогенного катализа.

Большой заслугой А. Н. Фрумкина и его школы является разработка ряда новых прецизионных методов электрохимических исследований и их разностороннее применение к изучению строения поверхностных слоев — двойных ионных слоев и адсорбционных слоев поверхностно-активных веществ на различных межфазных границах раздела. Таковы методы электрокапиллярных измерений в различных условиях, измерений скачков потенциала на границе водный раствор/воздух, потенциалов нулевого заряда различных металлов, измерения емкости двойного слоя и исследования кинетики электродных процессов при помощи переменного тока в широком интервале частот.

Работы А. Н. Фрумкина привели к установлению ряда соотношений между электрохимической кинетикой в поверхностном приэлектродном слое и в объеме раствора. Исследования школы А. Н. Фрумкина охватили и ряд других актуальных разделов физической химии — физико-химическую гидродинамику, учение о дисперсных системах, теорию адсорбции и катализа, радиационную химию.

Первые систематические исследования А. Н. Фрумкина (с 1916 г.) были посвящены общей теории поверхностных явлений и, в частности, выяснению ряда основных вопросов теории электрокапиллярности. Используя результаты экспериментальных работ французского физика Гуи по электрокапиллярным кривым и влиянию адсорбции различных поверхностно-активных молекул и ионов на форму этих кривых и собрав собственный обширный экспериментальный материал, А. Н. Фрумкин дал подробный критический анализ всех существующих данных и теоретических воззрений в этой области и впервые разработал полную термодинамическую теорию электрокапиллярных явлений. При этом он показал с исчерпывающей ясностью, что общее термодинамическое уравнение адсорбции Гиббса охватывает всю совокупность электрокапиллярных явлений. А. Н. Фрумкин впервые выдвинул и применил ряд строгих методов экспериментальной проверки как уравнения Гиббса, так и вытекающего из него уравнения Липпмана.



Важным результатом этих работ А. Н. Фрумкина явилось введение новой электрохимической характеристики металла — потенциала нулевого заряда его поверхности. Было показано, что этот потенциал, соответствующий отсутствию двойного слоя ионов на границе металл/электролит, зависит от природы дипольного растворителя и металла и что разность потенциалов нулевого заряда для различных металлов в первом приближении равна разности их контактных потенциалов. Таким образом была внесена ясность в наиболее запутанный вопрос электрохимии в соотношении электродвижущих сил гальванических цепей и контактных потенциалов в вакууме. Это направление работ было развито С. В. Карпачевым с сотрудниками для систем металл/расплавленный электролит.

Исследуя электрокапиллярные кривые по методу краевых углов смачивания в условиях трехфазной границы ртуть/водный раствор электролита/пузырек водорода (или капля неполярного масла), А. Н. Фрумкин пришел к выводу, важному для общей теории поверхностных явлений и дисперсных систем: было установлено, что в условиях неполного смачивания пузырек газа прилипает к поверхности ртути в водной среде с сохранением между газовой фазой и металлом тонкой устойчивой прослойки раствора электролита (Б. Н. Кабанов, А. В. Городецкая). Возникновение конечного краевого угла, как было показано прямыми опытами, происходит при этом таким образом, что прослойка жидкости между поверхностью твердого или жидкого металла и пузырьком газа, приближающимся к этой поверхности, становится при достаточно малой толщине неустойчивой и быстро (скачкообразно) утончается, прорываясь с сохранением тонкой устойчивой пленки; избыток жидкости остается в равновесии с этой пленкой в виде отдельных капелек, образующих тот же краевой угол. Эти работы легли в основу современных представлений о кинетике прилипания минеральных частиц к пузырькам воздуха в процессах пенной флотации и были широко использованы советскими исследователями в области теории флотационного обогащения полезных ископаемых. Эти работы привели также к выяснению механизма катодного обезжиривания металлических поверхностей. В соответствии с общей теорией было показано, что вблизи максимума электрокапиллярной кривой, т. е. при малых поверхностных плотностях заряда, металл плохо смачивается водой, что соответствует легкому прилипанию к нему пузырьков водорода или капелек масла (малополярной органической жидкости). При повышении заряда поверхности металла с понижением его поверхностного натяжения, например вдоль катодной ветви электрокапиллярной кривой, смачиваемость поверхности водной средой резко возрастает, т. е. краевой угол, образуемый пузырьком или капелькой масла, уменьшается до нуля, что соответствует при достаточно сильной катодной поляризации самопроизвольному отрыву капелек масла от заряжаемой поверхности, т. е. ее обезжириванию. Эти представления важны и для правильного понимания механизма элементарного акта основных коллоидно-химических процессов — коагуляции и коалесценции.

Продолжая классические исследования Ленгмюра о строении мономолекулярных слоев на поверхности вода/воздух вскоре после появления результатов этих исследований в печати, А. Н. Фрумкин предложил общее сравнение состояния таких слоев (а также адсорбционных слоев на поверхности растворов поверхностно-активных веществ) как двумерных реальных газов, введя впервые поверхностный аналог ван-дер-ваальсова сцепления.

Далее, А. Н. Фрумкин развил общую теорию влияния электрического поля на адсорбцию нейтральных молекул и специфически адсорбирующихся (поверхностно-активных) ионов (1926). Эта теория приводит к важному выводу о наличии резко выраженной области адсорбции нейтральных молекул вблизи максимума электрокапиллярной кривой (при малых плотностях заряда). Область эта ограничена потенциалами десорбции и за ее



пределами поверхностно-активные вещества не могут влиять на электрохимические процессы. Для поверхностно-активных катионов или анионов эта область распространяется вдоль анодной или соответственно катодной ветви кривой. Добавки поверхностно-активных веществ, например ингибиторов коррозии (растворения металлов), могут резко замедлять эти процессы в области, ограниченной потенциалами десорбции. Эти выводы имеют большое значение также и для процессов электроосаждения металлов (З. А. Иофа, М. А. Лощкарев, Т. А. Крюкова, Н. В. Николаева).

Изучая кинетику электродных процессов и прежде всего кинетику разряда ионов водорода на катоде, А. Н. Фрумкин впервые установил связь этой кинетики с особенностями строения ионного двойного слоя и развил теорию водородного перенапряжения (с 1932 г.), а также теорию течения других электродных процессов. Из этой теории следует, что скорость электрохимического процесса определяется скачком потенциала в плотной части двойного слоя и пропорциональна концентрации реагирующих частиц в этой части, а не в объеме раствора. А. Н. Фрумкин и его сотрудники (С. Д. Левина, З. А. Иофа, Б. Н. Кабанов, Я. М. Колотыркин, В. С. Багодкий, П. Д. Луковцев), собрав обширный экспериментальный материал по водородному перенапряжению разнообразных металлов в различных условиях, сделали большой шаг вперед по сравнению с работами Фольмера и других исследователей. Теория, развитая А. Н. Фрумкиным, является весьма общей и может применяться к таким случаям, когда лимитирующей является стадия разряда иона водорода (на металлах, практически не адсорбирующих водорода — ртуть, свинец), а также и к более сложным случаям металлов, сильно адсорбирующих водород (платина, палладий, никель, железо), когда отрыв водорода с поверхности катода также оказывается медленной стадией. При этом среди других методов тонкого исследования электродных процессов были разработаны и методы непосредственного измерения скорости разряда ионов при помощи переменного тока (В. В. Эршлер, П. И. Долин). Дальнейшее развитие работ в области электрохимической кинетики привело к выяснению механизма восстановления кислорода и перекиси водорода, что позволило, в частности, впервые реализовать обратимый и вполне воспроизводимый кислородно-перекисноводородный электрод (В. С. Багодкий, И. Е. Яблокова). В последние годы особенно подробно были изучены реакции электровосстановления анионов (Т. А. Крюкова, Г. М. Флорианович, Н. В. Николаева, С. И. Жданов, Т. В. Калиш), обнаруживающие ряд своеобразных черт, связанных с отталкиванием анионов поверхности катода и с особенностями химического поведения анионов в растворе. В последнее время для выяснения механизма электрохимических процессов А. Н. Фрумкин с сотрудниками широко применили меченые атомы (В. В. Лосев, Н. А. Балашова, М. А. Герович, Р. И. Каганович).

Представления, развитые А. Н. Фрумкиным в области кинетики электродных процессов, были применены им к исследованию механизма электрохимического растворения и коррозии, как в случае чистых металлов и металлов с однородной поверхностью (амальгамы), когда не имеет место пространственное разделение анодных и катодных участков, так и при наличии такого разделения (возникновения локальных элементов). В этих работах было показано, как из уравнений электрохимической кинетики может быть найдена скорость растворения корродирующего металла и величина его стационарного потенциала. Эти положения были использованы в ряде работ (Я. М. Колотыркин, Я. В. Дурдин) для изучения механизма растворения металлов в кислотах и щелочах и действия ингибиторов этих процессов, в частности при травлении железа (З. А. Иофа, П. А. Кузнецов). А. Н. Фрумкин и В. Г. Левич (1941) дали впервые полную картину распределения тока при растворении металлов в кислотах в простейшем случае наличия локальных элементов.



В связи с исследованием образования и строения двойного слоя ионов на металлах и на активированном угле были обнаружены и изучены явления, которые в дальнейшем получили название потенциалопределяющей адсорбции ионов (Б. П. Брунс, Р. Х. Бурштейн, А. Д. Обручева). Электрохимическими методами подробно изучено состояние поверхности платиновых электродов и электродов из других металлов (А. И. Шлыгин, Б. В. Эршлер, В. И. Веселовский, А. И. Федорова, Н. А. Аладжалова). При этом была показана роль адсорбированных газов в возникновении скачка потенциала и установлено явление перезарядки поверхности в зависимости от ее потенциала и покрытия кислородом. Вместе с тем было дано объяснение явлениям гидролитической адсорбции и изучено образование кислых и гидридных пленок на поверхности металлов. К этим работам примыкают исследования по теории пассивности металлов и природе пассивирующего слоя (Б. В. Эршлер, Б. Н. Кабанов, Р. Х. Бурштейн, Н. А. Пумилова). Было обнаружено новое явление пассивирующего действия малых количеств адсорбированного кислорода, покрывающего лишь часть поверхности (на платине и железе). Метод кривых заряжения, развитый А. И. Шлыгиным в связи с этим направлением исследований, был широко применен при изучении поверхности катализаторов. Исследования уравнения состояния адсорбированных газов на поверхности металлов электрохимическими методами явились началом ряда работ М. И. Темкина в области теории адсорбции и гетерогенного катализа.

Исследование строения двойного электрического слоя на поверхностях угля и платины позволило предсказать агрегативную устойчивость и поведение соответствующих суспензий и коллоидных растворов по их электрохимическим свойствам. Таким образом было предсказано и затем экспериментально установлено существование ранее неизвестных гидрозоль платины с положительно заряженными частицами (Н. А. Бах, Н. А. Балашова). В связи с этим Н. А. Бах и ее сотрудниками были проведены обширные прецизионные исследования электрофореза. Эти работы представляют крупный вклад в область современной коллоидной химии, граничащую с электрохимией поверхностных явлений.

Особое значение приобрело развитие школой А. Н. Фрумкина (М. А. Проскурнин, М. А. Ворсина, В. И. Мелик-Гайказян, Д. И. Лейкис) прецизионных методов измерения емкости двойного слоя на границе металл/электролит и их применение в весьма чистых условиях при исключении следов поверхностно-активных загрязнений. Это позволило получить правильные значения емкости, совпадающие с выводами из теории двойного слоя (1935), и выявить причину ряда ошибочных данных некоторых исследователей, работавших в этой области. Применение этих тонких методов дало новый прием для определения потенциалов нулевого заряда металлов, скорости адсорбции, механизма перезарядки коллоидов и обширный материал для развития теории диффузного двойного слоя.

А. Н. Фрумкин впервые провел систематические измерения эффекта Кенрика — скачка потенциала на границе вода/воздух в присутствии монослоев различной степени насыщения или растворимых в воде поверхностно-активных веществ в различной концентрации в сопоставлении с изотермой состояния слоя (двумерное давление — площадь на молекулу). Это привело к ряду ценных данных о строении адсорбционных слоев и мономолекулярных пленок и об ориентации молекул органических веществ в этих слоях. В последнее время развитие этих работ позволило выяснить особенности адсорбции молекул ароматических веществ на поверхностях металлов (М. А. Герович).

В течение ряда лет А. Н. Фрумкин и его сотрудники уделяли особое внимание разработке электрохимических основ проблемы химических источников тока и выяснению механизма протекающих в них процессов. Эта проблема имеет большое значение для ряда областей новой техники. Был выяснен ряд основных вопросов теории свинцового и железо-никелевого



(щелочного) аккумулятора (Б. Н. Кабанов, П. Д. Луковцев, С. Д. Левина), элементов воздушной деполяризации (З. А. Иофа, Р. Х. Бурштейн и др.) Были предложены также новые источники тока, в частности железно-угольный элемент (Р. Х. Бурштейн). Эти работы развиваются под общим научным руководством А. Н. Фрумкина и его сотрудников также и в ряде исследовательских институтов промышленности.

Кроме обычных «статических» электрокапиллярных явлений, А. Н. Фрумкин и его школой были подробно исследованы как с теоретической, так и с экспериментальной стороны в специально выбранных простых и чистых условиях, динамические электрокапиллярные явления при образовании новых поверхностей раздела или при движении этих поверхностей относительно раствора, например на капельном ртутном электроде. Эти работы объяснили механизм возникновения полярграфических максимумов и их депрессии под влиянием адсорбции поверхностно-активных веществ. Развитие теории таких динамических явлений позволило количественно объяснить аномально высокие скорости движения жидких капель в электрическом поле и установить зависимость скорости оседания капель от величины их заряда (Т. А. Крюкова, В. Г. Левич, И. А. Багоцкая). Эти работы привели к развитию В. Г. Левичем теории динамических поверхностных явлений. Им была разработана и общая теория диффузионной кинетики в растворах. Совокупность этих работ способствовала развитию новой пограничной области теории, получившей название физико-химической гидродинамики.

---

Представления, развитые А. Н. Фрумкиным, широко используются в современной электрохимии и в первую очередь советскими учеными (О. А. Есин, М. А. Лошкарев, Л. И. Антропов, С. В. Карпачев, Я. М. Колотыркин, В. И. Веселовский, Я. В. Дурдин и другие).

А. Н. Фрумкин в течение многих лет ведет большую организационную работу по развитию физической химии в нашей стране, принимая руководящее участие во всесоюзных физико-химических и электрохимических конференциях, в организации и работе Журнала физической химии и в его редактировании. А. Н. Фрумкин уделил много сил и внимания организации и развитию научных институтов — Физико-химического института им. Л. Я. Карпова и Коллоидно-электрохимического института, впоследствии Института физической химии Академии наук СССР, в котором он руководит отделом электрохимии. В Московском университете А. Н. Фрумкин возглавляет в течение 25 лет основанную им кафедру электрохимии. Он руководит Московским электрохимическим коллоквиумом, объединяющим широкие круги ученых и практиков.

Работы А. Н. Фрумкина получили высокую оценку Советского Правительства. За выдающиеся заслуги в области физической химии А. Н. Фрумкин награжден Орденом Ленина, тремя орденами Трудового Красного Знамени и медалями и трижды был удостоен Сталинской премии. В 1931 г. ему была присуждена премия им. Ленина, а в 1941 г. — Сталинская премия 1-й степени за работы по исследованию электрохимических процессов. В 1955 г. А. Н. Фрумкину с группой сотрудников была присуждена премия им. Баха за исследования по электровосстановлению анионов.

В настоящее время А. Н. Фрумкин ведет интенсивную научно-исследовательскую и педагогическую деятельность и находится в расцвете творческих сил. Есть все основания ожидать, что в ближайшие годы исследования А. Н. Фрумкина и его школы обогатят советскую науку и технику новыми ценными результатами.

*П. А. Ребиндер, П. И. Долин, В. Н. Кабанов*



# РАСЧЕТ ВЯЗКОСТИ СИЛИКАТНЫХ СТЕКОЛ В ИНТЕРВАЛЕ 10°—10<sup>3</sup> ПУАЗОВ

М. В. Охотин

Формулу Я. И. Френкеля зависимости вязкости от температуры:

$$\eta = ae^{u/RT}, \quad (1)$$

можно представить в виде:

$$\eta = ae^{b/T} \quad (2)$$

или в виде

$$\lg \eta = A + \frac{B}{T}, \quad (3)$$

где  $\eta$  — вязкость в пуазах,  $u$  — энергия активации,  $a$ ,  $b$ ,  $A$ ,  $B$  — постоянные.

При помощи этой формулы можно производить расчет температуры при постоянной вязкости по заданному составу натрий — кальций — магний алюмосиликатных стекол.

Значение постоянных  $A$  и  $B$  формулы (3) можно вычислить для силикатных стекол определенного химического состава, содержащих 3% MgO, по формулам (4) и (5):

$$A = ax + by + cz + d, \quad (4)$$

$$B = jx + gy + hz + i, \quad (5)$$

где  $a$ ,  $b$ ,  $c$ ,  $d$  и  $j$ ,  $g$ ,  $h$ ,  $i$  — коэффициенты, определяющие  $A$  и  $B$  в зависимости от химического состава стекла.  $x$  — процентное содержание в стекле Na<sub>2</sub>O,  $y$  — процентное содержание в стекле CaO + 3% MgO,  $z$  — процентное содержание в стекле Al<sub>2</sub>O<sub>3</sub>.

Значения коэффициентов  $a$ ,  $b$ ,  $c$ ,  $d$ ,  $j$ ,  $g$ ,  $h$ ,  $i$  приведены в табл. 1

Таблица 1

| Вязкость в пуазах                      | $a$   | $b$    | $c$   | $d$     | $e$     | $f$    | $g$    | $h$      | $i$ |
|--|-------|--------|-------|---------|---------|--------|--------|----------|-----|
| 10°, 10 <sup>2</sup> , 10 <sup>3</sup> | 0,588 | -0,588 | 0,183 | -18,888 | -422,58 | 645,58 | -99,87 | 18251,88 |     |

В табл. 5 (столбцы 4, 7, 10) температура вычислена с предложенной вторым поправкой в формуле (3):

$$T = T_1 + mx + ny + pz + r, \quad (6)$$

где  $T_1$  — температура, вычисленная по формуле (3);  $T$  — температура, вычисленная по формуле 3, с поправкой (6);  $m$ ,  $n$ ,  $p$ ,  $r$  — постоянные (см. табл. 2).  $x$ ,  $y$ ,  $z$  — соответственно процентное содержание в стекле Na<sub>2</sub>O, CaO + 3% MgO и Al<sub>2</sub>O<sub>3</sub>.

После обработки опытных данных по вязкости силикатных стекол вторым были получены поправки (табл. 3), определяющие изменение температуры при постоянной вязкости, которое получается при замене стекле 1% MgO на 1% CaO.

Если стекло содержит 3% MgO, температура находится по формуле (3) без поправок. При содержании в стекле больше или меньше 3% MgO расчет производится с поправками на содержание MgO из табл. 3.

Таблица 2

| Вязкость<br>в пуазах | <i>m</i> | <i>n</i> | <i>p</i> | <i>r</i> |
|----------------------|----------|----------|----------|----------|
| 10 <sup>8</sup>      | -14,09   | -1,88    | -0,87    | 238,08   |
| 10 <sup>9</sup>      | -12,99   | -3,08    | -0,5     | 230,03   |
| 10 <sup>10</sup>     | -11,75   | -2,28    | -0,12    | 202,91   |

Таблица 3

| Вязкость в пуазах  | 10°   | 10° | 10° |
|--|-------|-----|-----|
| Изменение температуры при замене в стекле 1% MgO на 1% CaO . . . . . | -1,4° | 0°  | 1°  |

Пример. Требуется определить температуру при вязкости 10<sup>8</sup> пуазов для заданного стекла следующего состава (в весовых процентах) SiO<sub>2</sub>—75, Na<sub>2</sub>O—16, Al<sub>2</sub>O<sub>3</sub>—1, CaO—7 и MgO—1. Возьмем в заданном стекле, вместо 1% MgO, 3%, а суммарное содержание CaO и MgO—прежнее (8%), т. е. возьмем исходное стекло состава (в процентах): SiO<sub>2</sub>—75, Na<sub>2</sub>O—16, Al<sub>2</sub>O<sub>3</sub>—1, CaO—5 и MgO—3. Для этого последнего стекла температура при вязкости 10<sup>8</sup> пуазов по формуле с поправкой (6) будет равна 958°.

Заданное стекло отличается от исходного тем, что в нем 2% MgO заменено на 2% CaO. Следовательно, для него температура при вязкости 10<sup>8</sup> пуазов будет на 1,4·2 = 2,8° ниже (см. табл. 3, столбец 2), т. е.  $T = 958 - 2,8 = 955,2^\circ$ .

В табл. 5 для стекол, химический состав которых указан в табл. 4, сопоставляются вычисленные данные с опытными.

Таблица 4

| № стекла                   | SiO <sub>2</sub> | Al <sub>2</sub> O <sub>3</sub> | Na <sub>2</sub> O | CaO + 3% MgO |
|----------------------------|------------------|--------------------------------|-------------------|--------------|
| Стекла Охотина и Цой [1,2] |                  |                                |                   |              |
| 8                          | 75               | 1                              | 16                | 8            |
| 13                         | 73               | 3                              | 16                | 8            |
| 32                         | 71               | 5                              | 16                | 8            |
| 7                          | 73               | 1                              | 16                | 10           |
| 18                         | 71               | 3                              | 16                | 10           |
| 26                         | 69               | 5                              | 16                | 10           |
| 12                         | 71               | 1                              | 16                | 12           |
| 30                         | 69               | 3                              | 16                | 12           |
| 31                         | 67               | 5                              | 16                | 12           |
| OC3                        | 72,37            | 0,36                           | 16,43             | 9,75         |
| 71                         | 68,02            | 4,28                           | 15,6              | 13,33        |
| 44                         | 76               | 1                              | 15                | 8            |
| 45                         | 74               | 3                              | 15                | 8            |
| 46                         | 72               | 5                              | 15                | 8            |
| 38                         | 74               | 1                              | 15                | 10           |
| 39                         | 72               | 3                              | 15                | 10           |
| 40                         | 70               | 5                              | 15                | 10           |
| 41                         | 72               | 1                              | 15                | 12           |
| 42                         | 70               | 3                              | 15                | 12           |
| 43                         | 68               | 5                              | 15                | 12           |
| 9                          | 75               | 1                              | 14                | 10           |
| 14                         | 73               | 3                              | 14                | 10           |
| 34                         | 71               | 5                              | 14                | 10           |
| 33                         | 73               | 1                              | 14                | 12           |
| 19                         | 71               | 3                              | 14                | 12           |
| 27                         | 69               | 5                              | 14                | 12           |

Таблица 4 (продолжение)

Стекла Боу и Тернера [3]

| № стекла | SiO <sub>2</sub> | Al <sub>2</sub> O <sub>3</sub> +Fe <sub>2</sub> O <sub>3</sub> | Na <sub>2</sub> O+K <sub>2</sub> O | CaO   | MgO  |
|----------|------------------|--|------------------------------------|-------|------|
| 11       | 74,1             | 0,85   | 15,2                               | 9,7   | 0,1  |
| 12       | 74,55            | 0,6  | 15,1                               | 9,65  | 0,1  |
| 13       | 72,3             | 1,6  | 15,7                               | 10,05 | 0,15 |
| 14       | 74,25            | 1,3  | 13,9                               | 8,7   | 1,65 |
| 15       | 74,6             | 0,5  | 14,5                               | 10,5  | 0,1  |
| 17       | 73,75            | 1,25   | 15,6                               | 9,4   | —    |
| 18       | 72,25            | 2,45   | 14,55                              | 9,1   | 1,3  |

Таблица 5

| № стекла | Температура при вязкости в паузах |                          |  |          |                          |  |
|----------|-----------------------------------|--------------------------|--|----------|--------------------------|--|
|          | 10°                               |                          |  | 10°      |                          |  |
|          | Из опыта                          | Вычислено по формуле (3) | Вычислено по формуле (3) с поправкой (6) | Из опыта | Вычислено по формуле (3) | Вычислено по формуле (3) с поправкой (6) |

Вязкость определялась Охотивым и Цой [1, 2] по методу вытягивания нити

|     |     |     |     |     |     |     |     |     |     |
|-----|-----|-----|-----|-----|-----|-----|-----|-----|-----|
| 8   | 954 | 961 | 958 | 911 | 919 | 916 | 875 | 880 | 877 |
| 13  | 965 | 968 | 963 | 922 | 925 | 921 | 886 | 885 | 882 |
| 32  | 970 | 976 | 969 | 928 | 932 | 927 | 891 | 891 | 887 |
| 7   | 961 | 968 | 961 | 918 | 928 | 919 | 883 | 890 | 882 |
| 18  | 970 | 975 | 966 | 927 | 934 | 924 | 892 | 896 | 888 |
| 26  | 977 | 983 | 972 | 933 | 940 | 929 | 898 | 901 | 893 |
| 12  | 957 | 975 | 964 | 919 | 936 | 920 | 885 | 900 | 887 |
| 30  | 963 | 981 | 969 | 923 | 942 | 925 | 889 | 905 | 892 |
| 31  | 971 | 989 | 974 | 929 | 948 | 931 | 893 | 911 | 898 |
| ОСЗ | 956 | 967 | 955 | 913 | 926 | 913 | 875 | 889 | 876 |
| 71  | 970 | 988 | 977 | 929 | 949 | 933 | 897 | 913 | 902 |
| 44  | 967 | 956 | 967 | 918 | 915 | 925 | 880 | 877 | 886 |
| 45  | 977 | 963 | 972 | 929 | 921 | 930 | 888 | 883 | 891 |
| 46  | 986 | 970 | 978 | 937 | 927 | 936 | 899 | 888 | 896 |
| 38  | 970 | 963 | 970 | 929 | 924 | 928 | 893 | 888 | 891 |
| 39  | 983 | 970 | 975 | 937 | 930 | 933 | 900 | 893 | 896 |
| 40  | 991 | 977 | 981 | 945 | 936 | 938 | 905 | 898 | 902 |
| 41  | 965 | 970 | 973 | 926 | 932 | 930 | 891 | 897 | 896 |
| 42  | 973 | 976 | 978 | 933 | 938 | 935 | 898 | 902 | 901 |
| 43  | 981 | 983 | 983 | 941 | 944 | 940 | 905 | 908 | 906 |
| 9   | 980 | 958 | 979 | 937 | 920 | 937 | 901 | 885 | 901 |
| 14  | 987 | 965 | 984 | 944 | 926 | 942 | 908 | 890 | 905 |
| 34  | 993 | 972 | 990 | 949 | 932 | 947 | 915 | 895 | 910 |
| 33  | 971 | 965 | 982 | 933 | 928 | 939 | 901 | 894 | 905 |
| 19  | 983 | 972 | 987 | 943 | 934 | 944 | 909 | 899 | 910 |
| 27  | 994 | 978 | 992 | 953 | 940 | 949 | 918 | 905 | 915 |

Вязкость определялась Боу и Тернером по методу вытягивания нити [3]

|    |     |     |     |     |     |     |     |     |     |
|----|-----|-----|-----|-----|-----|-----|-----|-----|-----|
| 11 | 970 | 959 | 964 | 931 | 923 | 925 | 895 | 890 | 892 |
| 12 | 973 | 957 | 964 | 935 | 922 | 925 | 896 | 889 | 892 |
| 13 | 962 | 965 | 962 | 921 | 929 | 923 | 879 | 895 | 890 |
| 14 | 977 | 958 | 980 | 933 | 922 | 939 | 888 | 889 | 904 |
| 15 | 972 | 957 | 970 | 931 | 923 | 932 | 894 | 891 | 899 |
| 17 | 969 | 961 | 960 | 927 | 924 | 922 | 888 | 890 | 888 |
| 18 | 978 | 965 | 976 | 936 | 928 | 936 | 895 | 894 | 902 |



Применение формулы (3) и температурных поправок (табл. 3) дает возможность вычислять температуру при вязкости  $10^8$ ,  $10^9$ ,  $10^{10}$  пуазов для стекол, в которых содержание  $\text{Na}_2\text{O}$  колеблется от 14 до 16%,  $\text{CaO}$  — от 5 до 9%,  $\text{MgO}$  — от 0 до 5%,  $\text{Al}_2\text{O}_3$  — от 1 до 5%.

### ВЫВОДЫ

При помощи экспоненциальной формулы, выражающей зависимость вязкости от температуры, для силикатных стекол заданного химического состава можно рассчитывать температуру при заданной вязкости, а при наличии точек  $T$ ,  $\eta$  — строить график  $T$ ,  $\lg \eta$ .

Институт стекла  
Москва

Поступила  
31. V. 1954

### ЛИТЕРАТУРА

1. М. В. Охотин и Р. И. Цей. Стекло и керамика, 8. 3, 1952.
2. М. В. Охотин и Р. И. Цей. Стекло и керамика, 6. 14, 1953.
3. Borchers, T. Amer. Jour. Soc. Glass. Technology, № 417, 215, 1942.

# ИССЛЕДОВАНИЯ ПОВЕРХНОСТНОЙ КОНДЕНСАЦИИ И АДСОРБЦИИ ПАРОВ ВБЛИЗИ НАСЫЩЕНИЯ ОПТИЧЕСКИМ МИКРОПОЛЯРИЗАЦИОННЫМ МЕТОДОМ. II

Б. В. Дерягин и З. М. Зорин

## РЕЗУЛЬТАТЫ ИЗМЕРЕНИЙ И ИХ ОБСУЖДЕНИЕ

При помощи методики, описанной в предыдущем сообщении [1], была изучена адсорбция паров воды, этилового, пропилового, бутилового, гексилового, гептилового, октилового, нонилового, децилового спиртов, четыреххлористого углерода, бензола, нитробензола, капроновой кислоты, н-пептана и н-гептана на стекле К-8 и стекле флинт.

Микрополяризационная методика дает возможность в процессе измерений наблюдать пленку в микроскоп, контролируя ее равномерность

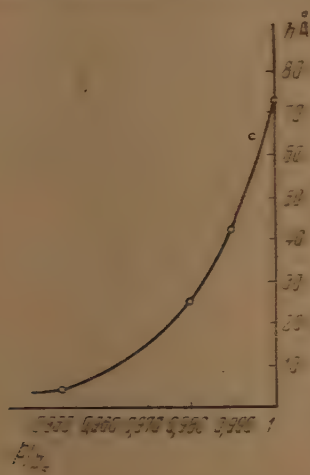


Рис. 1. Изотерма адсорбции воды на стекле К-8 в атмосфере водорода

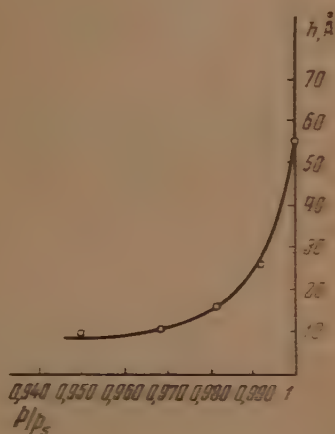


Рис. 2. Изотерма адсорбции этилового спирта на стекле К-8 в атмосфере водорода

по толщине, а также следить за процессом конденсации в насыщенных и перенасыщенных парах. Вследствие этого можно наблюдать, как при конденсации паров происходит переход от полимолекулярного адсорбционного слоя к обычной по свойствам жидкости.

Измеряя толщину слоя, адсорбированного на поверхности стекла при различных относительных давлениях, мы имели возможность строить изотермы адсорбции. По оси ординат мы откладывали толщину слоя в ангстремах, по оси абсцисс — относительное давление. Ошибка в измерении толщины слоя, как указывалось, могла составлять  $\pm 5-6 \text{ Å}$ , точность задания относительного давления (в отсутствие водорода) —  $0,001-0,002$ .

Измерения производились на стекле Крен с показателем преломления  $n=1,516$  и стекле флинт с  $n=1,658$ . Поверхность стекла была оптически полирована и не подвергалась очистке химическими методами.

На рис. 1—3 приводятся изотермы адсорбции воды, этилового и пропилового спиртов, полученные в атмосфере водорода.

Более детальные исследования были проведены в вакууме. Эти измерения показали удовлетворительное согласие для изотерм одних и тех же веществ, полученных двумя различными методами.

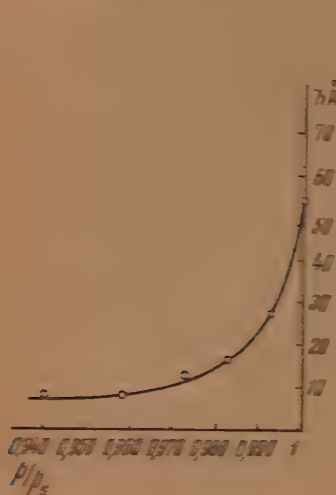


Рис. 3. Изотерма адсорбции воды на окисле К-5 в атмосфере водорода.

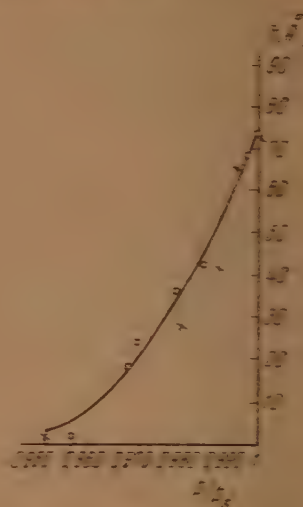


Рис. 4. Изотерма адсорбции воды на окисле К-5 в вакууме.  
 $t = 25^\circ\text{C}$

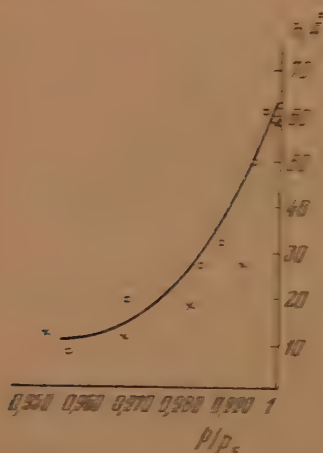


Рис. 5. Изотерма адсорбции этилового спирта на окисле К-5.  
 $t = 25^\circ\text{C}$

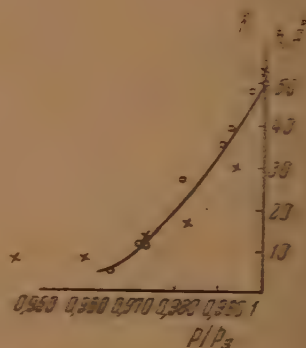


Рис. 6. Изотерма адсорбции пропилового спирта на окисле К-5.  
 $t = 25^\circ\text{C}$

Для сравнения, на графиках изотерм адсорбции воды, этилового и пропилового спиртов, полученных последним методом, нанесены крестики, соответствующие измерениям для тех же веществ в атмосфере водорода (рис. 4—6).

При исследовании в вакууме мы имели возможность значительно расширить класс изучаемых веществ. Приводятся изотермы адсорбции для



и-спиртов вплоть до децилового (рис. 7—12); измерения были распространены и на органические соединения других классов.

Ниже приводятся изотермы адсорбции четыреххлористого углерода, бензола, нитр-бензола, капроновой кислоты, нормального гептана и пентана (рис. 13—19).

Из приведенных кривых видно, что на гладких поверхностях в области высоких относительных давлений ( $p/p_s > 0.95—0.97$ ) имеет место полимолекулярная адсорбция. в остальном интервале относительных давлений адсорбция носит моно- или бимолекулярный характер.

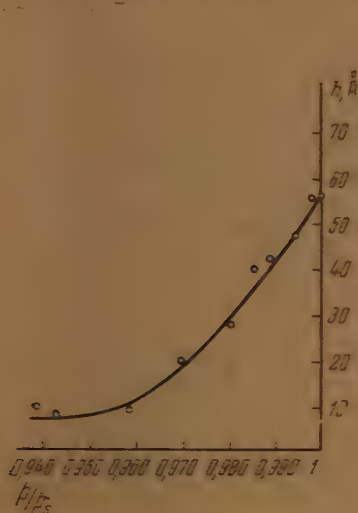


Рис. 7. Изотерма адсорбции бутилового спирта на стекле К-8.  
 $t = 30^\circ\text{C}$

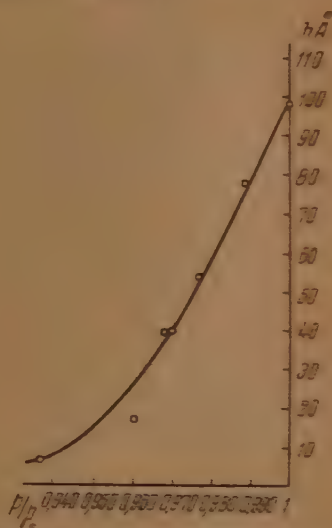


Рис. 8. Изотерма адсорбции гексилового спирта на стекле К-8.  
 $t = 25^\circ\text{C}$

Второе обстоятельство, которое является по существу центральным в нашей работе, — это то, что для исследованных полярных веществ, таких, как вода, спирты, изотерма явно пересекает ось, соответствующую насыщению, т. е. при насыщении образуется адсорбционный слой определенной, конечной толщины: для неполярных веществ, наоборот, можно предположить, что изотерма асимптотически приближается к ординате,  $p/p_s=1$ . Ввиду того что на этом результате строятся основные выводы, остановимся на нем несколько подробнее.

Сначала измерялась толщина адсорбционного слоя при давлении, как можно более близком, но все же несколько меньшем, чем давление насыщенных паров. Для этого нужно было поляризатор  $P_1$  и анализатор  $P_2$  (см. [1], рис. 2) установить так, чтобы поле зрения микроскопа было темным; затем, медленно повышая температуру в пробирке 2 (см. [1], рис. 5), можно было, не отрываясь от микроскопа, наблюдать за пленкой. Если адсорбционная пленка по мере приближения к насыщению неограниченно утолщается, то должно было бы наблюдаться попеременное просветление и затемнение поля зрения микроскопа [1]. Это следует из того, что параметры эллиптической поляризации света, отраженного от пленки, являются периодическими функциями толщины пленки. Если толщина пленки при дальнейшем приближении к насыщению существенно не меняется, то поле зрения должно оставаться темным. Для неполярных жидкостей (четырёххлористый углерод, бензол) мы наблюдали первый случай, а для полярных — второй.

Именно, для полярных жидкостей поле оставалось темным, даже когда начиналась конденсация на микрокапельках или, вернее, микролинзочках росы, возникавших в виде светлых точек, превращавшихся далее в светлые пятнышки на темном поле зрения микроскопа. Эти точки постепенно росли, превращаясь в хорошо видимые капли, фотография которых помещена на рис. 20.

Из того факта, что упругость пара над выпуклой поверхностью по формуле Томсона несколько выше, чем над плоской поверхностью, следует, что, прежде чем появились капли,

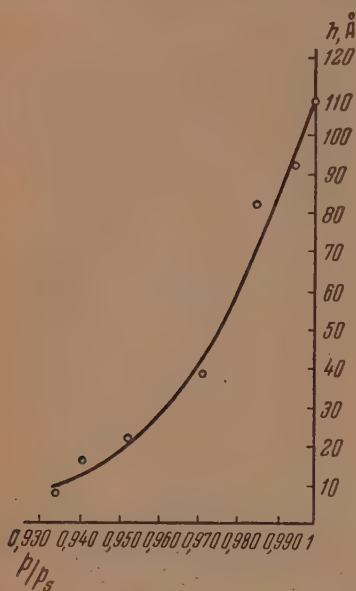


Рис. 9. Изотерма адсорбции гептилового спирта на стекле К-8,  $= 25^\circ \text{C}$

возникло небольшое пересыщение, и все же поле зрения микроскопа оставалось темным, и, следовательно, толщина адсорбционного слоя заметно не изменялась. Все это с очевидностью указывает, что в этих случаях изотерма пересекает ординату, соответствующую насыщению, переход к объемной фазе происходит не постепенно, по мере удаления от стенки, а скачком.

Особенно убедителен этот вывод, если сопоставить его с тем, что наблюдалось для неполярных жидкостей, как, например,  $\text{CCl}_4$ , бензол. В этих случаях, по мере приближения к насыщению, поле зрения на каждом участке неоднократно попеременно просветлялось и затемнялось, и пленка, наконец, приобретала такую толщину, что можно было видеть в поле зрения одновременно ряд интерференционных полос. Следует подчеркнуть, что при этом никаких скачкообразных изменений толщины никогда не наблюдалось; следовательно, толщина возрастала непрерывно. В этом случае естественно считать, что изотерма адсорбции асимптотически приближается к ординате, соответствующей состоянию насыщения.

Конечно, возможно предположить, что и в случае неполярных жидкостей изотерма адсорбции пересекает ординату  $p/p_s = 1$  где-то при весьма больших значениях толщины (больших микрона). Однако такое предположение мало правдоподобно, и фактических оснований для него нет.

Конечно, возможно предположить, что и в случае неполярных жидкостей изотерма адсорбции пересекает ординату  $p/p_s = 1$  где-то при весьма больших значениях толщины (больших микрона). Однако такое предположение мало правдоподобно, и фактических оснований для него нет.

Таким образом тезис о том, что в случае полярных веществ изотерма пересекает ординату  $p/p_s = 1$ , переход к объемной фазе происходит скачком, непосредственно и однозначно вытекает из эксперимента. Асимптотическое приближение изотермы изученных неполярных веществ ( $\text{CCl}_4$ , бензол) к ординате, соответствующей состоянию насыщения, в свете проведенных наблюдений следует рассматривать как в высшей степени вероятное предположение.

Оптический микрополяризационный метод изучения адсорбции был применен ранее в работе одного из авторов совместно с В. И. Гольданским и В. В. Карасевым [2]. Однако образование полимолекулярных слоев наблюдалось при значительно меньших насыщениях и были получены существенно большие толщины адсорбционных слоев. Это объясняется, возможно, использованием для мытья стекла хромовой смеси, изменяющей его поверхность. Такое объяснение, однако, все же яв-

яется спорным, так как в этом случае по мере заполнения адсорбирующимся веществом образовавшихся в стекле пор эллиптичность отраженного света, по которой судят о толщине слоя, должна была, бы

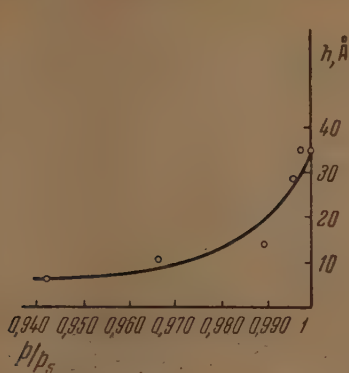


Рис. 10. Изотерма адсорбции этилового спирта на стекле К-8,  $t = 25^\circ \text{C}$

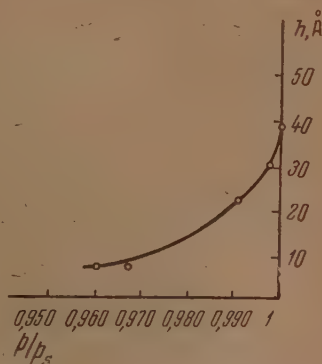


Рис. 11. Изотерма адсорбции этилового спирта на стекле К-8,  $t = 25^\circ \text{C}$

не увеличиваться, как при образовании адсорбированной пленки, а, наоборот, уменьшаться.

Тем не менее основной качественный результат этой работы, который состоит в том, что для некоторых веществ адсорбционный слой не стремится к бесконечности по мере приближения упругости адсорбирующихся паров к состоянию насыщения, а имеет при  $p/p_s = 1$  определенную конечную толщину и конденсация паров сопровождается образованием микролинзочек на адсорбционном слое конечной толщины, полностью подтвердился\*.

Полимолекулярная адсорбция, однако, для давлений, не достигающих насыщения, была изучена при измерении адсорбции паров на порошках рядом исследователей [3].

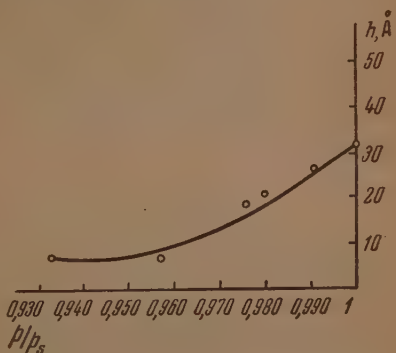


Рис. 12. Изотерма адсорбции децилового спирта на стекле К-8,  $t = 20^\circ \text{C}$

### ОБСУЖДЕНИЯ РЕЗУЛЬТАТОВ

Рассмотрим сначала случай неполярных жидкостей, когда можно предположить в соответствии с потенциальной теорией адсорбции, что по мере приближения к насыщению толщина адсорбционного слоя возрастает весьма быстро до толщин, соответствующих многим микронам, т. е. изотерма асимптотически приближается к ординате  $p/p_s = 1$ . Нет оснований сомневаться, что эти толщин соответствуют объемной фазе с обычными свойствами. В этом случае адсорбционный слой ни при каком значении тол-

\* Результаты, аналогичные в отношении толщин полимолекулярных адсорбционных слоев и формы изотерм адсорбции тем, которые изложены в данной статье, были также получены, и количественное расхождение со статьей [2] обнаружено в измерениях адсорбции в атмосфере водорода Б. В. Дерягина и М. Л. Смолянского, предварительное сообщение о которых было сделано первым автором в докладе, прочитанном на конференции по адсорбции в МГУ (1948 г.), и вторым автором — на конференции по катализу в Киеве (1949 г.).

щины слоя  $h$  не может сосуществовать с объемной фазой, находясь с ней в равновесии, так как всегда имеет меньшую упругость пара.

Из сказанного следует, что адсорбционный слой в этом случае нельзя рассматривать как особую фазу, наряду с объемом жидкости. Достаточно вспомнить, что определение фазы включает наличие резкой границы раздела двух фаз, находящихся в состоянии термодинамического равновесия между собой. Фазовые состояния объема жидкости и адсорбционного слоя

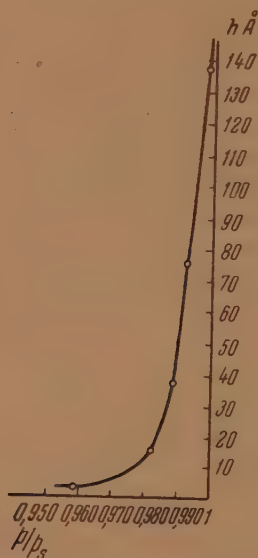


Рис. 13. Изотерма адсорбции четыреххлористого углерода на стекле К-8,  $t = 20^\circ \text{C}$

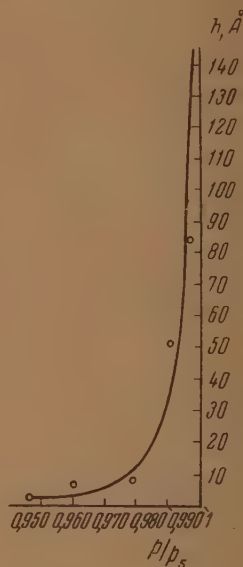


Рис. 14. Изотерма адсорбции четыреххлористого углерода на стекле флинт,  $t = 22,5^\circ \text{C}$

здесь следует считать одинаковыми, точно так же, как разные части объема жидкости или газа, находящихся в поле действия какой-либо внешней силы, например силы тяжести. В этом последнем примере свойства, например плотность, при переходе от одних точек к другим меняются также непрерывно, как свойства адсорбционных слоев четыреххлористого углерода, бензола, пентана и гептана по мере их утолщения и, следовательно, ослабления средней по объему интенсивности молекулярно-поверхностных сил, в поле действия которых эти слои находятся.

Следует заметить, что сделанный вывод отнюдь не означает игнорирования существенных различий состояния указанных веществ в объеме и в виде адсорбционного слоя. Наоборот, эти различия могут быть весьма велики, особенно, если сравнивать свойства объемной жидкости со свойствами монослоя. Однако существование подобных различий еще не предопределяет различия фазовых или «агрегатных» состояний.

Ход изотерм для полярных жидкостей резко отличается от только что описанного; переход к объемной фазе происходит не в результате постепенного утолщения полимолекулярного адсорбционного слоя, а в результате скачкообразного появления поверхностных центров новой фазы на слое конечной толщины  $h_g$ . Таким образом, в этом случае адсорбционный слой определенной толщины  $h_g$  может сосуществовать с объемной



азой, находясь с ней в непосредственном контакте (линейном, вдоль периметра смачивания) и в состоянии термодинамического равновесия. В то же время, имея малую толщину (менее 100 Å), адсорбционный слой находится в зоне действия поверхности адсорбента, поэтому его свойства должны отличаться от свойств жидкости. Следовательно, согласно строгому определению фазы, в данном случае адсорбционный слой должен рассматриваться как особая граничная фаза.

Следует отметить, что толщина адсорбционного слоя, находящегося в равновесии с образующимися на нем микрокапельками жидкости, должна быть несколько больше той, при которой адсорбционный слой находится в равновесии с насыщенным паром, так как линзочки имеют по формуле Томсона несколько большую пружость пара, чем плоская поверхность жидкости. Однако такое утолщение слоя не удалось обнаружить затруднительно из-за его незначительности.

При контакте адсорбционного слоя с образовавшимися на нем микрокапельками и с пересыщенным паром конденсация может идти как на поверхности капелек, так и на поверхности адсорбционного слоя, однако заметного утолщения слоя не происходит. Это, очевидно, объясняется тем, что дальнейшее утолщение адсорбционного слоя привело бы к тому, что его термодинамический потенциал сделался бы более высоким, чем потенциал капелек жидкости; такая система не могла бы

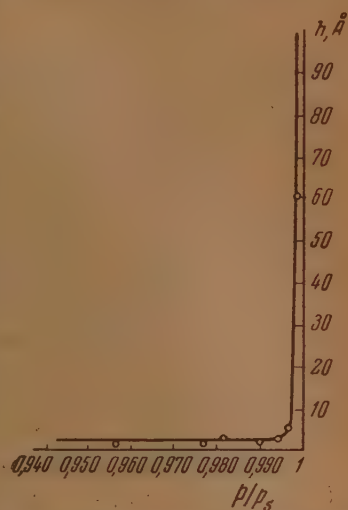


Рис. 15. Изотерма адсорбции бензола на стекле флинт,  $t = 21^\circ\text{C}$

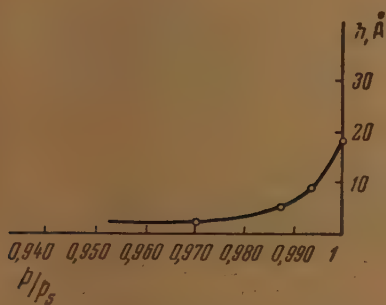


Рис. 16. Изотерма адсорбции нитробензола на стекле флинт

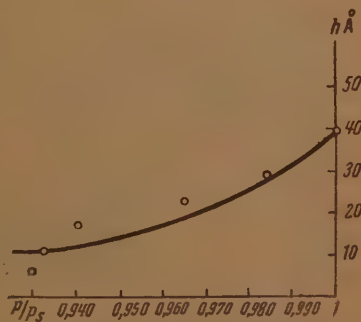


Рис. 17. Изотерма адсорбции капроновой кислоты на стекле флинт

находиться в равновесии, т. е. дополнительно конденсирующееся на адсорбционном слое вещество тем или иным способом должно подводиться к капелькам, ускоряя тем самым их рост. Как известно, при росте твердой фазы из паров, как показали К. М. Горбунова и П. Д. Данков [4], также имеет место перенос вещества вдоль поверхности к очагам роста. Возможность существования полимолекулярных адсорбционных слоев конечной толщины в равновесии с насыщенным паром и разрыв непре-

рывности при переходе к объемной фазе впервые предположил А. Н. Фрумкин в развитой им теории смачивания [5]. Им было показано, что если потенциал сил притяжения, исходящих от жидкости, быстрее убывает с расстоянием, чем потенциал сил твердой подкладки по отношению к

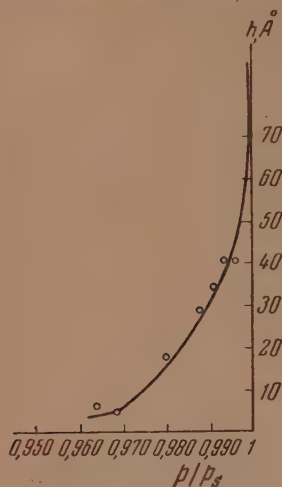


Рис. 18. Изотерма адсорбции нормального пентана на стекле К-8,  $t = 21^\circ\text{C}$

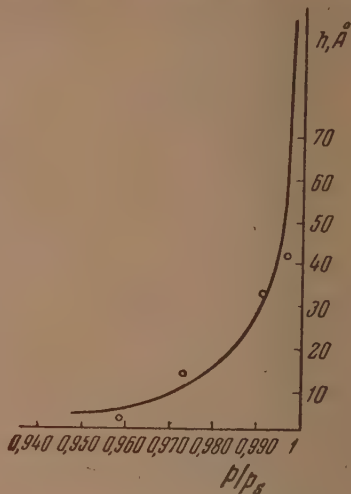


Рис. 19. Изотерма адсорбции нормального гептана на стекле флинт,  $t = 21^\circ\text{C}$

той же жидкости, то в некотором интервале толщин полимолекулярные слои абсолютно неустойчивы. Термодинамической неустойчивостью пленок толщины, большей чем  $h_g$ , можно объяснить, как прерывный переход

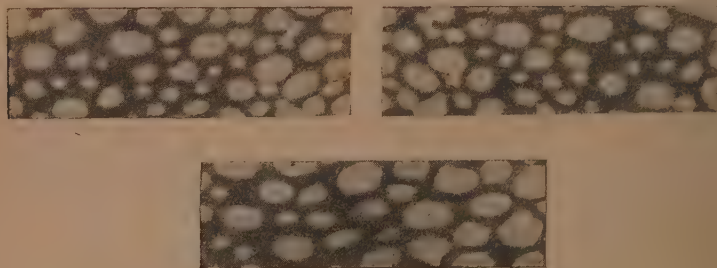


Рис. 20. Капельки росы в темном поле зрения микроскопа (увеличение  $\times 21$ )

от адсорбционного слоя к объемной фазе, так и неполное смачивание. В то же время, как показал А. Н. Фрумкин [5], из отличия краевого угла смачивания от нуля можно чисто термодинамически вывести невозможность непрерывного перехода от адсорбционного слоя к объемной жидкой фазе, т. е. необходимость существования скачкообразных изменений толщин.

Исходя из этих представлений, изотерму адсорбции следовало бы изобразить так, как это сделано на рис. 21. Участок  $abc$  соответствует абсолютно лабильным состояниям, но более толстые слои (ветвь  $\beta$ ) могут



быть получены. Изображенную изотерму можно объяснить как процесс  $\alpha \rightarrow \beta$ , соответствующий гетерогенной конденсации, так и процесс  $\beta \rightarrow \alpha$  прорыва мачивающей пленки, который наблюдался в работах [6, 7] при прилижении пузырька воздуха к твердой поверхности, находящейся в жидкости.

Однако, по нашему мнению, возможно и даже вероятно несколько иное объяснение прерывного перехода от адсорбционного слоя к объему жидкости, заключающееся в том, что полимолекулярный адсорбционный слой для тех жидкостей, для которых изотерма пересекает ординату  $p/p_s=1$ , имеет особую, например ориентированную, структуру, благодаря чему упругость пара над ним несколько выше, чем упругость пара  $p_s$  над слоем жидкости нормальной структуры той же толщины. Следует заметить, что сделанное предположение о влиянии структуры на упругость пара для слоя жидкости достаточной толщины — единственно возможное, так как если предположить, что особая, например ориентированная, структура, наоборот, понижает упругость пара, то эта структура, обладая большей устойчивостью, распространялась бы на любую глубину, существование обычной жидкости (с «нормальной» структурой) было бы невозможно.

Обозначим понижение упругости пара над адсорбционным слоем, обусловленное действием подкладки (ее адсорбционного потенциала), через  $p_{\text{под}}(h)$ . Если адсорбционный слой толщины  $h$ , обладающий той же структурой, что и жидкость, находится при определенной температуре  $T$  в равновесии с паром при давлении  $p$ , то можно записать:

$$p(h) = p_s - p_{\text{под}}(h), \quad (1)$$

где  $p(h)$  — равновесное давление паров над адсорбционным слоем толщины  $h$ ,  $p_s$  — упругость насыщенных паров соответствующей жидкости при данной температуре. Очевидно, что, если  $p \rightarrow p_s$ , то  $h \rightarrow \infty$ , ибо  $p_{\text{под}}(h \rightarrow \infty) = 0$ .

Из уравнения (1) следует, что в этом случае для адсорбционного слоя любой толщины  $h$  имеет место неравенство:

$$p(h) < p_s,$$

т. е. адсорбционный слой ни при каком значении  $h$  не может сосуществовать в равновесии с объемной фазой. Это соответствует нашим наблюдениям при адсорбции четыреххлористого углерода, бензола и п-пентана.

В том случае, когда структура адсорбционного слоя отличается от структуры жидкости в объеме, уравнение (1) переписывается так:

$$p(h) = p'_s - p_{\text{под}}(h). \quad (2)$$

В этом случае  $h \rightarrow \infty$  при  $p \rightarrow p'_s$ ; причем  $p'_s > p_s$ . При давлении паров  $p = p_s$  толщина адсорбционного слоя имеет вполне определенную конечную толщину  $h_g$ , которая определится соотношением:

$$p'_s - p_s = p_{\text{под}}(h_g). \quad (3)$$



Рис. 21

Изотерма адсорбции для этого случая изображена на рис. 22 (ветвь 1). В этом случае изотерма адсорбции имеет структуру,

похожую на рис. 21. Изотерма характеризует поле молекулярных взаимодействий в данном случае, которое изотерма не пересекает ординату  $p/p_0 = 1$  можно связать с величиной расклинивающего давления  $p_0$ ), после чего в области  $\theta < \theta_0$  (рис. 22) показана  $\theta$ ), зная величину расклинивающего давления как функцию толщины тонкого слоя, можно вычислить значение упругости пара над тонким слоем той же толщины  $h$ , полагая, что поверхность твердой фазы, по сравнению с толстым слоем  $h \rightarrow \infty$ , иначе говоря, определить понижение упругости пара над слоем толщины  $h$  обусловленное действием поверхностных сил исходящих от твердого тела, а именно понижение упругости пара \*  $\Delta p$  равно

$$\Delta p = \frac{\epsilon_r}{\epsilon_{ж}} P,$$

где  $\epsilon_r$  — плотность пара,  $\epsilon_{ж}$  — плотность жидкости,  $P$  — расклинивающее давление.

Центровочный расчет, произведенный, например, для адсорбции воды на стекле по соответствующей изотерме расклинивающего давления, показывает, что образование полимолекулярных адсорбционных слоев на стекле следует ожидать только при весьма высоких относительных давлениях. Поэтому работы по расклинивающему давлению, об-

суживающие значительную глубину поверхностной зоны жидкости, не в состоянии противостоят тем фактам, что в широкой области относительных давлений адсорбция носит мономолекулярный характер. Однако вблизи точки насыщения давлению на гладкой поверхности должны образовываться полимолекулярные слои. Такие измерения, проведенные на гладкой оптически полированной поверхности стекла, соответствуют этим явлениям.

Представляется интересным выяснить, можно ли форму изотермы адсорбции неполярных веществ вблизи насыщения представить целиком действием дисперсионных сил? Для этого подставим в уравнение (4) значение  $p_0$  полученное согласно определению расклинивающего давления из формулы (6, 7):

$$p_0 = \frac{A}{d^3},$$

где  $A$  — изменение свободной энергии системы при переносе слоя толщиной  $d$  с площади, равной единице, расположенного на расстоянии  $l$  от твердой стенки на поверхность объемной жидкой фазы. Если так изменить свободной энергии связанной толщину с работой против дисперсионных сил молекулярного взаимодействия между слоем  $d$  и подстилающим слоем жидкости и твердой стенки и не сопровождается изменением энтропии системы, то можно приравнять  $d$  разности  $d_0 = d_{0,ж} - d_{0,т}$ , где  $d_{0,ж}$  — дисперсионная энергия дисперсионного взаимодействия между молекулами жидкой и твердой фаз,  $d_{0,т}$  — между молекулами жидкой

\* Для больших значений  $\Delta p$  (т.е. тонких слоев) вместо этого отношения, следует полагать выражение  $\Delta p = \frac{2}{h}$ .



газы. Предполагая аддитивность\* дисперсионных сил,  $du_{12}$  и  $du_{11}$  можно вычислить по формулам:

$$du_{12} = q_1 q_2 \lambda_{12} dh \iiint \frac{1}{r^6} d\tau, \quad (6)$$

$$du_{11} = q_1^2 \lambda_{11} dh \iiint \frac{1}{r^6} d\tau, \quad (7)$$

где  $\lambda_{12}$  — константа дисперсионного взаимодействия молекул твердой и жидкой фаз, а  $\lambda_{11}$  — молекул жидкой фазы между собой,  $q_1$  и  $q_2$  — число молекул жидкой и соответственно твердой фазы в единице объема, — расстояние от некоторой точки в элементарном слое  $dh$  до элемента объема  $d\tau$  стенки, причем интегрирование распространяется на бесконечное полупространство, ограниченное поверхностью раздела стенка — слой жидкой фазы.

Интегрирование и учет уравнения (5) дают

$$P = \frac{du}{dh} = \frac{A_{12} - A_{11}}{6\pi} h^{-3}, \quad (8)$$

где  $A_{12} = \pi^2 q_1 q_2 \lambda_{12}$  и  $A_{11} = \pi^2 q_1^2 \lambda_{11}$  — константы объемного молекулярного взаимодействия в форме, содержащей согласно [9; 10] множитель  $\pi^2$ .

Из (4) и (8), выражая плотность пара уравнением Клапейрона—Менделеева, получим

$$\frac{\Delta p}{p_s} = \left(1 - \frac{p}{p_s}\right) = \frac{1}{6\pi} \frac{M}{\rho_{жK} RT} \frac{A_{12} - A_{11}}{h^3}, \quad (9)$$

где  $M$  — молекулярный вес и  $\rho_{жK}$  — плотность жидкости. Полученное отношение показывает при сравнении с аналогичным соотношением в потенциальной теории адсорбции, что адсорбционный потенциал взаимодействия есть разность двух членов\*\*, из которых второй зависит только от рода адсорбата и константы дисперсионного взаимодействия его молекул, но не зависит от рода адсорбента. В результате могут наблюдаться случаи, когда при наличии неравенства  $A_{11} > A_{12}$  адсорбционный потенциал отрицателен. В этом случае, как показывает уравнение (9), дисперсионные силы препятствуют полимолекулярной адсорбции, и последняя может осуществляться только за счет других эффектов (ориентационные силы при несвободном вращении молекул, энтропийные эффекты, неаддитивность дисперсионных сил). Если влияние этих последних эффектов перевешивает при малых  $h$ , но быстрее убывает с ростом  $h$ , чем выражение (9), пропорциональное  $h^{-3}$ , то в результате изотерма полимолекулярной адсорбции будет пересекать ординату  $p/p_s = 1$ , и одновременно краевой угол смачивания будет отличен от нуля. Аналогичный механизм неполного смачивания был рассмотрен ранее [5].

В наших опытах этот случай для неполярных веществ не реализовался. Возможно, что он имеет место для слюды в качестве твердой подкладки при адсорбции паров бензола и других неполярных веществ [11].

Точная проверка приложимости уравнения (9) к результатам наших измерений невозможна, так как малые значения  $h$  измеряются с большой относительной ошибкой, а при больших  $h$  сказывается большая относительная неточность измерений  $\Delta p$ . Тем не менее анализ графиков изотерм

\* Это предположение для конденсированных тел, несомненно, является неточным и необоснованным. Это обстоятельство влияет, однако, только на числовые коэффициенты  $A$  в дальнейших формулах, но не на вид последних.

\*\* Это обстоятельство обычно упускается из виду.

адсорбции показывает, что отклонения наблюдаемой полимолекулярной адсорбции (при  $h > 15 \text{ \AA}$ ) для  $\text{CCl}_4$ ,  $\text{C}_6\text{H}_6$ , н-пентана и н-гептана с формулы (9) носят довольно систематический характер и, повидимому, выходят за максимально возможные пределы ошибок измерения при любых значениях константы  $\Delta A = A_{12} - A_{11}$ .

Однако средние значения  $\Delta A$ , которые получаются при сравнении экспериментальных данных с формулой (9), имеют порядок величины  $10^{-12}$ , согласующийся с теорией дисперсионных сил Лондона.

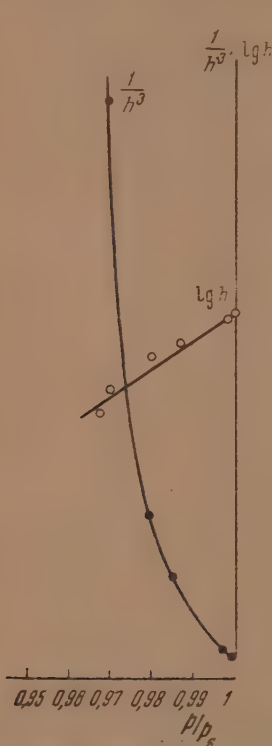


Рис. 23. График зависимости  $1/h^3$  и  $\lg h$  от  $p/p_s$  для воды

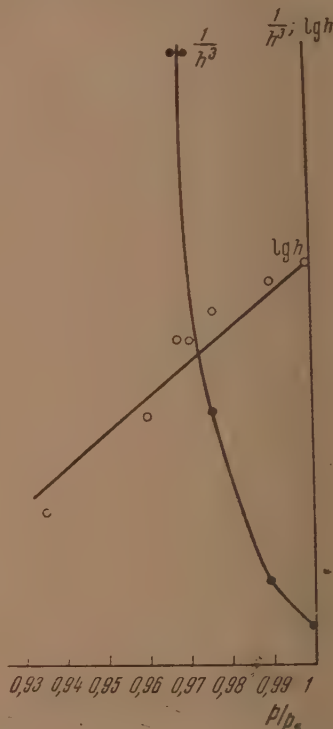


Рис. 24. График зависимости  $1/h^3$  и  $\lg h$  от  $p/p_s$  для гексилового спирта

К изотермам адсорбции воды и спиртов вблизи  $p/p_s = 1$  уравнение (9) оказывается уже явно не приложимым даже при выборе значений  $p_s$ , больших нормального для объемной жидкости. Это видно из графиков, приведенных на рис. 23—25, где по осям абсцисс отложены  $p/p_s$ , а по осям ординат —  $1/h^3$ . Не получается выпрямления кривых и в том случае, если откладывать по оси ординат  $1/h^2$  или  $1/h$ . На тех же рисунках отложены по осям ординат  $\lg h$ . Мы видим, что логарифмическая зависимость\* оправдывается значительно лучше.

Здесь следует остановиться особо на работе [12], ввиду того, что она была предпринята, так же как и настоящая работа, с целью выяснения расстояния, на которое распространяется действие твердой стенки в глубь пограничных с ней слоев жидкости, и поскольку в этой работе измерения адсорбции были также выполнены по поляризационно-оптическому ме-

\* Она может быть выведена из существенно иных соображений.



оду. При этом было применено многократное отражение поляризованного света от исследуемого адсорбционного слоя, что способно несколько повышать чувствительность измерения толщин, хотя и в весьма ограниченной степени, так как с увеличением числа отражений разность фаз обеих компонент отраженного света растет в арифметической прогрессии, а интенсивность света падает в геометрической прогрессии, что лимитирует полезное увеличение числа отражений. В то же время в работе [12] отражался от адсорбционного слоя (как обычно в подобных измерениях) параллельный пучок лучей (без чего использование многократного отражения затруднительно), что не позволяло контролировать микроскопически однородность слоя и появление зародышей новой фазы, как это было осуществлено в настоящей работе.

В то же время точность термостатирования в работе [12] была, очевидно, ниже достигнутой нами, что, возможно, и помешало им распространить свои измерения в область существования полимолекулярной адсорбции, где разброс экспериментальных точек был бы еще больше. Это ясно показывает преимущество нашей методики для решения поставленного вопроса. Однако достойно удивления, что, ограничившись вследствие указанных дефектов методики областью  $p/p_s < 0,95$ , где полимолекулярная адсорбция отсутствует (хотя признаки перехода к ней имеются и на их графиках), авторы [12] решились сделать вывод о том, что если при относительных давлениях ниже 0,95 полимолекулярная адсорбция отсутствует, то надо отбросить выводы работ ряда авторов о значительной глубине, на которую проникает влияние твердой стенки, модифицирующее свойства прилегающих слоев жидкостей.

Следует добавить, что авторы [12], делая такой произвольный вывод, забывает также, что их измерения производились на платиновой и золотой фольге, но не на стеклах и кварце, как в работах цитированных ими авторов. С особой четкостью абсолютная необоснованность выводов, сделанных в [12] в отношении толщины слоя жидкости со свойствами, видоизмененными под влиянием прилегающей твердой стенки, вытекает из формулы (4). Применяя уравнение (4) к результатам измерений расклинивающего действия смачивающей пленки воды на стекле [6], для которой  $P = 5 \text{ г/см}^2$  при  $h = 500 \text{ \AA}$ , получим

$$\frac{\Delta p}{p_s} = 1 - p/p_s = 0,000004.$$

Иными словами, для того чтобы обнаружить по изотерме адсорбции существование (или отсутствие) пленки воды, демонстрирующей распространение подобного действия твердой стенки на расстоянии  $500 \text{ \AA}$ , в [12] надо было бы не обрывать измерения адсорбции при  $p/p_s = 0,95$ , а продолжать их до  $p/p_s = 0,999996$ , т. е. приблизиться к насыщению еще на 4 порядка. Сказанное достаточно иллюстрирует теоретическую несостоятельность попытки [12] поколебать адсорбционными измерениями работы по особым свойствам тонких пленок.

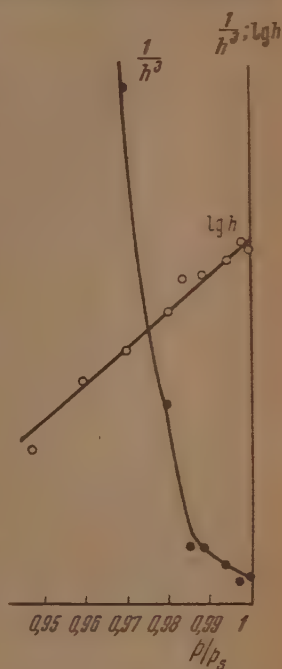


Рис. 25. График зависимости  $1/h^3$  и  $\lg h$  от  $p/p_s$  для бутлового спирта

На основании представлений о том, что действие творческой личности в искусстве имеет более личностный характер, а потому, например, для ее оценки следует не только учитывать ее творческие, но и личные качества, ее характер и т. д.

В связи с этим возникает вопрос, как и почему в искусстве существуют такие же творческие личности, как и в науке? Ответом на этот вопрос является то, что в искусстве творческая личность имеет более личностный характер, а потому, например, для ее оценки следует не только учитывать ее творческие, но и личные качества, ее характер и т. д. В науке творческая личность имеет более личностный характер, а потому, например, для ее оценки следует не только учитывать ее творческие, но и личные качества, ее характер и т. д. В искусстве творческая личность имеет более личностный характер, а потому, например, для ее оценки следует не только учитывать ее творческие, но и личные качества, ее характер и т. д.

Рассмотрим теперь в более широком смысле понятие творческой личности. В искусстве творческая личность имеет более личностный характер, а потому, например, для ее оценки следует не только учитывать ее творческие, но и личные качества, ее характер и т. д. В науке творческая личность имеет более личностный характер, а потому, например, для ее оценки следует не только учитывать ее творческие, но и личные качества, ее характер и т. д.

Следовательно, творческая личность в искусстве имеет более личностный характер, а потому, например, для ее оценки следует не только учитывать ее творческие, но и личные качества, ее характер и т. д. В науке творческая личность имеет более личностный характер, а потому, например, для ее оценки следует не только учитывать ее творческие, но и личные качества, ее характер и т. д.

Вопрос творческой личности в искусстве имеет более личностный характер, а потому, например, для ее оценки следует не только учитывать ее творческие, но и личные качества, ее характер и т. д. В науке творческая личность имеет более личностный характер, а потому, например, для ее оценки следует не только учитывать ее творческие, но и личные качества, ее характер и т. д.

Вопрос творческой личности в искусстве имеет более личностный характер, а потому, например, для ее оценки следует не только учитывать ее творческие, но и личные качества, ее характер и т. д. В науке творческая личность имеет более личностный характер, а потому, например, для ее оценки следует не только учитывать ее творческие, но и личные качества, ее характер и т. д.





образующих на стекле краевой угол, отличный от нуля, согласуется с теорией неполного смачивания А. Н. Фрумкина.

В противоположность этому, объемная фаза при поверхностной конденсации неполярных веществ ( $\text{CCl}_4$  и др.), повидимому, появляется результате непрерывного утолщения адсорбционного слоя, могущего протекать вполне обратимо.

5. Приведенные данные позволяют говорить о том, что для полярных веществ различие между адсорбционным полимолекулярным слоем и объемом жидкости носит характер фазовых различий, и переход между ними аналогичен фазовому переходу первого рода. Это дает право говорить о полимолекулярных адсорбционных слоях как о особых граничных фазах.

Наоборот, адсорбционный слой паров неполярных веществ нельзя рассматривать как особую фазу, отличную от объемной, поскольку между ними возможен непрерывный переход и невозможно их сосуществование.

6. В работе поднят вопрос о том, связано ли различие фазовых состояний адсорбционных слоев и объема неполярных жидкостей с различием структуры или нет. Приводятся данные и соображения в пользу наличия подобных различий, объясняющих невозможность непрерывного перехода между ними, хотя вопрос и не может считаться окончательно решенным.

Подобная интерпретация результатов согласуется с итогами исследований вязкости граничных слоев полярных жидкостей по методу сдвигания и означает, что между объемом и пристенным полимолекулярным слоем жидкости существует резкая граница раздела, обусловленная различием молекулярного строения.

Толщина адсорбционного слоя паров полярных веществ примерно экспоненциально зависит от давления паров. Во всяком случае форма изотерм полимолекулярной адсорбции, полученных нами, не может быть объяснена учетом только Лондоновских сил в предположении их аддитивности.

В заключение приносим благодарность В. И. Гаврилову за конструктивную разработку микрополяризационного гониометра; Н. В. Сергеевскому и Н. П. Бутузову за изготовление прибора в экспериментальных мастерских Центракадемнаба (нач. А. А. Грубе).

Академия наук СССР  
Институт физической химии  
Москва

Поступила  
7. VII. 1954

#### ЛИТЕРАТУРА

1. Б. В. Дерягин и З. М. Зорин, Журн. физ. химии, **29**, 1010, 1955.
2. Б. В. Дерягин, В. В. Карасев, В. И. Гольдманский, ДАН, **57**, 697, 1947.
3. Б. П. Беринг, В. В. Серпинский, ДАН, **58**, 1061, 1947, Н. Н. Авгуль, О. М. Джигит, А. В. Кисилев и др., ДАН, **77**, 77, 1951.
4. К. М. Горбунова, П. Д. Данков, Успехи химии, **16**, 710, 1948.
5. А. Н. Фрумкин, Журн. физ. химии, **12**, 337, 1938.
6. Б. В. Дерягин, М. М. Кусаков, Изв. АН СССР, сер. хим., № 5, 741, 1936.
7. Б. В. Дерягин, М. М. Кусаков, Изв. АН СССР, сер. хим., № 5, 1119, 1937.
8. Б. В. Дерягин, Е. В. Обухов, Коллоидн. журн., **1**, 385, 1935.
9. Н. Hamaker, Physica, **4**, 1058, 1937.
10. E. Verwey, J. Overbeek, Theory of Stability of Lyophobic Colloids, N.Y.—L., 1948.
11. D. Bangham, Mosallam, Z. Saweris, Nature, **140**, 237, 1927.  
D. Bangham, Saweris, Trans. Farad. Soc. **34**, 551, 1938. D. Bangham Journ. Chem. Phys., **14**, 352, 1946.
12. F. Bowden, W. Throssel, Proc. Roy. Soc.(A), **209**, 297, 1951.

## О ВЛИЯНИИ ОБРАТИМОГО ПРЕВРАЩЕНИЯ НА ХАРАКТЕР ЗАВИСИМОСТИ СВОЙСТВ СИСТЕМЫ ОТ ОБОБЩЕННЫХ СИЛ

### ОСНОВНЫЕ УРАВНЕНИЯ ДЛЯ ЭКСТЕНСИВНЫХ СВОЙСТВ ПРЕВРАЩАЮЩЕЙСЯ СИСТЕМЫ

*А. В. Воронов*

Еще Д. И. Менделеев ([1], стр. 202—203) обратил внимание на то обстоятельство, что характер зависимости свойств системы от температуры, давления и других факторов существенно изменяется в случае протекания в ней химического превращения. Вполне обоснованно он указывал, что возникающие в последнем случае аномалии в изменениях свойств наиболее резко выражаются в дифференциальных свойствах системы и что само наличие этих аномалий является косвенным признаком химического взаимодействия.

Этот признак, впервые успешно использованный самим же Менделеевым при исследованиях растворов [1], получил дальнейшее плодотворное применение в физико-химическом анализе, развитом Н. С. Курнаковым и его школой. Однако и до настоящего времени изложенные идеи Д. И. Менделеева далеко еще не исчерпаны в особенности в отношении изучения гомогенных систем. У последних во многих случаях экспериментально установленные аномалии в изменениях свойств не получили достоверного объяснения, и лишь в редких случаях внутренняя причина этих аномалий точно установлена.

Из числа наиболее ранних работ особенно показательными в этом отношении являются обширные многолетние исследования серы, обзор которых приведен у Кройта [2]. Эти исследования, обнаружившие аномальное изменение целого ряда свойств жидкой серы при повышении температуры и, в частности, как это было позже показано в работе Тьюиса и Рендала [3], прохождение теплоемкости серы через максимум вблизи 160°C, позволили, в конечном счете, установить в жидкой сере существование двух модификаций этого вещества, находящихся в динамическом равновесии друг с другом.

Аномалии в температурной зависимости теплоемкости органических жидкостей, обнаруженные Вильямсом и Даниэльсом [4] у бензола, этилбензола и четыреххлористого углерода и Сейером [5] у псе-декагидронафталина, эти авторы объясняют существованием и взаимным превращением различных молекулярных форм у указанных веществ. Однако это объяснение носит предположительный характер, и к тому же Сейер именует наблюдавшиеся им явления фазовыми переходами II рода.

В. Т. Славянским [6] было обнаружено аномальное изменение вязкости с ростом температуры у ряда жидкостей, которое он объясняет существованием аллотропных модификаций у этих жидкостей. Аналогичное предположение было высказано еще ранее Н. А. Пушиным и П. В. Гребенниковым [7] на основании опытов иного рода.

В ряде работ С. С. Уразовского с сотрудниками [8—11] экспериментально обнаруженные аномалии в температурной зависимости разнообразных свойств расплавов и растворов веществ, обладающих кристаллическим полиморфизмом, используются в качестве доказательства существования молекулярной полиморфии у этих веществ. Полиморфизм здесь рассматривается как следствие полиморфии молекул [11]. В ряде случаев удалось найти экспериментальное подтверждение этой теории путем исследования химических свойств растворов различных кристаллических модификаций «одного и того же» вещества [11—13]. Автор описанной теории не склонен относить указанные полиморфные модификации молекул к обычным химическим изомерам [14, 15].

Приведенные здесь примеры использования аномалий в изменениях свойств гомогенных систем в качестве критерия, доказывающего наличие

в этих системах химического превращения, всегда могут вызывать сомнения, так как не является исключенным, что и чисто физические процессы могут вызывать подобные аномалии. Действительно, например, особые аномалии в изменении свойств, получившие наименование фазовых переходов II рода [16], в настоящее время объясняются главным образом физическими процессами [17, 18], хотя и высказывались соображения о возможном химическом источнике всех или некоторых подобных переходов [9, 19—21].

В связи с изложенным особый интерес представляют исследования, направленные на выяснение действительного влияния химического превращения на характер зависимости свойств системы от температуры и других факторов.

Среди этих исследований полезно остановиться на следующих. Мак-Коллум [22] показал, что тепловое газообразное азота проходит через резко выраженный максимум около  $63^{\circ}\text{C}$ , т. е. в той области температур, внутри которой исследуемый газ сильно диссоциирует с образованием двуокиси азота. Наблюдаемое вблизи максимума возрастание полной теплоемкости обусловлено включением в него добавочного слагаемого, связанного с теплотой диссоциации газа, и именно это слагаемое с ростом температуры проходит через максимум.

К аналогичным заключениям пришли чисто теоретическим путем Моглих, Риве и Ромпе [23], которые для обратимо диссоциирующего двухатомного газа, а также для одноатомного газа в области температур ионизации последнего доказывают, что полная теплоемкость газа, вследствие включения теплоты диссоциации или, соответственно, ионизации, проходит через резко выраженный максимум.

Формально термодинамический путь подсчета был указан Эппштейном [24].

Весьма интересными являются работы В. К. Семенченко [20, 21], который теоретическим путем установил, что для идеальной системы, подвергающейся обратимому химическому превращению типа изомеризации, не только теплоемкость, но и другие термические и силовые коэффициенты (частные производные от обобщенных термодинамических координат по обобщенным силам) подчиняются уравнениям, сходным по форме с таковыми для обобщенных критических явлений (обычных критических явлений в фазовых переходах II рода), теория которых была разработана тем же автором [18, 20, 21, 25, 26, 27].

На этом основании В. К. Семенченко высказал предположение о существовании хемокритических явлений, проявляющихся в прохождении через максимум теплоемкости и других термических и силовых коэффициентов системы.

В работе [19] на примере идеальной гомогенной системы, претерпевающей химическое превращение типа изомеризации или диссоциации, было показано, что определенные аномалии в температурной зависимости свойств такой системы обусловлены неравновесным смещением химического равновесия при изменении температуры, выражающимися в том, что степень химического превращения с ростом температуры изменяется по кривой, обладающей точкой перегиба. Координаты этой точки могут быть определены из термодинамических уравнений равновесия. Температуру, отвечающую этой точке, можно было бы назвать температурой максимального сдвига равновесия. Соответствующие дифференциальные свойства проходят через экстремум при некоторой определенной температуре, хотя последняя, вообще говоря, и не совпадает температурой максимального сдвига равновесия.

Как видно из приведенного обзора литературы, все исследования по вопросу о влиянии химического превращения на изменчивость физических свойств носили частный характер, будучи ограничены, прежде всего, идеальными гомогенными системами и далее, в большинстве случаев, отдельными частными видами свойств и химическими реакциями простейшего типа. Было бы желательно поэтому рассмотреть данный вопрос в более общем виде, что и является целью предлагаемой работы.

## ВЫВОД ОСНОВНЫХ УРАВНЕНИЙ

Задачу настоящего исследования здесь можно определить как выяснение влияния обратимого химического или физического превращения произвольного типа на характер зависимости экстенсивного свойства от обобщенной силы в системе произвольного типа. Таким образом, данное исследование распространяется на идеальные и неидеальные, гомогенные и гетерогенные системы и, равным образом, на любые происходящие в них равновесные превращения. Предполагается, однако, что в системе од-



временно протекает лишь одно из превращений указанного типа и что этого превращения применимо понятие степени превращения.

Под экстенсивными здесь понимаются все те свойства системы, которые при постоянных значениях обобщенных сил (температуры, давления, приращения электрического поля и т. д.) являются однородными функциями первой степени относительно переменных состава системы. Таким образом, сюда относятся в первую очередь такие интегральные свойства системы, как внутренняя энергия, энтальпия, энтропия, и охорный изобарный потенциалы, полный электрический и магнитный моменты и т. д. Затем сюда же относятся все частные производные от перечисленных интегральных свойств по обобщенным силам любого порядка, которые в соответствии с определениями Д. И. Менделеева целесообразно именовать дифференциальными свойствами системы.

Состав превращающейся системы в любой стадии превращения может быть определен тремя величинами:  $N_1$ ,  $N_2$  и  $N_3$ , где  $N_1$  — число единиц массы исходных веществ,  $N_2$  — число единиц массы продуктов превращения и  $N_3$  — число единиц массы побочных веществ. В зависимости от характера превращения под исходными веществами здесь следует понимать либо эквивалентную смесь веществ, вступающих в химическую реакцию, либо эвтектическую или азеотропную смесь, претерпевающую фазовое превращение, и т. д. В частном случае речь может идти об одном веществе, претерпевающем химическое или физическое превращение. Аналогичный смысл следует приписывать здесь и продуктам превращения. Под побочными здесь понимаются вещества, масса которых в пренес-превращения остается неизменной. К последним могут относиться присутствующие в системе растворители, а также сверхэквивалентные количества отдельных (но, понятно, не всех!) исходных веществ или продукт в превращения в том случае, когда речь идет о химической реакции. Само собою понятно, что в частном случае побочные вещества могут в системе отсутствовать.

Учитывая, что величина экстенсивного свойства  $X$ , помимо состава системы, определяемого переменными  $N_1$ ,  $N_2$  и  $N_3$ , зависит еще от значений обобщенных сил:  $y_1, \dots, y_i, \dots, y_j$ , действующих в этой системе, можно изобразить эту величину в виде функции:

$$X = F(N_1, N_2, N_3, y_1, \dots, y_i, \dots, y_j). \quad (1)$$

В превращающейся системе изменения величин  $N_1$  и  $N_2$  связаны друг с другом. Однако на первой стадии анализа (1) выгодно представить и величины в качестве независимых переменных. Такое поведение системы является физически осуществимым. Так, например, если в системе протекает химическая реакция, последняя часто может быть полностью заторможена путем удаления из системы присутствующего ней катализатора или путем внесения в нее отрицательного катализатора. В этом случае величины  $N_1$  и  $N_2$  становятся уже независимыми переменными.

Учитывая ранее описанный характер функции  $X$  и применяя к ней известную теорему Эйлера, можно представить (1) в следующем виде:

$$X = N_1 \left( \frac{\partial X}{\partial N_1} \right)_{N_2, N_3, y_i, y_j} + N_2 \left( \frac{\partial X}{\partial N_2} \right)_{N_1, N_3, y_i, y_j} + N_3 \left( \frac{\partial X}{\partial N_3} \right)_{N_1, N_2, y_i, y_j}, \quad (2)$$

где значки  $y_i$  и  $y_j$  у частных производных указывают, что последние берутся при постоянных значениях всех обобщенных сил.

Вводя далее обозначения:

$$\bar{X}_r = \frac{\partial X}{\partial N_r}, \quad (3)$$

получаем (2) следующую форму:

$$X = N_1 \bar{X}_1 + N_2 \bar{X}_2 + N_3 \bar{X}_3. \quad (4)$$

Величины  $\bar{X}_1, \bar{X}_2$  и  $\bar{X}_3$ , фигурирующие в этом уравнении, в дальнейшем будут именоваться парциальными. Последние в общем случае не совпадают с общезвестными парциальными молярными величинами. Характер связи между теми и другими зависит от вида единицы массы (1 г-экв. или 1 г и т. п.), избранных для исчисления  $N_1, N_2$  и  $N_3$ , и в каждом частном случае легко может быть установлен.

Уравнение (4) как по внешней форме, так и по своему внутреннему содержанию аналогично выражению, используемому при выводе известного уравнения Гиббса — Дюгема. Поэтому анализ (4) позволяет сделать некоторые важные заключения, подобные тем, которые выводятся из уравнения Гиббса — Дюгема.

Обратим внимание на то, что каждая из парциальных величин  $\bar{X}_r$  является однородной функцией нулевой степени относительно аргументов  $N_1, N_2$  и  $N_3$ . Это позволяет на основании теоремы Эйлера написать:

$$N_1 \frac{\partial \bar{X}_r}{\partial N_1} + N_2 \frac{\partial \bar{X}_r}{\partial N_2} + N_3 \frac{\partial \bar{X}_r}{\partial N_3} = 0. \quad (5)$$

Но, так как

$$\frac{\partial \bar{X}_r}{\partial N_k} = \frac{\partial^2 X}{\partial N_r \partial N_k} = \frac{\partial^2 X}{\partial N_k \partial N_r} = \frac{\partial \bar{X}_k}{\partial N_r},$$

можно в (5) произвести подстановки:  $\frac{\partial \bar{X}_r}{\partial N_1} = \frac{\partial \bar{X}_1}{\partial N_r}$ ,  $\frac{\partial \bar{X}_r}{\partial N_2} = \frac{\partial \bar{X}_2}{\partial N_r}$  и  $\frac{\partial \bar{X}_r}{\partial N_3} = \frac{\partial \bar{X}_3}{\partial N_r}$ , что при условии  $r = 2$  и, следовательно,  $N_r = N_2$  позволяет преобразовать (5) к такому виду:

$$N_1 \frac{\partial \bar{X}_1}{\partial N_2} + N_2 \frac{\partial \bar{X}_2}{\partial N_2} + N_3 \frac{\partial \bar{X}_3}{\partial N_2} = 0. \quad (6)$$

Учитывая далее то обстоятельство, что, подобно парциальным величинам, все три члена в левой части (6) также являются однородными функциями нулевой степени относительно  $N_1, N_2$  и  $N_3$ , можно, не изменяя величин этих функций, заменить в них указанные аргументы новыми:  $\frac{N_1}{N_1 + N_2}$ ,  $\frac{N_2}{N_1 + N_2}$  и  $\frac{N_3}{N_1 + N_2}$ , которые отличаются от прежних одним и тем же множителем  $\frac{1}{N_1 + N_2}$ .

Вводя для новых аргументов обозначения  $\frac{N_3}{N_1 + N_2} = \nu$ ,  $\frac{N_2}{N_1 + N_2} = \alpha$ , откуда  $\frac{N_1}{N_1 + N_2} = 1 - \alpha$ , и подставляя их взамен старых в (6), приводим последнее к виду:

$$(1 - \alpha) \frac{\partial \bar{X}_1}{\partial \alpha} + \alpha \frac{\partial \bar{X}_2}{\partial \alpha} + \nu \frac{\partial \bar{X}_3}{\partial \alpha} = 0. \quad (7)$$

Заменяя затем старые аргументы новыми в парциальных величинах  $\bar{X}_1, \bar{X}_2$  и  $\bar{X}_3$ , фигурирующих в (4), и выражая коэффициенты перед этими величинами также через новые аргументы, обозначив предварительно сумму  $N_1 + N_2$  через  $N$ , преобразуем (4) к такому виду:

$$X = N [(1 - \alpha) \bar{X}_1 + \alpha \bar{X}_2 + \nu \bar{X}_3]. \quad (8)$$

Интересно выяснить смысл новых аргументов, введенных в (7) и (8). Если систему, к которой применяются эти уравнения, рассматривать как результат превращения некоторой начальной системы и положить, что в начальной системе отсутствовали продукты превращения, то величина  $N = N_1 + N_2$ , измеряющая суммарную массу исходных веществ и

продуктов превращения и не изменяющаяся в процессе превращения, совпадает с начальной массой исходных веществ. Но в таком случае  $\nu = N_2/N$  измеряет степень превращения исходных веществ в продукты превращения.

Величина  $\nu = N_3/N$  показывает, во сколько раз масса побочных веществ превосходит массу веществ, участвующих в превращении. Эта величина является постоянной в процессе превращения, если при этом побочные вещества не вносятся дополнительно извне в систему.

Перед дальнейшим использованием (7) и (8) полезно напомнить, что при выводе этих уравнений значения обобщенных сил считались постоянными. Помимо того, необходимо учесть, что в (7) все частные производные взяты по  $\alpha$  и, следовательно, при неизменности аргумента  $\nu$ . Поэтому более строгое изображение (7) должно иметь следующий вид:

$$(1 - \alpha) \left( \frac{\partial \bar{X}_1}{\partial \alpha} \right)_{\nu, y_i, y_j} + \alpha \left( \frac{\partial \bar{X}_2}{\partial \alpha} \right)_{\nu, y_i, y_j} + \nu \left( \frac{\partial \bar{X}_3}{\partial \alpha} \right)_{\nu, y_i, y_j} = 0 \quad (9)$$

С другой стороны, в (8) парциальные величины  $\bar{X}_1$ ,  $\bar{X}_2$  и  $\bar{X}_3$  являются функциями не только аргументов  $\alpha$  и  $\nu$ , но и обобщенных сил. Само же экстенсивное свойство  $\bar{X}$ , помимо того, зависит от дополнительного аргумента  $N$ , наличие которого в (8) отражает, собственно говоря, тот факт, что величина всякого такого свойства при неизменности прочих аргументов пропорциональна общей массе системы.

В системе, не способной к превращению или лишенной такой способности, все аргументы являются действительно независимыми переменными. Если, однако, в исследуемой системе наблюдается обратимое превращение, то изменение обобщенных сил и  $\nu$  вызывает в ней в большинстве случаев изменение степени превращения  $\alpha$ , следовательно, этот аргумент превращается в функцию предыдущих.

Учитывая последнее обстоятельство, продифференцируем (8) по одной из обобщенных сил  $y_i$ , что приводит к уравнению:

$$\left( \frac{\partial X}{\partial y_i} \right)_{N, \nu, y_j} = N \left[ (1 - \alpha) \left( \frac{\partial \bar{X}_1}{\partial y_i} \right)_{\nu, y_j} + \alpha \left( \frac{\partial \bar{X}_2}{\partial y_i} \right)_{\nu, y_j} + \nu \left( \frac{\partial \bar{X}_3}{\partial y_i} \right)_{\nu, y_j} + \right. \\ \left. + (\bar{X}_2 - \bar{X}_1) \left( \frac{\partial \alpha}{\partial y_i} \right)_{\nu, y_j} \right], \quad (10)$$

где значки  $y_j$  у производных символически указывают на неизменность всех обобщенных сил, кроме  $y_i$ .

При вычислении производных от парциальных величин в правой части (10) необходимо учесть, что каждая из этих величин в общем случае является функцией не только обобщенной силы  $y_i$ , но и степени превращения  $\alpha$ , которая сама в данном случае является функцией той же обобщенной силы  $y_i$ . Отсюда видно, что упомянутые производные в (10) должны определяться как «полные» производные по  $y_i$ , и, следовательно, для каждой из них должно быть справедливо уравнение:

$$\left( \frac{\partial \bar{X}_r}{\partial y_i} \right)_{\nu, y_j} = \left( \frac{\partial \bar{X}_r}{\partial y_i} \right)_{\nu, y_j, \alpha} + \left( \frac{\partial \bar{X}_r}{\partial \alpha} \right)_{\nu, y_i, y_j} \left( \frac{\partial \alpha}{\partial y_i} \right)_{\nu, y_j}, \quad (11)$$

использование которого позволяет преобразовать (10) к виду:

$$\left( \frac{\partial X}{\partial y_i} \right)_{N, \nu, y_j} = N \left[ (1 - \alpha) \left( \frac{\partial \bar{X}_1}{\partial y_i} \right)_{\nu, \alpha, y_j} + \alpha \left( \frac{\partial \bar{X}_2}{\partial y_i} \right)_{\nu, \alpha, y_j} + \nu \left( \frac{\partial \bar{X}_3}{\partial y_i} \right)_{\nu, \alpha, y_j} + \right. \\ \left. + (\bar{X}_2 - \bar{X}_1) \left( \frac{\partial \alpha}{\partial y_i} \right)_{\nu, y_j} \right] + N \left[ (1 - \alpha) \left( \frac{\partial \bar{X}_1}{\partial \alpha} \right)_{\nu, y_i, y_j} + \alpha \left( \frac{\partial \bar{X}_2}{\partial \alpha} \right)_{\nu, y_i, y_j} + \right. \\ \left. + \nu \left( \frac{\partial \bar{X}_3}{\partial \alpha} \right)_{\nu, y_i, y_j} \right] \left( \frac{\partial \alpha}{\partial y_i} \right)_{\nu, y_j}. \quad (12)$$



Сопоставляя полученное уравнение с (9), замечаем, что второй член в правой части (12) равен нулю, и, следовательно, данное уравнение приобретает следующий окончательный вид:

$$-\left(\frac{\partial \bar{X}}{\partial y_i}\right)_{N, \nu, y_j} = N \left[ (1 - \alpha) \left(\frac{\partial \bar{X}_1}{\partial y_i}\right)_{\nu, \alpha, y_j} + \alpha \left(\frac{\partial \bar{X}_2}{\partial y_i}\right)_{\nu, \alpha, y_j} + \nu \left(\frac{\partial \bar{X}_3}{\partial y_i}\right)_{\nu, \alpha, y_j} + \Delta \bar{X} \left(\frac{\partial \alpha}{\partial y_i}\right)_{\nu, y_j} \right], \quad (13)$$

где  $\Delta \bar{X} = \bar{X}_2 - \bar{X}_1$ .

Уравнение (8) и, в особенности, его дифференциальная форма (13) являются базисом для суждения о влиянии обратимого превращения произвольного типа на характер зависимости экстенсивных свойств системы от той или иной обобщенной силы, что открывает также путь для аналогичного суждения относительно некоторых неэкстенсивных свойств, имея в виду, что многие из них находятся в простой связи с экстенсивными.

### ВЫВОДЫ

Выведены обобщенные уравнения для экстенсивных свойств системы претерпевающей обратимое превращение произвольного типа под влиянием изменения той или иной обобщенной силы.

Выведенные уравнения являются базисом для суждения о характере тех аномалий в изменениях свойств системы, которые наступают под влиянием протекающего в ней обратимого физического или химического превращения.

Харьковский политехнический  
институт им. В. И. Ленина

Поступила  
17. VII 1954

### ЛИТЕРАТУРА

1. Д. И. Менделеев, Избранные сочинения, т. 3, ОНТИ, Л., 1934.
2. H. R. Krug, Zs. f. phys. Chem., 64, 513, 1968.
3. G. N. Lewis, M. Randall, Journ. Amer. Chem. Soc., 33, 476, 1911.
4. J. W. Williams, F. Daniels, Journ. Amer. Chem. Soc., 46, 1569, 1924.
5. W. F. Seurer, Journ. Amer. Chem. Soc., 75, 616, 1953.
6. В. Т. Славянский, ДАН, 58, 1077, 1947.
7. Н. А. Пушин, И. В. Гребеншиков, Journ. Chem. Soc., 123, 2717, 1923; 126, 2042, 1924.
8. С. С. Уразовский, П. М. Четаев, ДАН, 67, 101, 313, 1949.
9. С. С. Уразовский, Н. А. Сидоров, ДАН, 70, 859, 1950.
10. С. С. Уразовский, П. А. Чернявский, Труды Харьковского политехнического института им. В. И. Ленина, 1, 47, 59, 1952.
11. С. С. Уразовский, О молекулярной полиморфии, Изд-во АН УССР, 1950.
12. С. С. Уразовский, В. Н. Коробков, Труды ХНТИ им. С. М. Кирова, 7, 23, 1945.
13. С. С. Уразовский, Е. А. Коган, Журн. физ. химии, 24, 63, 1950.
14. С. С. Уразовский, ДАН, 82, 101, 1952.
15. С. С. Уразовский, Успехи химии, 21, 826, 1952.
16. P. S. Ehrenfest, Proc. Kon. Akad. Amsterdam, 36, 146, 1933.
17. Л. Д. Ландау и Е. М. Лифшиц, Статистическая физика, ГТТИ, М., 1938.
18. В. К. Семенченко, Журн. физ. химии, 21, 1461, 1947.
19. С. С. Уразовский, А. В. Воронов, ДАН, 77, 851, 1951.
20. В. К. Семенченко, ДАН, 74, 335, 1950.
21. В. К. Семенченко, Журн. физ. химии, 26, 1337, 1952.
22. E. D. Mc. Collum, Journ. Amer. Chem. Soc., 49, 28, 1927.
23. F. Mögliche, K. H. Riewe, R. Rompe, Ann. d. Phys. 35, 735, 1929.
24. П. С. Эпштейн, Курс термодинамики, ОГИЗ, М. — Л., 1948.
25. В. К. Семенченко, Вестн. МГУ, № 14, 103, 1948.
26. В. К. Семенченко, Изв. Сектора физ.-хим. анализа, 19, 26, 1949.
27. В. К. Семенченко, Журн. физ. химии, 25, 121, 1951.

## К ВОПРОСУ О ПОВЕРХНОСТНОМ НАТЯЖЕНИИ КРИСТАЛЛИЧЕСКОГО ЗАРОДЫША В РАСТВОРЕ

*С. В. Горбачев и А. В. Шлыков*

В настоящее время для большинства твердых тел отсутствуют надежные методы измерения поверхностного натяжения. Обычные методы измерения поверхностного натяжения в этом случае неприменимы ввиду весьма ограниченной подвижности молекул в твердых телах.

Как в отечественной, так и в иностранной литературе [1—5] имеются попытки оценить поверхностное натяжение на границе кристаллический зародыш/расплав или раствор. Наряду с другими методами [1] оценка поверхностного натяжения производится на основании уравнений, дающих зависимость скорости самопроизвольного возникновения зародышей в расплавах или в пересыщенных растворах от переохлаждения или пересыщения. Можно показать, что практически вывод соответствующих уравнений основан на втором начале термодинамики. Энтропия равновесной изолированной системы не является строго постоянной величиной, соответствующей максимальному возможному ее значению, а испытывает непрерывный ряд весьма малых флюктуативных изменений, оставаясь все время меньше этого максимального значения. Соответственно этому параметры, определяющие макроскопическое состояние системы, например концентрация, температура, давление и т. д., в отдельных небольших частях системы подвергаются флюктуативным колебаниям около некоторых средних значений, отвечающих макроэнтропии системы. Вероятность такого состояния системы, при котором отклонения этих параметров от средних значений лежат в пределах от  $n_1$  до  $n_1 + dn_1$  и от  $n_2$  до  $n_2 + dn_2 \dots$ , равна

$$W = Ce^{-\frac{S_0 - S}{k}} dn_1 dn_2, \quad (1)$$

где  $C$  — константа,  $S_0$  — макроскопическое значение энтропии при  $n_1 = n_2 = \dots = 0$ , а  $S$  — энтропия, соответствующая отклонениям  $n_1, n_2, \dots$ , и  $k$  — константа Больцмана. Энергия изолированной системы постоянна, поэтому для изотермических флюктуаций справедливо выражение:

$$S_0 - S = \frac{A}{T}, \quad (2)$$

где  $A$  — работа, необходимая для перевода системы из состояния с определенной энтропией в заданное. Следовательно,

$$W = Ce^{-\frac{A}{kT}} dn_1 dn_2, \quad (3)$$

где  $dn_1, dn_2$  — элементарный фазовый объем. Относя подсчеты к постоянной величине фазового объема, будем иметь вероятность состояния системы —  $W$ , пропорциональной экспоненциальному множителю, т. е.

$$W \simeq e^{-\frac{A}{kT}}. \quad (4)$$

Предполагая, что вероятность образования зародышей —  $J$  в пересыщенных растворах пропорциональна  $e^{-\frac{A}{kT}}$ , можно написать:

$$J \simeq W \simeq K e^{-\frac{A}{kT}}. \quad (5)$$

При образовании кристаллической фазы, находящейся в равновесии с жидкостью, кристаллический зародыш, при данном его объеме, должен обладать минимальной свободной поверхностной энергией [6, 17, 18]. Работа образования такого кристаллического зародыша определяется следующим выражением:

$$A = \frac{1}{3} \Sigma \sigma_i S_i, \quad (6)$$

где  $S_i$  — поверхность грани. Таким образом, работа образования кристаллического зародыша в пересыщенном растворе определяется не только значением поверхностной энергии  $\sigma$  на границе зародыш/раствор, но и его размерами. Следовательно, возникновение кристаллического зародыша возможно только в том случае, когда флюктуативно возникшая группировка молекул достигает определенного критического размера (эффективного радиуса —  $r_k$ ), определяемого из уравнения, аналогичного уравнению Томсона:

$$RT \ln \frac{c}{c_0} = \frac{2\sigma M}{r_k \rho}, \quad (7)$$

где  $c$ ,  $c_0$  — концентрации пересыщенного и насыщенного растворов,  $M$  — молекулярный вес растворенного вещества и  $\rho$  — плотность кристаллического зародыша.

На основании уравнений (6) и (7) работа изотермического образования кристаллического зародыша будет равна:

$$A = \frac{16\pi\sigma^3 M^2}{3R^2 T^2 \rho^2 \left(\ln \frac{c}{c_0}\right)^2}, \quad (8)$$

а вероятность образования кристаллических зародышей, согласно уравнению (5), определится выражением:

$$J = K e^{-\frac{16}{3} \frac{N\pi M^2 \sigma^3}{R^2 T^2 \rho^2 \left(\ln \frac{c}{c_0}\right)^2}}, \quad (9)$$

где  $N$  — число Авогадро. Несколько иным путем уравнение (9) выводится в теории Фольмера и Вебера [7], которая была в дальнейшем развита Странским и Каишевым [8], а также Беккером и Дерингом [9]. Аналогичные представления развивал Я. И. Френкель [10]. Предэкспоненциальный коэффициент  $K$  определяется скоростью обмена молекул между кристаллическим зародышем и фазообразующей средой и поэтому в общем случае должен зависеть от механизма обмена. Для случая кристаллизации из пересыщенных растворов Я. И. Френкель [10] полагает, что вероятность перехода молекул из пересыщенного раствора в зародыш

пропорциональна выражению  $e^{-\frac{\Delta u}{RT}}$ , где  $\Delta u$  — энергия активации, тогда коэффициент  $K$  в уравнении (9) может быть представлен следующим выражением:

$$K = K_1 e^{-\frac{\Delta u}{RT}}, \quad (10)$$



е  $K_1$  — постоянный коэффициент. Вводя это значение  $K$  в выражение я вероятности образования зародышей (9), получим:

$$J = K_1 e^{-\frac{\Delta u}{RT}} e^{-\frac{16}{3} \frac{N\pi M^3 \sigma^3}{R^3 T^3 \rho^3 \left(\ln \frac{c}{c_0}\right)^3}}, \quad (11)$$

означая

$$B = \frac{16}{3} \frac{N\pi}{R^3} \left(\frac{M}{\rho}\right)^3, \quad (12)$$

ончательно будем иметь:

$$J = K_1 e^{-\frac{\Delta u}{RT}} e^{-\frac{B\sigma^3}{T^3 \left(\ln \frac{c}{c_0}\right)^3}}. \quad (13)$$

гласно теоретическим подсчетам [10, 11], численная величина  $K_1$  находится в пределах  $10^{23}$ — $10^{26}$ .

Против изложенной теории образования новой фазы одним из авторов [2], выдвинуты серьезные возражения.

1. Процесс образования новой фазы сопровождается изменением температуры, причем порядок этого эффекта определяется как раз энтропией фазообразования. Поэтому этот процесс существенно неизотермичен. Теория, исходящая из условия изотермичности процессов образования новой фазы, не может быть верной.

2. Второе начало термодинамики нельзя считать применимым к таким зародышам, которые имеют размер порядка  $10^{-6}$  см [13].

3. Пересыщенный раствор, особенно в случае хорошо растворимых веществ, не может трактоваться как идеальный, и поэтому приложение к нему термодинамических уравнений для идеальных систем не может дать верных результатов.

4. Эта теория образования новой фазы не учитывает необходимость определенного времени для правильной ориентировки молекул, входящих в флюктуативное уплотнение.

Как видно из предыдущего, рассматриваемая теория возникновения новой фазы базируется на применении второго начала термодинамики к его статистическому выражению к процессам, ведущим к отклонениям в малых частях системы таких параметров, как плотность, температура и т. д., от статистически средних параметров ее макроскопического состояния. Поэтому применение второго начала к объектам, для которых оно нарушается, не может быть справедливым.

В явлениях возникновения новой фазы решающее значение должна иметь не свободная энергия фазового перехода, а кинетика отдачи энергии. Образование зародыша из флюктуативного уплотнения только тогда возможно, когда от него обеспечен более или менее свободный отвод избыточной энергии. Несмотря на приведенные существенные недостатки теоретического обоснования, уравнение (13) используется для вычисления поверхностного натяжения на границе кристаллический зародыш/раствор. Численные значения  $K_1$ ,  $\Delta u$  и  $B\sigma^3$ , входящих в соотношение (13), можно определить только в том случае, если есть возможность по экспериментальным данным найти зависимость скорости самопроизвольного образования кристаллических зародышей в пересыщенных растворах от градиента относительного пересыщения  $\left(\ln \frac{c}{c_0}\right)$ . Однако найти такую зависимость не представляется возможным, так как при тщательной очистке учаемых веществ малейшему изменению величины  $\ln \frac{c}{c_0}$  соответствует очень резкое возрастание времени, необходимого для появления кристаллических зародышей [14], что практическое осуществление таких изме-

рений становится невозможным. Можно произвести лишь ориентировочную оценку поверхностного натяжения на границе кристаллический зародыш/раствор.

При предельном пересыщении, отвечающем самопроизвольному процессу кристаллизации вещества из его раствора, вероятность образования кристаллических зародышей  $J = 1$ . Подставляя это значение  $J$  в соотношение (13), после его логарифмирования и преобразования, получ

$$\sigma^3 = \frac{\ln K_1 T^3 \left( \ln \frac{c}{c_0} \right)^2}{B} - \frac{\Delta u}{BR} T^2 \left( \ln \frac{c}{c_0} \right)^2.$$

Принимая значение  $K_1 = 10^{26}$ , имеем:

$$\sigma^3 = \frac{59,87 T^3 \left( \ln \frac{c}{c_0} \right)^2}{B} - \frac{\Delta u}{BR} T^2 \left( \ln \frac{c}{c_0} \right)^2, \quad (14)$$

где  $B$  определяется соотношением (12). Для пересыщенных растворов можно аналогично положить энергию активации  $\Delta u$  равной теплоте растворения соли. Подставляя в соотношение (14)  $U$ ,  $c_0$  и  $c$ , можно вычислить ориентировочную величину поверхностного натяжения  $-\sigma$  на границе кристаллический зародыш/раствор.

Найденные таким способом численные значения поверхностного натяжения кристаллических зародышей  $\text{KNO}_3$ ,  $\text{KCl}$ ,  $\text{KBr}$ ,  $\text{K}_2\text{SO}_4$ ,  $\text{K}_2\text{Cr}_2\text{O}_7$ ,  $\text{KBrO}_3$  и  $\text{KJO}_3$  при различных температурах приведены в таблице 1.

**Поверхностное натяжение  $-\sigma$  на границе кристаллический зародыш/раствор и размер зародышей**

(по опытным данным настоящего исследования и уравнениям теории Фольмера)

| Соль                              | Температура °C | Растворимость $c_s$ , г-мол/кг | Предельная концентрация $-c$ г-мол/кг | $B$    | $\Delta u$ кал/г-мол | $\sigma$ эрг/см <sup>2</sup> | Радиус сферического зародыша $r_k$ в |
|-----------------------------------|----------------|--------------------------------|---------------------------------------|--------|----------------------|------------------------------|--------------------------------------|
| $\text{KNO}_3$                    | 0              | 1,30                           | 3,28                                  | 40286  | 8543                 | 26,7                         | 12,2                                 |
|                                   | 10             | 2,13                           | 4,75                                  |        |                      | 25,3                         | —                                    |
|                                   | 20             | 3,14                           | 6,59                                  |        |                      | 25,0                         | —                                    |
|                                   | 30             | 4,55                           | 8,78                                  |        |                      | 23,7                         | —                                    |
|                                   | 40             | 6,35                           | 11,26                                 |        |                      | 22,2                         | —                                    |
|                                   | 50             | 8,49                           | 13,99                                 |        |                      | 21,4                         | 16,3                                 |
| $\text{KCl}$                      | 0              | 3,83                           | 5,33                                  | 24624  | 4462                 | 17,9                         | 16,1                                 |
|                                   | 10             | 4,19                           | 5,89                                  |        |                      | 17,7                         | —                                    |
|                                   | 20             | 4,59                           | 6,24                                  |        |                      | 17,1                         | —                                    |
|                                   | 30             | 5,01                           | 6,61                                  |        |                      | 16,3                         | —                                    |
|                                   | 40             | 5,40                           | 6,97                                  |        |                      | 16,2                         | 20,2                                 |
| $\text{KBr}$                      | 0              | 4,43                           | 5,23                                  | 32623  | 5147                 | 9,5                          | 21,8                                 |
|                                   | 10,5           | 5,17                           | 5,58                                  |        |                      | 5,9                          | —                                    |
|                                   | 20             | 5,46                           | 6,03                                  |        |                      | 7,3                          | —                                    |
|                                   | 30             | 5,93                           | 6,48                                  |        |                      | 6,9                          | —                                    |
|                                   | 40             | 6,39                           | 6,90                                  |        |                      | 6,6                          | —                                    |
|                                   | 50             | 6,82                           | 7,30                                  |        |                      | 6,3                          | —                                    |
| $\text{K}_2\text{SO}_4$           | 60             | 7,22                           | 7,70                                  | 75294  | 6423                 | 6,3                          | 30,0                                 |
|                                   | 10             | 0,42                           | 1,29                                  |        |                      | 25,4                         | 13,1                                 |
|                                   | 10             | 0,53                           | 1,36                                  |        |                      | 23,5                         | 13,6                                 |
| $\text{K}_2\text{Cr}_2\text{O}_7$ | 0              | 0,16                           | 2,76                                  | 209885 | 16700                | 28,4                         | 9,6                                  |
| $\text{KBrO}_3$                   | 10             | 0,28                           | 3,40                                  | 45168  | 9970                 | 27,5                         | 10,2                                 |
|                                   | 12,1           | 0,33                           | 1,36                                  |        |                      | 35,1                         | 10,7                                 |
|                                   | 32,1           | 0,61                           | 2,04                                  |        |                      | 34,1                         | 11,4                                 |
| $\text{KJO}_3$                    | 13,6           | 0,31                           | 0,86                                  | 52837  | 6705                 | 28,4                         | 12,7                                 |
|                                   | 35,5           | 0,58                           | 1,16                                  |        |                      | 23,6                         | 14,6                                 |

этой же таблице даны численные значения  $B$  и  $\Delta u$ , а также значения критического радиуса кристаллического зародыша —  $r_k$ , найденные из соотношения (7).

Согласно данным таблицы, поверхностное натяжение на границе зародыш/раствор понижается с ростом температуры, что и следовало ожидать. С ростом поверхностного натяжения с повышением температуры (от 10 до 20°C) меняется только для КВг. Рост  $\sigma$  с температурой есть результат незначительного различия в  $s$  и  $c_0$ , обусловленного особенностями растворимости КВг. Близость значений  $s$  и  $c_0$  должна, согласно (14), в сильной мере отразиться на численной величине  $\sigma$ . Из соотношения величин, входящих в выражение (14), видно, что численное значение  $\sigma$  в основном определяется величиной логарифма пересыщения —  $\ln \frac{c}{c_0}$  и мало зависит от энергии активации —  $\Delta u$ . Так, например, если при вычислении поверхностного натяжения на границе кристаллический зародыш/раствор для КВг при  $t = 10^\circ\text{C}$  принять значение  $\Delta u = 0$  или вдвое больше, чем, которое указано в таблице, и подсчитать при этих условиях  $\sigma$  по выражению (14), то оно будет больше или меньше величины  $\sigma$ , приведенной в таблице, на 0,3 эрг/см<sup>2</sup> ( $t = 10^\circ\text{C}$ ). Тем самым, полученное значение в численных значениях  $\sigma$  не превышает 5%. Величина  $B$  в соотношении (14) зависит от равновесной формы зародыша, и ее значение может изменяться при переходе от одной равновесной формы зародыша к другой. Например, если считать, что равновесной формой зародыша является куб, то для него значение  $B$  можно найти следующим путем.

Кристаллический зародыш, имеющий форму куба, возникает внутри флюидного уплотнения, для которого предполагается сферическая форма радиуса  $r_k$ . Поверхность  $S$  куба, вписанного в сферу радиуса  $r_k$ , будет:

$$S = 8r_k^2, \quad (15)$$

где  $r_k$  определяется из соотношения (7).

Подставляя значение  $r_k$  в (15), найдем:

$$S = \frac{32\sigma^2 \left(\frac{M}{\rho}\right)^2}{R^2 T^2 \left(\ln \frac{c}{c_0}\right)^2}, \quad (16)$$

Работа образования кубического зародыша по (6) будет:

$$A = \frac{32}{3} \frac{\sigma^3}{R^2} \left(\frac{M}{\rho}\right)^2 \frac{1}{T^2 \left(\ln \frac{c}{c_0}\right)^2}. \quad (17)$$

Следовательно,  $B$  согласно (5) определится выражением:

$$B = \frac{32}{3} \frac{N}{R^3} \left(\frac{M}{\rho}\right)^2. \quad (18)$$

Вычисляя по (18) значение  $B$  для кубического зародыша и подставляя его в (14), найдем, что численная величина  $\sigma$  увеличится не более чем на 15%, по сравнению с теми значениями, которые указаны в таблице для зародышей КС1 и КВг. Поэтому для ориентировочных расчетов мы пользовались значением  $B$  для сферического зародыша. Изменение другого значения  $K$ , например  $K_1 = 10^{23}$ , не может вызвать уменьшение значений  $\sigma$ , указанных в таблице, больше чем на 10%.

Порядок величин поверхностного натяжения —  $\sigma$  на границе кристаллический зародыш/раствор можно грубо оценить, уменьшив поверхностное натяжение на границе расплав соли/пар в отношении теплот



испарения и растворения. Поверхностное натяжение —  $\sigma$  расплавов, теплоты испарения и теплоты растворения для KCl и KBr имеют следующие значения [15, 16]:

$$\sigma_{\text{KCl}} = 98,4 \text{ эрг/см}^2 \text{ (при } t^\circ \text{ пл)}; \Delta H_{\text{исп}}^{\text{KCl}} = 38,84 \text{ ккал/г-мол (} t^\circ = 1690^\circ \text{С)}$$

$$\Delta H_{\text{раств}}^{\text{KCl}} = 4,462 \text{ ккал/г-мол;}$$

$$\sigma_{\text{KBr}} = 83,5 \text{ эрг/см}^2 \text{ (при } t^\circ \text{ пл)}; \Delta H_{\text{исп}}^{\text{KBr}} = 37,06 \text{ ккал/г-мол (} t^\circ = 1656^\circ \text{С)}$$

$$\Delta H_{\text{раств}}^{\text{KBr}} = 5,147 \text{ ккал/г-мол.}$$

По этим данным находим поверхностное натяжение кристалл/раствор для KCl и KBr:

$$\sigma_{\text{KCl/раствор}} = 11,29 \text{ эрг/см}^2 \text{ и } \sigma_{\text{KBr/раствор}} = 11,57 \text{ эрг/см}^2.$$

Сравнивая эти значения поверхностного натяжения на границе кристалл/раствор с теми, которые вычислены для этих солей по (14), видим, что порядок величин  $\sigma$ , полученный разными путями, совпадает. Однако такое совпадение еще не является доказательством того, что найденные значения поверхностного натяжения кристаллический зародыш/раствор более или менее близки к истинным.

В самом деле, как известно, поверхностное натяжение на границе кристалл/жидкость —  $\sigma_{\text{кр./ж.}}$  связано с поверхностным натяжением на границе кристалл/газ  $\sigma_{\text{кр./г.}}$  соотношением

$$\sigma_{\text{кр./ж.}} = \sigma_{\text{кр./г.}} - \sigma_{\text{ж./г.}} \cdot \cos \theta. \quad (19)$$

Для водного раствора KCl с абсолютным пересыщением в 1,3 г-мол/кг поверхностное натяжение на границе раствор/газ при 20°C приблизительно равно 78 эрг/см<sup>2</sup>, а краевой угол натекания не превышает 26°. Теоретическое значение  $\sigma_{\text{кр./г.}} = 121 \text{ эрг/см}^2$  [17]. Подставляя эти значения в уравнение (19), находим  $\sigma_{\text{кр./ж.}} = 51 \text{ эрг/см}^2$ .

Некоторые авторы [5] считают возможным вычислять величину поверхностного натяжения  $\sigma$  на границе кристаллический зародыш/раствор следующим путем. По известной теплоте растворения вещества вычисляют энергию, приходящуюся на одну его молекулу. Полагая, что зародышем кристалла является элементарная ячейка, находят, исходя из межплоскостного расстояния, ее поверхность. Численная величина поверхностного натяжения зародыш/раствор определяется как частное от деления энергии, приходящейся на одну молекулу, на поверхности элементарной ячейки. Однако такой расчет не может быть верным, так как само понятие поверхностного натяжения не применимо к элементарной ячейке, где число молекул не может быть большим.

Согласно таблице, радиус сферического зародыша KCl  $r_k = 16,1 \text{ Å}$  ( $t = 0^\circ \text{C}$ ). Хлористый калий кристаллизуется в форме куба. Ребро куба —  $a_1$ , вписанного в сферу радиуса  $r_k$ , равно:  $a_1 = \frac{2\sqrt{3}}{3} r_k$ . Подставляя значение  $r_k$ , найдем  $a_1 = 18,5 \text{ Å}$ . Элементарную ячейку KCl можно представить в виде куба с межплоскостным расстоянием  $d = 3,14 \text{ Å}$  и ребром  $a = 6,28 \text{ Å}$ . Согласно этим данным, на ребре куба кристаллического зародыша с ребром  $a_1 = 18,5 \text{ Å}$  будет находиться 3 иона калия и 3 иона хлора, т. е. всего 6 ионов. Следовательно, общее число ионов, содержащихся в таком кристаллическом зародыше, равно 216, из которых 152 находятся на его поверхности. Аналогичный расчет для  $\text{K}_2\text{Cr}_2\text{O}_7$ , кристаллизующегося в триклинной системе с параметрами элементарной ячейки  $a = 7,5 \text{ Å}$ ,  $b = 7,38 \text{ Å}$ ,  $c = 13,4 \text{ Å}$ , показывает, что в зародыше кристалла будет находиться не более 14 молекул, из которых 13 нахо-

яется на поверхности зародыша. Применение к таким малым зародышам макроскопического понятия поверхностного натяжения вызывает сомнение.

Определение поверхностного натяжения из теплот растворения мелких крупных частиц соли приводит к значениям поверхностного натяжения на границе кристалл/раствор порядка ста или нескольких сот эргов на  $\text{м}^2$ . К таким же порядкам величин приводят и другие методы измерений [1]. Все это показывает недостаточную надежность уравнения Фольмера для таких вычислений.

Вопрос о пригодности уравнения (13) для количественной характеристики процесса образования кристаллических зародышей в пересыщенных растворах с предельным пересыщением возможно полностью решить только при непосредственном измерении как величин поверхностного натяжения на границе кристалл/раствор, так и размеров тех кристалликов, которые могут вызвать их кристаллизацию.

### ВЫВОДЫ

1. Полученные в настоящем исследовании опытные данные о величинах предельного пересыщения водных растворов  $\text{KNO}_3$ ,  $\text{KCl}$ ,  $\text{KBr}$ ,  $\text{K}_2\text{SO}_4$ ,  $\text{K}_2\text{Cr}_2\text{O}_7$ ,  $\text{KBrO}_3$  и  $\text{KJO}_3$  использованы для расчета поверхностного натяжения  $\sigma$  на границе кристаллического зародыша с раствором по уравнениям теории возникновения новой фазы Фольмера.

2. Полученные величины  $\sigma$  имеют заниженные значения и плохо согласуются с имеющимися в литературе опытными данными.

3. Вызывает сомнение возможность применения понятия поверхностной энергии к столь малым объектам, как зародыши кристаллизации.

4. Достигнутые в настоящем исследовании высокие пересыщения позволяют экспериментально подтвердить соображения о недостаточной теоретической обоснованности указанной теории возникновения новой фазы.

Химико-технологический  
институт им. Д. И. Менделеева  
Москва  
Ждановский металлургический  
институт

Поступила  
12. IX. 1954

### ЛИТЕРАТУРА

1. В. Д. Кузнецов, Поверхностная энергия твердых тел, Техтеоретиздат, М., 1954.
2. Ф. К. Горский, ЖЭТФ, 18, 45, 1948.
3. В. И. Данилов, ЖЭТФ, 19, 235, 1949.
4. В. И. Данилови Ю. А. Кристалл, ЖЭТФ, 19, 304, 1949; В. И. Данилов и Д. С. Каменецкая, ЖЭТФ, 19, 313, 1949.
5. С. Брансом, В. Данниг, Б. Миллард, Новые исследования по кристаллографии и кристаллохимии. Пер. об., 1, ИИЛ, М., 1950.
6. W. Gibbs, Coll. Works, L., 1928, стр. 322.
7. M. Volmer u. A. Weber, Zs. phys. Chem., 119, 227, 1926.
8. J. Stranski u. R. Kaischew, Zs. phys. Chem., 26, 317, 1934.
9. R. Becker u. W. Döring, Ann. Physik, 24, 719, 1935.
0. Я. И. Френкель, Кинетическая теория жидкостей, Изд-во АН СССР, 1945, стр. 236.
1. J. Stranski, в книге M. Volmer, «Kinetik der Phasenbildung, Leipzig, 1939, стр. 162.
2. С. В. Горбачев, Исследования явлений возникновения новой фазы. Диссертация, М., 1941.
3. A. Krause u. K. Kapitanzik, Kolloid. Zs., 57, 50, 1931.
4. С. В. Горбачев и А. В. Шлыков, Журн. физ. химии, 29, 1399, 1955.
5. Справочник химика, т. 1, 881, Госхимиздат, 1951.
6. Термические константы неорганических веществ, Изд-во АН СССР, 1949, стр. 517—519.
7. В. Д. Кузнецов, Кристаллы и кристаллизация, Техтеоретиздат, М., 1954, стр. 198.
8. Г. Вакли, Рост кристаллов, ИИЛ, М., 1954.

# ИССЛЕДОВАНИЕ ПРОЦЕССОВ, ПРОТЕКАЮЩИХ С ИЗМЕНЕНИЕМ ЧИСЛА СТЕПЕНЕЙ СВОБОДЫ В МНОГОКОМПОНЕНТНЫХ ГЕТЕРОГЕННЫХ СИСТЕМАХ. I.

Л. С. Палатник и А. П. Ландау

С целью дальнейшего внедрения в физико-химический анализ топологических идей Н. С. Курнакова [1] представляет интерес строго аналитическое доказательство и обобщение на случай термодинамически систем со сколь угодно большим числом компонентов закона о соприкосновениях пространств состояний [2] (стр. 568): «если в диаграмме тройной системы два пространства (объема) состояний разделены друг от друга поверхностью, то отвечающие им состояния отличаются друг от друга на одну фазу»\*.

В связи с указанной проблемой возникает более общая задача аналитического исследования  $K-L$  процессов.  $K-L$  процессом мы назовем переход  $K$ -вариантной термодинамической системы в  $L$ -вариантную. Обе системы представляют собой одну и ту же термодинамическую систему с одним и тем же массовым составом, но лишь участвующую сперва в  $K$ -вариантном, а затем в  $L$ -вариантном процессе.

Рассмотрение  $K-L$  процессов будет относиться к случаям, когда  $K \leq L \leq 2$ .

Пусть в  $K$ -вариантной системе участвуют:  $n-K-a-1=q$  чистых компонентов\*\*,  $a$  — твердых растворов (или химических соединений) и жидкая фаза. Пусть  $K$ -вариантная система перешла в  $L$ -вариантную со следующим составом:  $n-L-b-1=p$  чистых компонентов,  $b$  — твердых растворов и жидкая фаза. Условимся записывать схематически состав  $K$ -вариантной системы следующим образом:  $1_{ж.ф.} + q_{ч.к.} + a_{тв.р.}$ . Аналогично состав  $L$ -вариантной системы запишется так:  $1_{ж.ф.} + p_{ч.к.} + b_{тв.р.}$ . Тогда  $K-L$  переход можно записать следующим образом:

$$1_{ж.ф.} + q_{ч.к.} + a_{тв.р.} \rightarrow 1_{ж.ф.} + p_{ч.к.} + b_{тв.р.}$$

В настоящей статье мы рассмотрим случай (легко допускающий дальнейшее обобщение), когда часть твердых растворов и чистых компонентов или только исчезла, или только возникла при  $K-L$  переходе. Мы рассмотрим пока в первую очередь наиболее общий возможный случай, когда при  $K-L$  переходе часть чистых компонентов и часть твердых растворов исчезает, а часть их возникает заново. Он должен явиться предметом специального исследования.

Обозначим:  $\alpha$  — наибольшее из чисел  $q$  и  $p$ ,  $\beta$  — наименьшее из этих чисел;  $\tau$  — наибольшее из чисел  $a$  и  $b$ ,  $\gamma$  — наименьшее из чисел  $a$  и  $b$ . Легко видеть, что  $\alpha - \beta = q - p$ , т. е. равно числу возникших (при  $q < p$  или исчезающих (при  $q > p$ ) чистых компонентов, а  $\tau - \gamma = a - b$ , т. е. равно числу возникших (при  $a < b$ ) или исчезающих (при  $a > b$ ) твердых растворов.

\* В данном случае вернее было бы говорить не о законе, а о правиле, так как вышеупомянутый закон допускает исключения см. [2].

\*\* Здесь и ниже под термином «чистый компонент» подразумевается фаза, состоящая из одного чистого компонента.



Помимо этого, примем следующие обозначения:  $M$  — масса всей системы;  $M_i$ ,  $X_i$  — масса и концентрация  $i$ -го компонента во всей системе;  $m_j$  — масса  $j$ -й фазы;  $m_{ij}$ ,  $x_{ij}$ ,  $\mu_{ij}$  — масса, концентрация и химический потенциал  $i$ -го компонента в  $j$ -й фазе;  $P$  и  $T$  — давление и температура системы;  $\dots \notin \{\dots\}$  — означает, что данная величина не принадлежит к набору величин, указанных в фигурных скобках; величины, обозначенные одним штрихом, относятся к  $K$ -вариантной системе. Вмешательством штрихами — к  $L$ -вариантной.

Фазы  $K$ -вариантной системы нумеруются следующим образом:  $S_1, S_2, \dots, S_q$  — чистые компоненты;  $1, 2, \dots, a$  — твердые растворы;  $K$  — жидкая фаза. Соответственно для  $L$ -вариантной системы:  $S_1, S_2, \dots, S_p$  — чистые компоненты;  $1, 2, \dots, b$  — твердые растворы;  $ж$  — жидкая фаза. Отсюда индексация масс фаз  $K$ -вариантной системы:  $m_{S_1}, m_{S_2}, \dots, m_{S_q}, m'_1, m'_2, \dots, m'_a, m'_{ж}$  и масс фаз  $L$ -вариантной системы:  $m_{S_1}, m_{S_2}, \dots, m_{S_p}, m'_1, m'_2, \dots, m'_b, m'_{ж}$ . Нумерация компонентов производится в  $K$ - и  $L$ -вариантной системе всегда следующим образом: первыми нумеруются компоненты, выпадающие в чистом виде как в  $K$ -, так и в  $L$ -вариантной системе, причем так, чтобы номер компонента отвечал номеру соответствующей фазы ( $i$ -й компонент —  $S_i$ -я фаза); затем таким же образом нумеруются компоненты, выпавшие в чистом виде только одной из этих систем ( $K$ - или  $L$ -вариантной); после этого в произвольном порядке нумеруются остальные компоненты.

#### ВЫВОД ОСНОВНОЙ СИСТЕМЫ УРАВНЕНИЙ

Используя обобщенный метод «центра тяжести» [3,4], мы можем выразить массы  $K$ -вариантной системы следующим образом:

$$m'_j = \frac{\Delta'_j}{\Delta'_L} M, \quad j = 1, 2, \dots, a; \quad (1)$$

$$m'_{S_i} = \left( X_i - \sum_{j=1}^a \frac{\Delta'_j}{\Delta'_L} x'_{ij} - \frac{\Delta'_{ж}}{\Delta'_L} x'_{iж} \right) M, \quad (2)$$

$$i = 1, 2, \dots, q$$

$$m'_{ж} = \frac{\Delta'_{ж}}{\Delta'_L} M, \quad (3)$$

$$\Delta'_L = \begin{vmatrix} x'_{11} & \dots & x'_{1a} & x'_{1ж} \\ \dots & \dots & \dots & \dots \\ x'_{a+11} & \dots & x'_{a+1a} & x'_{a+1ж} \end{vmatrix} \neq 0, \quad (4)$$

$$\Delta'_j = \begin{vmatrix} x'_{11} & \dots & x'_{1,j-1} & X_{1j} & x'_{1,j+1} & \dots & x'_{1a} & x'_{1ж} \\ \dots & \dots & \dots & \dots & \dots & \dots & \dots & \dots \\ x'_{a+11} & \dots & x'_{a+1,j-1} & X_{a+1j} & x'_{a+1,j+1} & \dots & x'_{a+1a} & x'_{a+1ж} \end{vmatrix} \quad (5)$$

$$\Delta'_{ж} = \begin{vmatrix} x'_{11} & \dots & x'_{1a} & X_{1ж} \\ \dots & \dots & \dots & \dots \\ x'_{a+11} & \dots & x'_{a+1a} & X_{a+1ж} \end{vmatrix} \quad (6)$$

при всех

$$\eta'_i > q \quad (i = 1, 2, \dots, a+1).$$

Соответственно для  $L$ -вариантной системы:

$$m_j^* = \frac{\Delta_j^*}{\Delta_L^*} M; \quad j = 1, 2, \dots, b, \quad (7)$$

$$m_{S_i}^* = \left( X_i - \sum_{j=1}^b \frac{\Delta_j^*}{\Delta_L^*} x'_{ij} - \frac{\Delta_{\text{ж}}^*}{\Delta_L^*} x'_{i\text{ж}} \right) M; \quad i = 1, 2, \dots, p \quad (8)$$

$$m_{\text{ж}}^* = \frac{\Delta_{\text{ж}}^*}{\Delta_L^*} M, \quad (9)$$

где

$$\Delta_L^* = \begin{vmatrix} x'_{\eta_1 1} & \dots & x'_{\eta_1 b} & x'_{\eta_1 \text{ж}} \\ \dots & \dots & \dots & \dots \\ x'_{\eta_{b+1} 1} & \dots & x'_{\eta_{b+1} b} & x'_{\eta_{b+1} \text{ж}} \end{vmatrix} \neq 0, \quad (10)$$

$$\Delta_j^* = \begin{vmatrix} x'_{\eta_1 1} & \dots & x'_{\eta_1 j-1} & X_{\eta_1} & x'_{\eta_1 j+1} & \dots & x'_{\eta_1 b} & x'_{\eta_1 \text{ж}} \\ \dots & \dots & \dots & \dots & \dots & \dots & \dots & \dots \\ x'_{\eta_{b+1} 1} & \dots & x'_{\eta_{b+1} j-1} & X_{\eta_{b+1}} & x'_{\eta_{b+1} j+1} & \dots & x'_{\eta_{b+1} b} & x'_{\eta_{b+1} \text{ж}} \end{vmatrix}, \quad (11)$$

$$\Delta_{\text{ж}}^* = \begin{vmatrix} x'_{\eta_1 1} & \dots & x'_{\eta_1 b} & X_{\eta_1} \\ \dots & \dots & \dots & \dots \\ x'_{\eta_{b+1} 1} & \dots & x'_{\eta_{b+1} b} & X_{\eta_{b+1}} \end{vmatrix} \quad (12)$$

при всех

$$\eta'_i > p \quad (i = 1, 2, \dots, b+1).$$

В момент  $K-L$  перехода имеем, согласно условию непрерывности физико-химических превращений [1]:

$$m'_{S_i} = m_{S_i}^*; \quad i = 1, 2, \dots, \beta, \quad (13)$$

$$\bar{m}_{S_i} = 0; \quad i = \beta + 1, \dots, \alpha, \quad (14)$$

где знак две черточки означает один штрих при  $q > p$  или два штриха при  $q < p$ . Далее, в момент  $K-L$  перехода мы имеем

$$m'_j = m_j^*; \quad j = 1, 2, \dots, \gamma, \quad (15)$$

$$\bar{m}_j = 0; \quad j = \gamma + 1, \dots, \tau, \quad (16)$$

$$m'_{\text{ж}} = m_{\text{ж}}^*, \quad (17)$$

где знак одна черта означает один штрих при  $a > b$  или два штриха при  $a < b$ . Подставляя в выражения (13) — (17) формулы (1) — (12), получим

$$\frac{\Delta_j'}{\Delta_L'} = \frac{\Delta_j^*}{\Delta_L^*}; \quad j = 1, 2, \dots, \gamma, \quad (18)$$

$$\frac{\bar{\Delta}_j}{\bar{\Delta}_L} = 0; \quad j = \gamma + 1, \dots, \tau, \quad (19)$$

$$\frac{\Delta'_{jk}}{\Delta'_L} = \frac{\Delta''_{jk}}{\Delta''_L}; \quad (20)$$

$$X_i - \sum_{j=1}^a \frac{\Delta'_j}{\Delta'_L} x'_{ij} - \frac{\Delta'_{ik}}{\Delta'_L} x'_{ik} = X_i - \sum_{j=1}^b \frac{\Delta''_j}{\Delta''_L} x''_{ij} - \frac{\Delta''_{ik}}{\Delta''_L} x''_{ik}, \quad (21)$$

$$i = 1, 2, \dots, \beta,$$

$$X_i - \sum_{j=1}^{\sigma} \frac{\bar{\Delta}_j}{\bar{\Delta}_L} x_{ij} - \frac{\bar{\Delta}_{ik}}{\bar{\Delta}_L} x_{ik} = 0, \quad (22)$$

$$i = \beta + 1, \dots, \alpha,$$

где

$$\sigma = \begin{cases} a & \text{при } q > p, \\ b & \text{при } q < p. \end{cases} \quad (23)$$

Кроме того, в момент  $K-L$  перехода:

$$x'_{ij} = x''_{ij} = x_{ij}; \quad i = 1, 2, \dots, n; \quad j = 1, 2, \dots, \gamma; \quad (24)$$

$$x'_{ik} = x''_{ik} = x_{ik}; \quad i = 1, 2, \dots, n. \quad (25)$$

Условия (24), (25) необходимо учитывать при чтении дальнейшего текста.

Составим теперь полные системы термодинамических уравнений [5] для  $K$ - и  $L$ -вариантных систем в момент  $K-L$  перехода. Для  $K$ -вариантной системы мы получим

$$\left. \begin{aligned} \mu'_{1s_1} &= \mu'_{11} = \mu'_{12} = \dots = \mu'_{1a} = \mu'_{1jk}, \\ \mu'_{qs_q} &= \mu'_{q1} = \mu'_{q2} = \dots = \mu'_{qa} = \mu'_{qjk}, \\ \mu'_{q+1,1} &= \mu'_{q+1,2} = \dots = \mu'_{q+1,a} = \mu'_{q+1,jk}, \\ \mu'_{n1} &= \mu'_{n2} = \dots = \mu'_{na} = \mu'_{nj}, \end{aligned} \right\} \quad (26)$$

$$X_\eta = \sum_{j=1}^a \frac{\Delta'_j}{\Delta'_L} x'_{\eta j} + \frac{\Delta'_{jk}}{\Delta'_L} x'_{\eta jk} \quad (27)$$

при

$$\eta > q; \quad \eta \notin \{\eta'_1, \eta'_2, \dots, \eta'_{a+1}\},$$

$$x'_{1j} + x'_{2j} + \dots + x'_{nj} = 1, \quad (28)$$

$$j = 1, 2, \dots, a, jk.$$



Для  $L$ -вариантной системы:

$$\left. \begin{aligned} p_{1s_1} &= p_{11}'' = p_{12}'' = \dots = p_{1b}'' = p_{1\pi}'' \\ p_{ps_p} &= p_{p1}'' = p_{p2}'' = \dots = p_{pb}'' = p_{p\pi}'' \\ p_{p-1,1}'' &= p_{p-1,2}'' = \dots = p_{p-1,b}'' = p_{p-1,\pi}'' \\ p_{\pi 1}'' &= p_{\pi 2}'' = \dots = p_{\pi b}'' = p_{\pi \pi}'' \end{aligned} \right\} \quad (29)$$

$$X_{\tau} = \sum_{j=1}^b \frac{\Delta_j}{\Delta_L} x_{\tau j}'' + \frac{\Delta_{\pi}}{\Delta_L} x_{\tau \pi}'' \quad (30)$$

при

$$\eta > p; \eta \notin \{\eta_1'', \eta_2'', \dots, \eta_{b+1}''\};$$

$$x_{1j}'' + x_{2j}'' + \dots + x_{\pi j}'' = 1, \quad (31)$$

$$j = 1, 2, \dots, b, \pi.$$

В формулах (26) и (29) каждое

$$p_{ij}' = p_{ij}'(P, T, x_{1j}', \dots, x_{n-1,j}')$$

и каждое

$$p_{ij}'' = p_{ij}''(P, T, x_{1j}'', \dots, x_{n-1,j}'').$$

Выясним теперь, какие из соотношений (18) — (22), (27) и (30) не зависят между собой. Заметим прежде всего, что (21) может быть непосредственно получено из соотношений (18) — (20) на основании равенств (24) и (25). Покажем теперь, что (18) — (20) также могут быть выведены из уравнений (22), (27) и (30) на основании (24) и (25).

Запишем (19) на основании (4) — (6), (10) — (12) и (24), (25) следующим образом:

$$\begin{vmatrix} x_{\tau 1}^- & \dots & x_{\tau, j-1}^- & X_{\tau}^- & x_{\tau, j+1}^- & \dots & x_{\tau, \tau}^- & \dots & x_{\tau, \pi}^- \\ \dots & \dots & \dots & \dots & \dots & \dots & \dots & \dots & \dots \\ x_{\tau-1, 1}^- & \dots & x_{\tau-1, j-1}^- & X_{\tau-1}^- & x_{\tau-1, j+1}^- & \dots & x_{\tau-1, \tau}^- & \dots & x_{\tau-1, \pi}^- \end{vmatrix} = 0 \quad (32)$$

При помощи (22) и (27) или (30) мы можем записать в момент перехода, учитывая (24), (25),

$$X_{\tau} = \sum_{l=1}^{\tau} \frac{\bar{\Delta}_l}{\Delta_L} x_{\tau l} + \frac{\bar{\Delta}_{\pi}}{\Delta_L} x_{\tau \pi}, \quad \tau < \tau \leq n, \quad (33)$$

где знак  $\sim$  обозначает один штрих, если  $a < b$ , или два штриха, если



Итак, мы получили не зависящие между собой соотношения (35) — (38), которые должны выполняться в момент  $K-L$  перехода. Система уравнений (35) — (38) является определяющей системой уравнений  $K-L$  перехода и позволяет сделать ряд выводов о характере  $K-L$  перехода и условиях, при которых такой переход становится возможным.

### ПРАВИЛА ОТБОРА ДЛЯ $K-L$ ПЕРЕХОДОВ

Сделаем подсчет числа неизвестных и числа уравнений в системе (35) — (38). Проведем рассмотрение сперва для того случая, когда величины  $X_i$  полагаются заданными заранее. В этом случае неизвестными оказываются  $P$ ,  $T$ , все  $x_{ij}$  ( $i=1, 2, \dots, n$ ;  $j=1, 2, \dots, \gamma, \kappa$ ) и все  $\bar{x}_{ij}$  ( $i=1, 2, \dots, n$ ;  $j=\gamma+1, \dots, \tau$ ) — итого  $2+(\tau+1)n$  неизвестных. Подсчитаем теперь число уравнений. Соотношения (35) дают нам  $n-\beta-\gamma-1$  уравнений, (36) и (37) — вместе дают  $\tau+1$  уравнений. Соотношения (38) дают нам  $\tau n + \alpha$  уравнений. Итого  $\tau n + n + \alpha - \beta + \tau - \gamma$  уравнений. Разность  $y$  между числом неизвестных и числом уравнений равна

$$y = 2 - (\alpha - \beta) - (\tau - \gamma) \geq 0. \quad (39)$$

Это же можно записать так:

$$2 - |q - p| - |a - b| \geq 0. \quad (40)$$

Отсюда следует, что при произвольно выбранном массовом составе термодинамической системы число возникших или исчезнувших чистых однокомпонентных фаз плюс число возникших или исчезнувших твердых растворов не превышает двух, когда  $P$  и  $T \neq \text{const}$ . Если сумма этих чисел равна двум, то по формулам (35) — (38) при заданных величинах  $X_i$  мы можем определить  $P$ ,  $T$  и все концентрации термодинамической системы в момент  $K-L$  перехода. Если же сумма этих чисел равна единице, т. е. возник (исчез) один твердый раствор или один чистый компонент, то этот случай может быть сведен к тому, когда наряду с массовым составом системы произвольно задано и фиксировано  $P$  (или  $T$ ), а  $T$  (или  $P$ )  $\neq \text{const}$ . Повторив предыдущие рассуждения, мы получим для этого случая условие:

$$1 - |q - p| - |a - b| \geq 0, \quad (41)$$

а по формулам (35) — (38) найдем при заданных  $P$  (или  $T$ ) и всех  $X_i$  величину  $T$  (или  $P$ ) и всех концентраций системы в момент  $K-L$  перехода. Наконец, при  $P$ ,  $T$  и всех  $X_i = \text{const}$  мы получим условие:  $|q - p| + |a - b| = 0$ , или, что то же,  $|q - p| = 0$  и  $|a - b| = 0$ , что, как и следовало заранее ожидать, лишний раз подтверждает невозможность каких-либо процессов в полностью замкнутой и равновесной системе.

Неравенства (40) и (41) представляют собой своего рода «правила отбора» для  $K-L$  переходов и позволяют судить о возможном изменении количества чистых компонентов и твердых растворов в термодинамической системе.

«Правила отбора» могут быть обобщены на случай, когда все величины  $X_i$  или часть из них изменяются произвольно (не заданы). Произвольное изменение какой-либо величины  $X_i$  означает, что мы изменяем абсолютную массу  $M_i$  данного  $i$ -го компонента в термодинамической системе, не меняя абсолютных масс других компонентов. Очевидно, что при этом концентрации всех остальных компонентов умножаются на некоторый множитель  $A$ :

$$A \approx \frac{1}{1 + \Delta X_i}. \quad (42)$$



же самое имеет место при произвольном изменении некоторого числа величин:

$$X_{u_1}, X_{u_2}, \dots, X_{u_x},$$

$$1 \leq x \leq n-1.$$

В этом случае множитель  $A$ , на который умножаются остальные концентрации \*, имеет вид:

$$A \approx \frac{1}{1 + \sum_{i=1}^x \Delta X_{u_i}}. \quad (43)$$

Обратим теперь внимание на то, что умножение величин  $X_{\beta+1}, \dots, X_n$  на одну и ту же величину никак не влияет на уравнения (35) ввиду их линейности. Этот факт имеет большое значение для всех последующих выводов. Отсюда мы получаем прежде всего тот результат, что произвольное изменение всех величин  $X_1, \dots, X_\beta$  или части из них никак не сказывается на условиях и течении  $K-L$  процесса. В частности, на концентрациях фаз в момент  $K-L$  перехода, а также на выполнении неравенств (45) — (47) — см. ниже]. Изменение величин  $X_1, \dots, X_\beta$  сказывается только на изменении абсолютных масс чистых компонентов, сохраняющихся при  $K-L$  переходе (фазы с номерами:  $S_1, S_2, \dots, S_\beta$ ). Отсюда, в свою очередь, следует, что условия и течение  $K-L$  процесса действительно не нарушаются только лишь при изменении величин  $X_1, \dots, X_\beta$  в определенном интервале значений — таком, чтобы абсолютные массы упомянутых чистых компонентов не обращались в нуль: в противном случае нарушается принятая нами при рассмотрении данного  $K-L$  перехода нумерация компонентов, и система уравнений (35) — (38) терпит значительные изменения. Таким образом, на произвольное изменение величин  $X_1, \dots, X_\beta$  накладываются следующие условия:

$$\sum_{j=1}^{\gamma} \frac{\tilde{\Delta}_j}{\tilde{\Delta}_L} x_{wj} + \frac{\tilde{\Delta}_{\beta\kappa}}{\tilde{\Delta}_L} x_{w\beta\kappa} < X_w < 1, \quad w = 1, 2, \dots, \beta. \quad (44)$$

Выполнение условий (44) необходимо и достаточно для того, чтобы изменения величин  $X_1, \dots, X_\beta$  не отражались на течении  $K-L$  процесса. В дальнейшем, говоря о произвольном изменении тех или иных величин  $X_i$  ( $i = 1, 2, \dots, n$ ), мы будем считать, что эти изменения не нарушают условий (44).

В отличие от величин  $X_1, \dots, X_\beta$ , произвольное изменение величин  $X_{\beta+1}, \dots, X_n$  заметным образом влияет на течение  $K-L$  процесса. Пусть начали произвольно изменяться  $d$  величин ( $0 \leq d \leq n - \beta - \gamma - 1$ ) из числа величин  $X_v$ , стоящих в левой части системы уравнений (35) ( $\beta < v \leq n$ ;  $v \notin \{\tilde{\gamma}_1, \tilde{\gamma}_2, \dots, \tilde{\gamma}_{\gamma-1}\}$ ). Тогда при  $P$  и  $T \neq \text{const}$  получим налогичным предыдущему подсчетом числа неизвестных и числа уравнений, учитывая все сделанные выше общие замечания о произвольных изменениях величин  $X_i$ , условие:

$$d + 2 - |q - p| - |a - b| \geq 0. \quad (45)$$

\* Т. е. концентрации компонентов, абсолютные массы которых в термодинамической системе остаются при этом неизменными. Эти концентрации мы будем по-прежнему называть фиксированными, или заданными, хотя, как видно, такое название теперь не совсем точно, так как остаются строго неизменными лишь соответствующие абсолютные массы.

При  $P$  (или  $T$ ) = const, а  $T$  (или  $P$ )  $\neq$  const:

$$d + 1 - |q - p| - |a - b| \geq 0. \quad (46)$$

Наконец, при  $P$  и  $T$  = const:

$$d - |q - p| - |a - b| \geq 0; \quad (47)$$

при

$$d = n - \beta - \gamma - 1$$

от системы (35) — (38) отпадают все уравнения (35) и правило (45) приобретает следующий вид

$$|q - p| + |a - b| \leq n - \beta - \gamma + 1 \quad (48)$$

или, что то же,

$$n + 1 - \alpha - \tau \geq 0. \quad (49)$$

Очевидно, последнее соотношение тем более имеет место, если, кроме величин, стоящих в левой части (35), произвольно изменяются также все величины  $X_k$  или часть из них, где  $k = \tilde{\gamma}_1, \tilde{\gamma}_2, \dots, \tilde{\gamma}_{\gamma+1}$  \*. Произвольное изменение величин  $X_1, \dots, X_\beta$  или части из них, как было отмечено выше, вообще не нарушает условий (45) — (49).

Легко заметить, что правило (49) представляет собой известное неравенство Гиббса:

$$n + 2 - r \geq 0. \quad (50)$$

Таким образом, мы получаем неравенство Гиббса (50) как частный случай неравенства (45).

Заметим в заключение, что правила (40), (41) и (45) — (49) распространяются и на случай исчезновения или возникновения жидкой фазы, так как последняя, как видно из всех выпенасанных уравнений математически совершенно равноправна с твердыми растворами. Это замечание необходимо учитывать при чтении дальнейшего текста.

### ОБСУЖДЕНИЕ ПОЛУЧЕННЫХ РЕЗУЛЬТАТОВ

Остановимся теперь несколько подробнее на физическом смысле полученных результатов. Смысл условий (45) — (47) заключается в том, что при произвольном изменении указанных выше величин  $X_i$  они мо-

\* Выбирая различным образом величины  $\eta'_1, \eta'_2, \dots, \eta'_{a+1}$  и  $\eta''_1, \eta''_2, \dots, \eta''_{b+1}$ , мы можем составлять различные детерминанты  $\Delta'_L$  и  $\Delta''_L$ . Все выписанные выше детерминантные соотношения и правила (40), (41) и (45) — (49) выполняются, если хотя бы один из детерминантов  $\Delta'_L$  и один из детерминантов  $\Delta''_L$  отличен от нуля, как это и предполагалось выше. Если все детерминанты  $\Delta'_L$  и  $\Delta''_L$  отличны от нуля, то величины  $X_{\beta+1}, \dots, X_n$  в известном смысле «равноправны» между собой, так как при всех  $\Delta'_L$  и  $\Delta''_L \neq 0$  мы можем произвольно переименовывать компоненты с номерами:  $\beta + 1, \dots, n$  при фиксированных значениях величин:  $\eta'_1, \eta'_2, \dots, \eta'_{a+1}$  и  $\eta''_1, \eta''_2, \dots, \eta''_{b+1}$ . В этом случае  $d$  в «правилах отбора» (45) — (47) будет означать общее количество произвольно изменяющихся величин из числа величин  $X_{\beta+1}, \dots, X_n$ . Если же часть детерминантов  $\Delta'_L$  и  $\Delta''_L$  равна нулю, то мы уже не можем произвольно переименовывать компоненты  $\beta + 1, \dots, n$  при фиксированных значениях величин  $\eta'_1, \eta'_2, \dots, \eta'_{a+1}$  и  $\eta''_1, \eta''_2, \dots, \eta''_{b+1}$  и должны отличать величины  $X_v$ , стоящие в левой части (35) ( $\beta < v \leq n$ ,  $v \notin \{\tilde{\gamma}_1, \tilde{\gamma}_2, \dots, \tilde{\gamma}_{\gamma+1}\}$ ) от величин  $X_k$ , входящих в детерминанты  $\Delta_j$  ( $k = \tilde{\gamma}_1, \tilde{\gamma}_2, \dots, \tilde{\gamma}_{\gamma+1}$ ). Подробный математический анализ последнего случая в связи с вопросом о произвольных изменениях величин  $X_k$  ( $k = \tilde{\gamma}_1, \tilde{\gamma}_2, \dots, \tilde{\gamma}_{\gamma+1}$ ) при фиксированных значениях других внешних параметров в настоящей статье не приводится.

принимать некоторые определенные (частные — см. ниже) значения, из которых  $K-L$  переход происходит таким образом, что сумма чисел  $|q-p|$  и  $|a-b|$  оказывается больше двух. Если же массовый состав термодинамической системы (все  $X_i$ ) задан заранее, то, очевидно, в общем случае нет никакой уверенности в том, что величины  $X_i$  принимают именно эти определенные (частные) значения. Поэтому при заданном заранее массовом составе термодинамической системы сумма чисел  $|q-p|$  и  $|a-b|$  не превышает, вообще говоря, двух [правила (40) и (41)].

Поняв сказанное на примере плоской диаграммы равновесия тройной системы простой эвтектикой (рис. 1). Пусть мы заранее выбираем и фиксируем массовый состав нашей тройной системы [т. е.  $d$  из формулы (46) равно нулю]. Это значит, мы выбираем и фиксируем наугад фигуративную точку нашей термодинамической системы в плоскости треугольника  $ABC$ . Как известно, если эта фигуративная точка попадет в точку  $E$  (рис. 1), то процесс охлаждения жидкой фазы сменится сразу процессом третичной кристаллизации. Если же фигуративная точка попадет на линии  $EE_1$ ,  $EE_2$ ,  $EE_3$ , или в точки  $E_1$ ,  $E_2$ ,  $E_3$ , процесс охлаждения жидкой фазы сменится сразу процессом вторичной кристаллизации. Если, наконец, фигуративная точка попадет на прямые  $AE$ , или  $CE$ , соединяющие вершины треугольника  $ABC$  с точкой  $E$ , то процесс первичной кристаллизации сразу сменится процессом третичной кристаллизации. При всех остальных положениях фигуративной точки (внутри полей  $AEE_2$ ,  $AEE_1$ ,  $BEE_1$ ,  $E_3$ ,  $CEE_3$  и  $CEE_2$ ) процесс охлаждения жидкой фазы сменяется сначала процессом первичной кристаллизации, затем вторичной и, наконец, третичной. Всех рассмотренных вариантов кристаллизации последний находится в согласии с правилом, имеющим место в данном случае (при  $d=0$ ).

Иными словами, правило (41) справедливо для случаев, когда фигуративная точка находится в наиболее общем положении. В данном примере (рис. 1) таким общим положением для фигуративной точки являются любые ее положения, кроме линий  $EE_1$ ,  $EE_2$ ,  $EE_3$ ,  $AE$ ,  $BE$ ,  $CE$  и точек  $E$ ,  $E_1$ ,  $E_2$ ,  $E_3$ . Указанные линии и точки соответствуют «частным» положениям фигуративной точки.

Пусть теперь произвольно изменяются (не заданы) концентрации компонента  $A$  (т. е.  $d=1$ ). Задание и фиксирование концентраций остальных двух компонентов делит на рис. 1 положение уже не точки, а некоторого луча, исходящего из вершины  $A$  треугольника  $ABC$ . Фигуративная точка термодинамической системы, в свою очередь, свободно перемещается по этому лучу в процессе произвольного изменения концентраций компонентов  $A^*$ . На рис. 1 показаны три возможных луча:  $AS$  и  $AF$ . Каждый такой луч обязательно пересечет, как видно из приведенного рисунка, хотя бы одну из линий  $EE_1$ ,  $EE_2$ ,  $EE_3$ ,  $BE$  или  $CE$ . Таким образом, попадание фигуративной точки на эти линии теперь обеспечено. Из этого следует, что положение фигуративной точки внутри областей  $AEE_2$ ,  $AEE_1$ ,  $BEE_1$ ,  $BEE_3$ ,  $CEE_3$ ,  $EE_2$  треугольника  $ABC$ , так и положение фигуративной точки на линиях  $EE_1$ ,  $EE_2$ ,  $EE_3$ ,  $BE$  и  $CE$  относятся теперь к ее общим положениям. С другой стороны, ясно, что точка  $E$  попрежнему относится к «частному» положению фигуративной точки, так как луч  $AS$ , дающий попадание фигуративной точки в точку  $E$ , — один из всех лучей, исходящих из вершины  $A$ . Все сказанное полностью согласуется с правилом (46), применимым в случае произвольного изменения концентраций компонента  $A$  (при  $d=1$ ), которое разрешает смену процесса охлаждения жидкой фазы процессом вторичной кристаллизации (пересечение лучом линий  $EE_1$ ,  $EE_2$ ,  $EE_3$ ) или смену первичной кристаллизации третичной (пересечение лучом линий  $BE$ ,  $CE$ ), но запрещает смену процесса охлаждения жидкой фазы сразу процессом третичной кристаллизации (частный случай луча  $AS$ ).

Наконец, при произвольном изменении концентраций всех трех компонентов ( $d=2$ ) фигуративная точка системы получает возможность свободно перемещаться

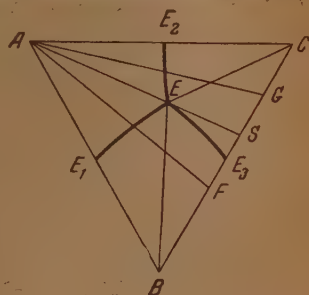


Рис. 1. Плоская диаграмма равновесия тройной системы с эвтектикой

\* Здесь и ниже рассматриваются перемещения фигуративной точки в результате изменения концентрационного состава системы в целом (изменение величин  $X_i$ ) неизменных давления  $P$  и температуры  $T$ . Очевидно, что в процессе такого изменения величин  $X_i$  фигуративная точка может перемещаться по всему пространству концентрационного симплекса (в частности, по всей плоскости концентрационного треугольника, пересекая линии  $EE_1$ ,  $EE_2$ ,  $EE_3$ ).



на всей плоскости треугольника  $ABC$ , совпадая как на линии  $BE_1$ ,  $EE_2$ ,  $EE_3$ ,  $AE$ ,  $BE$  и  $CE$ , так и в точках  $E$ ,  $E_1$ ,  $E_2$ ,  $E_3$ . В этом случае все положения фигуративной точки следует рассматривать как ее общие положения. При этом становится возможным 3-й вариант кристаллизации эвтектики, что полностью согласуется с правилом (46) при  $d=2$ .

Общая и лучшая результаты, мы можем утверждать, что все выведенные выше правила отбора (40), (41) и (45) — (47) обладают тем свойством, что в каждом численном случае относятся к общим положениям фигуративной точки, при которых она находится на гиперповерхности  $d-1$ ,  $d-2$ , ...,  $d-d-1$ -измерений\*. Частные положения будут соответствовать гиперповерхностям от  $d-d-2$ -измерений до линий и точек. Трактация этих утверждений заключается в следующем. При выводе правил (40), (41) и (45) — (47) каждый раз производится соответствующий подсчет числа независимых и числа уравнений, причем последние полагаются независимыми между собой. Однако, в действительности, при некоторых значениях величин  $X_{1-1}$ , ...,  $X_n$  уравнения, которые мы в свое время рассматривали, полагали независимыми, оказываются, на самом деле, зависимыми. Указанные значения величин  $X_{1-1}$ , ...,  $X_n$  как раз и соответствуют частным положениям фигуративной точки. Пусть, например, из числа уравнений, полагавшихся ранее при их подсчете независимыми, оказались  $\lambda$  уравнений, зависящих от остальных. Это соответствует нахождению фигуративной точки на  $d-d-\lambda-1$ -мерной гиперповерхности в плоской диаграмме равновесия\*\*. Мы можем для этих частных случаев уточнить правила отбора (40), (41) и (45) — (47), введя в них поправочное число  $\lambda$  и представить их соответственно в следующем виде:

$$|q-p| + |a-b| \leq \lambda + 2, \quad (51)$$

$$|q-p| + |a-b| \leq \lambda + 1, \quad (52)$$

$$|q-p| + |a-b| \leq d + \lambda + 2, \quad (53)$$

$$|q-p| + |a-b| \leq d + \lambda + 1, \quad (54)$$

$$|q-p| + |a-b| \leq d + \lambda, \quad (55)$$

При  $\lambda=0$  неравенства (51) — (55) переходят соответственно в неравенства (40), (41) и (45) — (47).

Рассмотрим полученные правила отбора (40), (41) и (45) — (47) при  $\lambda=0$  на примере диаграмм  $d=3$  термодинамической системы, рассмотренной выше. Если  $K-L$  переход. Пусть первая изотерма нашей термодинамической системы в целом будет изотермой и фиксирован. Требуется определить, возможны ли при этом следующие переходы:

а) 2—3 переход при  $P = \text{const}$  ( $T \neq \text{const}$ ):

$$1_{\text{ж.ф.}} + 4_{\text{т.ж.}} + 5_{\text{тв.р.}} \rightarrow 1_{\text{ж.ф.}} + 3_{\text{т.ж.}} + 5_{\text{тв.р.}}$$

б) 2—4 переход при  $P$  и  $T \neq \text{const}$ :

$$1_{\text{ж.ф.}} + 2_{\text{т.ж.}} + 7_{\text{тв.р.}} \rightarrow 1_{\text{ж.ф.}} + 3_{\text{т.ж.}} + 4_{\text{тв.р.}}$$

в) 5—2 переход при  $T = \text{const}$  ( $P \neq \text{const}$ ):

$$6_{\text{ж.ф.}} + 1_{\text{т.ж.}} + 2_{\text{тв.р.}} \rightarrow 1_{\text{ж.ф.}} + 3_{\text{т.ж.}} + 6_{\text{тв.р.}}$$

г) 3—3 переход при  $P$  и  $T = \text{const}$ :

$$1_{\text{ж.ф.}} + 2_{\text{т.ж.}} + 4_{\text{тв.р.}} \rightarrow 1_{\text{ж.ф.}} + 3_{\text{т.ж.}} + 4_{\text{тв.р.}}$$

д) 11—10 переход при  $P$  и  $T \neq \text{const}$ :

$$1_{\text{ж.ф.}} + 2_{\text{т.ж.}} + 6_{\text{тв.р.}} \rightarrow 1_{\text{ж.ф.}} + 4_{\text{т.ж.}} + 6_{\text{тв.р.}}$$

\* Речь идет о гиперповерхностях в диаграммах равновесия, подобных изображенной на рис. 1.

\*\* Необходимо помнить, что различные гиперповерхности в диаграмме равновесия соответствуют различным  $K-L$  переходам.

Легко видеть, что в соответствии с правилами (40) и (41) переходы а, б, в и г возможны, а переходы д и з — невозможны, так как в случае б не выполняется условие (40), а в случае в) — условие (41).

Пусть теперь некоторые из величин  $X_i$  этой системы изменяются произвольно\*. Будет ли определен, какие из указанных  $K-L$  переходов возможны: а) 3—3 переход при  $P, T, X_1$  и  $X_2 = \text{const}$ , остальные внешние параметры фиксированы:

$$1_{\text{ж.ф}} + 2_{\text{ч.л}} + 6_{\text{тв.р}} \rightarrow 1_{\text{ж.ф}} + 3_{\text{ч.л}} + 5_{\text{тв.р}};$$

б) 4—3 переход при  $X_1$  и  $X_2 = \text{const}$ , остальные внешние параметры фиксированы:

$$1_{\text{ж.ф}} + 3_{\text{ч.л}} + 4_{\text{тв.р}} \rightarrow 1_{\text{ж.ф}} + 4_{\text{ч.л}} + 4_{\text{тв.р}};$$

в) 3—4 переход при  $X_4 = \text{const}$ , остальные внешние параметры фиксированы:

$$1_{\text{ж.ф}} + 3_{\text{ч.л}} + 5_{\text{тв.р}} \rightarrow 0_{\text{ж.ф}} + 3_{\text{ч.л}} + 5_{\text{тв.р}};$$

г) 2—2 переход при  $T, X_1, X_2, X_3, X_4, X_5, X_6, X_7, X_8 = \text{const}$ , остальные внешние параметры фиксированы:

$$1_{\text{ж.ф}} + 5_{\text{ч.л}} + 4_{\text{тв.р}} \rightarrow 1_{\text{ж.ф}} + 2_{\text{ч.л}} + 7_{\text{тв.р}}.$$

Используя правила (45)–(46) и вынесенное выше утверждение, что фиксирование или произвольное изменение величин  $X_1, \dots, X_2$  не отразится на условиях  $K-L$  перехода, мы получим в данном примере также результаты: переходы а и в возможны, переход б) невозможен, так как в этом случае не выполняется условие (40), переход г) невозможен, так как в этом случае не выполняется условие (46).

### ВЫВОД УРАВНЕНИЙ, ОПРЕДЕЛЯЮЩИХ ГРАНИЦЫ МЕЖДУ СОПРИКАСАЮЩИМИСЯ ОБЛАСТЯМИ РАЗДЕЛЕНИЙ ФАЗ НА ДИАГРАММЕ РАВНОВЕСИЯ

Рассмотрим нахождение указанных выше определенных значений, которые могут принимать произвольно изменяющиеся величины  $X_i$  и при которых возникает возможность такого  $K-L$  перехода, что сумма чисел  $|q-r|$  и  $|a-b|$  оказывается больше двух. Пусть требуется осуществить  $K-L$  переход таким образом, чтобы было выполнено условие:  $-r| + |a-b| = d-2$ , где  $0 \leq d \leq n-\beta-\gamma-1$ . В этом случае мы можем из числа величин  $X_{\beta+1}, \dots, X_n$  произвольно задать заранее и фиксировать только следующие: все  $X_{\gamma}, X_{\gamma+1}, \dots, X_{\gamma+\gamma+1}$  и  $(n-\beta-\gamma-1)-d$  каких-либо величин из числа стоящих в левой части системы (36), — мы обозначим эти величины так:  $X_{\nu}, X_{\nu+1}, \dots, X_{\nu+n-\beta-\gamma-d-1}$ . Величины, оставшиеся незадаанными из числа величин  $X_{\beta+1}, \dots, X_{\gamma}$ , обозначим:  $X_{\nu-\beta-\gamma-d}, X_{\nu-\beta-\gamma-d-1}, \dots, X_{\nu-\beta-\gamma-1}$ . Соответствующие уравнения из системы (35) обозначим теми же номерами. Тогда первое, второе, ...,  $(n-\beta-\gamma-d-1)$ -е уравнения системы (35) совместно с уравнениями систем (35)–(38) дадут возможность однозначно найти  $P, T$  и концентрации фаз термодинамической системы в момент  $K-L$  перехода как функции от заданных выше величин:  $X_{\gamma}, X_{\gamma+1}, \dots, X_{\gamma+\gamma+1}, X_{\nu}, X_{\nu+1}, \dots, X_{\nu+n-\beta-\gamma-d-1}$ .

$$P = F_P(X_{\gamma}, \dots, X_{\gamma+\gamma+1}, X_{\nu}, \dots, X_{\nu+n-\beta-\gamma-d-1}), \quad (56)$$

$$T = F_T(X_{\gamma}, \dots, X_{\gamma+\gamma+1}, X_{\nu}, \dots, X_{\nu+n-\beta-\gamma-d-1}), \quad (57)$$

$$x_{ij} = \varphi_{ij}(X_{\gamma}, \dots, X_{\gamma+\gamma+1}, X_{\nu}, \dots, X_{\nu+n-\beta-\gamma-d-1}), \quad (58)$$

$$i = 1, 2, \dots, n; j = 1, 2, \dots, \gamma, \text{ ж.}$$

\* При рассмотрении нижеизложенных примеров будем полагать, что все  $\Delta_L$  и  $\Delta_H = 0$  ж, следовательно, величины  $X_{\beta+1}, \dots, X_n$  математически равноправны между собой.





дет удовлетворить при

$$\sum_{w=1}^{\beta} \left( \sum_{j=1}^{\gamma} \frac{\bar{\Delta}_j^0}{\bar{\Delta}_L^0} x_{wj}^0 + \frac{\bar{\Delta}_{n+1}^0}{\bar{\Delta}_L^0} x_{wn}^0 \right) < C^0. \quad (68)$$

Из соотношений (61)–(65) непосредственно вытекает, что мы всегда можем выбрать такие  $X_{\beta+1}^0, \dots, X_n^0$ , чтобы условие (68) было выполнено. Последнее означает, что при помощи уравнений (56), (57) и (68) мы всегда можем найти такие значения всех величин  $X_i: X_1^0, X_2^0, \dots, X_n^0$ , при которых  $K-L$  переход может произойти так, чтобы было выполнено требование:  $|q-p| + |a-b| = d+2$ , где  $0 \leq d \leq n - \beta - \gamma - 1$ . Подведем теперь некоторые итоги. Мы произвели анализ полученной функции, определяющей  $K-L$  переходы системы уравнений (35)–(38). Было выяснено, в частности, что эта система уравнений позволяет определить \* температуры, давления и все концентрации всех фаз термодинамической системы в моменты  $K-L$  переходов, а также найти при этом условия, налагаемые на ее массовый состав в целом (на величины  $x_i$ ). Тем самым система уравнений (35)–(38) позволяет построить всю диаграмму равновесия многокомпонентной термодинамической системы, включая только те ее области, где число фаз превышает число компонентов (т. е. где  $r = n+1, n+2$ ). Действительно, для всех остальных областей диаграммы равновесия (а это будет, в сущности, ее основная и большая часть\*\*) мы можем при помощи системы уравнений (56), (57) и (60), полученной, в свою очередь, непосредственно из системы уравнений (35)–(38), построить границы областей разделения\*\*\*. И, следовательно, построить основные элементы диаграммы равновесия.

#### ПРАВИЛО О СОПРИКАСАЮЩИХСЯ ОБЛАСТЯХ РАЗДЕЛЕНИЯ

Рассмотрим некоторые общие закономерности границ областей разделения. Пусть  $K-L$  процесс произошел таким образом, что  $|q-p| + |a-b| = d+2$ . Это значит, что фигуративная точка термодинамической системы на диаграмме равновесия перешла из одной области разделения в другую через разделяющую их границу. Диаграмма равновесия, очевидно,  $(n+1)$ -мерна, так как положение фигуративной точки на ней определяется  $n+1$  величинами:  $P, T, X_1, \dots, X_{n-1}$ . Граница же между областями разделения описывается, как было уже сказано, уравнениями (56), (57), (60), т. е. она  $(n-d-1)$ -мерна. Действительно, каждое из уравнений системы (56), (57) и (60) описывает в  $(n+1)$ -мерном пространстве диаграммы равновесия некоторую, вообще говоря, нелинейную  $n$ -мерную поверхность. Пересечение  $d+2$  таких поверхностей даст нам  $(n+1) - (d+2) = (n-d-1)$ -мерную поверхность. Обозначая размерность границы между двумя областями разделения через  $R_1$ , мы получим

$$R_1 = (n+1) - |q-p| - |a-b| \geq 0, \quad (69)$$

где величины  $q, p, a$  и  $b$  описывают количества чистых компонентов и твердых растворов в соответствующих областях разделения, отделенных данной границей. Правило (69) и будет являться самой точной и общей формулировкой «закона о соприкасающихся пространствах состояний», или, в нашей терминологии, правила о соприкасающихся областях разделения.

\* Разумеется, для численного определения всех этих величин нам необходимо иметь в каждом отдельном случае конкретный вид функциональной зависимости химических потенциалов от  $P, T$  и концентраций фаз.

\*\* Ниже, говоря о диаграмме равновесия, мы будем подразумевать, что речь идет именно об этой ее части.

\*\*\* Если в области разделения число фаз становится равным единице, то такая область разделения вырождается просто в однофазную область на диаграмме равновесия.

Мы видим, теперь, что первоначальная формулировка этого правила (заключенная в труде В. Я. Аносова и С. А. Погодина, относится лишь к частному случаю  $K-L$  переходов, а в общем случае не является справедливой. В самом деле, в первоначальной формулировке этого правила [2] говорится о выпуклости размерности границы между двумя областями разделения от разности между валовыми количествами фаз в этих областях. Это верно, как видно из (69) лишь для случая, когда  $q \geq p$  и  $a \geq b$  или, наоборот,  $q \leq p$  и  $a \leq b$ . В общем случае размерность границы не зависит, как следует из (69), от разности между валовыми количествами фаз в областях разделения. Так, например, валовые количества фаз в обеих областях могут быть равными (т. е.  $q + a = p + b$ ), а сумма  $|q - p| + |a - b|$ , тем не менее, может быть отличной от нуля.

Правило (69) можно обобщить в еще большей степени, распространив его на различные сечения диаграммы равновесия. Вспомним, что каждая

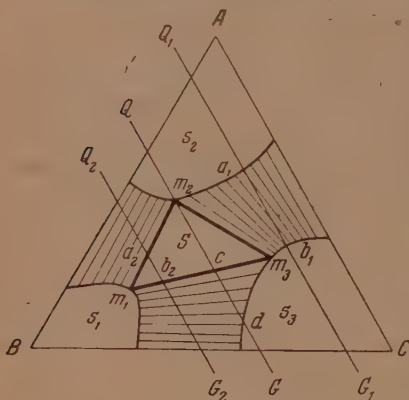


Рис. 2. Изобаротермическое сечение ( $P$  и  $T = \text{const}$ ) диаграммы равновесия тройной системы для случая эвтектики из ограниченных твердых растворов при температуре ниже эвтектической

сечение диаграммы равновесия образуется путем сечения ее некоторым числом ( $\alpha$ )  $n$ -мерных гиперплоскостей (симплексов). Здесь  $\alpha$  равно числу внешних параметров, полагаемых постоянными в данном сечении. Размерность  $R$ , образующегося таким образом сечения, будет, очевидно, равна

$$R = (n+1) - \alpha. \quad (70)$$

Соответственно уменьшается и размерность границ между областями разделения: пусть размерность какой-нибудь границы во всей диаграмме равновесия была равна  $R$ , тогда ее размерность в данном сечении диаграммы будет

$$R_1 = R - \alpha. \quad (71)$$

Опуская штрих, мы можем записать в общем виде:

$$R_1 = R - |q - p| - |a - b| \geq 0. \quad (72)$$

В частном случае, когда  $R = n+1$ , формула (72) переходит в (69).

Заметим, что правило о соприкасающихся областях разделения (69) и (72) может иметь исключения в том случае, если часть поверхностей, описываемых уравнениями (56), (57) и (60), и часть секущих симплексов, образующих данное сечение диаграммы равновесия, сливаются в одну поверхность на всем своем протяжении или в определенной части своего протяжения. Однако легко видеть, что последние случаи являются частными по сравнению с тем общим случаем, когда выполняются правила (69) и (72). Пусть, например, мы рассматриваем изобаротермическое сечение ( $P$  и  $T = \text{const}$ ) тройной системы для случая эвтектики из ограниченных твердых растворов (рис. 2).

Области  $s_1$ ,  $s_2$  и  $s_3$  на рис. 2 представляют собой однофазные области твердых растворов, область  $S$  — трехфазную область разделения, остальные три заштрихованные области на рис. 2 (штрихи определяют направления конноид) представляют собой двухфазные области разделения соответствующих твердых растворов. В согласии с правилом (72) однофазные области отделяются от двухфазных областей линиями, от трехфазной области разделения — точками ( $m_1$ ,  $m_2$  и  $m_3$ ). Двухфазные области отделены от трехфазной также линиями (прямыми). Рассмотрим теперь одномерные сечения нашего треугольника  $ABC$  прямыми, парал-

ельными стороне  $AC$ , что соответствует фиксированию концентраций компонента  $B$ . На рис. 2 приведены три такие прямые:  $Q_1G_1$ ,  $Q_2G_2$  и  $QG$ . Как легко видеть, вдоль прямых  $Q_1G_1$  и  $Q_2G_2$  правило о соприкасающихся областях разделения строго выполняется. Действительно, в соответствии с формулой (72), переходу из однофазных областей в двухфазные отвечают на прямой  $Q_1G_1$  границы с размерностью  $R_1=0$  — точки  $a_1$  и  $b_1$ , переходу от двухфазной области в трехфазную таким же образом отвечают на прямой  $Q_2G_2$  точки  $a_2$  и  $b_2$ . То же касается точек  $c$  и  $d$  прямой  $QG$ . Исключение из общего правила будет представлять собой лишь точка  $m_2$ , попавшая на прямую  $QG$ . Однако нетрудно заметить, что из всех возможных прямых, параллельных стороне  $AC$  нашего треугольника, такой особой точкой будет обладать, как видно из рис. 2, только прямая  $QG$ , проведенная специально через вершину треугольника  $S$ . Таким образом, сечение вдоль прямой  $QG$ , дающее указанное исключение из правила (72), является частным случаем всех возможных вообще в рассматриваемом примере однотипных сечений.

То же относится ко всем другим диаграммам равновесия и их сечениям.

В заключение настоящего параграфа обратим внимание на связь, существующую между полученными выше правилами отбора (40), (41) и (45)—(47) [или уточненными правилами отбора (51)—(55)] и правилом о соприкасающихся областях разделения (69) и (72). Нетрудно убедиться, что правила отбора могут рассматриваться как прямое следствие из правила о соприкасающихся областях разделения. Действительно, пользуясь последним правилом и проводя в каждом отдельном случае анализ диаграммы равновесия, подобный приведенному выше, мы каждый раз будем получать те же результаты, которые можно получить, воспользовавшись непосредственно правилами отбора. Очевидно также, что пользование правилами отбора намного удобнее и проще, нежели длительный анализ в каждом отдельном случае диаграммы равновесия, и значительно облегчает задачу.

### ГРАНИЦЫ МЕЖДУ ОБЛАСТЯМИ РАЗДЕЛЕНИЯ И ГИПЕРКОННОДЫ \*

Следует остановиться на вопросе о границах, отделяющих области разделения на всей диаграмме равновесия или на ее изотермических ( $T=\text{const}$ ), изобарических ( $P=\text{const}$ ) и изобаротермических ( $P$  и  $T=\text{const}$ ) сечениях. Обратимся еще раз к системе уравнений (35). Она включает в себя следующие уравнения:

$$X_v = \sum_{j=1}^r \frac{\tilde{\Delta}_j}{\tilde{\Delta}_L} x_{vj} + \frac{\tilde{\Delta}_{\text{HK}}}{\tilde{\Delta}_L} x_{\text{vHK}}, \quad (73)$$

$$v > \xi, \quad v \notin \{\tilde{\gamma}_1, \tilde{\gamma}_2, \dots, \tilde{\gamma}_{r+1}\},$$

где

$$\xi = \begin{cases} q & \text{при } a < b, \\ p & \text{при } a > b, \\ \beta & \text{при } a = b. \end{cases} \quad (74)$$

\* Гиперконнода [5] есть геометрическое место точек на диаграмме равновесия или в сечении диаграммы равновесия, все точки которого соответствуют одним и тем же величинам  $P$ ,  $T$  и  $x_i$  ( $i=1, 2, \dots, n$ ;  $j=1, 2, \dots, r$ ) сосуществующих фаз. Гиперконнода представляет собой симплекс (при  $r \leq n$ ) или комплекс, состоящий из двух (при  $r = n+1$ ) или трех (при  $r = n+2$ ) симплексов, на диаграмме равновесия, вершины которого соответствуют фазам, находящимся в равновесии между собой.



Уравнения (73) представляют собой общие уравнения гиперконноды 1-й области разделения (назовем ее первой областью, в отличие от другой, соседней с ней области разделения), в которой при  $a \neq b$  содержится меньшее число твердых растворов, а при  $a = b$  — меньшее число чистых компонентов. С другой стороны, нетрудно заметить, что величины  $X_{\beta+1}^0, \dots, X_n^0, x_{ij}^0$  ( $i = 1, 2, \dots, n$ ;  $j = 1, 2, \dots, \gamma, \text{ж}$ ) и  $\bar{x}_{ij}^0$  ( $i = 1, 2, \dots, n$ ;  $j = \gamma + 1, \dots, \tau$ ), удовлетворяющие системе уравнений (58)–(60), удовлетворяют в то же время системе (35). Таким образом, фигуративная точка, характеризуемая величинами  $P^0, T^0, X_1^0, \dots, X_{n-1}^0$ , лежит на гиперконноде первой области разделения. Это, в свою очередь, означает, что гиперконноды первой области разделения \* являются образующими элементами поверхности границы между первой и второй областями разделения. При  $q \leq p$  и  $a \leq b$  или, наоборот,  $q \geq p$  и  $a \geq b$  системы (35) и (73) совпадают, и поэтому гиперконноды первой области целиком лежат на поверхности границы. В этом случае можно говорить о том, что первая область разделения переходит во вторую всегда через геометрическое место своих «крайних», или «пограничных» гиперконнод. В остальных случаях в системе (73) появляются лишние, по сравнению с системой (35), уравнения, которые вырезают из геометрического места крайних (пограничных) гиперконнод первой области отдельные «куски», через которые и осуществляется переход фигуративной точки из первой области во вторую. Можно показать (геометрически это положение представляется совершенно ясным), что конноды двухфазных областей разделения определяют положения гиперконнод в трехфазных областях разделения; те, в свою очередь, определяют положения гиперконнод в четырехфазных областях разделения и т. д. Таким образом, конноды двухфазных областей разделения на диаграмме равновесия определяют положения всех остальных гиперконнод во всех остальных областях разделения.

#### ПРИМЕР ПРИМЕНЕНИЯ ПРАВИЛА О СОПРИКАСАЮЩИХСЯ ОБЛАСТЯХ РАЗДЕЛЕНИЯ

Правило о соприкасающихся областях разделения (69) и (72) совместно с изложенными соображениями может оказать известную помощь и служить критерием при анализе диаграмм равновесия многокомпонентных термодинамических систем. Его применение позволяет производить топологический анализ диаграмм равновесия, а для многих диаграмм равновесия — выяснить их структуру. Пусть, например, мы хотим выяснить структуру или схематический вид изобаротермического сечения диаграммы равновесия четырехкомпонентной системы с ограниченными твердыми растворами в том случае, когда в данном сечении имеется лишь одна четырехфазная область разделения. Типичным примером такой диаграммы является изобаротермическое сечение эвтектики при температуре ниже эвтектической (рис. 3). Итак, мы начнем схематически строить наше изобаротермическое сечение, пользуясь правилом (72) и изложенными выше соображениями о связи между гиперконнодами областей разделения и их границами. Начертим координатный тетраэдр  $ABCD$  изобаротермического сечения и нанесем прежде всего границы однофазных областей твердых растворов. На рис. 3 фигура  $m_3 m_2 m_1 m_4 c_1 c_2 c_3 c_4$  изображает одну из таких областей. В соответствии с формулой (72) эти области переходят в четырехфазную область разделения через точки  $m_1, m_2, m_3$  и  $m_4$  на рис. 3. Так как гиперконнода четырехфазной области разделения совпадает с самой этой областью [5], то, следовательно,

\* В общем случае не все гиперконноды этой области, а только, так сказать, ее «крайние» или «пограничные» гиперконноды.

следняя представляет собой симплекс с вершинами в точках  $m_1$ ,  $m_2$ ,  $m_3$  и  $m_4$ , как показано на рис. 3. Учитывая все сделанные выше замечания, мы без труда определим, что ребра этого симплекса представляют собой конноды соответствующих двухфазных областей разделения, а вершины — гиперконноды соответствующих трехфазных областей разделения.

На рис. 3 фигура  $m_1 m_2 m_3 m_4$  изображает одну из двухфазных областей разделения, напоминающую вблизи симплекса  $m_1 m_2 m_3 m_4$  по форме двугранный угол с ребром  $m_1 m_2$ , а фигура  $m_2 m_3 m_4$  изображает одну из трехфазных областей разделения, напоминающую по форме трехгранную призму с основаниями  $m_2 m_3 m_4$  и  $m_2 m_3 m_4$  и с боковыми гранями  $m_2 m_3 m_3$ ,  $m_2 m_4 m_3$  и  $m_3 m_4 m_3$ . Через эти боковые грани трехфазная область разделения

$m_2 m_3 m_4$  сообщается с двухфазными областями разделения. На рис. 3 этими линиями нанесены гиперконноды трехфазной области разделения, представляющие собой треугольники. Боковые стороны этих треугольников являются в то же время

границами (пограничными) коннода соседних двухфазных областей разделения, граничащих с областью  $m_2 m_3 m_4$ . Это отвечает тому, что

поверхности  $m_2 m_3 m_3$ ,  $m_2 m_4 m_3$  и  $m_3 m_4 m_3$  должны являться геометрическими местами крайних (пограничных) коннод соответствующих

двухфазных областей разделения. На этом примере мы видим, что конноды двухфазных областей действительно определяют положения гиперконнод трехфазных областей разделения. Так как образующими элементами

поверхностей  $m_2 m_3 m_3$ ,  $m_2 m_4 m_3$  и  $m_3 m_4 m_3$  являются отрезки прямых, то последнее обстоятельство позволяет сделать определенные заключения о кривизне этих поверхностей: кривизна по одному из направлений в каждой точке данных поверхностей равна нулю.

Так как, по условию, в данном изобаротермическом сечении имеется лишь одна четырехфазная область разделения, а трехфазные области могут граничить через свои гиперконноды лишь с четырехфазными областями разделения, то, следовательно, все трехфазные области разделения должны обязательно выходить на боковые грани координатного

тетраэдра  $ABCD$ . Так, например, трехфазная область  $m_2 m_3 m_4$  выходит на боковую грань  $BCD$  координатного тетраэдра и пересекается с ней по контуру треугольника  $m_2 m_3 m_4$ , являющегося, как легко видеть, одной из гиперконнод этой трехфазной области. Подобным же образом можно было бы показать, что двухфазные области разделения в рассматриваемом нами сечении также выходят на боковые грани координатного тетраэдра  $ABCD$ .

Этим завершается схематическое построение изобаротермического сечения диаграммы равновесия четырехкомпонентной системы с одной четырехфазной областью разделения. Как видно, в этом сечении оказалось столько однофазных областей, сколько вершин (геометрических элементов с измерением 0) у симплекса четырехфазной области разделения, столько двухфазных областей разделения, сколько у этого симплекса ребер (геометрических элементов с измерением 1) и столько

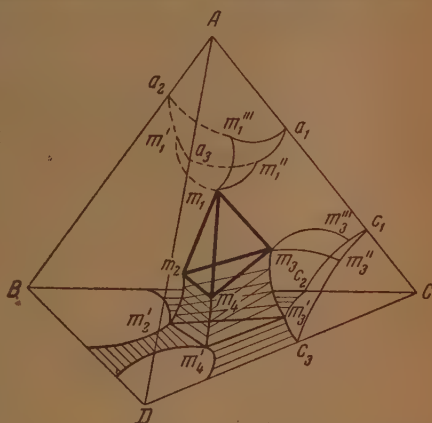


Рис. 3. Изобаротермическое сечение ( $P$  и  $T = \text{const}$ ) диаграммы равновесия четверной системы для случая эвтектики из ограниченных твердых растворов при температуре ниже эвтектической

трехфазных областей разделения, сколько у этого симплекса гра (геометрических элементов с измерением 2). Этот результат можно обобщить на однотипные изобаротермические сечения диаграмм равновесия термодинамических систем с любым, сколь угодно большим числом компонентов. Окончательный результат будет наглядно выражен числом горизонтальных строк известного треугольника Паскаля, который приведен в таблице в применении к данному случаю.

Треугольник Паскаля в приложении к изобаротермическим сечениям диаграмм равновесия  $n$ -компонентных систем с одной  $n$ -фазной областью разделения

| Число компонентов в системе | Число $r_i$ $i$ -фазных областей разделения, участвующих в данном изобаротермическом сечении диаграммы равновесия $n$ -компонентной термодинамической системы с одной $n$ -фазной областью разделения |       |       |       |       |               |
|-----------------------------|---|-------|-------|-------|-------|---------------|
|                             | $r_1$   | $r_2$ | $r_3$ | $r_4$ | $r_5$ | $r_6$ и т. д. |
| 1                           | 1   |       |       |       |       |               |
| 2                           | 2   | 1     |       |       |       |               |
| 3                           | 3   | 3     | 1     |       |       |               |
| 4                           | 4   | 6     | 4     | 1     |       |               |
| 5                           | 5   | 10    | 10    | 5     | 1     |               |
| 6                           | 6   | 15    | 20    | 15    | 6     | 1             |
| и т. д.                     |   |       |       |       |       |               |

В первом вертикальном столбце таблицы приведены числа компонентов  $n$  термодинамических систем, в столбцах 2, 3, ... и т. д. указывается, какое число однофазных областей  $r_1$ , двухфазных областей разделения  $r_2$  и т. д. содержится в соответствующих изобаротермических сечениях, однотипных с теми, которые представлены на рис. 2 и 3, т. е. обладающих каждое лишь одной  $n$ -фазной областью разделения.

## ВЫВОДЫ

1. Проведено аналитическое исследование  $K-L$  процесса, т. е. перехода  $K$ -вариантной термодинамической системы в  $L$ -вариантную, для случая, когда  $K$  и  $L \geq 2$  и когда часть твердых растворов и чистых компонентов или только исчезла, или только возникла при  $K-L$  переходе. Выведена основная система уравнений (35)–(38), определяющая данный  $K-L$  переход. Рассмотренное в настоящей статье аналитическое исследование  $K-L$  процессов легко можно обобщить на случай, когда при  $K-L$  переходе часть чистых компонентов и часть твердых растворов исчезает, а часть их возникает заново, и когда  $K$  и  $L$  принимают любые значения в интервале от нуля до  $n+1$ .

2. Получены «правила отбора» (40), (41) и (45)–(49), позволяющие судить о возможном изменении количества чистых компонентов и количества твердых растворов (или химических соединений) в термодинамической системе. Выяснен физический смысл полученных правил отбора и приведены примеры их применения.

3. Получена система уравнений (56), (57) и (60), определяющая диаграмме равновесия многокомпонентной термодинамической системы границы между областями разделения.

4. На основе полученной системы уравнений (56), (57) и (60) исследованы общие закономерности этих границ и доказано правило о соприкасающихся областях разделения (69) и (72), выражающее зависимость



размерности границы между двумя областями разделения от разности между числами чистых компонентов и числами твердых растворов в данных областях разделения. Указана связь этого правила с правилами отбора (40)—(41) и (45)—(47).

5. Исследована связь границ между областями разделения с гиперконнодами этих областей (гиперконнода [5] представляет собой симплекс или комплекс на диаграмме равновесия, вершины которого соответствуют фазам, находящимся в равновесии).

Правило о соприкасающихся областях разделения (69) и (72) совместно с другими результатами данного исследования может оказать известную помощь и служить критерием для анализа диаграмм равновесия многокомпонентных термодинамических систем. Его применение позволяет производить топологический анализ диаграмм равновесия, а для многих диаграмм равновесия — выяснить их структуру (схематический вид).

6. Приведен пример применения правила о соприкасающихся областях разделения к топологическому анализу заданной диаграммы равновесия.

Государственный университет им. А. М. Горького.  
Политехнический институт им. В. И. Ленина  
Харьков

Поступила  
3.XII.1954

#### ЛИТЕРАТУРА

1. Н. С. Курнаков, Введение в физико-химический анализ, ОНТИ, 1936.
2. В. Я. Аносов и С. А. Погодин, Основные начала физико-химического анализа, Изд-во АН СССР, 1947.
3. Л. С. Палатник, ДАН, 95, 1227, 1954.
4. Л. С. Палатник и В. И. Конторович, Журн. физич. химии, 28, 1599, 1954.
5. Л. С. Палатник и А. И. Дандау, ДАН, 102, 125, 1955.

## О ВЫЧИСЛЕНИИ НУЛЕВЫХ ЧАСТОТ ТРЕХАТОМНЫХ СИММЕТРИЧНЫХ ГИДРИДОВ И ДЕЙТЕРИДОВ

**В. И. Морозов**

В настоящей заметке сообщается простой способ вычисления приближенных значений нулевых частот.

Напомним, что нулевыми частотами ( $\omega$ ) принято называть основные частоты молекулярных колебаний, соответствующие бесконечно малым значениям амплитуд [1].

Основные частоты колебаний молекул, найденные путем непосредственного отождествления молекулярных спектров ( $\nu$ ), будем называть, краткости ради, фундаментальными.

Соотношение между нулевыми и фундаментальными частотами можно записать следующим образом:

$$\nu_i = \omega_i - \omega_i x_i, \quad (1)$$

где  $x_i$  — поправка на ангармоничность.

Для подобного колебания изотопической молекулы выражение (1) будет иметь аналогичный вид

$$\nu'_i = \omega'_i - \omega'_i x'_i. \quad (2)$$

Можно считать, что постоянные ангармоничности  $x_i$  и  $x'_i$  подчиняются приближенному соотношению

$$\frac{x'_i}{x_i} \approx \frac{\omega'_i}{\omega_i}, \quad (3)$$

так как построенные на основании (3) методы приближенного учета ангармоничности колебаний многоатомных молекул [2,3] приводят к весьма объективным результатам. Так, например, метод спектроскопических масс [3] успешно применялся в обширных исследованиях М. А. Ельяшевича и Б. И. Степанова [4], П. Г. Маслова [5] и др.

Обозначив отношение соответствующих нулевых частот изотопических модификаций

$$\frac{\omega'_i}{\omega_i} = \rho_i, \quad (4)$$

и, принимая во внимание (3), выражение (2) представим в форме

$$\nu'_i = \rho_i \omega_i - \rho_i^2 \omega_i x_i. \quad (5)$$

Решая уравнения (1) и (5) относительно  $\omega_i$ , получим

$$\omega_i = \nu_i \frac{\sigma_i - \rho_i^2}{\rho_i (1 - \rho_i)}, \quad (6)$$

где

$$\sigma_i = \frac{\nu'_i}{\nu_i}.$$

Теперь из (4) и (6) найдем выражение нулевых частот изотопической модификации

$$\omega_i' = \nu_i' \frac{\sigma_i - \rho_i^2}{\sigma_i(1 - \rho_i)} \quad (7)$$

Формулы (6) и (7) могут быть применены для вычисления нулевых частот молекул любых конфигураций, если известны значения величин  $\nu_i'$ . Последние для молекул рассматриваемого типа могут быть рассчитаны на основании соотношений

$$\begin{aligned} \rho_1^2 &= \frac{\lambda_1'}{\lambda_1} = \frac{m}{m_1} \frac{M + m(1 - \cos \gamma)}{M + m_1(1 - \cos \gamma)} \frac{M + 2m_1}{M + 2m}, \\ \rho_2^2 &= \frac{\lambda_2'}{\lambda_2} = \frac{m}{m_1} \left\{ 1 + \frac{M(m_1 - m)(1 - \cos \gamma)}{(M + 2m)[M + m(1 + \cos \gamma)]} \right\}, \\ \rho_3^2 &= \frac{\lambda_3'}{\lambda_3} = \frac{m}{m_1} \frac{M + m_1(1 - \cos \gamma)}{M + m(1 - \cos \gamma)}, \end{aligned} \quad (8)$$

получающихся при использовании метода В. М. Татевского [6] или метода парциальных частот [7]. Здесь  $M$  — масса центрального атома,  $m$  и  $m_1$  — массы водорода и дейтерия соответственно,  $\gamma$  — валентный угол,  $\lambda_i = \omega_i^2$ .

Таким образом, для вычисления постоянных  $\omega_i$  трехатомных гидридов дейтеридов необходимо знание фундаментальных частот и геометрических параметров указанных молекул (см. табл. 1), а также масс, входящих в них атомов (см. А. И. Бродский [8]).

Таблица 1

Фундаментальные частоты трехатомных симметричных гидридов и дейтеридов

|          | H <sub>2</sub> O | D <sub>2</sub> O | H <sub>2</sub> S | D <sub>2</sub> S | H <sub>2</sub> Se | D <sub>2</sub> Se |
|----------|------------------|------------------|------------------|------------------|-------------------|-------------------|
| $\nu_1$  | 3652,7 [9]       | 2666 [1]         | 2611 [11]        | 1892 [12]        | 2260 [13]         | 1630 [13]         |
| $\nu_2$  | 1595,4 [9]       | 1178,3 [10]      | 1183 [11]        | 855 [12]         | 1074 [13]         | 745 [13]          |
| $\nu_3$  | 3756,8 [9]       | 2787,2 [10]      | 2625 [11]        | 1908* [12]       | 2350 [13]         | 1696 [13]         |
| $\gamma$ | 104°34'          |                  | 92°20'           |                  | 90°               |                   |

\* Частота  $\nu_3'$  молекулы D<sub>2</sub>S определена в [12] с погрешностью  $\sim 10$  см<sup>-1</sup>. Она была несколько исправлена нами [7] и принята равной 1908 см<sup>-1</sup> вместо 1900 см<sup>-1</sup>.

На основании данных табл. 1 и при применении формул (6), (7) (8) нами были рассчитаны значения нулевых частот трехатомных симметричных молекул, содержащих водород и дейтерий. Результаты вычислений приведены в табл. 2, где для сравнения указаны нулевые частоты, полученные на основании полного анализа спектров и при применении формул теории возмущений.

Следует заметить, что в [11] приведены коэффициенты полного квадратичного выражения вибрационной энергии, отнесенной к наиболее низкому колебательному состоянию (квантовые числа  $\nu_1 = \nu_2 = \nu_3 = 0$ ). На основании этих коэффициентов нулевые частоты легко находятся (соответствующие формулы см. у Герцберга [1]).



Таблица 2

Нулевые частоты трехатомных симметричных гидридов и дейтеридов

| Молекула          | $\omega_1$       | $\omega_2$       | $\omega_3$       | Литература |
|-------------------|------------------|------------------|------------------|------------|
| H <sub>2</sub> O  | 3830,6<br>3829,4 | 1660,0<br>1654,5 | 3933,4<br>3940,1 | [9]        |
| D <sub>2</sub> O  | 2758,2<br>2758,1 | 1212,8<br>1210,2 | 2882,0<br>2883,8 |            |
| H <sub>2</sub> S  | 2712<br>2714     | 1211<br>1214     | 2733<br>2732     | [14]       |
| D <sub>2</sub> S  | 1944             | 869,6            | 1964             |            |
| H <sub>2</sub> Se | 2366             | 979,6            | 2463             | [11]       |
| D <sub>2</sub> Se | 1683             | 697,2            | 1753             |            |

Вследствие серьезных трудностей, связанных с полным анализом спектра и применением метода возмущений, надежные значения нулевых частот определены только для трех молекул. Результаты, полученные для молекулы D<sub>2</sub>S [15], основаны на устаревших опытных данных и подлежат пересмотру. Для молекул H<sub>2</sub>Se и D<sub>2</sub>Se постоянные  $\omega$  вообще не вычислялись.

Однако знание величин  $\omega$  необходимо для изучения динамической структуры трехатомных гидридов, надежная совокупность силовых постоянных которых известна в литературе только для молекулы H<sub>2</sub>O, а значения коэффициентов влияния вообще неизвестны.

В заключение выражаю благодарность М. А. Ельяшевичу за обсуждение результатов работы.

## ВЫВОДЫ

1. Получены формулы для вычисления приближенных значений нулевых частот многоатомных молекул.
2. Рассчитаны значения нулевых частот молекул типа XY<sub>2</sub>, содержащих водород или дейтерий.

Химико-технологический институт  
Днепропетровск

Поступила  
10. I. 1955

## ЛИТЕРАТУРА

1. Г. Герцберг, Колебательные и вращательные спектры многоатомных молекул, ИИЛ, М., 1949.
2. G. E. Hansen a. D. M. Dennison, Journ. Chem. Phys., 20, 313, 1952.
3. M. Hemptinne a. C. Manneback, Proc. Ind. Acad. Sci., 9A, 286, 1939.
4. М. В. Волькенштейн, М. А. Ельяшевич, Б. И. Степанов, Колебания молекул, т. 1, ГИИТ, М.—Л., 1949.
5. П. Г. Маслов, Колебания молекул и термодинамические свойства паров органических соединений, Диссертация, Л., 1953.
6. В. М. Татевский, Журн. физ. химии, 25, 274, 1951.
7. В. П. Морозов, Применение метода парциальных частот к вычислению силовых постоянных и термодинамических свойств трехатомных нелинейных молекул, Диссертация, Химико-технологический ин-т, Иваново, 1953.
8. А. И. Бродский, Химия изотопов, Изд-во АН СССР, М., 1952.
9. H. H. Nielsen, Phys. Rev., 62, 422, 1942.
10. F. P. Dickey a. H. H. Nielsen, Phys. Rev., 73, 1164, 1948.
11. H. C. Allen, P. C. Cross a. G. W. King, Journ. Chem. Phys., 18, 1412, 1950.
12. J. B. Lohman, F. P. Reding a. D. F. Hornig, Journ. Chem. Phys., 19, 252, 1951.
13. D. M. Cameron, W. C. Sears, a. H. H. Nielsen, Journ. Chem. Phys., 7, 994, 1939.
14. B. T. Darling a. D. M. Dennison, Phys. Rev., 57, 128, 1940.
15. C. R. Bailey, J. W. Thompson, a. J. B. Hale, Journ. Chem. Phys., 4, 625, 1936.

# ПРИМЕНЕНИИ НУЛЕВЫХ ПРИБЛИЖЕНИЙ И ПАРЦИАЛЬНЫХ ЧАСТОТ ДЛЯ ПРИБЛИЖЕННОГО РЕШЕНИЯ ЗАДАЧИ О КОЛЕБАНИЯХ В МОЛЕКУЛЕ

*А. С. Свердлин и И. Н. Годнев*

Наряду с общими методами вычисления частот колебаний многоатомных молекул, разработанными М. А. Ельяшевичем, Б. И. Степановым [1—3] и др. [4—6], представляет интерес применение приближенных способов расчета колебаний. Один из таких способов был предложен А. Ельяшевичем и Б. И. Степановым [3] (так называемое «естественное нулевое приближение»). Недавно В. П. Морозовым [7] для приближенного вычисления частот трехатомных молекул с легкими концевыми атомами успешно был использован метод парциальных частот [8, 9]. Последний метод, как это следует из общей теории колебаний, эквивалентен введению одного из возможных нулевых приближений\*. В связи с этим целесообразно рассмотреть все простейшие нулевые приближения задачи о колебаниях в молекуле и провести оценку их применимости. Такое рассмотрение, проведенное в настоящей статье, позволит выяснить вопрос о месте парциальных частот среди других нулевых приближений и сделать заключение о перспективах их применения.

Пусть дана  $N$ -атомная квазитвердая молекула, имеющая  $n=3N-6$  колебательных степеней свободы (для линейной молекулы это число равно  $3N-5$ ). Потенциальная энергия может быть записана в виде:

$$2U = \sum_{ij} k_{ij} q_i q_j = \sum_{ij} k_{ij}^* f_i f_j, \quad (1)$$

где  $q_1, q_2, \dots, q_n$  — естественные координаты,  $f_1, f_2, \dots, f_n$  — соответствующие им обобщенные силы,  $k_{ij}$  — динамические коэффициенты, а  $k_{ij}^*$  — коэффициенты влияния. Матрица  $(k_{ij}^*)$  будет обратной матрице  $(k_{ij})$

$$-(k_{ij}^*) = (k_{ij})^{-1} = K^{-1}. \quad (2)$$

Вектор  $\mathbf{f}$ , составленный из  $f_1, f_2, \dots, f_n$ , будет связан с вектором  $\mathbf{q}$ , имеющим координаты  $q_1, q_2, \dots, q_n$ , соотношением

$$\mathbf{f} = -K\mathbf{q}. \quad (3)$$

Для кинетической энергии можно написать

$$2T = \sum_{ij} t_{ij} \dot{q}_i \dot{q}_j = \sum_{ij} A_{ij} \dot{p}_i \dot{p}_j, \quad (4)$$

причем

$$A = (A_{ij}) = (t_{ij})^{-1} = T^{-1} \quad (5)$$

$$\mathbf{p} = T\dot{\mathbf{q}}. \quad (6)$$

\* Эквивалентность парциальных частот и естественного нулевого приближения, обнаруженная В. П. Морозовым, будет верна только в частном случае (см. ниже).

Уравнения движения и соответствующие им амплитудные и вековые уравнения, служащие для решения задачи о колебаниях в молекуле, могут быть записаны в разной форме [5]. В табл. 1 приведены некоторые простейших уравнений движения, содержащих не более двух матричных множителей  $T$  и  $K$  в первой или минус первой степени. Этим уравнениям соответствуют девять амплитудных и шесть различных вековых уравнений. Большая часть этих уравнений была приведена в работе В. М. Татевского [4] и Л. С. Маянна [5] (см. также [6]). Среди уравнений наиболее удобным оказывается уравнение (17), полученное М. А. Ельяшевичем, так как неизвестная  $\lambda$  входит в него или в (только в диагональные члены, а коэффициенты  $A_{ij}$  могут быть найдены по таблицам [3].

Таблица

| Уравнение движения               | Амплитудное уравнение                        | Вековое уравнение                                  | Примечание                |
|----------------------------------|--|--|---------------------------|
| $T\ddot{q} = -Kq$ (7)            | $(T\lambda - K)q_0 = 0$ (16)                 | $ t_{ij}\lambda - k_{ij}  = 0$ (25)                | $\lambda_i = \omega_i^2$  |
| $\ddot{q} = -T^{-1}Kq$ (8)       | $(T^{-1}K - E\lambda)q_0 = 0$ (17)           | $ D_{ij} - \delta_{ij}\lambda  = 0$ (26)           | $(D_{ij}) = T^{-1}K$ (28) |
| $K^{-1}T\ddot{q} = -q$ (9)       | $(K^{-1}T - E\frac{1}{\lambda})q_0 = 0$ (18) | $ L_{ij} - \delta_{ij}\frac{1}{\lambda}  = 0$ (27) | $(L_{ij}) = K^{-1}T$ (29) |
| $TK^{-1}\ddot{f} = -f$ (10)      | $(TK^{-1} - E\frac{1}{\lambda})f_0 = 0$ (19) | $ M_{ij} - \delta_{ij}\frac{1}{\lambda}  = 0$ (28) | $(M_{ij}) = TK^{-1}$ (30) |
| $\ddot{f} = -KT^{-1}f$ (11)      | $(KT^{-1} - E\lambda)f_0 = 0$ (20)           | $ N_{ij} - \delta_{ij}\lambda  = 0$ (29)           | $(N_{ij}) = KT^{-1}$ (31) |
| $K^{-1}\ddot{f} = -T^{-1}f$ (12) | $(K^{-1}\lambda - T^{-1})f_0 = 0$ (21)       | $ K_{ij}\lambda - A_{ij}  = 0$ (30)                |                           |
| $\ddot{p} = -KT^{-1}p$ (13)      | $(KT^{-1} - E\lambda)p_0 = 0$ (22)           | Ур-ние (29)  |                           |
| $K^{-1}\ddot{p} = -T^{-1}p$ (14) | $(K^{-1}\lambda - T^{-1})p_0 = 0$ (23)       | Ур-ние (30)  |                           |
| $p = -TK^{-1}\ddot{p}$ (15)      | $(TK^{-1} - E\frac{1}{\lambda})p_0 = 0$ (24) | Ур-ние (28)  |                           |

Кроме уравнений движения (7)–(15), для решения задачи о колебаниях может быть применено бесчисленное множество других, видов (ср. [5])

$$B_1 T A_1 \ddot{x} = -B_1 K A_1 x, \quad (31)$$

где  $A_1, B_1$  — произвольные неособенные матрицы порядка  $n$ .

В качестве нулевого приближения заданной матричной записи векового уравнения естественно взять решение, получающееся при применении только диагональных элементов. Обозначив матрицы

$$B_1 T A_1 = \mathfrak{M} \quad (32)$$

$$B_1 K A_1 = \mathfrak{K}, \quad (33)$$

мы будем иметь в качестве диагонального нулевого приближения\*

$$\omega_i^2 = \lambda_i = \frac{\mathfrak{M}_{ii}}{\mathfrak{K}_{ii}}, \quad (34)$$

где  $\mathfrak{M}_{ii}$  и  $\mathfrak{K}_{ii}$  — диагональные элементы матриц  $\mathfrak{M}$  и  $\mathfrak{K}$ .

Хотя при точном решении задачи о колебаниях применение любой матричной формы записи приводит к одним и тем же значениям частот,

\* Такое диагональное нулевое приближение будет иметь смысл независимо от того, входит ли неизвестная  $\lambda$  в недиагональные члены векового уравнения, или нет.



диагональные нулевые приближения различных форм будут различными. При этом величина диагонального нулевого приближения будет зависеть как от формы уравнения (матрица  $B_1$ ), так и от примененных координат (матрица  $A_1$ ). Для простейших девяти уравнений (7)–(15) на основании (34) мы получим

$$\lambda_i^{(1)} = \frac{k_{ii}}{t_{ii}}; \quad (35)$$

$$\lambda_i^{(2)} = D_{ii} = \sum_l A_{il} k_{il}; \quad (36)$$

$$\lambda_i^{(3)} = \frac{1}{L_{ii}} = \frac{1}{\sum_l k_{il}^* t_{il}}; \quad (37)$$

$$\lambda_i^{(4)} = \frac{1}{M_{ii}} = \frac{1}{\sum_l t_{il} k_{il}^*}; \quad (38)$$

$$\lambda_i^{(5)} = N_{ii} = \sum_l k_{il} A_{il}; \quad (39)$$

$$\lambda_i^{(6)} = \frac{A_{ii}}{k_{ii}^*}. \quad (40)$$

Легко убедиться, что среди этих шести диагональных нулевых приближений две пары будут одинаковыми. Действительно, из симметрии матриц  $T^{-1}$ ,  $K$ ,  $T$ ,  $K^{-1}$  и выражений (36) и (39), а также (37) и (38) следует

$$\lambda_i^{(2)} = \lambda_i^{(5)} = E_i$$

$$\lambda_i^{(3)} = \lambda_i^{(4)} = D_i'.$$

Таким образом, девяти простейшим уравнениям движения соответствуют четыре различных диагональных нулевых приближения. Среди последних выражение (36) является нулевым приближением М. А. Ельяшевича и Б. И. Степанова [3], а (35) соответствует парциальным частотам, примененным В. П. Морозовым [7].

В качестве критериев, определяющих степень применимости данного диагонального нулевого приближения к вычислению всех частот молекулы, целесообразно взять выражения

$$\rho_1 = 1 - \frac{\sum_{i=1}^n |v_i - \omega_i|}{\sum_{i=1}^n v_i}$$

$$\rho_2 = 1 - \sum_{i=1}^n \frac{|v_i - \omega_i|}{v_i},$$

где  $v_i$  — экспериментальное значение частоты. Первое из них будет оценивать разность между единицей и относительной ошибкой в вычислении суммы всех частот молекулы. Второе выражение определяет откло-

нение от единицы суммы всех относительных ошибок при вычислении каждой частоты. В случае нормальных координат обе величины  $\rho_1$  и  $\rho_2$  как легко видеть, обращаются в единицу.

Критерии  $\rho_1$  и  $\rho_2$  применены далее для оценки различных нулевых приближений.

Рассмотрим теперь, какое место среди указанных диагональных нулевых приближений занимает метод парциальных частот. Для введения последних можно было бы замораживать все переменные координаты за исключением одной в уравнениях движения\*. Применяя такой метод к простейшим уравнениям движения (7)–(15), мы получим шесть парциальных частот, которые будут передаваться формулами (35)–(40), т. е. будут совпадать со значениями введенных выше диагональных нулевых приближений\*\*. Однако легко усмотреть, что в таком случае для одной парциальной системы получается ряд различных парциальных частот. Так, при применении одних и тех же координат  $q$  трем формам уравнений (7), (8), (9) соответствуют три разные парциальные частоты (35), (36), (37).

Отсутствие глубокого физического смысла вводимых таким образом парциальных частот легко иллюстрируется следующим образом. Пусть в случае двумерной системы взяты уравнения движения

$$t_{11}\ddot{q}_1 + t_{12}\ddot{q}_2 + k_{11}q_1 + k_{12}q_2 = 0, \quad (41)$$

$$t_{21}\ddot{q}_1 + t_{22}\ddot{q}_2 + k_{21}q_1 + k_{22}q_2 = 0. \quad (42)$$

Если вместо этой системы взять систему, первое уравнение которой получается прибавлением к (41) уравнения (42), умноженного на произвольное число  $\alpha$ , то, замораживая в такой системе  $q_2$  и  $\ddot{q}_2$ , мы получим для первой парциальной частоты произвольное значение

$$\lambda_1 = \frac{k_{11} + \alpha k_{12}}{t_{11} + \alpha t_{12}},$$

которое, естественно, не совпадает с (35).

Другой путь введения парциальных частот был применен В. П. Морозовым, который замораживал соответствующие координаты в выражении потенциальной энергии и решал после этого одномерную задачу. В этом случае для  $\lambda_i$  получается формула (35). Однако и такой путь введения парциальных частот не оказывается однозначным. Во-первых, значения таких парциальных частот зависят от выбора координат\*\*\*; во-вторых, при фиксированном выборе координат выделение одномерной задачи будет зависеть от переменных, в которых выражена кинетическая энергия. Выделяя одномерную систему по этому методу при переменных  $q$  и  $\dot{q}$  и  $q$  и  $p$ , мы получим два различных решения:

$$B_i = \frac{k_{ii}}{t_{ii}}, \quad (43)$$

$$B'_i = A_{ii} k_{ii}. \quad (44)$$

\* Такой способ вычисления парциальных частот был применен С. П. Стрелковым [9] стр. 220), замораживающим соответствующие координаты  $x$  в уравнениях движения. Хотя С. П. Стрелков дал правильное определение парциальной системы он не заметил, что при замораживании одних и тех же координат в уравнениях движения для одной и той же парциальной системы можно получить бесчисленное множество парциальных частот.

\*\* Кроме того, по этому методу получается также ряд побочных корней.

\*\*\* Это обстоятельство правильно отметил С. П. Стрелков [9].

и применении переменных  $f$  и  $\dot{q}$  и  $f$  и  $p$  мы также будем иметь два решения:

$$M'_i = \frac{1}{k_{ii}^* t_{ii}}, \quad (45)$$

$$M_i = \frac{A_{ii}}{k_{ii}^*}. \quad (46)$$

ли бы система в действительности была одномерной, то все эти четыре решения, как легко убедиться, были бы равны друг другу. Но в случае  $n$ -мерной системы соотношения между коэффициентами  $A_{ii}$ ,  $t_{ii}$ ,  $k_{ii}^*$  оказываются достаточно сложными, и, например,  $k_{ii} \neq 1/k_{ii}^*$ , а потому эти четыре решения будут, вообще говоря, различными.

Среди найденных таким образом парциальных частот заслуживают внимания (43) и (46). Последние совпадают с диагональными нулевыми приближениями (35) и (40) вековых уравнений (25) и (30). Таким образом, два из диагональных нулевых приближений недиагональных уравнений (25) и (30) могут быть истолкованы как парциальные частоты переменных  $q$  и  $\dot{q}$  и  $f$  и  $p$ . Другие две частоты  $B'_i$  и  $M'_i$  не соответствуют определенным нулевым приближениям в указанном выше смысле. Они очень плохо передают значения частот (см. табл. 2 и 3).

Следует отметить, что в случае двумерного блока существует следующее соотношение

$$B_1 M_2 = |A| |K| = \lambda_1 \lambda_2. \quad (47)$$

В самом деле, на основании (43) и (46), мы имеем

$$B_1 = \frac{k_{11}}{t_{11}}, \quad M_2 = \frac{A_{22}}{k_{22}^*}.$$

Принимая во внимание, что

$$t_{11} = \frac{A_{22}}{|A|}$$

$$k_{22}^* = \frac{k_{11}}{|K|},$$

мы получим после несложных преобразований формулу (47). Аналогично можно показать, что подобные же соотношения будут иметь место и для других парциальных частот и диагональных нулевых приближений, именно

$$B_2 M_1 = \lambda_1 \lambda_2, \quad (48)$$

$$B'_1 M'_2 = B'_2 M'_1 = \lambda_1 \lambda_2, \quad (49)$$

$$E_1 D'_2 = E_2 D'_1 = \lambda_1 \lambda_2. \quad (50)$$

Применим теперь критерии  $\rho_1$  и  $\rho_2$  для оценки парциальных частот других диагональных нулевых приближений\*. Последние, как было

\* Наряду с критериями  $\rho_1$  и  $\rho_2$  можно было бы использовать величину  $\rho_3 = 1 - \frac{1}{n} \sum_{i=1}^n \frac{|\nu_i - \omega_i|}{\nu_i}$ . Однако для сравнения применимости нулевых приближений данной молекулы более удобен  $\rho_2$ . С другой стороны,  $\rho_3$  близко к  $\rho_1$ .



показано выше, зависит от рода используемых координат. Лучшее приближение к действительным значениям частот, естественно, мы получим при применении координат симметрии, а поэтому наши вычисления были выполнены при введении таких координат.

При переходе от естественных координат к координатам симметрии при помощи ортогонального преобразования:

$$q = S\tilde{q},$$

уравнения движения (7)–(15) сохраняют свой вид для каждого отдельного блока, и мы получим уравнения (35)–(40), в которые войдут введенные коэффициенты.

Таблица

Экспериментальные и вычисленные частоты  $\text{CHCl}_3$ 

| Точные значения частот |                   | Приближенные вычисления               |  |  |                                       |  |  |
|------------------------|-------------------|---------------------------------------|--|--|---------------------------------------|--|--|
| Данные Б. И. Степанова | Новые данные [11] | Парциальная частота $B_i$ , Ф-ла (43) | Приближение Ельяшевца и Степанова, Ф-ла (36) | Нулевое приближение $D_i'$ , Ф-ла (37) | Парциальная частота $M_i$ , Ф-ла (46) | Парциальная частота $B_i'$ , Ф-ла (44) | Парциальная частота $B_i'$ , Ф-ла (44) |
| 3020 ( $A_1$ )         | 3040 ( $A_1$ )    | 2936                                  | 3033   | 3479                                   | 2978                                  | 3051                                   | 286                                    |
| 671 ( $A_1$ )          | 667 ( $A_1$ )     | 486                                   | 600  | 523                                    | 636                                   | 653                                    | 47                                     |
| 361 ( $A_1$ )          | 370 ( $A_1$ )     | 402                                   | 396  | 410                                    | 525                                   | 552                                    | 38                                     |
| 1217 ( $E$ )           | 1214 ( $E$ )      | 1208                                  | 1217   | 1183                                   | 1145                                  | 1273                                   | 108                                    |
| 781 ( $E$ )            | 755 ( $E$ )       | 582                                   | 775  | 720                                    | 783                                   | 927                                    | 49                                     |
| 257 ( $E$ )            | 261 ( $E$ )       | 267                                   | 295  | 268                                    | 396                                   | 423                                    | 25                                     |
| $\rho_1$               |                   | 0,92                                  | 0,98   | 0,91                                   | 0,92                                  | 0,88                                   | 0,8                                    |
| $\rho_2$               |                   | 0,09                                  | 0,74   | 0,47                                   | <0                                    | <0                                     | <                                      |

Таблица

Экспериментальные и вычисленные частоты  $\text{CF}_4$ 

| Точные знач. частот    |                   | Приближенные вычисления               |  |  |                                       |  |  |
|------------------------|-------------------|---------------------------------------|--|--|---------------------------------------|--|--|
| Данные Б. И. Степанова | Новые данные [11] | Парциальная частота $B_i$ , Ф-ла (43) | Приближение Ельяшевца и Степанова, Ф-ла (36) | Нулевое приближение $D_i'$ , Ф-ла (37) | Парциальная частота $M_i$ , Ф-ла (46) | Парциальная частота $B_i'$ , Ф-ла (44) | Парциальная частота $B_i'$ , Ф-ла (44) |
| 900 ( $A_1$ )          | 904 ( $A_1$ )     | 904                                   | 904  | 904                                    | 904                                   | 904                                    | 90                                     |
| 436 ( $E$ )            | 437 ( $E$ )       | 437                                   | 437  | 437                                    | 437                                   | 437                                    | 43                                     |
| 1265 ( $F_2$ )         | 1277 ( $F_2$ )    | 968                                   | 1265   | 1253                                   | 1265                                  | 1439                                   | 85                                     |
| 625 ( $F_2$ )          | 630 ( $F_2$ )     | 627                                   | 634  | 628                                    | 825                                   | 934                                    | 55                                     |
| $\rho_1$               |                   | 0,88                                  | 0,99   | 0,99                                   | 0,92                                  | 0,81                                   | 0,8                                    |
| $\rho_2$               |                   | 0,27                                  | 0,97   | 0,94                                   | 0,04                                  | <0                                     | <                                      |

В табл. 2 и 3 приведены вычисления для  $\text{CHCl}_3$  и  $\text{CF}_4^*$ . В первом столбце даны частоты Б. И. Степанова [10], которые подтверждаются новыми значениями Плайлера [11] (второй столбец). Рассмотрение данных табл. 2 и 3 показывает, что наилучшим нулевым приближением являясь естественное нулевое приближение М. А. Ельяшевца и Б. И. Степанова, достаточно хорошо передающее значение частот и дающее для критериев  $\rho_1$  и  $\rho_2$  значения, близкие к единице. Несколько хуже

\* При вычислениях нами использованы данные Б. И. Степанова [10] для диэлектрических коэффициентов; коэффициенты влияния найдены по этим же данным.

частоты нулевое приближение  $D'_i$ . Парциальные частоты  $B_i$  и  $M_i$  дают правильные значения для одних частот и резко отклоняющиеся значения других частот, что видно из малого значения  $\rho_2$ . Совсем плохо идет дело с парциальными частотами  $B'_i$  и  $M'_i$  (малые значения  $\rho_1$  тридцателетние значения  $\rho_2$ ).

Наши вычисления, выполненные для других молекул (например,  $\text{CBr}_4$ ), показывают, что аналогично обстоит дело и в других случаях, за исключением молекул с легкими концевыми атомами. В последнем случае парциальные частоты  $B_i$  могут быть близки к значениям, даваемым естественным нулевым приближением. Так, для  $\text{CH}_3\text{Cl}$  первые дают  $\rho_1 = 0,99$ ,  $\rho_2 = 0,84$ , а вторые —  $\rho_1 = 0,99$ ,  $\rho_2 = 0,87$ .

Из изложенного выше следует, что парциальные частоты В. П. Морозова, вообще говоря, не эквивалентны естественному нулевому приближению. Такое заключение можно особенно наглядно продемонстрировать на примере двумерного блока. Действительно, пусть в этом случае оправдывается приближение М. А. Ельяшевича и Б. И. Степанова. Тогда  $\approx 0$ . Мы будем иметь вообще

$$D_{11} + |D_{22} = \lambda_1 + \lambda_2. \quad (52)$$

С другой стороны, при  $D_{12} \approx 0$

$$M_1 + B_2 \approx \lambda_1 + \lambda_2. \quad (53)$$

Из (47) и (53) следует

$$\lambda_1 \approx D_{11} \approx M_1 \neq B_1, \quad \lambda_2 \approx D_{22} \approx B_2 \neq M_2^*.$$

Таким образом, если приближение М. А. Ельяшевича и Б. И. Степанова оправдывается хорошо, то будет хорошо оправдываться комбинация парциальных частот (43) и (46)\*\*. Из этого следует, что если одна частота оправдывается  $\lambda_1 \approx M_1$ , то другая должна приближенно передаваться  $\lambda_2 \approx B_2$ .

Таблица 4

Сравнение опытных и вычисленных частот  $\text{CCl}_4$ ,  $\text{CBr}_4$ ,  $\text{NO}_2$

| Вещество        | Точные значения частот |                        | Приближенные вычисления                       |                                       |                                       |
|-----------------|------------------------|------------------------|---|---------------------------------------|---------------------------------------|
|                 | Данные Б. И. Степанова | Новые данные [11]      | Приближение Ельяшевича и Степанова, Ф-ла (36) | Парциальная частота $B_i$ , Ф-ла (43) | Парциальная частота $M_i$ , Ф-ла (46) |
| $\text{CCl}_4$  | 313 ( $F_2$ )          | 319 ( $F_2$ )          | 307   | 315                                   | —                                     |
|                 | 787 ( $F_2$ )          | 773 ( $F_2$ )          | 795   | —                                     | 792                                   |
| $\text{CBr}_4$  | 182 ( $F_2$ )          | 183 ( $F_2$ )          | 177   | 184                                   | —                                     |
|                 | 663 ( $F_2$ )          | 669 ( $F_2$ )          | 665   | —                                     | 663                                   |
| $\text{NO}_2^*$ | —                      | 749 [ $\gamma^{(A)}$ ] | 753   | 749                                   | —                                     |
|                 | —                      | 1319 [ $q^{(A)}$ ]     | 1327  | —                                     | 1327                                  |

\* Частоты  $\text{NO}_2$  приведены из работы [12]; динамические коэффициенты и коэффициенты влияния использованы по данным [7].

В табл. 4 приведены примеры, показывающие, что указанные выше соотношения хорошо оправдываются для ряда молекул.

\* Если имеет место  $D_{21} \approx 0$ , то

$$\lambda_1 \approx D_{11} \approx B_1 \neq M_1, \quad \lambda_2 \approx D_{22} \approx M_2 \neq B_2.$$

\*\* Легко усмотреть, что в этом случае  $E_1 \approx D'_1$  и  $E_2 \approx D'_2$ .

## ВЫВОДЫ

1. Обсужден вопрос о применении парциальных частот и диагональных нулевых приближений при решении задачи о вычислении частот колебаний в молекуле. Показано, что девяти простейшим уравнениям движения соответствуют четыре диагональных нулевых приближения из которых два могут быть истолкованы как парциальные частоты  $B_i = k_{ii}/t_{ii}$  и  $M_i = A_{ii}/k_{ii}$ . Две другие парциальные частоты  $B_i$  и  $M_i$  не соответствуют диагональным нулевым приближениям.

2. Сравнение применимости нулевых приближений и парциальных частот в координатах симметрии при помощи критериев  $\rho_1$  и  $\rho_2$  показывало, что наилучшими из них оказывается естественное нулевое приближение М. А. Ельяшевича и Б. И. Степанова. Из этого следует ограниченная применимость метода парциальных частот при решении задачи о колебаниях.

3. Показано, что в случае двумерного блока: а) произведение корней  $\lambda_1 \lambda_2$  равно произведению нулевых приближений  $B_1 M_2$ ,  $B_2 M_1$ ,  $B_1' M_2'$ ,  $E_1 D_2'$ ,  $E_2 D_1'$ , б) если приближение М. А. Ельяшевича и Б. И. Степанова хорошо передает корни уравнения, то оно эквивалентно комбинации парциальных частот типа  $B_i$  и  $M_i$ .

Ивановский химико-технологический институт

Поступила 10.1.1955

## ЛИТЕРАТУРА

1. М. А. Ельяшевич, Журн. физ. химии, **14**, 461, 488, 1381, 1940.
2. Б. И. Степанов, Журн. физ. химии, **14**, 474, 1940; **15**, 78, 1941.
3. М. В. Волькенштейн, М. А. Ельяшевич и Б. И. Степанов, Колебания молекул, тт. I и II, Гостехтеоретиздат, 1949.
4. В. М. Татевский, ЖЭТФ, **15**, 445, 1945.
5. Л. С. Маянц, Труды ФИАН, **5**, 63, 1950.
6. П. Г. Маслов, Колебания молекул и термодинамические свойства паров органических соединений, Диссертация, Л., 1953.
7. В. П. Морозов, Применение метода парциальных частот к вычислению силовых постоянных и термодинамических свойств трехатомных нелинейных молекул, Диссертация, Ивановский химико-технологический ин-т, 1953.
8. Л. И. Мандельштам, Полное собрание трудов, т. 3, Изд-во АН СССР, М., 1950.
9. С. П. Стрелков, Введение в теорию колебаний. М.—Л., Гостехтеоретиздат, 1951.
10. Б. И. Степанов, ЖЭТФ, **15**, 43, 1945.
11. E. K. Plyler and W. S. Benedict, Journ. Res. Nat. Bur. Stand., **47**, 20, 1951.
12. L. Harris, G. W. King, W. S. Benedict, R. W. B. Pearse, Journ. Chem. Phys., **8**, 765, 1940.



## ИССЛЕДОВАНИЕ МЕХАНИЗМА ДЕЙСТВИЯ АНТИКОРРОЗИОННЫХ ПРИСАДОК К МАСЛАМ МЕТОДОМ РАДИОАКТИВНЫХ ИНДИКАТОРОВ

Ю. С. Заславский, С. Э. Крейн и Р. Н. Шнеерова

Механизм действия антикоррозионных присадок к минеральным маслам до сего времени изучен недостаточно глубоко и полно. Подробное его изучение является одной из важных задач в решении проблемы получения высококачественных минеральных масел.

Мы поставили перед собой задачу исследовать механизм действия указанных присадок при помощи метода радиоактивных индикаторов.

В настоящее время общепризнано, что действие антикоррозионных присадок к минеральным маслам в основном связано с образованием защитных пленок на поверхности металла [1]. Исследование условий образования защитной пленки представляет значительный интерес для изучения механизма действия антикоррозионных присадок.

В связи с субмикроскопической толщиной пленки, наблюдение за ее образованием крайне затруднено, чем и определяется отсутствие литературных данных по этому вопросу. В единственной опубликованной работе [2] автор проводил исследования не на металлических поверхностях, имеющих место в реальных двигателях, а на порошках соответствующих металлов.

Использование радиоактивных индикаторов позволило нам провести исследование условий образования пленки на поверхностях металлических пластинок.

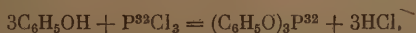
В качестве антикоррозионных присадок к минеральным маслам применяются, главным образом, соединения серы и фосфора.

Для настоящего исследования нами были использованы присадки «серенное масло» и трифенилфосфит, полученные первая на основе серы  $S^{35}$ , вторая на основе радиофосфора  $P^{32}$ .

Для осернения было использовано масло «автол-10 с. к. о». Масло нагревалось до  $170^\circ\text{C}$  и к нему постепенно при помешивании, небольшими дозами; добавлялось 3% (в весу) элементарной серы (содержавшей 0,05% радиосеры  $S^{35}$ ) с таким расчетом, чтобы общее время осернения продолжалось 5,5 час. При этом температура постепенно снижалась до  $170^\circ\text{C}$ .

После того как вся сера была введена в масло, последнее в течение еще одного часа перемешивалось при  $170^\circ\text{C}$ .

По окончании процесса осернения масло выдерживалось в течение 7 суток для окисления непрореагировавшей серы, после чего проводилась фильтрация масла. В фильтрованном масле содержание серы, по данным анализа, составляло 2,33%. Синтез трифенилфосфита осуществлялся действием треххлористого радиофосфора на фенол по реакции



Использовавшийся свежеперегнанный фенол, не содержащий влаги, нагревался до  $60^\circ\text{C}$ , после чего к нему постепенно добавлялся треххлористый фосфор. Избыток фенола отгонялся при температуре  $240\text{--}250^\circ\text{C}$ , с последующим повышением температуры смеси до  $365^\circ\text{C}$ .

Исследования проводились на аппарате Пинкевича, представляющем собой малую баню с подогревом, в которой устанавливаются восемь пробирок с испытуемыми маслами. В пробирки периодически погружаются при помощи кривошипного механизма металлические пластинки (ГОСТ 5162-49).

Исходя из необходимости применять пластинки, размер которых позволял бы проводить измерения радиоактивности на поверхности пластинок торцевым счетчиком

ТМ-20, исследования проводились с некоторыми изменениями против ГОСТ 5162-4: размер пластинок  $10 \times 10$  мм; размер пробирок  $20 \times 210$  мм; количество масла, заливаемого в пробирки, 17 г.

Указанные размеры пробирок и количество масла были приняты с целью сохранения соотношения между длительностью пребывания пластинок в масле и на воздухе, предусмотренного при работе аппарата по ГОСТ 5162-49.

При проведении каждого опыта аппарат работал в течение 10 час. при заданной температуре испытуемого масла. Через определенные промежутки времени пластины вынимались из прибора, промывались в бензоле, высушивались и измерялась радиактивность на их поверхности.

Для пересчета данных радиометрических замеров в весовые показатели, с учетом распада применявшихся радиоизотопов, были изготовлены эталонные растворы, носившиеся в виде капель на поверхность контрольной пластины. Измерение радиактивности пластины с эталоном производилось периодически после испарения жидкой фазы, что позволяло избежать погрешностей, связанных с самопоглощением и лучения.

Точность количественного определения составляла при удельных активности применявшихся радиоизотопов  $10^{-7} - 10^{-8}$  г.

Исследование проводилось с использованием двух образцов масел: авиамасла МК-22 с 0,5% присадки осерненное масло и того же масла с 0,5% присадки трифенилфосфит. Опыты проводились при различных температурах масла: 90, 110, 140, 170, 200 и 220°C на пластинах из свинцовой стали-3 и свинцовистой бронзы (С-30).

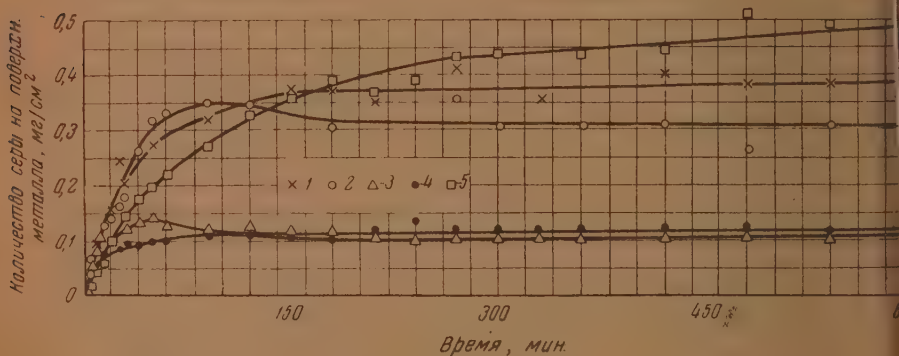


Рис. 1. Опыты на масле МК-22 с 0,5% осерненного масла при различных температурах масла (пластины из свинцовистой бронзы): 1 — 140°C; 2 — 170°C; 3 — 185°C; 4 — 200°C; 5 — 110°C.

При проведении всех опытов имело место накопление основных компонентов исследовавшихся антикоррозионных присадок (серы или фосфора) на поверхности металла.

На рис. 1—4 показаны типичные результаты опытов. На рис. 1 приведены результаты опытов со свинцовистой бронзой в масле с присадкой осерненное масло; на рис. 2—4 приведены результаты опытов с разными металлами (свинцом, свинцовистой бронзой и сталью) в масле с присадкой трифенилфосфит.

Как видно из рис. 1—4, примененная методика исследования позволила определить кинетику образования пленки на поверхности металла.

Кривые, отражающие образование пленки с течением времени, показывают, что пленка сначала интенсивно нарастает, а затем стабилизируется. Абсолютное же количество образующейся пленки различно для разных металлов, как это видно из рис. 1—4.

Из рис. 1—4 видно, что температура масла влияет как на кинетику образования пленки, так и на максимальное количество пленки, образующейся на пластинках из разных металлов. Например, из данных рис. 2—4 видно, что с ростом температуры масла скорость образования

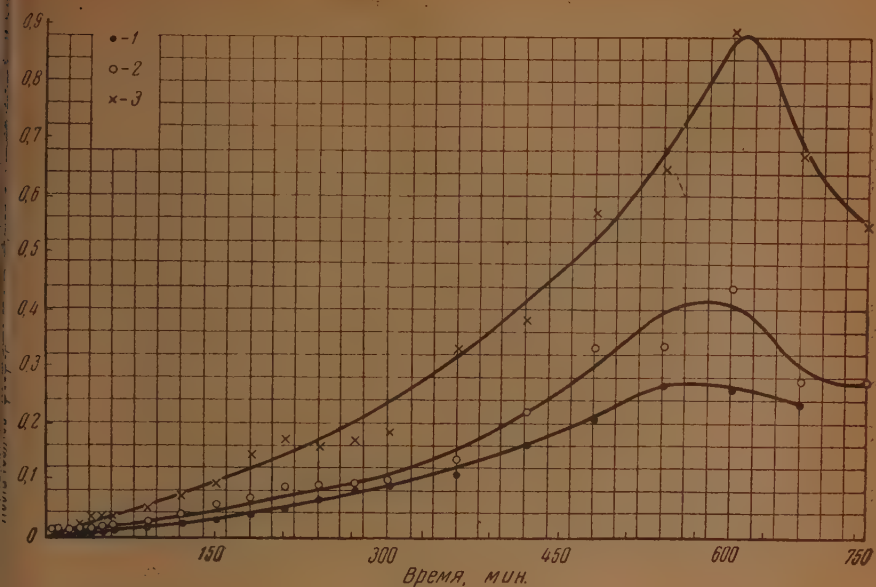


Рис. 2. Опыты на масле МК-22 + 0,5% трифенилфосфита при температуре масла 110° С: 1 — пластина из стали; 2 — пластина из свинцовистой бронзы; 3 — пластина из свинца

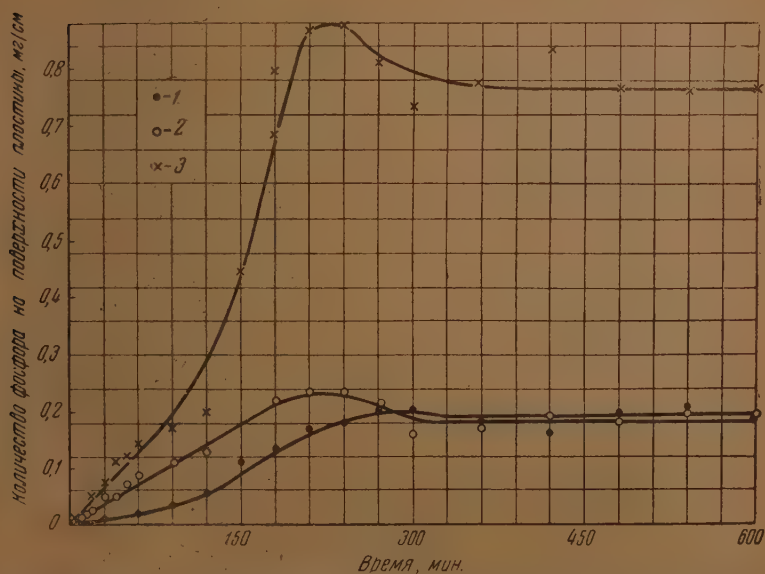


Рис. 3. Опыты на масле МК-22 + 0,5% трифенилфосфита при температуре масла 140° С: 1 — пластина из стали; 2 — пластина из свинцовистой бронзы; 3 — пластина из свинца

пленки присадкой трифенилфосфит резко возрастает, а максимальное количество образующейся пленки уменьшается.

Влияние температуры масла на максимальное количество пленки, образующейся на пластинках из разных металлов, показано на рис. 5 и 6.

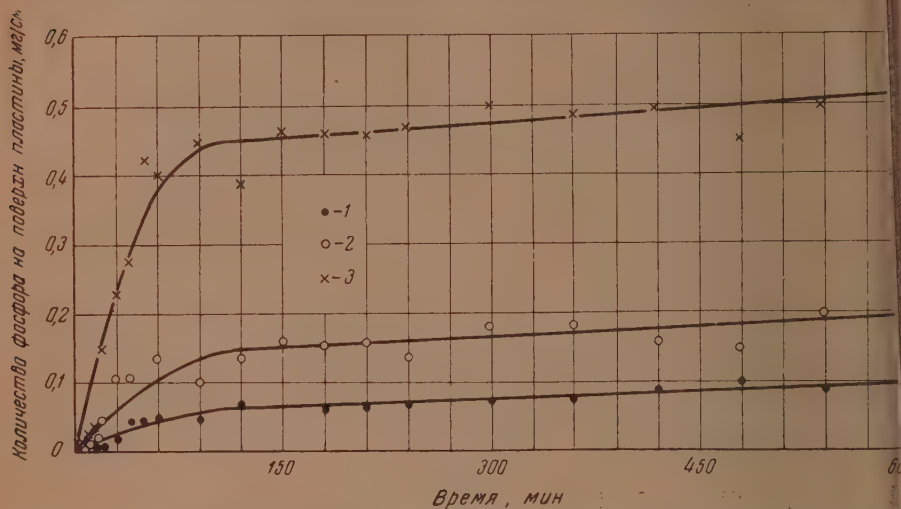


Рис. 4. Опыты на масле МК-22 + 0,5% трифенилфосфита при температуре масла 170°С: 1 — пластина из стали; 2 — пластина из свинцовой бронзы; 3 — пластина из свинца

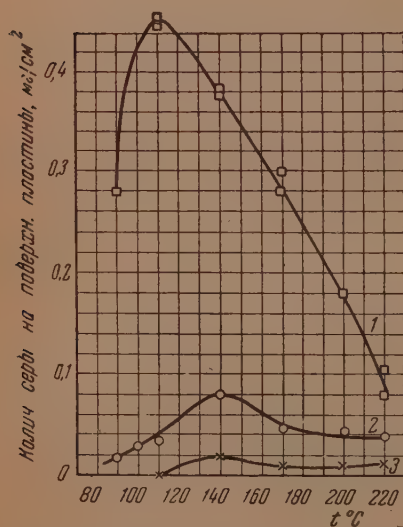


Рис. 5. Осерненное масло: 1 — свинцовая бронза; 2 — свинец; 3 — сталь

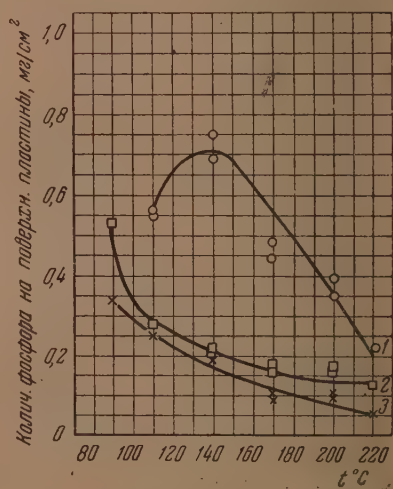


Рис. 6. Трифенилфосфит: 1 — свинец; 2 — свинцовая бронза; 3 — сталь

Опыты, проведенные при различных температурах на масле с присадкой осерненное масло на пластинках из красной меди, позволили установить температурную зависимость, приведенную на рис. 7. Сравнение рис. 5 и 7 показывает, что температурная зависимость образования пленки



и присадкой осерненное масло на свинцовистой бронзе весьма сходно по своему характеру с температурной зависимостью образования пленки на чистой меди.

Для проверки влияния концентрации присадки в масле на кинетику образования пленки были проведены опыты с маслом, содержащим 0,1, 0,5 и 1,0% присадки осерненное масло. Типичные результаты приведены на рис. 8. Во всех опытах с ростом концентрации присадки в масле увеличилось количество образовавшейся пленки.

Для более полного и глубокого понимания процессов, имеющих место в условиях, при которых присадка в масле образует пленку на поверхности металла, нами были проведены дополнительные опыты.

1. Пластины из свинца и свинцовистой бронзы работали в аппарате Пинкевича на масле с 1% присадки осерненное масло в течение 8 час. После промывки и просушки с пластинок последовательно снимались микрослой металла и измерялась радиоактивность поверхности пластин. Результаты этих опытов приведены на рис. 9, из которого видно, что имеет место диффузия серы в глубь металла, причем глубина диффузии и количество продиффундировавшей серы зависят от характера металла.

2. Радиоактивная пластинка из стали (содержащей  $\text{Fe}^{59}$ ) работала в аппарате Пинкевича в течение 10 час. на масле МК-22 с 0,5% обычной

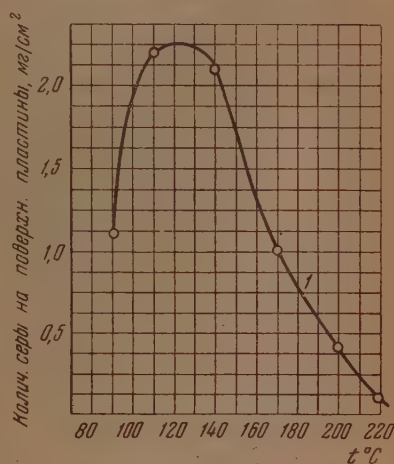


Рис. 7. Осерненное масло: 1 — красная медь

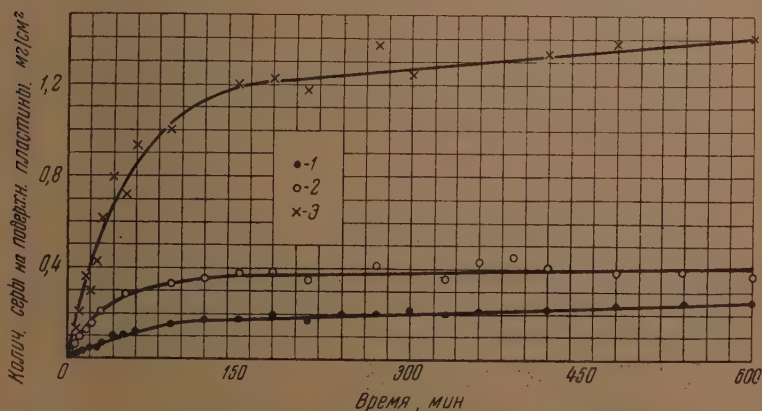


Рис. 8. Опыты на масле МК-22 с различными количествами осерненного масла при температуре  $140^{\circ}\text{C}$  (пластина из свинцовистой бронзы): 1 — 1% осерненного масла; 2 — 0,5% осерненного масла; 3 — 0,1% осерненного масла

нерадиоактивной) присадки осерненное масло при температуре  $200^{\circ}\text{C}$ . По мере работы аппарата периодически определялось изменение радиоактивности масла, приведенное на рис. 10. Как видно из рис. 10, при ра-

боте стальной пластинки в аппарате [Пинкевича имел место переход металла в масло, что подтверждает наличие химического взаимодействия между ними.

### ОБСУЖДЕНИЕ ПОЛУЧЕННЫХ РЕЗУЛЬТАТОВ

Установленное накопление основных компонентов исследовавшихся присадок — серы или фосфора — на поверхностях металлов показывает, что пленка, возникающая на поверхности металла при работе масла с антикоррозионной присадкой, образуется основным компонентом присадки.

Проведенные эксперименты показали, что на кинетику образования пленок влияют металл поверхности, температура масла, характер присадки и ее концентрация в масле.

Рассмотрение всех полученных экспериментальных данных позволяет утверждать, что образование антикоррозионными присадками пленок на

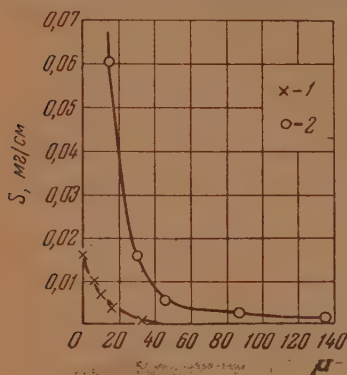


Рис. 9

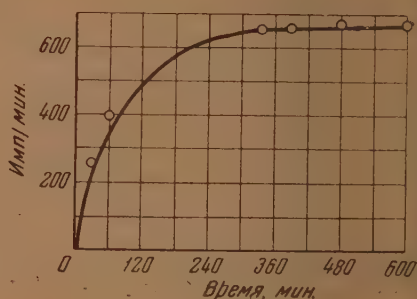


Рис. 10

Рис. 9. Глубина диффузии серы в глубь пластины после работы на аппарате Пинкевича на масле МК-22 + 1% осерненного масла при температуре  $140^\circ\text{C}$  в течение 8 час.: 1 — пластина из свинца; 2 — пластина из свинцовистой бронзы.

Рис. 10. Изменение радиоактивности масла МК-22 + 0,5% осерненного масла при работе его на аппарате Пинкевича с радиоактивной стальной пластинкой при температуре масла  $200^\circ\text{C}$ .

поверхностях металлов представляет сочетание как процессов адсорбции, так и химического взаимодействия между поверхностью металла и основным компонентом присадки.

Повидимому, при относительно низких температурах масла преобладают адсорбционные процессы, а при высоких температурах — химическое взаимодействие. Вместе с тем имеет место проникновение основного компонента присадки в глубь металла.

### ВЫВОДЫ

1. Предложена методика исследования образования антикоррозионными присадками пленок на поверхностях металла.
2. Доказано, что пленка образуется с участием основного компонента антикоррозионной присадки — серы или фосфора.
3. Показаны зависимости образования защитной пленки от времени, температуры масла, концентрации присадки в масле и металла поверхности.
4. Показан сложный характер образования пленок в связи с наличием как процессов адсорбции, так и химического взаимодействия между

присадкой и металлом. Можно предположить, что при низких температурах масла преобладают адсорбционные процессы, а при высоких температурах — химическое взаимодействие.

5. Показано, что имеет место проникновение серы в глубь металла и переход металла в масло в результате химического взаимодействия между ними.

Поступила  
11. I. 1955

#### ЛИТЕРАТУРА

- Н. И. Черножуков, С. Э. Крейн и Б. В. Лосиков, Химия минеральных масел, Гостоптехиздат, 1951.  
Б. В. Лосиков, Нефтяное хозяйство, 5, 61, 1954.
-

## КИНЕТИКА РАЗЛОЖЕНИЯ ИОНА ФТОРСУЛЬФОНАТА В ВОДНЫХ РАСТВОРАХ

*И. Г. Рысс и Т. А. Грибанова*

Фторсульфоновая кислота  $\text{HSO}_3\text{F}$  отличается от хлорсульфоновой большей устойчивостью при нагревании и, в особенности, при действии воды. При смешении серной и плавиковой кислот образуется некоторое количество фторсульфоновой кислоты [1, 2].

Еще резче отличается устойчивость солей этих кислот. Упомянуто [3] существование  $\text{NH}_4\text{SO}_3\text{Cl}$ ; описаны [4] соответствующие по составу хлорпиросульфонатам соединения  $\text{NaCl} \cdot (\text{SO}_3)_2$  и  $\text{NH}_4\text{Cl} \cdot (\text{SO}_3)_2$ , полученные присоединением серного ангидрида к твердым хлоридам. Эти вещества малоустойчивы и бурно разлагаются водой. Фторсульфонаты подвергаются лишь медленному гидролизу, и многие из них могут быть выделены из водных растворов.

Для фторсульфонатов можно написать «классические» структурные формулы, но свойства этих соединений, как и монофтор- и дифторфосфатов, ближе соответствуют оксофторкомплексам. Различные свойства фторсульфонатов и хлорсульфонатов вполне аналогично резкому различию фтор- и хлоркомплексов многих других элементов, в частности легких — бора, алюминия, кремния и фосфора.

Фторсульфонаты щелочных металлов могут быть выделены и перекристаллизованы из водных растворов [5], еще лучше из щелочных [6]. Так как по условиям равновесия в разбавленных водных растворах может сохраниться только незначительная концентрация иона  $\text{SO}_3\text{F}'$ , а в щелочной среде он должен разлагаться количественно, то устойчивость фторсульфонатов в растворах вызвана кинетическими условиями. Скорость гидролиза  $\text{SO}_3\text{F}'$  не изучалась количественно; известно только, что в кислой среде этот процесс ускоряется [5, 6].

**Материалы.** Синтезированный нами фторсульфонат калия имел состав, близкий к теоретическому. Соль не содержала определяемых примесей  $\text{SO}'_4$ ,  $\text{F}'$  и  $\text{J}'$  и влаги и была строго нейтральной. Не содержащий примеси карбоната титрованный раствор едкого натра был получен реакцией двойного обмена раствора гидроксида бария с незначительным избытком сульфата натрия.

Колебания температуры в термостате не превышали  $\pm 0,07^\circ$ ; нормальные термометры были проверены по точкам замерзания и кипения воды и точкам перехода кристаллогидратов сульфата и тиосульфата натрия. При калибровании и измерении температуры вносились поправки на выступающий столбик.

**Проведение опытов.** Взвешенный в плотно закрытой колбе разбавленный раствор щелочи известной концентрации выдерживался в термостате до достижения им постоянной заданной температуры. Затем в колбу вносились взятая в широкой тонкостенной трубке навеска фторсульфоната, и смесь энергично взбалтывалась для быстрого растворения фторсульфоната, после чего отбиралась первая проба.

Отобранные через определенные промежутки времени пробы раствора (около 10 г) вносились в предварительно взвешенные и охлажденные во льду колбы с плотными пробками (предохранение от поглощения углекислого газа воздуха). После определения веса пробы взвешиванием колбы с пробой раствор титровался из микробюретки в присутствии фенолфталеина 0,1 *N*  $\text{HCl}$ .

**Расчет результатов.** Введем обозначения: *a* и *M* — навеска и молекулярный вес фторсульфоната; *P* — начальный общий вес раствора; *m* — вес отобранной пробы раствора в граммах, *b* — начальное количество миллимолей  $\text{NaOH}$  во всем растворе, *V* и *N* — объем (в миллилитрах) и нормальность  $\text{HCl}$ , израсходованной на титрование; *x* — процент фторсульфоната, не разложившегося к моменту времени *t*; *x*<sub>0</sub> — количество фторсульфоната в процентах в начале отсчета времени.



Количество мг-ионов  $\text{SO}_3\text{F}'$ , отобранное в каждую пробу (без учета разложения фторсульфоната), равно  $\frac{a}{M} \frac{m}{P}$ . Так как стехиометрическое уравнение разложения фторсульфоната имеет вид  $\text{SO}_3\text{F}' + 2\text{OH}' = \text{SO}_4^{''} + \text{F}' + \text{H}_2\text{O}$ , то количество разложившегося в пробе миллимолей фторсульфоната равно

$$\frac{1}{2} (b \frac{m}{P} - VN)$$

$$x = 100 (1 - \frac{bM}{2a} + \frac{V}{m} \frac{MPN}{2a}).$$

Результаты измерений. Первые же опыты показали, что, смотря на большое относительное изменение концентрации  $\text{OH}'$  в течение опыта,  $\lg x$  ( $x$  — процент неразложившегося фторсульфоната) является прямой функцией длительности опыта. В опытах с различной начальной концентрацией  $\text{SO}_3\text{F}'$  для прямых  $\lg x = f(\vartheta)$ , где  $\vartheta$  — время (минуты) реакции в минутах от начала опыта, угловой коэффициент остается одним и тем же. Следовательно, скорость реакции зависит от концентрации  $\text{OH}'$  и прямо пропорциональна первой степени концентрации  $\text{SO}_3\text{F}'$ . Кинетическое уравнение имеет вид

$$\ln x = \ln x_0 - k\vartheta$$

$$\lg x = \lg x_0 - 0,4343 k\vartheta = \lg x_0 - k'\vartheta. \quad (1)$$

Наблюдаемая скорость реакции, по крайней мере, при низких концентрациях  $\text{OH}'$ , определяется скоростью гидролиза  $\text{SO}_3\text{F}'$ . Это подтверждено измерениями скорости гидролиза фторсульфоната (см. ниже).

Не исключена возможность того, что в щелочной среде протекают два параллельных процесса, и скорость реакции

$$v = k[\text{SO}_3\text{F}'] + k_1[\text{SO}_3\text{F}'] [\text{OH}'], \quad (2)$$

при низких концентрациях  $\text{OH}'$  второй член пренебрежимо мал по сравнению с первым. Проверка этого предположения потребует постановки опытов с более концентрированными растворами хорошо растворимого фторсульфоната, так как иначе слишком велика роль ошибки титрования избытка щелочи.

Для определения энергии активации были проведены измерения скорости реакции при пяти температурах.

В каждом опыте отбирались шесть — семь проб в интервалах в 30 или 60 мин. Значения  $k'$  и  $\lg x_0$  для каждого опыта вычислялись методом наименьших квадратов. Отклонения от средних значений  $\lg x$  от вы-

Величины констант скорости разложения иона фторсульфоната в слабощелочных растворах при разных температурах

| Температура, °C | Начальная моляльность фторсульфоната | $k' \cdot 10^4 = 0,4343 k \cdot 10^4$ |
|-----------------|--------------------------------------|---------------------------------------|
| 40,08           | 0,0730                               | 0,210                                 |
| 40,08           | 0,1500                               | 0,210                                 |
| 50,24           | 0,136                                | 0,653                                 |
| 60,15           | 0,0507                               | 1,56                                  |
| 60,15           | 0,1011                               | 1,54                                  |
| 70,22           | 0,025                                | 2,84                                  |
| 70,22           | 0,050                                | 2,73                                  |
| 80,28           | 0,0125                               | 6,07                                  |
| 80,28           | 0,0260                               | 5,88                                  |

численных по найденным средним величинам  $k'$  и  $\lg x_0$  не превышали допускаемых ошибкой титрования  $\Delta V = 0,03$  мл, а в большинстве случаев соответствовали  $\Delta V = 0,01$  мл.

Условия опытов и найденные средние значения  $k'$  приведены в таблице. Начальная моляльность щелочи в каждом опыте была близка к 0,01.

Из кинетических данных для реакции из температур, методом наименьших квадратов вычислены константы уравнения

$$\lg k = -\frac{3410}{T} + 7.58.$$

Максимальное отклонение вычисляемого по этому уравнению значения  $\lg k$  от опытного равно 0,06. Теплота активации реакции равна 17,9 ккал.

Из кинетических данных теорией переходного состояния [7] соотношения между константой скорости и теплотой и энтропией активации  $\Delta$

$$k_{\text{скорости}} = e \frac{kT}{h} \exp \left( \frac{\Delta S}{R} - \frac{E}{RT} \right),$$

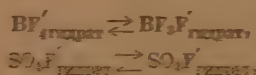
можно вычислить, что энтропия активации реакции близка к  $-3$  кал.-град. $^{-1}$ , т. е. разложение иона фторсульфоната относится к числу «мелких» реакций.

В литературе неоднократно отмечалось кристаллохимическое сходство фторсульфонатов и тетрафтороборатов, бывающее близостью размеров тетраэдрических анионов  $\text{SO}_3\text{F}^-$  и  $\text{BF}_4^-$ . Описанные выше результаты показывают, что заметное сходство проявляется и в кинетике разложения этих ионов: в обоих случаях разложение протекает через стадию гидролиза и катализируется ионами водорода; близки и величины теплоты и энтропии активации обоих процессов. Как показано ранее одним из нас [8], для константы скорости разложения  $\text{BF}_4^-$  в разбавленных растворах справедливо уравнение

$$\lg k_{\text{разл.}} = -\frac{3750}{T} + 7.11.$$

Из него следует, что теплота активации равна 17,1 ккал, а энтропия активации близка к  $-33$  кал.-град. $^{-1}$ .

Близость величин энтропий активации реакций позволяет сделать предположение о сходстве переходных состояний. Процесс активации, вероятно, заключается в ослаблении связи центральных атомов с атомами фтора:



или, другими словами, в присоединении одной из молекул воды гидратных оболочек с образованием

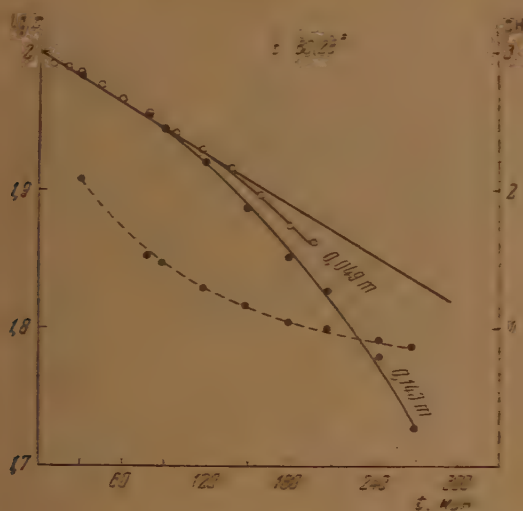


Скорость гидролиза иона фторсульфоната при 60,2°C. В этих опытах навеска фторсульфоната калия вносилась в термостатированный пластмассовый сосуд с нагретой водой. Отобранные через определенные промежутки времени пробы раствора титровались 0,1 M N NaOH на микрометре. В части проб определялся pH раствора при комнатной температуре. Так как диссоциация HF в значительной мере подавлена и pH в основном определяется диссоциацией образующейся сильной кислоты, то зависимость pH от температуры не могла быть существенной.

Протекание гидролиза во времени для 0,049 и 0,143 моляльных растворов фторсульфоната калия представлено на полулогарифмическом графике на рисунке на котором нанесены времена, характеризующая скорость разложения  $\text{SO}_3\text{F}^-$  в слабо щелочном растворе при той же температуре, а так-

и измеренные значения pH 0,143 моляльного раствора (правая ордината — пунктирная кривая).

В начале каждого опыта скорость гидролиза равна скорости разложения фторосульфоната в слабо щелочной среде; по мере вызываемого гидролизом снижения pH раствора наблюдается резкое ускорение гидролиза — процесс катализируется ионами водорода, как это наблюдалось в [8] и при гидролизе  $\text{BF}_3$ .



Повидимому, скорость реакции в этом случае может быть выражена уравнением

$$-\frac{d[\text{SO}_3\text{F}^-]}{dt} = k[\text{SO}_3\text{F}^-] + k_2[\text{SO}_3\text{F}^-][\text{H}^+] \quad (3)$$

Попытки вычислить среднее значение  $k_2$  путем выражения зависимости  $[\text{H}^+]$  от начальной концентрации фторосульфоната и т. решения дифференциального уравнения и построения прямолинейной анаморфозы не привели к успеху, так как даже при упрощающих предположениях (пренебрежение диссоциацией  $\text{HF}$  и отклонениями от законов реальных растворов) выводится слишком сложное выражение:

$$\vartheta = \frac{1}{k + k_2 c_0} \ln \frac{1 + (k_2 c_0 (1 - x)/k)}{x}$$

где  $c_0$  — начальная концентрация фторосульфоната), в которое неизвестно  $k_2$  дважды входит слагаемым.

Приближенное значение  $k_2$  можно оценить при помощи графического дифференцирования кривых  $x = f(\vartheta)$  и использования известных величин концентрации  $\text{SO}_3\text{F}^-$  и  $\text{H}^+$  в тот же момент времени и величины  $k$ . Легко показать, что можно воспользоваться и кривыми pH. Последнее, поделив уравнение (3) на начальную концентрацию  $\text{SO}_3\text{F}^-$  и введя, как прежде, долю неразложившегося фторосульфоната ( $x$ ). Можно придать уравнению (3) вид

$$-\frac{dx}{d\vartheta} = kx + k_2 x [\text{H}^+] \quad (4)$$

Преобразованием уравнения (4) получаем

$$k_2 = - \left( \frac{1}{x} \frac{dx}{d\theta} + k \right) \frac{1}{[H]} = - \left( 2,303 \frac{d \lg x}{d\theta} + k \right) \frac{1}{[H]} = \\ = - 2,303 \left( \frac{d \lg x}{d\theta} + k' \right) \frac{1}{[H]}.$$

Найдено, что величины  $k_2$  колеблются в пределах от 0,007 0,016 мин.<sup>-1</sup>·моль<sup>-1</sup>·л, т. е. численное значение  $k_2$  в 5—12 раз больше, чем для  $k$ .

### ВЫВОДЫ

1. Разложение иона фторсульфоната в слабо щелочных растворах протекает через стадию гидролиза и описывается кинетическим уравнением реакций первого порядка.

Величины теплоты и энтропии активации равны 17,9 ккал и —31 ккал/град<sup>-1</sup>.

2. Гидролиз фторсульфоната первоначально протекает с такой же скоростью, как и в слабощелочной среде. В дальнейшем наблюдается автокатализ ионами водорода. Найдено приближенное значение константы скорости катализа ионами водорода при 80,28°.

3. Близость кинетических характеристик разложения тетраэдрических ионов  $SO_3F'$  и  $BF_4'$  позволяет предполагать сходство механизмов активаций процессов гидролиза их.

Днепропетровский институт инженеров  
железнодорожного транспорта.  
Днепропетровский металлургический  
институт

Поступила  
12. I. 1955

### ЛИТЕРАТУРА

1. W. Traube, E. Reubke, Ber., 54, 1618, 1921.
2. W. Lange, Zs. anorg. allg. Chem., 215, 321, 1933.
3. N. V. Sidgwick, The Chemical Elements and Their Compounds, vol. 2, 936, 1950.
4. W. Traube, Ber., 46, 2513, 1913.
5. W. Traube, Ber., 46, 2525, 1913.
6. W. Traube, J. Hoerentz, F. Wunderlich, Ber., 52, 1272, 1919.
7. С. Глессон, К. Лейдлер, Г. Эйринг. Теория абсолютных скоростей реакций. ИИЛ, 1948.
8. И. Г. Рысс, М. М. Слупская, Бюллетень ВХО им. Менделеева № 9, 37, 1940; Журн. физ. химии, 21, 549, 1947.



## О МЕХАНИЗМЕ ЭЛЕКТРОВОССТАНОВЛЕНИЯ АНИОНОВ НА РТУТНОМ ЭЛЕКТРОДЕ

Г. М. Флорианович и А. Н. Фрумкин

Явления, наблюдаемые при электровосстановлении анионов, в общем чаще отличаются от явлений, свойственных процессам восстановления катионов и нейтральных молекул, что связано в первую очередь с электростатическим отталкиванием анионов от катода, когда он несет отрицательный заряд. При этом возможны два случая протекания процессов восстановления анионов:

1. Анионы начинают восстанавливаться при достаточно отрицательных значениях потенциала, когда поверхность электрода заряжена отрицательно (относительно трудно восстанавливаемые анионы).
2. Восстановление анионов начинается при таких потенциалах, при которых поверхность электрода заряжена положительно (легко восстанавливаемые анионы).

Первый случай имеет место, например, для анионов  $\text{NO}_2^-$ ,  $\text{NO}_3^-$ ,  $\text{BrO}_3^-$ ,  $\text{IO}_3^-$ , араата и малеината. Особенности, проявляющиеся в этом случае, заключаются в ряде потенциалов восстановления этих ионов на ртутном электроде в положительную сторону в присутствии многозарядных катионов [1—8].

Для объяснения этого явления Я. Гейровский и другие [2—4] предполагали образование ионных пар из посторонних катионов и восстанавливаемых анионов. Такие ионные пары, по мнению Гейровского, легче приближаются к отрицательно заряженной поверхности электрода, так как несут положительный заряд; тем самым облегчается восстановление анионов.

Более общее объяснение особенностей, проявляющихся при восстановлении трудно восстанавливаемых анионов, было дано А. Н. Фрумкиным [9], который показал, для этого можно использовать представление о замедленности стадии разряда. С этой точки зрения, затруднение восстановления анионов на отрицательно заряженной поверхности электрода связано с понижением в этом случае поверхностной концентрации анионов по сравнению с их объемной концентрацией. Облегчение процесса в присутствии многозарядных катионов объясняется сдвигом  $\psi_1$ -потенциала их условий в положительную сторону. При достаточно высоком заряде катионов иду с общим повышением концентрации анионов в двойном слое возможно и образование ионных пар из адсорбированных катионов и анионов. Непосредственное экспериментальное доказательство перехода значений  $\psi_1$ -потенциала от отрицательных к положительным в присутствии многозарядных катионов было дано в работе А. Ворсиной и А. Н. Фрумкина [10].

На особенности протекания реакции восстановления во втором случае (легко восстанавливаемые анионы) впервые обратила внимание Т. А. Крюкова [11], обнаружив падение тока на поляризационных кривых восстановления пересульфат-аниона на ртутном каплевом электроде в случае, если общая концентрация электролита не превышает 0,1 N. Эти особенности были объяснены Т. А. Крюковой влиянием электрического поля зарядов поверхности электрода на поверхностную концентрацию  $\text{S}_2\text{O}_8^{2-}$ -анионов. Падение тока на  $I - \varphi$  кривой при таком объяснении связывалось с перезарядкой поверхности при прохождении через точку нулевого заряда электрода.

Наличие специфических минимумов тока на поляризационных кривых свойственно не только процессу восстановления  $\text{S}_2\text{O}_8^{2-}$ -аниона, но имеет место и при восстановлении ряда других анионов. Так, уже в более ранней литературе по аналитической химии имелись указания на аномальную форму поляризационных кривых при восстановлении роданистых комплексных анионов кобальта и никеля [12, 13], а также перитов [14]. В этих работах, однако, отсутствовало объяснение наблюдаемых явлений. Проводилось различие между ними и обычными полярграфическими максимумами. Существенное число посвященных этому вопросу исследований появилось после работы А. Крюковой. Г. Лайтинен и Е. Онштотт [15] наблюдали минимумы на поляризационных кривых восстановления  $\text{PtCl}_4^{2-}$ -аниона; они объясняют их десорбцией анионов

с поверхности электрода при потенциалах в области спада тока, последующий под кривых при еще более отрицательных потенциалах — восстановлением неадсорбированных анионов. Примерами анионов, начинающих восстанавливаться при достаточно положительных потенциалах и дающих характерные минимумы тока на поляризационных кривых, являются также ионы  $\text{Pt}(\text{NO}_2)_4^{2-}$  [16],  $\text{ClO}_2^-$  [17], пирогосфат-комплексные ионы меди [18], тетратионат [19] и др.

Следует отметить, что в случае восстановления катионов перезарядка поверхности также оказывает существенное влияние на течение процесса, как это было показано Я. М. Колотырским и Л. А. Медведевой [20] на примере восстановления иона свинца на Pb, Cd и Tl электродах. В этом случае, однако, наблюдаемые явления отличны от таковых для анионов [21].

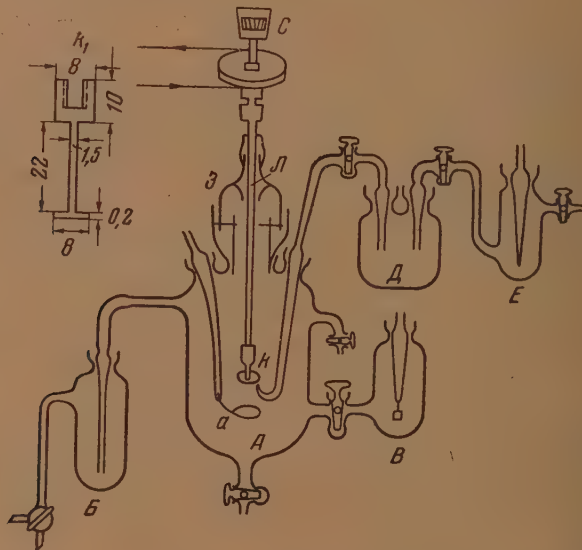


Рис. 1. Прибор для измерений на вращающемся электроде и электрод к нему

В настоящей работе исследовано восстановление ряда легко восстанавливаемых анионов на ртутном электроде. Часть данных этой работы опубликована ранее [21—23].

### ЭКСПЕРИМЕНТАЛЬНАЯ ЧАСТЬ

Работа проводилась на установках с вращающимся медным амальгированным электродом и с ртутным капельным электродом. Измерения на вращающемся электроде производились в ячейке, изображенной на рис. 1. Помещенный в боковой секции исследуемый раствор после продувания его водородом в течение одного часа перекачивался в центральную ячейку А, в которой находился навинченный на стальную стержень Л медный дисковый амальгированный электрод к\*. Стержень Л был закрыт стеклянной трубкой от колпачка ртутного затвора 3. После перекачивания раствора в ячейку А (до полного покрытия обеих сторон диска) электрод к поддался катодной поляризации током  $5 - 10 \cdot 10^{-4} \text{ А}$  в течение 5—10 мин., причем

\* Амальгмирование навинченного на стержень Л электрода, предварительное очищенное погружением на несколько секунд в концентрированную азотную кислоту, производилось путем катодной поляризации его в отдельном стаканчике с подкисленным азотной кислотой (1 : 1000) 1%-ным раствором  $\text{Hg}_2(\text{NO}_3)_2$  током  $2 \cdot 10^{-4} \text{ А}$  в течение 2 мин. Анодом при амальгировании служил платиновый электрод. Амальгированный электрод тщательно ошоскивался водой, после чего собирался прибор для работы. В работе применялись два электрода  $k_1$  и  $k_2$  с площадями нижней поверхности дисков 0,50 и 0,126  $\text{см}^2$ , один из которых изображен на рис. 1.

служил платиновый электрод в ячейке В\*. Затем часть раствора из ячейки выкачивалась через край таким образом, чтобы только нижняя поверхность дискового электрода оставалась погруженной в раствор, пропускание водорода прекращалось, рабочий электрод при помощи мотора приводился во вращение (скорость вращения определялась счетчиком числа оборотов С, который одновременно служил для подачи напряжения на электрод К), и производилось измерение поляризационной кривой. В процессе измерения катодом являлся дисковый электрод, анодом — платиновое кольцо А. Сила тока регистрировалась миллиамперметром, потенциал определялся относительно нормального каломельного электрода Е. В боковом сосуде Д находился тот же раствор, что и в ячейке А. Все измерения велись при температуре  $23 \pm 2^\circ \text{C}$ .

В ряде случаев на кривых, измеренных в разбавленных растворах, наблюдается, как уже было указано, падение тока после достижения им некоторого предельного значения. В этих случаях измерение непрерывной кривой представляло некоторые трудности, так как в области падения тока в процессе измерения имел место «проскок» части кривой: непрерывное изменение напряжения после достижения некоторой максимальной силы тока приводило к резкому сдвигу потенциала и резкому падению тока. При снятии кривой в обратном направлении, от больших поляризаций к меньшим, после достижения некоторого минимального значения силы тока происходил резкий подъем тока и сдвиг потенциала в положительную сторону. Это явление носит общий характер при поляризационных измерениях, если на поляризационной кривой имеются максимум и минимум силы тока и сопротивление цепи достаточно велико, как это обычно имеет место в случае разбавленных растворов. Причины его возникновения были разобраны А. Н. Фрумкиным и В. Г. Левичем [24] в связи с рассмотрением так называемых полярографических максимумов. Для измерения  $I-\varphi$  кривой в интервале между максимумом и минимумом силы тока необходимо по возможности снизить сопротивление в цепи, при помощи которой производится наложение напряжения на электрод.

Ячейка для измерения поляризационных кривых на ртутном капельном электроде подобна описанной ранее [25]. Константы капилляра с круглым сечением: постоянная вытекания ртути  $m=0,864$  мг/сек, период капания  $\tau$ , измеренный в растворе  $1\text{ M KCl}$  при потенциале  $-0,40\text{ V}$  (нормальный каломельный электрод) — 5 сек. Потенциал ртутной капли измерялся относительно нормального каломельного электрода с точностью от 2 до 5 мВ. Сила тока определялась при помощи зеркального гальванометра завода «Эталон» с максимальной чувствительностью  $4,6 \cdot 10^{-9}$  А/мм. Измерения в растворах  $\text{K}_2\text{S}_2\text{O}_8$  и  $\text{K}_3\text{Fe}(\text{CN})_6$  проводились в атмосфере водорода, во всех остальных случаях при работе с капельным электродом растворы насыщались азотом, которого предварительно были удалены следы кислорода пропусканием через нагретую до  $100^\circ \text{C}$  печь с силикагелем, на который была нанесена восстановленная мелкозернистая медь. Опыты с капельным электродом производились в воздушном термостате при температуре  $25 \pm 1^\circ \text{C}$ .

В работе применялись тщательно очищенные реактивы:  $\text{K}_2\text{S}_2\text{O}_8$ ,  $\text{KMnO}_4$ ,  $\text{Fe}(\text{CN})_6$ ,  $\text{KCl}$ ,  $\text{KBr}$  и  $\text{Na}_2\text{SO}_4$  были два раза перекристаллизованы из дважды перенной воды ( $\text{KCl}$  и  $\text{Na}_2\text{SO}_4$  дополнительно прокалены);  $\text{KOH}$  — продукт разложения амальгамы калия, полученной при электролизе раствора  $\text{KCl}$ ;  $\text{K}_2\text{PtCl}_4$ ,  $\text{H}_2\text{PtCl}_6$ ,  $\text{IrCl}_3$  и  $(\text{NH}_4)_2\text{RhCl}_6$  были предоставлены акад. И. И. Черняевым;  $\text{H}_2\text{PtCl}_6$  приготовлен взаимодействием  $\text{KCl}$  с  $\text{H}_2\text{PtCl}_6$ , полученной при растворении платины в царской водке. Растворы  $\text{K}_2\text{HgI}_4$  готовились смешением растворов  $\text{K}_2\text{I}_2$  и  $\text{KI}$  (взятых в отношении 1:4 молям). Остальные реактивы, применявшиеся в работе, были однократно перекристаллизованы, ртуть и вода были дважды пере-

Все приведенные ниже поляризационные кривые исправлены на токовый фон. Выше указывалось, что рабочей площадью вращающегося электрода являлась нижняя поверхность диска. Из-за невозможности довести уровень раствора всегда до одной и той же высоты нельзя было точно судить о величине площади части электрода, которая была погружена

\* При работе с вращающимся электродом использовались растворы, приготовленные на воде, имеющей рН 5—5,5. При катодной поляризации достаточно большими токами происходило выделение водорода, в результате чего растворы сильно подщелачивались; после работы рН растворов, определенные при помощи стеклянного электрода, были равны 6,5—7.



в раствор. Использовать какие-либо изоляторы для покрытия нерабочей части поверхности электрода было нежелательно, так как в этом случае в раствор могли попасть загрязнения. Для внесения поправки на изменение площади электрода в настоящей работе величины токов на кривых, измеренных на вращающемся электроде, обычно исправлялись так, чтобы значения предельных токов, соответствующих одинаковым концентрациям восстанавливающегося иона и постоянной скорости вращения электрода, были одинаковыми. Это исправление, как правило, не превышало 10% от величины измеряемого тока.

Кривые, измеренные на ртутном капельном электроде, обычно осложнены полярографическими максимумами. На большинстве рисунков части кривых, осложненные максимумами, не приводятся.

### Электровосстановление пересульфат-аниона

Измерения на ртутном капельном электроде в растворах  $K_2S_2O_8$  в присутствии малых количеств постороннего электролита показали, что на поляризационных кривых восстановления  $S_2O_8^{2-}$ -аниона в этих условиях наблюдаются специфические минимумы тока. Вопрос о природе этих минимумов мог быть окончательно решен только при помощи измерения кривых восстановления на свободном ртутном электроде, свободного от недостатков капельного электрода, связанных с движением поверхности ртутных капель. С этой целью в настоящей работе был применен вращающийся электрод, на котором была проведена серия измерений.

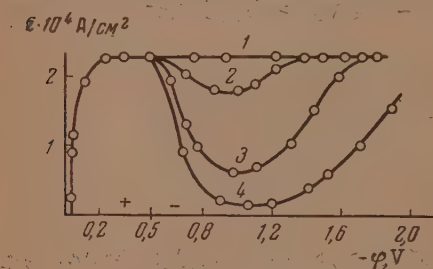


Рис. 2. Влияние постороннего электролита ( $Na_2SO_4$ ) на восстановление  $10^{-2}N$   $K_2S_2O_8$  на вращающемся электроде  $k_1$  ( $m = 3,8$  об./сек.). Концентрации  $Na_2SO_4$ : 1—1N; 2—0,1N; 3—0,008N и 4—0.

место при работе с капельным электродом, на кривых, измеренных на вращающемся электроде, наблюдается специфический минимум тока, причем по мере увеличения концентрации  $Na_2SO_4$  глубина минимума уменьшается, и при концентрации  $Na_2SO_4$ , равной 1N, минимум полностью исчезает. Уже эти данные показывают, что специфические минимумы на поляризационных кривых не связаны с особенностями капельного электрода.

Вращающийся электрод, кроме того, может быть использован для определения кинетической или диффузионной природы токов в различных частях поляризационной кривой. Для этого необходимо найти зависимость величин этих токов от скорости вращения электрода. На рис. 3—6 представлено влияние изменения скорости вращения на поляризационные кривые восстановления  $S_2O_8^{2-}$ -анионов. При измерении этих кривых степень погружения электрода в раствор данного состава была всегда одна и та же, так как при переходе от одной скорости вращения электрода к другой раствор не заменялся каждый раз свежим, а измерения велись в том же растворе. Поэтому при этих измерениях для растворов определенного состава исключалась трудность, связанная с невозможностью точно фиксировать рабочую площадь электрода, и не требовалось вносить исправления в величины токов. Данные о величинах токов на различных участках кривых сведены в табл. 1, в которой  $I_{d1}$ —предельные токи в области кривой до спада,  $I_{d2}$ —предельные токи в области



Таблица 1

| Состав раствора  | Площадь электр. см <sup>2</sup> | $I_{d_1} \cdot 10^3$<br>А | $I_{\text{мин}} \cdot 10^3$<br>А | $I_{d_2} \cdot 10^3$<br>А | $m$<br>об./сек. | $I_{d_1} \cdot 10^3$<br>$\sqrt{m}$ | $I_{d_2} \cdot 10^3$<br>$\sqrt{m}$ |
|--|---------------------------------|---------------------------|----------------------------------|---------------------------|-----------------|------------------------------------|------------------------------------|
| $2 \cdot 10^{-3} N K_2S_2O_8$                              | 0,126                           | 1,5                       | 0,3                              | —                         | 0,25            | 3,00                               | —                                  |
| То же  | 0,126                           | 3,8                       | 0,3                              | —                         | 1,85            | 2,79                               | —                                  |
| » »  | 0,126                           | 6,0                       | 0,3                              | —                         | 4,50            | 2,83                               | —                                  |
| » »  | 0,126                           | 8,9                       | 0,4                              | —                         | 9,50            | 2,89                               | —                                  |
| $2 \cdot 10^{-3} N K_2S_2O_8 + 1 N Na_2SO_4$               | 0,126                           | 4,2                       | —                                | —                         | 2,30            | 2,76                               | —                                  |
| То же  | 0,126                           | 6,0                       | —                                | —                         | 4,20            | 2,92                               | —                                  |
| » »  | 0,126                           | 8,4                       | —                                | —                         | 9,00            | 2,80                               | —                                  |
| $2 \cdot 10^{-3} N K_2S_2O_8 + 4 \cdot 10^{-2} N Na_2SO_4$ | 0,50                            | 35,0                      | 14,0                             | 36,0                      | 1,50            | 28,6                               | 29,4                               |
| То же  | 0,50                            | 59,0                      | 14,0                             | 61,0                      | 4,00            | 29,5                               | 30,5                               |
| $2 \cdot 10^{-3} N K_2S_2O_8 + 5 \cdot 10^{-2} N Na_2SO_4$ | 0,50                            | 26,0                      | —                                | —                         | 0,90            | 27,4                               | —                                  |
| То же  | 0,50                            | 42,0                      | 39                               | —                         | 2,20            | 28,3                               | —                                  |
| » »  | 0,50                            | 56,0                      | 40                               | —                         | 3,80            | 28,7                               | —                                  |

вой после подъема,  $I_{\text{мин}}$ —минимальные токи и  $m$ —скорость вращения электрода.

Из табл. 1 следует, что величины предельных токов пропорциональны  $\sqrt{m}$ , следовательно, определяются скоростью диффузионного процесса, а время как значения  $I_{\text{мин}}$  практически от скорости вращения не

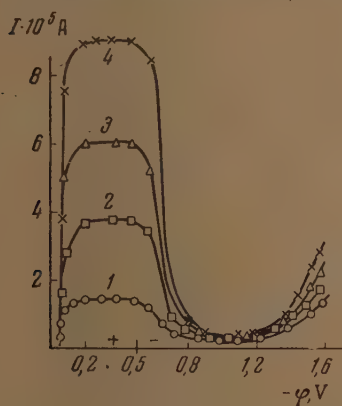


Рис. 3. Зависимость токов восстановления  $2 \cdot 10^{-3} N K_2S_2O_8$  от скорости вращения электрода  $k_2$ . Число оборотов электрода в секунду: 1—0,25; 2—1,85; 3—4,50 и 4—9,50

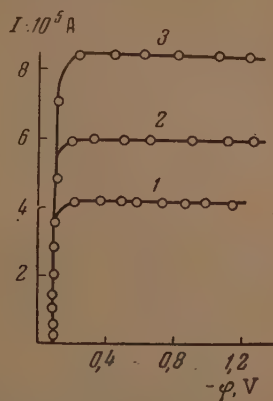


Рис. 4. Зависимость токов восстановления  $2 \cdot 10^{-3} N K_2S_2O_8 + 1 N Na_2SO_4$  от числа  $m$  оборотов электрода  $k_2$  в секунду: 1—2,30; 2—4,20; 3—9,00

и, следовательно, определяются скоростью самого электрохимического процесса.

То обстоятельство, что специфические особенности капельного электрода не мешают правильному измерению поляризационных кривых восстановления  $S_2O_3^{2-}$ -аниона, позволило проводить дальнейшие измерения этим электродом. Следовало только учесть возможные изменения состава растворов при измерениях. Специальными опытами было показано, что длительное (24 часа и более) стояние водных растворов  $K_2S_2O_8$  при ком-

натной температуре не приводит к существенным изменениям их состава. Поляризационные кривые свежеприготовленных и старых растворов достаточной точностью совпадают, что согласуется с данными по кинетике разложения  $S_2O_3^{2-}$ -аниона в водных растворах [26]. Изменения в кривых наблюдаются после длительного нахождения растворов пересуль-

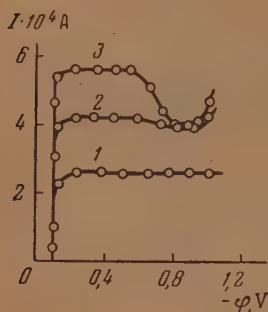


Рис. 5

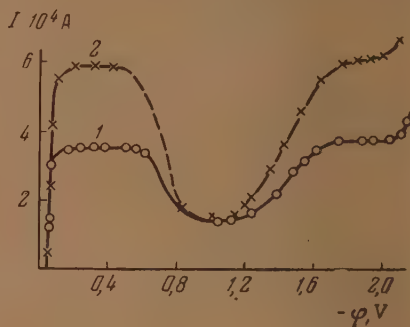


Рис. 6

Рис. 5. Изменение  $I-\varphi$  кривой восстановления  $5 \cdot 10^{-3} N K_2S_2O_8 + 0,45 N Na_2SO_4$  на вращающемся электроде  $k_1$  при изменении скорости вращения электрода от 0,9 об./сек. (1) до 2,2 об./сек. (2) и 3,8 об./сек. (3).

Рис. 6.  $I-\varphi$  кривые восстановления  $5 \cdot 10^{-3} N K_2S_2O_8 + 5 \cdot 10^{-3} N Na_2SO_4$  на вращающемся электроде  $k_1$  при различных числах оборотов электрода в секунду: 1—1,50; 2—4,00

фата над ртутью. Однако, даже в этом случае, за время, требуемое для измерения поляризационной кривой на капельном электроде (1 час), заметных изменений не происходит. Поэтому приводимые ниже данные о влиянии различных факторов на электрохимическое восстановление  $S_2O_8^{2-}$ -аниона были получены с капельным электродом.

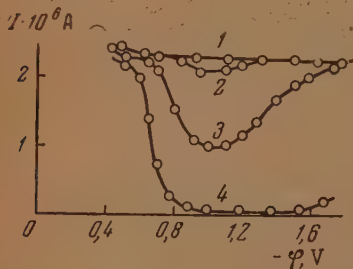


Рис. 7. Восстановление  $10^{-3} N K_2S_2O_8$  на капельном электроде в присутствии KCl в концентрациях: 1—0,1N; 2—0,05N; 3—0,009N и 4—0

KBr (при сравнении их эквивалентных концентраций). Более подробные данные о влиянии природы аниона приведены в [27].

Еще сильнее влияет на поляризационные кривые восстановления  $S_2O_8^{2-}$ -аниона изменение зарядности катиона постороннего электролита. Из рис. 8 и 9, а также из рис. 3 ранее опубликованной работы [22] видно, что увеличение зарядности катиона прибавленной в раствор соли

На рис. 7 представлены данные о влиянии концентрации хлористого калия на восстановление  $10^{-3} N$  раствора  $K_2S_2O_8$  на ртутном капельном электроде. Точно такая же зависимость тока от общей концентрации электролита наблюдалась и при использовании в качестве постороннего электролита KBr. При сравнении этих данных с кривыми, измеренными на капельном электроде в растворах  $K_2S_2O_8$  с добавками разных количеств  $Na_2SO_4$ , было отмечено, что для достижения одних и тех же величин минимальных токов на  $I-\varphi$  кривых требуется ввести в раствор несколько больше  $Na_2SO_4$ , чем KCl или

водит к заметному уменьшению концентрации его, достаточной для отчуждения минимума на кривой ( $\text{Ba}^{2+} - 10^{-3} M$ ;  $\text{La}^{3+} - 2 \cdot 10^{-5} M$ ;  $+ - 10^{-4} M$ ). Подобным же образом ведет себя и ион тетрабутиламмония  $[(\text{C}_4\text{H}_9)_4\text{N}]^+$ , при концентрации которого, равной  $5 \cdot 10^{-5} M$ , минимум кривой полностью исчезает. Следует отметить, что многозарядные ионы, как это видно, например, из рис. 9, производят более сильное

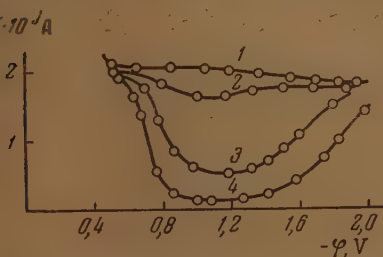


Рис. 8. Влияние ионов  $\text{Ba}^{2+}$  на восстановление  $10^{-3} N \text{ K}_2\text{S}_2\text{O}_8$  на капельном электроде. Концентрации  $\text{BaCl}_2$ : 1 —  $10^{-3} N$ ; 2 —  $2 \cdot 10^{-4} N$ ; 3 —  $2 \cdot 10^{-5} N$  и 4 — 0

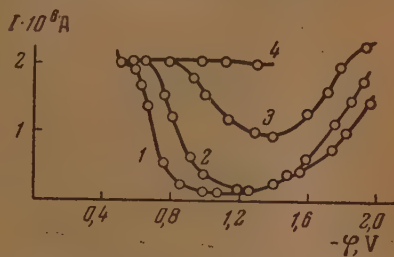


Рис. 9. Влияние ионов  $\text{Th}^{4+}$  на восстановление  $10^{-3} N \text{ K}_2\text{S}_2\text{O}_8$  на капельном электроде. Концентрации  $\text{Th}(\text{SO}_4)_2$ : 1 — 0; 2 —  $10^{-6} M$ ; 3 —  $10^{-5} M$  и 4 —  $10^{-4} M$

действие на нисходящую, чем на восходящую часть поляризационной кривой восстановления персульфат-аниона, лежащую при более отрицательных потенциалах.

Измерение кривых в растворах персульфата при разных значениях рН показало, что изменение рН от 5 до 11, которое достигалось слабым окислением или подщелачиванием раствора, не изменяет вида поляризационных кривых восстановления  $\text{S}_2\text{O}_8^{2-}$ -аниона.

### Электровосстановление феррицианид-аниона

Поляризационные кривые восстановления  $\text{Fe}(\text{CN})_6^{3-}$ -аниона на ртутном капельном электроде несколько напоминают поляризационные кривые,

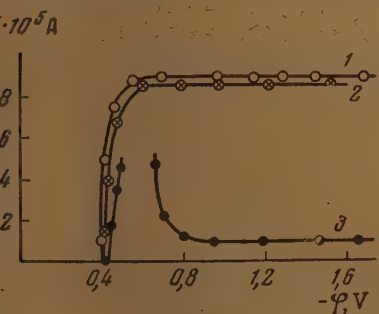


Рис. 10.  $I - \phi$  кривые восстановления  $10^{-3} N \text{ K}_3\text{Fe}(\text{CN})_6$ , измеренные на вращающемся электроде  $k_1$  при  $m = 3,7$  1/сек. в присутствии  $\text{Na}_2\text{SO}_4$ : 1 — 0,1N; 2 —  $7 \cdot 10^{-2} N$ ; 3 — без  $\text{Na}_2\text{SO}_4$

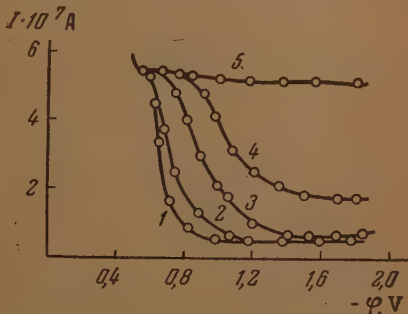


Рис. 11. Влияние ионов  $\text{La}^{3+}$  на восстановление  $10^{-3} N \text{ K}_3\text{Fe}(\text{CN})_6$  на капельном электроде. Концентрации  $\text{La}_2(\text{SO}_4)_3$ : 1 — 0; 2 —  $9 \cdot 10^{-7} M$ ; 3 —  $3 \cdot 10^{-6}$ ; 4 —  $5 \cdot 10^{-6} M$ ; 5 —  $2,5 \cdot 10^{-5} M$

полученные при восстановлении  $\text{S}_2\text{O}_8^{2-}$ -аниона, так как представляют собой нормальные полярографические кривые при относительно большой (1N) концентрации фона ( $\text{Na}_2\text{SO}_4$ ) и обнаруживают спад тока при потенциале  $-0,6 \text{ V}$  в случае меньших общих концентраций электролита

(рис. 2 прежней работы [22]). Такая же картина наблюдается и при использовании вращающегося электрода (рис. 10). Однако, в отличие от иона  $S_2O_8^{2-}$ , феррицианид-ион дает менее глубокие минимумы на кривых при одной и той же концентрации фона и характеризуется отсутствием второго подъема на поляризационной кривой при более отрицательных потенциалах.

В остальном наблюдается большее сходство между поведением анионов  $S_2O_8^{2-}$  и  $Fe(CN)_6^{3-}$ . Влияние посторонних анионов ( $Cl^-$ ,  $CN^-$ ,  $SO_4^{2-}$ ) на кривые восстановления  $Fe(CN)_6^{3-}$  подобно влиянию их в случае восстановления  $S_2O_8^{2-}$ -аниона: при одной и той же эквивалентной концентрации одновалентных ионов  $Cl^-$  и  $CN^-$  и двувалентного иона  $SO_4^{2-}$  величины минимальных токов на кривых для растворов, содержащих  $Cl^-$  и  $CN^-$  одинаковы и превышают минимальные токи растворов с ионами  $SO_4^{2-}$ . Многочargedный катион  $La^{3+}$ , подобно тому, что уже было описано в сл. случае восстановления  $S_2O_8^{2-}$ -аниона, уничтожает минимум на кривой восстановления  $Fe(CN)_6^{3-}$ -аниона (рис. 11) уже при концентрации  $2,5 \cdot 10^{-5} M$ .

### Электровосстановление анионов $PtCl_6^{2-}$ и $PtCl_4^{2-}$

Восстановление платиновых комплексных анионов на твердом электроде трудно поддается изучению из-за постоянного изменения истинной поверхности электрода вследствие осаждения на нем металлической платины.

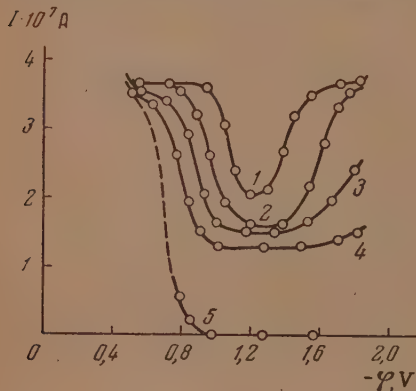


Рис. 12. Восстановление  $10^{-4}N K_2PtCl_6$  на капельном электроде в присутствии KCl в концентрациях: 1—1N; 2—0,1N; 3—0,01N; 4—0,0009N и 5—0.

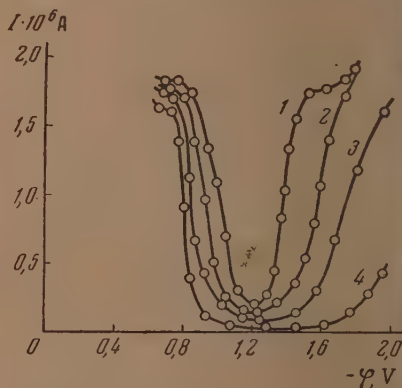


Рис. 13. Восстановление на капельном электроде  $10^{-3}N K_2PtCl_4$  в присутствии KCl в концентрациях: 1—1N; 2— $10^{-1}N$ ; 3— $9 \cdot 10^{-3}N$ ; 4—0.

тины. Измерения на капельном электроде приводят к поляризационным кривым со специфическими минимумами тока, отличающимися, однако, от кривых ионов, рассмотренных выше. Минимум тока наблюдается в относительно более узком интервале потенциалов и не исчезает даже при прибавлении KCl в концентрации 1N, хотя и становится при этом еще уже. Это иллюстрируется рис. 12 для  $PtCl_6^{2-}$ -аниона и рис. 13 для  $PtCl_4^{2-}$ -аниона.

Ионы  $PtCl_6^{2-}$  и  $PtCl_4^{2-}$  различно ведут себя в водных растворах. Как показали наши опыты, первый не изменяется при длительном стоянии как разбавленных растворов, так и растворов с добавками KCl или  $Na_2SO_4$  в больших концентрациях. Ион же  $PtCl_4^{2-}$  при длительном нахождении в растворе без добавок гидролизуются, что приводит к изменению вида



поляризационной кривой со временем (рис. 14). Кроме того, оба иона окисляют ртуть при соприкосновении растворов со ртутью без прохождения тока, что осложняет измерения. Однако если измерения проводить достаточно быстро, то указанные эффекты не влияют на поляризационные кривые восстановления обоих ионов в растворах без добавок или в присутствии KCl. Иная картина наблюдается при добавлении в растворы KBr или KJ. На рис. 15 представлено влияние таких добавок на восстановление этих анионов. Как видно из рисунка,  $\text{Br}^-$  и  $\text{I}^-$ -ионы не только уве-

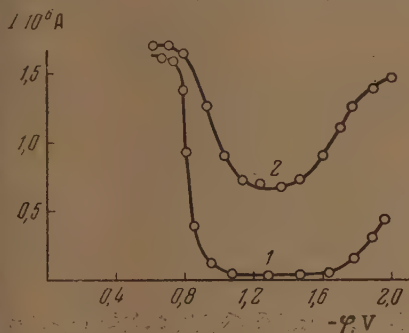


Рис. 14. Изменение вида  $I-\varphi$  кривой восстановления  $10^{-3}N \text{ K}_2\text{PtCl}_4$  на капельном электроде со временем нахождения соли в растворе. Кривая 1 — свежеприготовленный раствор, кривая 2 — после стояния в течение 24 час.

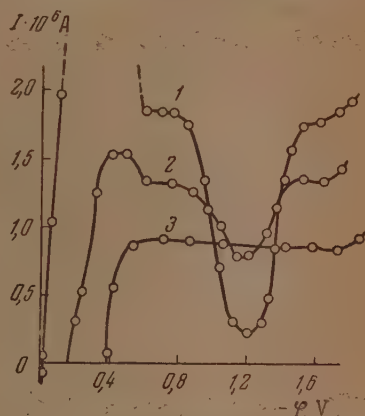


Рис. 15. Влияние ионов  $\text{Cl}^-$ ,  $\text{Br}^-$ ,  $\text{I}^-$  на кривую восстановления  $\text{PtCl}_4^{2-}$ -аниона на капельном электроде. Растворы содержат  $10^{-3}N \text{ K}_2\text{PtCl}_4$  в присутствии: 1 —  $1N \text{ KCl}$ ; 2 —  $1N \text{ KBr}$ ; 3 —  $1N \text{ KJ}$ .

личивают минимальный ток на кривой, но и снижают предельный ток. Такая же картина наблюдается и при восстановлении  $\text{PtCl}_6^{2-}$ -аниона в присутствии  $\text{Br}^-$  и  $\text{I}^-$ -ионов. В отличие от кривых для растворов с KCl, кривые для растворов с KBr и, особенно, с KJ заметно меняются во времени в сторону уменьшения тока.

Влияние катиона  $\text{La}^{3+}$  на кривые восстановления  $\text{PtCl}_4^{2-}$ - и  $\text{PtCl}_6^{2-}$ -анионов подобно влиянию его в случае растворов  $\text{K}_2\text{S}_2\text{O}_8$  и  $\text{K}_3\text{Fe}(\text{CN})_6$ : эффект, производимый  $10^{-3} M$  раствором  $\text{La}_2(\text{SO}_4)_3$  в случае  $\text{PtCl}_6^{2-}$ -иона, например, эквивалентен действию  $1N \text{ Na}_2\text{SO}_4$ . Однако и в этом случае полного исчезновения минимума на кривых не происходит.

### Электровосстановление $\text{MnO}_4^-$ -аниона

Анион  $\text{MnO}_4^-$ , подобно ионам  $\text{S}_2\text{O}_8^{2-}$ ,  $\text{Fe}(\text{CN})_6^{3-}$ ,  $\text{PtCl}_4^{2-}$  и  $\text{PtCl}_6^{2-}$ , начинает восстанавливаться на ртутном капельном электроде при достаточно положительных значениях потенциала. Однако в отличие от этих анионов он не дает специфических минимумов тока на поляризационных кривых. Иногда при измерении точек кривой путем перехода от положительных к отрицательным потенциалам удается наблюдать минимум тока, однако он связан, повидимому, с образованием пленки на ртути из-за окисления ее перманганатом, так как этот минимум исчезает при измерении, если вести его в обратной последовательности.

### Электровосстановление анионов $\text{IrCl}_6^{2-}$ и $\text{RhCl}_6^{3-}$

Поляризационные кривые восстановления ионов  $\text{IrCl}_6^{2-}$  и  $\text{RhCl}_6^{3-}$  (рис. 16 и 17) характеризуются спадом тока при потенциалах  $\sim -0,6 \text{ В}$ , если концентрация постороннего электролита невелика, и приобретают

форму нормальных полярографических кривых в присутствии большого количества посторонней соли. Отсутствие предельного тока на кривых

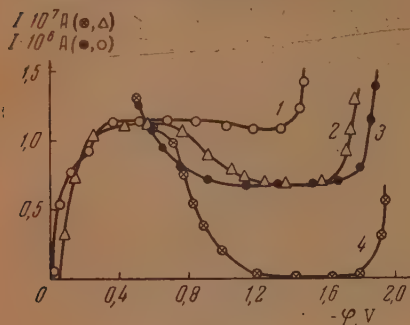


Рис. 16

Рис. 16.  $I-\varphi$  кривые восстановления на капельном электроде: 1— $10^{-3}N(\text{NH}_4)_2\text{IrCl}_6 + 1N\text{KCl}$ ; 2— $10^{-4}N(\text{NH}_4)_2\text{IrCl}_6 + 10^{-2}N\text{KCl}$ ; 3— $10^{-3}N(\text{NH}_4)_2\text{IrCl}_6$ ; 4— $10^{-4}N(\text{NH}_4)_2\text{IrCl}_6$

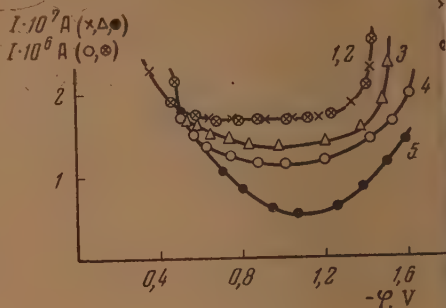


Рис. 17

Рис. 17.  $I-\varphi$  кривые восстановления на капельном электроде: 1— $10^{-4}N(\text{NH}_4)_3\text{RhCl}_6 + 1N\text{KCl}$ ; 2— $10^{-3}N(\text{NH}_4)_3\text{RhCl}_6 + 1N\text{KCl}$ ; 3— $10^{-4}N(\text{NH}_4)_3\text{RhCl}_6 + 10^{-2}N\text{KCl}$ ; 4— $10^{-3}N(\text{NH}_4)_3\text{RhCl}_6$ ; 5— $10^{-4}N(\text{NH}_4)_3\text{RhCl}_6$

в области значительных отрицательных потенциалов связано, повидимому, с разрядом ионов водорода из молекул воды, каталитически ускоряемым прирдом и родием.

### Электровосстановление анионов $\text{HgJ}_4^{2-}$

Растворы  $2 \cdot 10^{-4}N\text{K}_2\text{HgJ}_4 + 2 \cdot 10^{-4}N\text{KCl}$ ,  $2 \cdot 10^{-3}N\text{K}_2\text{HgJ}_4 + 2 \cdot 10^{-3}N\text{KCl}$  и  $2 \cdot 10^{-3}N\text{K}_2\text{HgJ}_4 + 1N\text{KCl}$  дают на ртутном капельном электроде нормальные полярографические волны, не зависящие от концентрации ионов фона.

### ОБСУЖДЕНИЕ РЕЗУЛЬТАТОВ

Приведенные экспериментальные данные относятся к электровосстановлению анионов, восстановление которых начинается при потенциалах, лежащих положительнее точки нулевого заряда ртути ( $-0,5\text{ V}$  по нормальному каломельному электроду). Эти данные показывают, что на поляризационных кривых восстановления исследованных анионов (за исключением анионов  $\text{MnO}_4^-$  и  $\text{HgJ}_4^{2-}$ ) в достаточно разбавленных растворах наблюдается минимум тока, не связанный с особенностями капельного электрода\*. О природе этих минимумов, обычно исчезающих при прибавлении в раствор избытка постороннего электролита, можно судить по влиянию скорости размешивания раствора на форму поляризационной кривой. В то время как пропорциональность предельных токов  $I_d$  и  $I_{d_0}$  величине  $\sqrt{m}$  свидетельствует о диффузионном их характере, независимость  $I_{\text{мин}}$  от  $m$  показывает, что токи в минимуме кривой не контролируются диффузией.

В настоящее время не представляется еще возможным дать исчерпывающую теорию явлений, происходящих при электровосстановлении анионов. В первую очередь необходимо, однако, подчеркнуть, что мы имеем здесь дело с поверхностным явлением, зависящим от условий разряда на границе металл-раствор, и отграничить его от объемного эффекта, на-

\* Позднее Н. В. Николаевой, Н. С. Шапиро и А. Н. Фрумкин [28] было доказано наличие специфического минимума на поляризационных кривых восстановления  $\text{S}_2\text{O}_8^{2-}$  также на свинцовом и кадмиевом электродах.

людаемого при электровосстановлении анионов, обладающего одной общей особенностью с изучаемым явлением. А именно, при электровосстановлении анионов, на что впервые указал Я. Гейровский [29], в объеме раствора возникает электрическое поле, препятствующее обусловленному диффузией переносу аниона к поверхности электрода. При добавлении постороннего электролита напряженность этого поля падает, уменьшаясь в пределе до нуля. Поэтому при восстановлении анионов величина предельного тока диффузии и миграции должна расти при увеличении концентрации фона. В последнее время К. Вагнер [30] показал, что задержка переноса анионов этим полем может объяснить некоторые явления, наблюдаемые при восстановлении анионов, например, в присутствии плохо проводящих пленок. Сходство между этим эффектом и явлениями, изучаемыми в настоящей работе, ограничивается, однако, тем, что в обоих случаях увеличение концентрации фона вызывает увеличение плотности тока, в остальном же между обоими случаями имеются глубокие различия.

Существование объемного градиента потенциала электролита в отсутствие фона эквивалентно изменению коэффициента диффузии аниона; поэтому и при наличии этого градиента плотность тока при изменении режима размешивания следует обычным законам диффузионной кинетики, в то время как, согласно вышесказанному, величины  $I_{\text{мин}}$  от скорости размешивания не зависят.

Задержки, связанные с объемным падением потенциала, очевидно, не могут зависеть от знака заряда электрода, что является характерной особенностью рассматриваемых нами явлений. Для внесения окончательной ясности в этот вопрос мы приведем еще количественный расчет изменения плотности тока электровосстановления анионов при введении в раствор избытка постороннего электролита. Для этого рассмотрим условия движения ионов в электролите  $K_nA_1$  ( $K$  — однозарядный катион) при электровосстановлении аниона, протекающем без участия ионов водорода по реакции:



для простейшего случая диффузионного слоя постоянной толщины  $l$ . Обозначим концентрацию анионов на расстоянии  $x$  от электрода через  $(A_1)_x$  и  $(A_2)_x$ , концентрацию катиона через  $(K)_x$ , потенциал через  $\varphi_x$ , концентрацию катиона в объеме раствора  $(K)_l$  через  $c$ . Из условия электронейтральности следует

$$(K)_x = n_1(A_1)_x + n_2(A_2)_x \quad (2)$$

равные условия в случае электролиза раствора  $K_nA_1$ , при предельной плотности тока  $i$ :

$$(A_1)_0 = 0; \quad (A_1)_l = \frac{c}{n_1}; \quad (A_2)_l = 0; \quad \varphi_l = 0. \quad (3)$$

Так как катион во время электролиза при стационарном режиме не участвует, то

$$(K)_x = ce^{-\varphi_x F/RT} \quad (4)$$

количество анионов  $A_1$ , подходящих к электроду, и анионов  $A_2$  уходящих от него, связаны с плотностью тока законом Фарадея. Отсюда, учитывая уравнение (1), следует, что при стационарном режиме

$$mD_{A_1} \frac{\partial (A_1)_x}{\partial x} - m(A_1)_x \frac{\partial \varphi_x}{\partial x} u_{A_1} = \frac{i}{F}, \quad (5)$$

$$\frac{m}{p} D_{A_2} \frac{\partial (A_2)_x}{\partial x} - \frac{m}{p} (A_2)_x \frac{\partial \varphi_x}{\partial x} u_{A_2} = -\frac{i}{F}, \quad (6)$$

где  $D_{A_1}$ ,  $D_{A_2}$  — коэффициенты диффузии,  $u_{A_1}$  и  $u_{A_2}$  — «абсолютные» подвижности анионов,  $i$  — плотность катодного тока. Выражая подвижные анионов через коэффициенты диффузии по формуле Нернста, находим из (5) и (6)

$$m D_{A_1} \frac{\partial (c_{A_1})_x}{\partial x} - m (c_{A_1})_x \frac{\partial \varphi_x}{\partial x} \frac{n_1 F}{RT} D_{A_1} = \frac{i}{F}, \quad (7)$$

$$\frac{m}{p} D_{A_2} \frac{\partial (c_{A_2})_x}{\partial x} - \frac{m}{p} (c_{A_2})_x \frac{\partial \varphi_x}{\partial x} \frac{n_2 F}{RT} D_{A_2} = -\frac{i}{F}. \quad (8)$$

Уравнения (7) и (8) при наличии условий (2), (3) и (4) достаточны для решения поставленной задачи. Решение это может быть, однако, получено аналитическим путем только в частном случае, когда  $n_1 = n_2 = 1$ , рассмотрением которого в дальнейшем мы и ограничимся. Складывая уравнения (7) и (8), в этом случае получаем

$$\frac{\partial \ln \left[ D_{A_1} (c_{A_1})_x + \frac{1}{p} D_{A_2} (c_{A_2})_x \right]}{\partial x} - \frac{\partial \varphi_x}{\partial x} \frac{n F}{RT} = 0,$$

откуда, принимая во внимание условия (3):

$$\varphi_0 = \frac{RT}{nF} \ln \frac{n}{p} \frac{D_{A_2} (c_{A_2})_0}{D_{A_1} c}. \quad (9)$$

Чтобы определить  $\varphi_0$ , необходимо исключить из (9) неизвестную величину  $(c_{A_2})_0$ . Согласно (2), (3) и (4):

$$(c_{A_2})_0 = \frac{(c_K)_0}{n} = \frac{c}{n} e^{-\varphi_0 F/RT}. \quad (10)$$

Из (9) и (10) следует

$$\varphi_0 = \frac{1}{n+1} \frac{RT}{F} \ln \frac{D_{A_2}}{p D_{A_1}}. \quad (11)$$

Из (7), (8) и (2) следует далее

$$\frac{\partial (c_K)_x}{\partial x} - (c_K)_x \frac{n F}{RT} \frac{\partial \varphi_x}{\partial x} = \frac{n i}{m F} \left( \frac{1}{D_{A_1}} - \frac{p}{D_{A_2}} \right) \quad (12)$$

и, согласно (4)

$$(n+1) \frac{\partial}{\partial x} e^{-\varphi_x F/RT} = \frac{n i}{m F c} \left( \frac{1}{D_{A_1}} - \frac{p}{D_{A_2}} \right). \quad (13)$$

Интегрируя уравнение (13), получаем

$$e^{-\varphi_x F/RT} - 1 = \frac{n i}{(n+1) m F c} \left( \frac{p}{D_{A_2}} - \frac{1}{D_{A_1}} \right) l. \quad (14)$$

Из (14), принимая во внимание (11), можно найти значение предельного тока  $(i_d)'$ :

$$(i_d)' = \frac{m (n+1) F c (p D_{A_1} / D_{A_2})^{1/(n+1)} - 1}{n l \left( \frac{p}{D_{A_2}} - \frac{1}{D_{A_1}} \right)}. \quad (15)$$

В присутствии избытка индифферентного электролита предельный ток  $(i_d)''$ , очевидно, равен

$$(i_d)'' = \frac{m c F D_{A_1}}{n l}. \quad (16)$$



Из (15) и (16) следует

$$\frac{(i_d)''}{(i_d)''} = \frac{(n+1) \left[ \left( p \frac{D_{A_1}}{D_{A_2}} \right)^{1/(n+1)} - 1 \right]}{p \frac{D_{A_1}}{D_{A_2}} - 1} \quad (17)$$

В случае электровосстановления  $S_2O_8^{2-}$   $n = p = 2$ ,  $\frac{D_{A_1}}{D_{A_2}} = \frac{u_{A_1}}{u_{A_2}} = 1,08$  следовательно,

$$\frac{(i_d)'}{(i_d)''} = \frac{3 [2,16]^{1/3} - 1}{1,16} = 0,76,$$

$$\varphi_0 = - \frac{RT}{3F} \ln 2,16 = -0,0065 \text{ V.}$$

Проведенный расчет показывает, что максимально возможное изменение предельного тока восстановления аниона персульфата при прибавлении индифферентного электролита, вызванное объемным падением потенциала, относительно невелико (в соответствии с малой величиной  $\varphi_0$ ) не сравнимо с наблюдаемыми различиями между  $I_{\text{мин}}$  и  $I_d$ . Точность предельных  $I_d$  из-за некоторой неопределенности величины рабочей поверхности электрода, о которой упоминалось выше, в наших опытах была достаточно велика для того, чтобы делать выводы о зависимости  $I_d$  от концентрации фона и проверить приведенный здесь расчет. В дальнейшем предполагается восполнить этот пробел. В настоящей работе зависимость  $I_d$  от концентрации фона не учитывалась.

В. Г. Левич для объяснения природы минимальных токов восстановления  $S_2O_8^{2-}$ -аниона предположил замедленное проникновение ионов из объема к поверхности электрода в пределах двойного электрического слоя [31]. При этом, однако, автор не располагал экспериментальными данными об увеличении токов при дальнейшем сдвиге потенциала в отрицательную сторону, для объяснения которых потребовалось бы дополнительное предположение о туннельном эффекте. Поскольку схема В. Г. Левича без такого дополнительного предположения не может охватить всей поляризационной кривой восстановления анионов, в настоящей работе была сделана попытка объяснить экспериментальные данные по восстановлению анионов на иной основе, а именно, исходя из предположения о замедленном разряде анионов и о существовании равновесия между анионами в двойном слое и анионами в объеме раствора.

Однако предсказанный В. Г. Левичем эффект замедленного проникновения в достаточно разбавленных растворах должен существовать и, весьма вероятно, будет обнаружен при дальнейшем развитии экспериментальных работ в этой области.

Исходя из сделанных нами предположений, уравнение для плотности тока  $i$  нужно написать в виде

$$i = k [A]_S \exp \left[ - \frac{\alpha (\varphi - \psi_1) F}{RT} \right]; \quad (18)$$

где  $k$  — константа скорости реакции,  $\varphi$  — электродный потенциал,  $\psi_1$  — потенциал на расстоянии ионного радиуса от поверхности электрода и  $[A]_S$  — поверхностная концентрация восстанавливаемого аниона, связанная с объемной концентрацией  $[A]$  уравнением

$$[A]_S = [A] \exp \frac{n \psi_1 F}{RT} \quad (19)$$

и — валентность аниона). Из уравнений (18) и (19) следует

$$i = k [A] \exp \frac{\alpha F}{RT} \left( -\varphi + \frac{n + \alpha}{\alpha} \psi_1 \right). \quad (20)$$

Для расчета поляризационных кривых по уравнению (20) необходимо знать зависимость  $\psi_1$ -потенциала от  $\varphi$ , которая для одно-однозарядного электролита дается уравнением

$$(\varphi - \psi_1)k' = 2V \sqrt{\frac{RTDc}{2\pi}} \operatorname{sh} \frac{F\psi_1}{2RT}. \quad (21)$$

В уравнении (21)  $k'$  — величина емкости двойного слоя в предположении, что расстояние между его обкладками определяется радиусом иона, знак заряда которого противоположен знаку заряда поверхности электрода,  $D$  — диэлектрическая постоянная в пределах диффузной части двойного слоя. В настоящей работе при расчете  $\psi_1$ -потенциалов для случая восстановления  $\text{S}_2\text{O}_8^{2-}$  из водных растворов на ртутном электроде величина

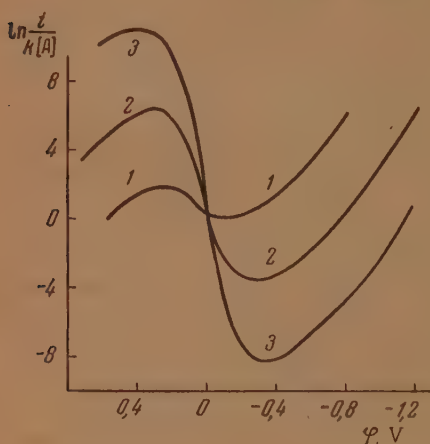


Рис. 18. Вычисленные кривые зависимости логарифма плотности тока от потенциала электрода для случая электровосстановления анионов в присутствии постороннего одно-однозарядного электролита в концентрациях: 1 — 0,1N; 2 — 0,01N; 3 — 0,001N ( $\varphi$  — по отношению к потенциалу нулевого заряда ртути)

исходит не монотонно. При определенном значении  $\varphi$  дальнейшее возрастание катодной поляризации приводит к спаду тока. Уменьшение его продолжается в некотором интервале потенциалов, а по достижении определенного значения  $\varphi$  прекращается и снова сменяется возрастанием тока. Зависимость  $i$  от  $\varphi$ , найденная по уравнению (20) с учетом уравнения (21), представлена на рис. 18. Подробности расчета приведены в диссертации Г. М. Флорианович [33].

На опыте, однако, не удастся получить кривые, которые можно было бы непосредственно сопоставить с кривыми рис. 18, так как опытные кривые осложнены диффузионными ограничениями, не позволяющими, в частности, наблюдать участки, на которых величины токов превышали бы значения предельных токов диффузии. Для обнаружения кинетических ограничений на  $i$ — $\varphi$  кривых восстановления анионов желательно по возможности увеличивать диффузионные токи. Этого можно достичь, например, увеличением скорости вращения электрода, на котором происходит восстановление аниона. Так, на рис. 5 представлены поляризационные кривые восстановления  $\text{S}_2\text{O}_8^{2-}$ -аниона на вращающемся электроде, измеренные при разных скоростях вращения электрода. Как видно

была принята равной 81, а величина  $k'$  равной 19  $\mu\text{F}$  для отрицательно заряженной и 38  $\mu\text{F}$  для положительно заряженной поверхности ртути. Выбор последней величины не имеет практического значения для сопоставления с результатами опыта, так как последнее фактически могло быть проведено лишь при потенциалах, при которых заряд поверхности отрицателен. Учитывая результаты емкостных измерений Грэхэма [32], которые не были известны к моменту выполнения приводимых здесь расчетов, выбранное значение  $k'$  для отрицательно заряженной поверхности следует считать несколько завышенным, однако небольшое искажение этой величины не отразится существенно на полученных результатах.

Анализ уравнения (20) при учете зависимости  $\psi_1$  от  $\varphi$  показывает, что в разбавленных растворах рост  $i$  с ростом отрицательного  $\varphi$  про-

рисунка, относительно большая скорость вращения дает возможность блюсти минимум на кривой (кривая 3). Снижение скорости вращения столько уменьшает предельный ток, что эффект спада тока обнаружить не удастся (кривая 1). Это обстоятельство свидетельствует о том, что отсутствие специфических минимумов на кривых восстановления которых анионов может быть связано с условиями проведения опыта, т.е. с недостаточной скоростью размешивания электролита и низкими значениями предельных токов диффузии, перекрывающими эффекты кинетических токов.

Влияние диффузионных ограничений на форму поляризационных кривых восстановления анионов следует всегда учитывать.

Так, независимо от величины предельного тока диффузии во всех случаях, когда величина  $i/i_d$  не является очень малой, для сравнения экспериментальных данных с теоретическими в уравнение (20) следует вводить поправку на концентрационную поляризацию:

$$\frac{i}{1 - (i/i_d)} = k [A] \exp \frac{\alpha F}{RT} \left( -\varphi + \frac{n + \alpha}{\alpha} \psi_1 \right). \quad (22)$$

При расчетах зависимости  $i$  от  $\varphi$  по уравнению (22) нужно знать величины  $n$ ,  $k$  и  $\alpha$ . По смыслу  $n$  может иметь только небольшие целочисленные значения. В случае раствора  $K_2S_2O_8$  значение  $n = 2$  означало бы, что реагирующей частицей является анион  $S_2O_8^{2-}$ , значение  $n = 1$  — что реагирующей частицей являются, например, анионы  $KS_2O_8^-$  или  $HS_2O_8^-$ . Задаваясь определенными значениями  $n$ , можно из экспериментальных данных подобрать значения  $k$  и  $\alpha$ , наилучшим образом удовлетворяющие уравнению (22). При этом удобнее пользоваться выражением

$$\lg \frac{I}{1 - (I/I_d)} = \lg k [A] + \frac{\alpha F}{2,3 RT} \left( -\varphi + \frac{n + \alpha}{\alpha} \psi_1 \right), \quad (23)$$

т.е. записать уравнение (22) в логарифмической форме и заменить неизвестности тока  $i$  в уравнении (22) на силу тока  $I$ . В случае капельного электрода под  $I$  подразумевается среднее значение силы тока. Замена  $i$  на  $I$  в этом случае хотя и вносит некоторую погрешность, но изменения площади капели при изменении потенциала, однако, можно показать, не приводит к заметным ошибкам в определении  $k$  и  $\alpha$ . Для определения  $\alpha$  целесообразно использовать восходящий участок поляризационной кривой при потенциалах более отрицательных, чем потенциал нулевого заряда электрода. Действительно, при использовании восходящей части кривой при положительных  $\varphi$  необходимо было бы учитывать не только реакцию растворения ртути, но и адсорбцию анионов в этой области, так как, как было показано Т. В. Калиш и И. Фрумкинскими [27], адсорбция анионов существенно влияет на собственно электрохимический процесс восстановления  $S_2O_8^{2-}$ -аниона в этой области потенциалов.

Для определения  $\alpha$  удобно применять метод последовательного приближения к правильному значению. Для этого из экспериментальных данных следует найти наклон прямой, выражающей зависимость  $\lg \left( \frac{I}{1 - (I/I_d)} \right)$  от  $-\varphi$ , и принять его равным  $\alpha F / 2,3 RT$ . Рассчитанное по этому наклону значение  $\alpha_1$ , отличное от истинного значения  $\alpha$  из-за приближения величиной  $\psi_1$ , следует подставить в уравнение (23) и, получив прямую, выражающую зависимость  $\lg \left( \frac{I}{1 - (I/I_d)} \right)$  от  $-\varphi + \frac{n + \alpha}{\alpha} \psi_1$ , найти коэффициент ее наклона, из которого рассчитать  $\alpha_2$ .



Подобное графическое построение следует продолжать, пока не будет получено значение  $\alpha_n$ , с точностью до 0,01 совпадающее со значением  $\alpha_{n-1}$ . Это значение  $\alpha_n$  можно считать окончательным; подставив его в уравнение (23), можно получить значение  $k$  из определенной пары значений  $I$  и  $\varphi$ . Зная  $k$  и  $\alpha$  для выбранного значения  $n$ , можно по уравнению (23) определить  $I$  при разных  $\varphi$  (для данных концентраций аниона  $[A]$  и предельного тока  $I_d$ ) и, построив кривую зависимости  $I$  от  $\varphi$ , сравнить ее с опытной. Такие расчеты были проведены для случая восстановления  $S_2O_8^{2-}$ -аниона из  $10^{-3} N$   $K_2S_2O_8$  в присутствии разных количеств KCl, причем  $n$  было принято равным двум, найдено значение  $\alpha$  составило 0,28, определенное по точке минимального тока в растворе с концентрацией KCl, равной 0,01  $N$ , значение  $k$  оказалось равным

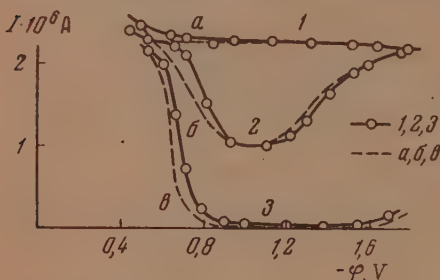


Рис. 19. Сопоставление  $I$ — $\varphi$  кривых восстановления  $10^{-3} N$   $K_2S_2O_8$  в присутствии KCl, измеренных на капельном электроде (1, 2, 3) и рассчитанных по уравнению (23) при  $n=2$ ,  $\alpha=0,28$  и  $k=1,2 \cdot 10^3$  (а, б, в). Концентрации KCl: 1 и а—0,1  $N$ ; 2 и б—0,01  $N$ ; 3 и в—0,001  $N$ .

становления  $S_2O_8^{2-}$ -аниона из  $10^{-3} N$   $K_2S_2O_8$  в присутствии разных количеств KCl, причем  $n$  было принято равным двум, найдено значение  $\alpha$  составило 0,28, определенное по точке минимального тока в растворе с концентрацией KCl, равной 0,01  $N$ , значение  $k$  оказалось равным

$$1,2 \cdot 10^3 \text{ (A/см}^2 \text{) / (моль/см}^3 \text{)}.$$

Данные расчета для потенциалов, при которых поверхность несет отрицательный заряд, сопоставлены с опытными кривыми рис. 19. Значения  $\psi_1$  были рассчитаны по уравнению (21), как указано выше. Удовлетворительное совпадение кривых свидетельствует

о возможности количественного выражения процесса восстановления аниона  $S_2O_8^{2-}$  при помощи уравнения (23).

Дополнительными расчетами было показано, что допущение  $n=2$  приводит к зависимости  $I$  от  $\varphi$ , отличной от найденной на опыте при восстановлении  $K_2S_2O_8$ . Это указывает на то, что восстановлению подвергается не однозарядный, а двухзарядный анион. Последнее согласуется с экспериментальными данными о независимости формы поляризационных кривых восстановления  $S_2O_8^{2-}$  от рН раствора, проверенной в настоящей работе для области рН от 5 до 11.

Помимо указанного совпадения экспериментальных и теоретических  $I$ — $\varphi$  кривых подтверждением правильности применения теории замедленного разряда анионов к случаю восстановления  $S_2O_8^{2-}$  является и влияние посторонних катионов и анионов на характер этих кривых. Это влияние проявляется в облегчении восстановления анионов в присутствии многозарядных катионов и в затруднении его в присутствии многозарядных анионов (см. рис. 8, 9). С точки зрения рассмотренной выше теории это обстоятельство может быть объяснено изменением  $\psi_1$ -потенциала в присутствии посторонних многозарядных ионов.

Тот факт, что многозарядные катионы оказывают наиболее сильное влияние на процесс восстановления  $S_2O_8^{2-}$  в области не слишком отрицательных значений  $\varphi$ , может быть объяснен предположением об образовании ионных пар из восстанавливаемых и посторонних ионов, которое должно иметь место преимущественно в этой области потенциалов.

Как указывалось выше, специфический минимум на  $I$ — $\varphi$  кривых наблюдается не только при восстановлении персульфат-аниона, но также и других исследованных анионов, за исключением  $MnO_4^-$  и  $HgJ_4^{2-}$ .

Отсутствие минимума на поляризационных кривых при восстановлении иона  $MnO_4^-$  может быть связано, прежде всего, с тем, что ион  $MnO_4^-$  является однозарядным, т. е. величина  $n$  в уравнении (20) равна



линии. Малое значение  $n$  обуславливает относительно небольшую величину коэффициента  $(n + \alpha)/\alpha$ , стоящего перед  $\psi_1$  и определяющего при данном соотношении между  $\varphi$  и  $\psi_1$  характер  $I - \varphi$  кривой, которая в этом случае может не иметь минимума. Спад тока на поляризационной кривой восстановления однозарядного аниона может, однако, иметь место, если  $\alpha$  имеет достаточно малое значение, так как уменьшение  $\alpha$  приводит к возрастанию коэффициента  $(n + \alpha)/\alpha$ . С этой точки зрения, можно было бы объяснить описанный в литературе спад тока на  $I - \varphi$  кривой восстановления однозарядного иона  $\text{ClO}_2^-$ , хотя наблюдаемая в этом случае зависимость от pH раствора заставляет считать более вероятным, что реагирующей частицей при восстановлении  $\text{ClO}_2^-$  является двухзарядный анион ортоформы  $\text{HClO}_3^{2-}$  [17]. Отсутствие минимумов на поляризационных кривых восстановления  $\text{MnO}_4^-$ -аниона может быть также связано с недостаточной величиной достигнутых предельных токов диффузии.

Поведение аниона  $\text{HgI}_4^{2-}$  при электровосстановлении на капельном электроде заслуживает более детального изучения. Возможно, что исключительно высокая адсорбируемость иода на ртути приводит к образованию мостиков между поверхностью металла и анионным комплексом, и даже при заметном отрицательном заряде поверхности, благодаря чему обеспечивается возможность протекания реакции восстановления.

Из данных, приведенных в экспериментальной части, видно, что для всех остальных исследованных ионов влияние заряда поверхности, а также посторонних катионов и анионов на протекание реакции восстановления, подобно их влиянию на восстановление  $\text{K}_2\text{S}_2\text{O}_8$ . Однако сходство в поведении всех анионов является только качественным, и объяснить явления, наблюдаемые при их восстановлении, при помощи таких же простых предположений, как в случае  $\text{S}_2\text{O}_8^{2-}$ , не удастся.

Так, например, при восстановлении  $\text{Fe}(\text{CN})_6^{3-}$ -аниона на  $I - \varphi$  кривых вплоть до значений  $\varphi = -2\text{V}$  не наблюдается подъема тока после его падения. Расчет постоянной  $\alpha$  уравнения (23), произведенный по нисходящему участку кривой, приводит к значению  $\alpha = 0,5$  при  $n = 3$ . Рассчитанная по уравнению (23) для случая  $\alpha = 0,5$  и  $n = 3$  кривая  $I - \varphi$  значительно отклоняется от экспериментальной кривой восстановления  $\text{Fe}(\text{CN})_6^{3-}$ -аниона, так как характеризуется подъемом тока после его падения. Если принять  $n = 2$ , то расчет приводит к  $\alpha = 0,3$  и также дает  $I - \varphi$  кривую с минимумом тока и с последующим его подъемом. Возможно, что отсутствие в этом случае второго подъема связано затруднением проникновения трехзарядного аниона в пределы двойного слоя, на которое указал В. Г. Левич.

Еще большее различие между теорией и опытом наблюдается в случае комплексных анионов платины. Поляризационные кривые восстановления этих ионов имеют, как указывалось выше, относительно узкие минимумы, не исчезающие даже при прибавлении большого избытка постороннего электролита. Это явление не может быть истолковано на основе простой теории, так как столь резкие изменения тока не могут иметь места при изменениях  $\psi_1$ -потенциала, возможных, например, при нормальной концентрации фона. Правда, при определенном подборе постоянных в уравнении (23) можно получить минимумы на вычисленных  $I - \varphi$  кривых и для случая высокой общей концентрации электролита. Однако, как это видно из рис. 20, такие минимумы не соответствуют узким минимумам, наблюдаемым на опыте. Кроме того, в рамках изложенной простой теории не укладывается и факт относительно малого влияния концентрации постороннего электролита на характер поляризационной кривой в области ее нисходящей ветви.

В настоящее время нельзя еще дать теорию, которая полностью

охватывала бы все эти явления; в первую очередь необходима дальнейшая экспериментальная работа. Однако для случая платиновых анионов можно высказать следующие предположения. Несомненно, что в отличие от случая восстановления  $S_2O_8^{2-}$  наблюдаемая картина может быть истолкована только как результат наложения друг на друга двух различных процессов. Для трактовки первого процесса, протекающего при потенциалах, более положительных, чем потенциал минимума  $i-\varphi$  кривой, необходимо учесть значительную специфическую адсорб-

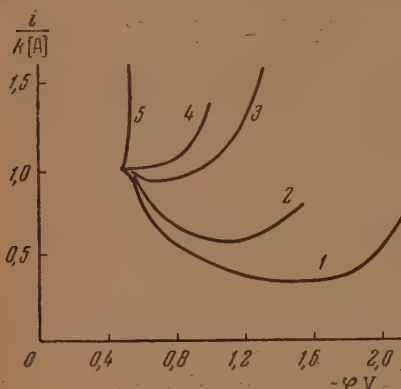


Рис. 20.  $\frac{i}{k [A]}$  —  $\varphi$  кривые, рассчитанные по уравнению (23) для общей концентрации раствора  $c = 1N$  и для  $n = 2$  при разных значениях  $\alpha$ : 1 — 0,10; 2 — 0,12; 3 — 0,15; 4 — 0,16 и 5 — 0,20.

сравнению со случаем, например,  $S_2O_8^{2-}$ . Для специфически адсорбирующегося аниона общая концентрация электролита не столь существенна, так как диффузность двойного слоя в этом случае всегда нарушена, и поэтому действие ионов  $La^{3+}$  не может сильно сказаться.

Правда, в присутствии многозарядных катионов, как это показал, например, Л. М. Штифман [34], некоторая адсорбция поверхностно-активных анионов наблюдается и при отрицательном заряде электрода. Однако анионы, адсорбированные в этих условиях, не находятся в тесном контакте с поверхностью электрода, который характеризует поведение поверхностно-активных анионов при положительных или слабых отрицательных зарядах электрода, что, вероятно, приводит к замедлению реакции восстановления.

Подъем тока, наступающий при потенциалах, более отрицательных, чем потенциал минимума  $i-\varphi$  кривой, соответствует протеканию реакции восстановления в условиях, качественно, несомненно, отличных от условий протекания первого процесса. Это обстоятельство нашло свое отражение и в работе Лайтинена и Онштотта [15]. Однако последние связывают второй подъем на  $i-\varphi$  кривой с восстановлением «неадсорбированных» анионов; физический смысл этого утверждения остается пока неясным.

Возможно, что при достаточно отрицательных  $\varphi$  анионы располагаются относительно руты иначе, чем при более положительных  $\varphi$ . Можно, например, предположить нарушение плоской симметрии аниона  $PtCl_4^{2-}$ , приводящее при отрицательных  $\varphi$  к приближению к поверхности руты атомов платины, что создаст новые пути для протекания электродной реакции.

Наконец, возможно, что при достаточно отрицательных значениях  $\varphi$  имеет место туннельный переход электрона, при котором восстановление

руте должны обладать анионы типа  $PtCl_6^{2-}$  и которую мы

не учитывали в случае  $S_2O_8^{2-}$ . При наличии специфической адсорбции, как это следует из формы электрокапиллярных кривых таких электролитов, как  $KJ$ , может происходить резкое изменение поверхностной концентрации аниона с ростом отрицательного электродного потенциала даже при высокой общей концентрации электролита. Отсюда вытекает и возможность резкого спада тока при потенциале десорбции аниона, который лежит, вообще говоря, значительно отрицательнее потенциала нулевого заряда руты. С таким предположением согласуется и факт более слабого влияния ионов  $La^{3+}$  на электровосстановление платиновых комплексных анионов.

ионов происходило бы без взаимодействия их с поверхностью электрода.

При рассмотрении вопроса об электровосстановлении анионов особенности этого процесса до сих пор целиком связывались с отталкиванием анионом и отрицательно заряженной поверхностью электрода. Необходимо отметить, однако, что между восстановлением катионов, с одной стороны, анионов (и нейтральных частиц), с другой, — имеется еще одно отличие, а именно: в случае восстановления катионов абсолютная величина заряда частицы, а следовательно, и ее степень гидратации при восстановлении снижаются, вследствие чего активированный комплекс сползает ближе к поверхности электрода, чем реагирующая частица. Напротив, при электровосстановлении аниона абсолютная величина заряда и гидратация активированного комплекса должны превышать соответствующие величины для реагирующей частицы, и переход от последнего к активированному комплексу соответствует удалению от поверхности электрода. Это различие должно приводить, как легко показать, к заметным различиям в условиях пересечения потенциальных кривых начального и конечного состояния элементарного электрохимического акта реакции восстановления в случаях восстановления анионов и катионов, особенно при значительных отрицательных потенциалах электрода. Дальнейшее исследование должно показать, необходимо ли учитывать эти обстоятельства при истолковании особенностей электрохимического поведения ионов. Большое значение для построения более полной теории будут иметь данные о температурном коэффициенте скорости реакций восстановления анионов, и только по получении этих данных можно будет окончательно решить вопрос о роли туннельных переходов электронов. Работа в этом направлении в настоящее время продолжается.

Необходимо, наконец, обратить внимание при объяснении при помощи или иных предположений экспериментальных данных на возможность отекаания в растворах, содержащих сложные анионы, различных реакций помимо реакции электровосстановления аниона. Так, для катионов анионов большую роль играют реакции гидролиза этих ионов, приводящие к образованию аквакомплексов, в свою очередь, способных диссоциировать с отщеплением ионов водорода, а также реакции замещения, если в растворе присутствуют какие-либо другие ионы [16]. Эти и другие возможные реакции влияют на характер  $I-\varphi$  кривых, что видно, например, по изменению их формы со временем нахождения исследуемых солей в растворе и по изменениям, происходящим после добавления в раствор галоидных ионов (см. рис. 14, 15).

### ВЫВОДЫ

1. Исследовано восстановление ряда анионов на ртутном капальном амальгамированном вращающемся катодах. Показано, что на  $I-\varphi$  кривых восстановления  $S_2O_8^{2-}$ ,  $Fe(CN)_6^{3-}$ ,  $PtCl_4^{2-}$ ,  $PtCl_5^{2-}$ ,  $IrCl_6^{3-}$ ,  $RhCl_6^{3-}$  при слишком высоких общих концентрациях электролита наблюдаются специфические минимумы тока. В разбавленных растворах спад тока происходит при потенциалах, близких к точке нулевого заряда ртути.

2. Показано, что специфическая форма поляризационных кривых восстановления анионов не связана с применением капального электрода.

3. Исследована природа минимальных токов на поляризационных кривых восстановления  $S_2O_8^{2-}$ -аниона. Показано, что эти токи не являются диффузионными.

4. Исследовано влияние посторонних катионов на процесс восстановления анионов. Показано, что катионы влияют на величины минимальных токов, увеличивая их. Эффект действия катионов тем больше, чем выше зарядность и концентрация. Действие катионов проявляется сильнее всего при не слишком больших отрицательных зарядах поверхности.



5. Показано, что зависимость силы тока от потенциала и концентрации фона, наблюдаемая при восстановлении  $S_2O_8^{2-}$ -аниона количественно объясняется при предположении о замедленном разряде аниона и установлении равновесия между анионами в двойном слое и в объеме твора.

6. Рассмотрены различные возможности объяснения формы поляризационных кривых, наблюдаемых при электровосстановлении  $Fe(CN)_6^{4-}$  и  $PtCl_6^{2-}$ -анионов.

Московский государственный  
университет им. М. В. Ломоносова

Поступила  
15.II.1955

#### ЛИТЕРАТУРА

1. М. Токуока, Col. czech. chem. com., 4, 444, 1932.
2. J. Neugrosky, Actualités scientifiques et industr., 90, Paris, 1934.
3. М. Токуока, J. Ruzicka, Col. czech. chem., com., 6, 339, 1934.
4. A. Rylich, Col. czech. chem. com., 7, 288, 1935.
5. E. Orlemann, I. Kolthoff, Journ. Amer. Chem. Soc., 64, 1970, 1942.
6. E. Vopička, Col. czech. chem. com., 8, 349, 1936.
7. А. Н. Фрумкин, С. И. Жданов, ДАН, 92, 629, 1953; 96, 793, 1954.
8. J. Masek, Chem. Listy, 46, 683, 1952.
9. А. Н. Фрумкин, Actualités scientifiques et industr., Paris, 1936, стр. 373.
10. М. А. Ворсина, А. Н. Фрумкин, Журн. физ. химии, 17, 295, 1943.
11. Т. А. Крюкова, ДАН, 65, 517, 1949.
12. J. Lingane, H. Kerlinger, Ind. Eng. Chem., Anal. Ed., 13, 77, 1941.
13. I. M. Kolthoff, G. Matsuyama, Ind. Eng. Chem., Anal. Ed., 17, 61, 1945.
14. P. Souchay, Analyt. Chim. Acta, 2, 17, 1948.
15. H. A. Laitinen, E. I. Onstott, Journ. Amer. Chem. Soc., 72, 4565, 1950.
16. Н. В. Николаева, В. Н. Преснякова, ДАН, 87, 61, 1952.
17. N. Konopick, Monatsh. f. Chem., 83, 255, 1952.
18. А. И. Левин, Е. А. Укше, Н. С. Брылина, ДАН, 88, 697, 1953.
19. J. Zežula, Chem. Listy, 47, 492, 1953.
20. Я. М. Колотыркин, Л. А. Медведева, Журн. физ. химии, 25, 1355, 1951; Труды Совещания по электрохимии, Изд-во АН СССР, 1953, стр. 369.
21. А. Н. Фрумкин, Вестн. МГУ, № 9, 37, 1952.
22. А. Н. Фрумкин, Г. М. Флорианович, ДАН, 80, 907, 1951.
23. А. Н. Фрумкин, Труды Совещания по электрохимии, Изд-во АН СССР, 1953, стр. 21.
24. А. Н. Фрумкин, В. Г. Левич, Журн. физ. химии, 21, 1335, 1947.
25. З. А. Иофа, А. Н. Колычев, Журн. физ. химии, 14, 58, 1940.
26. I. M. Kolthoff, I. K. Miller, Journ. Amer. Chem. Soc., 73, 3055, 1951.
27. Т. В. Калиш, А. Н. Фрумкин, Журн. физ. химии, 28, 473, 1954.
28. Н. В. Николаева, Н. С. Шапиро, А. Н. Фрумкин, ДАН, 86, 581, 1952.
29. Я. Гейровский, Полярографический метод, теория и практическое применение, ОНТИ, Л., 1937, стр. 28.
30. C. Wagner, Journ. Electrochem. Soc., 101, 181, 1954.
31. В. Г. Левич, ДАН, 67, 309, 1949.
32. D. C. Grahame, Journ. Electrochem. Soc., 98, 343, 1951; D. C. Grahame, M. A. Roth, J. I. Cummings, Journ. Amer. Chem. Soc., 74, 4422, 1952.
33. D. C. Grahame, B. Soderberg, Journ. Chem. Phys., 22, 449, 1954.
33. Г. М. Флорианович, Электровосстановление анионов на ртутном катоде. Диссертация, МГУ, 1951.
34. Л. М. Штифман, ДАН, 63, 709, 1948.



## О СВЯЗИ МЕЖДУ ПОТЕНЦИАЛОМ НУЛЕВОГО ЗАРЯДА И ФИЗИКО-ХИМИЧЕСКИМИ ХАРАКТЕРИСТИКАМИ МЕТАЛЛОВ

*В. М. Новаковский, Е. А. Укше и А. И. Левин*

Работами А. Н. Фрумкина и его сотрудников [1], а также других исследователей [2] показано, что для правильного понимания кинетики и механизма электродных реакций необходимо, наряду с равновесным и стационарным потенциалом, учитывать также знак и величину отклонений этих потенциалов от точки нулевого заряда электрода.

Разность между нормальным потенциалом  $\varphi^*$  и потенциалом нулевого заряда  $\varphi^0$  является существенной характеристикой металлического электрода [1] и возможность ее вычисления представляет безусловный интерес для теоретической электрохимии. Некоторым достижением в этом направлении являются две работы Р. М. Васенина [3].

В первой из них автор выводит полуэмпирическое уравнение, связывающее потенциалы нулевых зарядов с работами выхода электронов. Во второй он пытается обосновать названное уравнение теоретически. Однако при этом Р. М. Васенин повторяет ошибку Латимера, Питцера и Сланского [4] и совершенно необоснованно принимает, что свободная энергия перехода ионов металла из решетки в раствор определяет не контактный скачок потенциала металл — раствор, как это имеет место в действительности [5], а потенциал ионного двойного слоя. Кроме того, вычисляя, как он считает, разность ( $\varphi^* - \varphi^0$ ), Р. М. Васенин не останавливается на самостоятельном значении этого параметра и использует полученные результаты лишь для малоубедительного подтверждения точности выведенного ранее уравнения\*, а также для неубедительной оценки [2] положения абсолютного нуля потенциалов.

Несмотря на указанные недостатки, цитированные работы Р. М. Васенина бесспорно заслуживают внимания.

В настоящем сообщении делается попытка показать, что теоретическое уравнение, идентичное уравнению Р. М. Васенина и позволяющее рассчитывать значение разности ( $\varphi^* - \varphi^0$ ), может быть выведено достаточно строго, исходя из представлений о природе э. д. с. гальванического элемента, развитых А. Н. Фрумкиным.

Рассмотрим простейший элемент, состоящий из двух металлов 1 и 2, которые погружены в раствор  $l$ , содержащий ионы обоих металлов:



э. д. с. такого элемента определяется равенством:

$${}_1E_2 = {}_1V_l + {}_2V_l - {}_2V_1, \quad (1)$$

где  ${}_1V_l$ ,  ${}_2V_l$  — контактные разности потенциалов электрод — раствор;  ${}_2V_1$  — контактная разность потенциалов между двумя металлами.

Если измерить э. д. с. между незаряженным  $i$ -м электродом и таким же электродом, находящимся в нормальных условиях, то, очевидно,

$${}_iE_0 = \varphi^* - \varphi^0 = {}_iV_l^* - {}_iV_l^0, \quad (2)$$

где значок\* отвечает нормальному потенциалу, а  $^0$  — нулевой точке.

Как показал А. Н. Фрумкин [5, 2], контактный скачок потенциала металл — раствор в нулевой точке ( ${}_iV_l^0$ ) нельзя считать априори равным

\* Подтверждения неубедительны потому, что рассчитанные по двум уравнениям значения  $\varphi^0$  сравниваются не с опытными данными, а между собой. Разброс точек при этом весьма велик.

нулю, так как вследствие различной ориентации дипольных молекул создателя на границах с металлом и с газом внутренний скачок потенциала на границе металл—раствор может отличаться от суммы внутренних скачков потенциала на границах металл—газ и газ—раствор. Подтверждением этого служат опыты [6, 4], на основании которых А. Н. Фрумкин оценил контактный скачок потенциала между ртутным электродом, несущим заряд, и раствором NaCl в 0,33V.

Вместе с тем, по А. Н. Фрумкину и Б. В. Эршлеру [2], величина скачка для разных электродов в первом приближении может считаться постоянной, т. е.

$${}_iV_i^0 \approx \text{const.}$$

Что же касается контактного скачка потенциала  ${}_iV_i^*$  для электрода в нормальном растворе, то он определяется свободной энергией переноса ионов из металлической решетки в нормальный раствор его ионов. Иначе говоря, разностью «работ выхода» иона из металлической решетки ( $U_M$ ) и из раствора ( $U_l$ ) [6].

$${}_iV_i^* = \frac{U_M - U_l}{z}.$$

Пренебрегая взаимодействием металлического иона в растворе с аннионами, можно принять, что  $U_l$  определяется реальной энергией гидратации, которая, в свою очередь, равна [7] сумме химической энергии гидратации  $\Delta F_h$  и электрической работы прохождения иона через межфазную границу газ—раствор  $z\xi$

$$U_l = \Delta F_h + z\xi, \quad (5)$$

где  $\xi$  — скачок потенциала на границе газ—раствор.

Значения  $U_M$  можно определить из простейшего термодинамического цикла [2, 6]

$$U_M = \Delta F_\sigma + \Delta F_i - z\psi, \quad (6)$$

где  $\Delta F_\sigma$  — стандартная свободная энергия сублимации металла;  $\Delta F_i$  — стандартная свободная энергия ионизации металла;  $\psi$  — работа выхода электрона,  $z$  — заряд иона металла.

Из (3), (4), (5), (6) следует, что

$$\varphi^* - \varphi^0 = \frac{\Delta F_\sigma + \Delta F_i - \Delta F_h}{z} - \xi - \psi - \text{const.} \quad (7)$$

Таким образом, разность  $(\varphi^* - \varphi^0)$  меняется линейно с величиной  $(U_M - U_l)$ , причем угловой коэффициент прямой равен единице.

К сожалению, проверка уравнения (7) представляет известные трудности в связи с тем, что для большинства металлов неизвестны численные значения свободной энергии процессов ионизации и сублимации, а также  $\xi$ -потенциала. Известно и значение константы в уравнении (7).

Поэтому мы для расчетов пользовались следующим уравнением:

$$\varphi^* - \varphi^0 = \frac{\Delta H_\sigma + \Delta H_i - \Delta H_h - T\Delta S}{z} - \psi - \text{const}_1, \quad (8)$$

где  $\Delta S$  — разность энтропий иона в кристаллической решетке металла и в растворе;  $T$  — абсолютная температура;  $\text{const}_1 = \xi + \text{const}$ ;  $\Delta H_\sigma$ ,  $\Delta H_i$ ,  $\Delta H_h$  — стандартные теплоты соответствующих процессов.

В табл. 1 приводятся результаты сравнения этого уравнения с опытом. При этом значения стандартных потенциалов  $\varphi^*$  и потенциалов нулевого заряда  $\varphi^0$  взяты нами по [8], значения  $\Delta H_\sigma$ ,  $\Delta H_i$  и  $\Delta H_h$  — по сводке

Физико-химические характеристики металлов и результаты сравнения уравнения (8) с опытными данными

| Me | z | $\Delta H_{\sigma}$<br>ккал | $\Delta H_i$<br>ккал | $\Delta S$<br>ккал/град. | $T\Delta S$<br>ккал | $\Delta H_h$<br>ккал | $\psi$<br>eV | $z\psi$<br>ккал | $\frac{1}{z} \Sigma F$<br>eV | $\varphi^*$<br>V | $\varphi^*$<br>V | $\frac{\Delta \varphi}{V}$ | $\frac{1}{z} \Sigma F - \Delta \varphi$<br>V |
|----|---|-----------------------------|----------------------|--------------------------|---------------------|----------------------|--------------|-----------------|------------------------------|------------------|------------------|----------------------------|--|
| Ag | 1 | 69,1                        | 174,0                | 7,46                     | 2,2                 | 116,5                | 4,73         | 109,0           | 0,67                         | +0,80            | +0,85            | 0,85                       | -0,18  |
| Cu | 2 | 81,5                        | 643,2                | -31,6                    | -9,4                | 506,5                | 4,80         | 220,8           | 0,45                         | +0,34            | -0,034           | 0,38                       | -0,23  |
| Zn | 2 | 31,2                        | 628,2                | -35,4                    | -10,5               | 492,5                | 4,25         | 196,0           | -0,40                        | -0,76            | -0,63            | -0,13                      | -0,27  |
| Cd | 2 | 26,8                        | 594,7                | -26,9                    | -8,0                | 436,0                | 4,01         | 185,0           | 0,19                         | -0,40            | -0,90            | 0,50                       | -0,31  |
| Hg | 2 | 14,5                        | 670,3                | -23,9                    | -7,1                | 442,1                | 4,53         | 209,0           | 0,88                         | +0,86            | -0,21            | 1,07                       | -0,19  |
| Pb | 2 | 46,5                        | 515,5                | -10,4                    | -3,1                | 359,1                | 4,15         | 191,4           | 0,32                         | -0,13            | -0,69            | 0,56                       | -0,24  |
| Sn | 2 | 78,0                        | 503,6                | -18,2                    | -5,4                | 384,0                | 4,38         | 202,0           | 0,02                         | -0,14            | -0,35            | 0,21                       | -0,19  |
| Al | 3 | 67,5                        | 1223,6               | -81,7                    | -24,3               | 1102,8               | 4,25         | 294,0           | -1,18                        | -1,67            | -0,50            | -1,17                      | 0,01   |
| Ga | 3 | 52,0                        | 1317                 | -93,2                    | -27,8               | 1098                 | 4,20         | 290,5           | 0,11                         | -0,52            | -0,60            | 0,08                       | 0,03   |
| Tl | 3 | 42,8                        | 1293,2               | -57,4                    | -17,1               | 1003,0               | 3,68         | 254,0           | 1,39                         | +0,72            | -0,80            | 1,52                       | -0,13  |
| Bi | 3 | 47,8                        | 1126,0               | -35,0                    | -10,1               | 850,0                | 4,4          | 304,5           | 0,42                         | +0,23            | -0,40            | 0,63                       | -0,21  |

К. Б. Якимирского [9], значения  $\Delta S$  рассчитаны на основании данных приводимых в книге В. Латимера [10], работы выхода электрона в основании сопоставления сводок Б. М. Царева [11], К. Херинга [12] и [8], а  $T = 298^\circ \text{K}$ .

Если обозначить

$$-z\psi + \Delta H_o + \Delta H_i - \Delta H_h - T\Delta S = \Sigma F$$

и

$$\varphi^* - \varphi^0 = \Delta \varphi,$$

то

$$\Delta \varphi = \frac{1}{z} \Sigma F + 0,22.$$

Как следует из данных табл. 1, почти все экспериментальные точки за исключением алюминия и галлия, хорошо укладываются в уравнение. Отсюда следует также, что

$${}_iV_i^0 + \xi = \text{const}_1 = -0,22 \text{ V}, \quad (1)$$

т. е. что суммарное значение контактного скачка потенциала незагруженный металл — раствор и раствор — вакуум примерно постоянно равно  $-0,22 \text{ V}$ .

Таким образом теоретическое уравнение, выведенное на базе представлений А. Н. Фрумкина о природе э.д.с. гальванического элемента, правильно отражает количественную связь между физико-химическими свойствами металла и отклонением его нормального потенциала от нулевой точки  $\Delta \varphi^*$ .

Указанные представления позволяют вывести и уравнение, непосредственно связывающее потенциал нулевого заряда с работой выхода электрона.

Из уравнения (1) следует, что э.д.с. элемента, составленного из какого-либо незаряженного электрода ( $i$ ) и другого электрода в стандартных условиях ( $k$ ), равна

$$\varphi_k^* - \varphi_i^0 = {}_kV_i^* + {}_iV_k - {}_iV_i^0.$$

Полагая  ${}_iV_i^0 = \text{const}$  и выражая  ${}_iV_k$  через разность работ выхода электро-

\* Добавим, что сочетание уравнений (1) и (4) позволяет наглядно выявить составляющие э.д.с. гальванического элемента. Для ячейки, состоящей из двух металлов, погруженных в растворы своих ионов, пренебрегая диффузионными потенциалами на жидкостных границах, найдем

$${}_1E_2 = (\psi' - \psi'') + \frac{U_M' - U_l'}{z'} - \frac{U_M'' - U_l''}{z''} = (\psi' - \psi'') + \left( \frac{\Delta F'}{z'} - \frac{\Delta F''}{z''} \right), \quad (13)$$

где  $\Delta F'$  — стандартная свободная энергия перехода из раствора в решетку ионов первого металла, а  $\Delta F''$  — второго металла. Иначе, каждая из этих величин может быть охарактеризована как работа, затрачиваемая на вывод соответствующих ионов из решетки в раствор. Тогда, представив уравнение (13) в виде:

$${}_1E_2 = \left( \frac{\Delta F'}{z'} + \psi' \right) - \left( \frac{\Delta F''}{z''} + \psi'' \right), \quad (14)$$

легко видеть, что э.д.с. гальванического элемента определяется разностью между работой, которую в пересчете на единичный заряд нужно затратить на удаление иона в раствор, а электрона в вакуум из первого металла, и такой же работой для второго металла. Это еще, однако, не доказывает, что каждую из этих работ в отдельности целесообразно принять за абсолютный потенциал соответствующего электрода, как это делает, например, Е. А. Каневский [2].



[12], можно написать

$$\varphi^0 = (\varphi_k^* - V_l^* - \psi_k + \text{const}) + \psi_i. \quad (15)$$

лен этого уравнения, заключенный в скобках, легко рассчитать для любого из металлов, представленных в табл. 1, поскольку все его слагаемые (экспериментальные значения  $\varphi^*$  и  $\psi$  и расчетные значения  $V_l^* - \text{const} = \frac{1}{z} \Sigma F - \text{const}_2$ ) в этой таблице приводятся. Воспользовавшись этими данными, нетрудно показать, что сумма

$$\varphi^* - \psi - \frac{1}{z} \Sigma F = 0,22$$

действительно остается примерно постоянной для разных металлов (исключение составляют галлий и таллий) и равна в среднем  $-4,78$  В (табл. 2).

Таблица 2

Расчетные данные для различных металлов

| Me | $\varphi^* - \psi - \frac{1}{z} \Sigma F - 0,22$ | Me      | $\varphi^* - \psi - \frac{1}{z} \Sigma F - 0,22$ |
|----|--|---------|--|
| Ag | $-4,80$  | Al      | $-4,83$  |
| Cu | $-4,81$  | Ga      | $-5,00$  |
| Zn | $-4,81$  | Tl      | $-4,55$  |
| Cd | $-4,80$  | Bi      | $-4,79$  |
| Hg | $-4,75$  |         |  |
| Pb | $-4,80$  |         |  |
| Sn | $-4,74$  | Среднее | $-4,78$  |

Таким образом

$$\varphi^0 = \psi - 4,78. \quad (16)$$

Это уравнение несколько отличается от выведенной Р. М. Васениным [3] эмпирической зависимости

$$\varphi^0 = 0,86 \psi - 4,25. \quad (17)$$

Однако правильность этой последней вызывает сомнения уже хотя бы потому, что Р. М. Васенин при определении постоянных коэффициентов своего уравнения, повидимому, не провел соответствующих расчетов и ограничился лишь графическим построением. Кроме того, в числе данных по работам выхода и нулевым точкам, которыми пользовался Р. М. Васенин для своих выводов, встречаются весьма ненадежные (например, работа выхода электрона из платины и др.).

Уравнение (17) противоречит линейной зависимости между  $\Delta\varphi$  и  $(U_M - U_l)$ , которая была получена и самим Р. М. Васениным. Поэтому мы, воспользовавшись методом наименьших квадратов, рассчитали эмпирические значения интересующих нас коэффициентов на основе данных о  $\varphi^0$ , приведенных в табл. 1. Расчет по всем точкам дает значение постоянной соответственно 0,92 и  $-4,40$ . При этом из общей зависимости (видимо, вследствие заниженного значения работы выхода) сильно выпадает точка, соответствующая таллию. Если указанную точку из расчетов исключить, то для остальных десяти металлов эмпирическое уравнение принимает вид:

$$\varphi^0 = 1,02 \psi - 4,88. \quad (18)$$

Уравнение (18) хорошо совпадает с уравнением (16), полученным на основании теоретических соображений. Это обстоятельство можно рас-

смаивать как еще одно подтверждение правильности исходных ижений настоящего исследования. Тем не менее уравнения (16) и могут быть использованы лишь для приближенной оценки нулевычек различных металлов, но не для точного их расчета. Последнее сгно с ненадежностью имеющихс в настоящее время в литературе дапо энтропиям гидратированных ионов, теплотам гидратации и, особепо работам выхода электрона [12]. Уравнение (18) может быть полуиз независимых соображений. Для этого рассмотрим э. д. с. цепи, ставленной из любого незаряженного и нормального водородного элекда. Эта э. д. с., которая и принимается за потенциал нулевого заряда электрода, равна

$$\varphi_i^0 = {}_iV_i^0 + {}_{Pt}V_i - {}_{Pt-H_2}V_i^*.$$

Как и раньше, принимаем  ${}_iV_i^0 = \text{const}$ , а

$${}_{Pt}V_i = \psi_i - \psi_{Pt}.$$

Контактный скачок потенциала между платино-водородным электродом и раствором, очевидно, определяется свободной энергией перехода водорода из газообразного состояния в состояние гидратированного иона с оставлением электрона в платине\*, т. е.

$${}_{Pt-H_2}V_i^* = \frac{1}{2} D_{H_2} + I - H_H - T \Delta S_{H_2-H_3O} - \xi - \psi_{Pt},$$

где  $D_{H_2} = 103,22$  ккал — теплота диссоциации молекулы водорода [1];  $I = 312,23$  ккал — ионизационный потенциал H-атома [9];  $H_H$  — тепло гидратации  $H^+$ -иона (264,0 ккал) [9];  $\Delta S_{H_2-H_3O}$  изменение энтропии при переходе  $H_2 \rightarrow H_3O^+$  (—31,2) [10]. Подставляя указанные значения найдем

$${}_{Pt-H_2}V_i^* = -(109 + \xi + \psi_{Pt}) \text{ ккал} = -(4,68 + \xi + \psi_{Pt}) \text{ вольт},$$

и если учесть, что  ${}_iV_i^0 + \xi = -0,22$  вольт, то получим

$$\varphi_i^0 = \psi_i - 4,90. \quad (19)$$

Таким образом, постоянный член в уравнениях (16) — (19) с точностью до суммы  ${}_iV_i^0 + \xi$  равен свободной энергии превращения газообразного водорода в гидратированный H-ион.

Из уравнения (16) и (7) следует, кроме того, что

$$\frac{1}{Z} (\Sigma F - \Delta F^*) = \frac{4,58}{4,68} - \psi, \quad (20)$$

где  $\Delta F^* = z\varphi^*$  — стандартная свободная энергия электродной реакции [10]. Легко показать, что опытные данные действительно укладываются в уравнение (20).

#### ВЫВОДЫ

1. На основании современной теории электродных потенциалов найдены уравнения, связывающие потенциал нулевого заряда с другими физико-химическими характеристиками.

2. Выяснен физический смысл постоянных, входящих в уравнения (16) и (16).

Уральский политехнический институт  
им. С. М. Кирова.

Уральский химический институт  
Свердловск

Поступила  
15.II.1955

\* При этом предполагается, что между адсорбированным водородом и водородом газообразным имеет место равновесие, т. е. что  $\mu_{H \text{ адс}} = \mu_{H, \text{ газ}}$  (где  $\mu$  — химические потенциалы).

## ЛИТЕРАТУРА

- А. Н. Фрумкин, В. С. Багоцкий, З. А. Иофа, Б. Н. Кабанов, Кинетика электродных процессов, Изд-во Моск. ун-та, 1952.  
Б. В. Эршлер, Труды совещания по электрохимии, Изд-во АН СССР, М., 1953, стр. 357; Л. И. Антропов, там же, стр. 380.  
Р. М. Васенин, Журн. физ. химии, 27, 878, 1953; 28, 1672, 1872, 1954.  
W. Latimer, K. Pitzer, K. Slansky, Journ. Chem. Phys., 7, 108, 1939.  
А. Н. Фрумкин, Journ. Chem. Phys., 7, 552, 1939.  
O. Klein, E. Lange, Zs. Elektrochem., 43, 570, 1937.  
К. П. Мищенко, Э. И. Квят, Журн. физ. химии, 28, 1451, 1954.  
Справочник химика, т. 4, Гостехиздат, М.—Л., 1952.  
К. Б. Яцимирский, Термохимия комплексных соединений, Изд-во АН СССР, М., 1954; Журн. физ. химии, 25, 221, 1951.  
В. М. Латимер, Окислительные состояния элементов и их потенциалы в водных растворах, ИИЛ, М., 1954.  
Б. М. Царев, Контактная разность потенциалов, Гостехиздат, М, 1949.  
К. Херинг и М. Никольс, Термоэлектронная эмиссия, ИИЛ, 1950.  
А. Гейдон, Энергии диссоциации и спектры двухатомных молекул, ИИЛ, М., 1949.
-

## КИНЕТИКА ДЕГИДРАТАЦИИ ЭТИЛОВОГО СПИРТА И ДИЭТИЛОВОГО ЭФИРА НА ОКИСИ АЛЮМИНИЯ И АЛЮМОСИЛИКАТНЫХ КАТАЛИЗАТОРАХ. II

*К. В. Топчиева и К. Юн-Пин*

### ВЫВОД КИНЕТИЧЕСКИХ УРАВНЕНИЙ И ИХ ПРИМЕНИМОСТЬ

В ранее опубликованной работе [1] нами были даны выводы кинетических уравнений для поэтапного описания кинетики дегидратации этилового спирта, протекающей в потоке в присутствии твердых катализаторов.

Для описания кинетики процесса превращения диэтилового эфира этилен нами была показана применимость уравнения мономолекулярно гетерогенной реакции в потоке, выведенного Г. М. Панченковым [2] для случая, когда исходное вещество адсорбируется слабо, а продукты реакции сильно:

$$k = n_0 [-x - \ln(1 - x)], \quad (1)$$

где  $k$  — кажущаяся константа скорости реакции;  $n_0$  — число грамм-молекул исходного вещества, поступающего в начало реакционной зоны за 1 час;  $x$  — количество прореагировавшего исходного вещества в относительных единицах.

Уравнение (1) в координатах  $y = n_0 x$  и  $z = -n_0 \ln(1 - x)$  выражается прямой линией и позволяет графически определить кажущуюся константу скорости реакции.

Уравнение (1) применимо также для описания кинетики превращения этилового спирта в этилен при высоких температурах (от 350°C и выше), когда скорость первой стадии превращения спирта в эфир велика, и кинетика определяется скоростью более медленной стадии — превращения эфира в этилен.

При средних температурах (275—300°C), когда скоростью превращения спирта в эфир нельзя уже пренебречь, при выводе кинетического уравнения дегидратации этилового спирта до этилена необходимо учитывать наличие первой стадии процесса. В этом случае число грамм-молекул диэтилового эфира  $n'_0$ , образовавшегося на промежуточной стадии дегидратации этилового спирта в реакционной зоне в час, будет равно произведению числа грамм-молекул пропущенного исходного спирта  $n_0$  и общей степени превращения спирта  $x_{\text{общ}}$ :

$$n'_0 = n_0 x_{\text{общ}} \quad (2)$$

Общая степень превращения этилового спирта  $x_{\text{общ}}$  равна сумме степеней превращения этилового спирта в диэтиловый эфир, определяемый по анализу катализата ( $x_{\text{эфир}}$ ) и в этилен ( $x_{\text{C}_2\text{H}_4}$ ):

$$x_{\text{общ}} = x_{\text{эфир}} + x_{\text{C}_2\text{H}_4}. \quad (3)$$

При принятии последовательной схемы реакции дегидратации этилового спирта  $x_{\text{общ}}$  является степенью превращения спирта в промежуточный диэтиловый эфир.

Дифференциальная форма уравнения скорости превращения спирта в этилен в этом случае имеет вид:

$$n_0 x_{\text{общ}} \frac{dx}{dt} = k' \sigma_{A_1} = \frac{k' b_1 (1 - x)}{b_1 x}, \quad (4)$$



с  $k'$  — истинная константа скорости реакции;  $\sigma_{A_1}$  — доля поверхности, покрытая реагирующим веществом  $A_1$ ;  $b_1$  и  $b_2$  — адсорбционные коэффициенты исходного вещества и продуктов реакции;  $l$  — длина реакционной зоны.

Когда достигнуто равновесие на первой стадии превращения этилового спирта в диэтиловый эфир,  $x_{\text{общ}}$  становится равновесной степенью превращения  $x_p$  и для данной температуры опыта является величиной постоянной. Вследствие этого уравнение (4) становится интегрируемым. После интегрирования находим выражения для кажущейся константы скорости реакции:

$$k = n_0 x_p [-x - \ln(1 - x)], \quad (5)$$

где  $x$  — степень превращения этилового спирта в этилен.

В предыдущей работе [1] и на рис. 1 показана применимость дан-

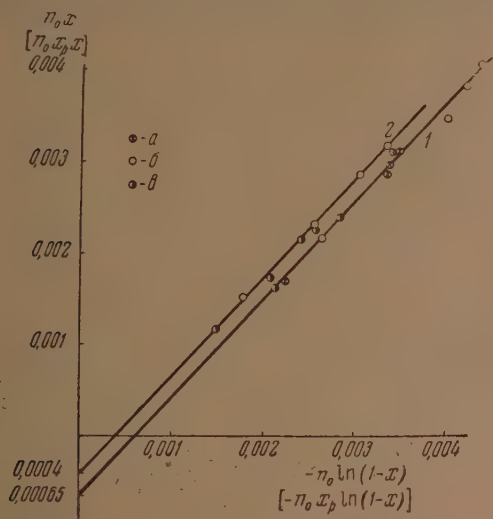
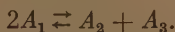
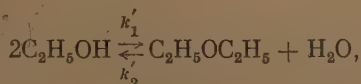


Рис. 1. Кинетика дегидратации спирта и эфира при 275° С на  $\text{Al}_2\text{O}_3$  (кривая 1) и 50:50 (кривая 2); а — чистый эфир в этилен по уравнению (1); б — спирт в этилен [по уравнению (5)]; в — эфир, образовавшийся на промежуточной стадии и превратившийся в этилен

ного уравнения для описания кинетики превращения этилового спирта в этилен для области, где достигнуто равновесие первой стадии превращения спирта в эфир.

Значительно сложнее протекает первая стадия процесса, превращение этилового спирта в диэтиловый эфир, представляющая собой бимолекулярную, обратимую гетерогенную реакцию в потоке:



Скорость реакции выражается уравнением:

$$n_0 \frac{dx}{dt} = k_1' \sigma_{A_1}^2 - k_2' \sigma_{A_2} \sigma_{A_3}. \quad (6)$$

Для случая, когда один из продуктов реакции ( $A_3$ ) адсорбируется сильно, из уравнения Ленгмюра находим:

$$\sigma_{A_1} = \frac{2b_1(1-x)}{b_3x}; \quad \sigma_{A_2} = \frac{b_2}{b_3}; \quad \sigma_{A_3} = 1.$$

Подставляя выражения  $\sigma_{A_i}$  в формулу (6), получим:

$$n_0 \frac{dx}{dt} = \frac{4k_1' b_1^2 (1-x)^2 - k_2' b_2 b_3 x^2}{b_3^2 x^2}.$$

После интегрирования находим:

$$\begin{aligned} k_2(4K_p - 1) &= 4k_1 - k_2 = n_0 \int_0^x \frac{x^2 dx}{(n-x)(m-x)} = \\ &= n_0 \left[ x + \frac{n^2}{n-m} \ln \frac{n}{n-x} - \frac{m^2}{n-m} \ln \frac{m}{m-x} \right], \end{aligned}$$

где

$$K_p = \frac{k_1}{k_2}; \quad k_1 = \frac{k_1' b_1^2}{b_3^2} l; \quad k_2 = \frac{k_2' b_2 b_3}{b_3^2} l;$$

$n$  и  $m$  — корни квадратного уравнения:

$$x^2 - \frac{8K_p}{4K_p - 1} x + \frac{4K_p}{4K_p - 1} = 0;$$

$$n, m = \frac{4K_p \pm 2\sqrt{K_p}}{4K_p - 1};$$

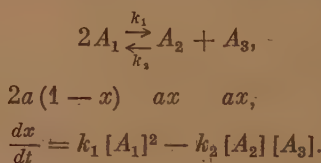
$K_p$  — константа равновесия реакции, которую можно определить из значения равновесной степени превращения  $x_p$ . При достижении равновесия скорость реакции равна нулю ( $dx/dt = 0$ ) и уравнение (7) принимает вид:

$$4k_1(1-x_p)^2 - k_2x_p^2 = 0,$$

откуда

$$K_p = \frac{k_1}{k_2} = \frac{x_p^2}{4(1-x_p)^2}. \quad (10)$$

Легко показать, что  $K_p$  здесь является истинной константой равновесия реакции:



При достижении равновесия

$$K_p = \frac{k_1}{k_2} = \frac{[A_2][A_3]}{[A_1]^2} = \frac{p_2 p_3}{p_1^2}.$$

Парциальные давления компонентов реакции при равновесии соответственно равны:

$$p_1 = (1-x_p)P; \quad p_2 = p_3 = \frac{x_p}{2}P.$$

Подставляя значения парциальных давлений в выражение для  $K_p$ , находим:

$$K_p = \frac{x_p^2}{4(1-x_p)^2}.$$

тим образом, мы показали, что константа равновесия гетерогенной реакции тождественна константе равновесия гомогенной реакции.

Физический смысл корней  $n$  и  $m$  квадратного уравнения (9) заключается в том, что они представляют собой значения, при которых скорость реакции обращается в нуль. Очевидно, что один из корней, именно  $m$ , равен равновесной степени превращения  $x_p$ . Подставляя выражение  $K_p$  из уравнения (10) в уравнение (9) для  $m$ , находим

$$m = \frac{4K_p - 2\sqrt{K_p}}{4K_p - 1} = x_p.$$

Другой корень определяется из выражения

$$n = \frac{4K_p + 2\sqrt{K_p}}{4K_p - 1} = \frac{x_p}{2x_p - 1}.$$

Таким образом уравнение (8) принимает окончательный вид:

$$4k_1 - k_2 = n_0 \left[ x + \frac{n^2}{n - x_p} \ln \frac{n}{n - x} - \frac{x_p^2}{n - x_p} \ln \frac{x_p}{x_p - x} \right]. \quad (11)$$

Правой части этого уравнения все значения известны.  $x$  — общая степень превращения этилового спирта, определяемая из опыта.

Уравнение (11) описывает кинетику превращения этилового спирта в этиловый эфир и в координатах  $y = n_0 x$  и  $z = n_0 \left[ \frac{n^2}{n - x_p} \ln \frac{n}{n - x} - \frac{x_p^2}{n - x_p} \ln \frac{x_p}{x_p - x} \right]$  дает прямую линию, а отрезок, отсекаемый на оси

ординат, дает значение  $4k_1 - k_2$ . Зная значение  $K_p$  из уравнения (10) и постоянную  $4k_1 - k_2$ , можно определить константу скорости прямой и обратной реакций.

Для последовательной реакции дегидратации этилового спирта, первая стадия которой является бимолекулярной обратимой:



дифференциальная форма кинетического уравнения первой стадии с учетом второй имеет вид:

$$n_0 \frac{dx}{dt} = \frac{4k_1(1-x)^2 - k_2x^2(1-y^2)}{x^2(1+y)^2}. \quad (12)$$

В второй стадии, учитывая первую, находим

$$\frac{1}{2} n_0 x \frac{dy}{dt} = \frac{k_3(1-y)}{1+y}, \quad (13)$$

$x$  — общая степень превращения этилового спирта;  $y$  — степень превращения промежуточного диэтилового эфира в этилен;  $k_3 = k'_3 b_2 b_3$  — константа скорости второй стадии. Делением выражения (13) на выражение (12) получаем:

$$\frac{dy}{dx} = \frac{2k_3x(1-y^2)}{4k_1(1-x)^2 - k_2x^2(1-y^2)}. \quad (14)$$

Это дифференциальное уравнение не решается простым способом. Приближенное решение не дало положительных результатов, так как первое и второе приближения имели медленную сходимость. Поэтому отказались от точного вывода полного кинетического уравнения,

описывающего всю кинетику реакции дегидратации этилового спирта проводили расчет постадийно. Для расчета первой стадии исполлось уравнение (11), для расчета второй стадии — уравнение (5), для расчета кинетики дегидратации чистого эфира и кинетики дегидратации этилового спирта при высоких температурах (выше 350°С) применено уравнение (1).

В табл. 1 и на рис. 2 приведены данные по кинетике превращения этилового спирта в диэтиловый эфир на окиси алюминия, рассчитанные по уравнению (11).

Таблица

| $n_0$   | $x$   | $\frac{x_p^2}{n-x_p} \lg \frac{x_p}{x_p-x}$<br>(I) | $\frac{n^2}{n-x_p} \lg \frac{n}{n-x}$<br>(II) | $2,3 n_0 [II-I]$ | $\tau$ |
|---|-------|--|---|------------------|--------|
| 225°; $x_p = 0,52$ ; $n = 13$ ; $\frac{n^2}{n-x_p} = 13,54$ ; $\frac{x_p^2}{n-x_p} = 0,2167$    |       |  |   |                  |        |
| 0,00733   | 0,356 | 0,01086  | 0,1639  | 0,00258          | 0,00   |
| 0,01111   | 0,279 | 0,00724  | 0,1273  | 0,00307          | 0,00   |
| 0,01660   | 0,210 | 0,00486  | 0,0978  | 0,00343          | 0,00   |
| 0,02100   | 0,190 | 0,00128  | 0,0867  | 0,00400          | 0,00   |
| 250°; $x_p = 0,6$ ; $n = 3$ ; $\frac{n^2}{n-x_p} = 3,75$ ; $\frac{x_p^2}{n-x_p} = 0,15$         |       |  |   |                  |        |
| 0,0083  | 0,560 | 0,1764   | 0,3363  | 0,00305          | 0,004  |
| 0,0132  | 0,500 | 0,1168   | 0,2970  | 0,00547          | 0,006  |
| 0,0167  | 0,460 | 0,0948   | 0,2711  | 0,00677          | 0,007  |
| 0,0250  | 0,391 | 0,0687   | 0,2273  | 0,00912          | 0,009  |
| 0,0400  | 0,325 | 0,0510   | 0,1867  | 0,01248          | 0,013  |
| 0,0500  | 0,300 | 0,0452   | 0,1714  | 0,01452          | 0,015  |
| 275°; $x_p = 0,72$ ; $n = 1,636$ ; $\frac{n^2}{n-x_p} = 2,922$ ; $\frac{x_p^2}{n-x_p} = 0,5183$ |       |  |   |                  |        |
| 0,02703   | 0,580 | 0,3586   | 0,5555  | 0,01225          | 0,015  |
| 0,04020   | 0,512 | 0,2796   | 0,4766  | 0,01822          | 0,020  |
| 0,05463   | 0,450 | 0,2208   | 0,4080  | 0,02352          | 0,024  |
| 0,07094   | 0,405 | 0,1861   | 0,3612  | 0,02856          | 0,028  |
| 0,10640   | 0,292 | 0,1170   | 0,2496  | 0,03243          | 0,031  |
| 300°; $x = 0,82$ ; $n = 1,281$ ; $\frac{n^2}{n-x_p} = 3,56$ ; $\frac{x_p^2}{n-x_p} = 1,457$     |       |  |   |                  |        |
| 0,0618  | 0,660 | 1,0350   | 1,1190  | 0,01167          | 0,040  |
| 0,0659  | 0,640 | 0,9603   | 1,0700  | 0,01667          | 0,042  |
| 0,0824  | 0,610 | 0,8628   | 1,0000  | 0,02599          | 0,050  |
| 0,0988  | 0,596 | 0,8363   | 0,9804  | 0,03268          | 0,058  |
| 0,1318  | 0,540 | 0,6806   | 0,8487  | 0,05097          | 0,071  |

Из рисунка видно, что точки хорошо ложатся на прямые, идущие параллельно друг другу для разных температур.

Значения констант скорости реакции приведены в табл. 2.

На рис. 3 приведена зависимость  $\lg K_p$  от  $1/T$ . Из рисунка видно,



константа равновесия этой каталитической реакции подчиняется уравнению изотермы реакции:

$$\lg K_p = -\frac{4740}{T} + 8,915.$$

Тепловой эффект реакции дегидратации этилового спирта в диэтиловый эфир, рассчитанный из уравнения изотермы реакции, равен 700 кал/моль.

На рис. 4 представлена зависимость  $\lg k_1$  (кривая 1) и  $\lg k_2$  (кривая 2) от  $1/T$ . По уравнению Аррениуса были рассчитаны значения энергии активации прямой и обратной реакций. Для прямой реакции дегидратации этилового спирта в диэтиловый эфир получено значение 22 600 кал/моль. Для обратной реакции — гидратации диэтилового эфира в этиловый спирт — всего лишь 3500 кал/моль.

Уравнение (11) выведено для реакции превращения спирта в эфир с учетом второй стадии — дальнейшего превращения эфира в этилен. Однако если этилен образуется в значительных количествах, то ошибка в определении константы равновесия невелика. Действительно, при учете второй стадии процесса выражение константы равновесия реакции из уравнения (12) имеет следующий вид:

$$4k_1(1-x_p)^2 - k_2x_p^2(1-y^2) = 0,$$

$$K^* = \frac{k_1}{k_2} = \frac{x_p^2(1-y^2)}{4(1-x_p)^2}, \quad (15)$$

т. е. значение  $K_p$ , полученное по уравнению (10), отличается от значения, полученного по уравнению (15) с учетом второй стадии процесса), на множитель  $(1-y^2)$ .

Наибольшая ошибка, допущенная при расчете констант равновесия с учетом второй стадии процесса, не превышает 2%, т. е. не превышает

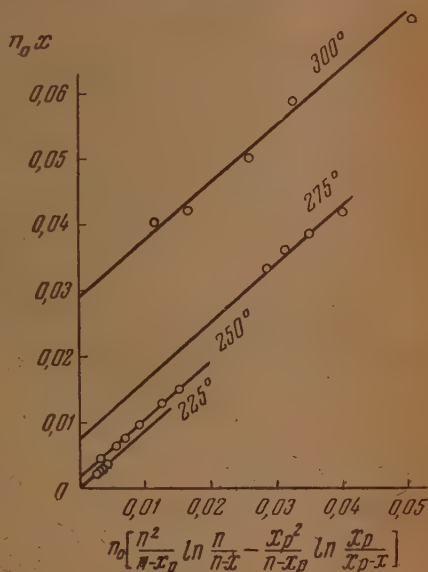


Рис. 2. Кинетика превращения спирта в эфир на  $Al_2O_3$ , рассчитанная по уравнению (11)

Таблица 2

| Температура реакции $T^{\circ}K$ | 498     | 523     | 548     | 573     |
|----------------------------------|---------|---------|---------|---------|
| $\frac{1}{T} \cdot 10^{-4}$      | 20,08   | 19,12   | 18,25   | 17,45   |
| $K_p$                            | 0,2934  | 0,5625  | 0,6525  | 5,1870  |
| $4k_1 - k_2$                     | 0,0002  | 0,0016  | 0,0080  | 0,029   |
| $k_1$                            | 0,00034 | 0,00072 | 0,00236 | 0,00772 |
| $k_2$                            | 0,00115 | 0,00128 | 0,00143 | 0,00149 |
| $\lg K_p$                        | 1,4675  | 1,7501  | 0,2181  | 0,7149  |
| $\lg k_1$                        | 4,5315  | 4,8573  | 3,3720  | 3,8876  |
| $\lg k_2$                        | 3,0607  | 3,1072  | 3,1544  | 3,1732  |

точности проведения эксперимента. Погрешность в расчете константы скорости прямой и обратной реакции была также не более 2%.

Из кинетических данных, полученных при различных температурах (от 350 до 450°C), на катализаторе чистой окиси алюминия и алюмината состава 70%  $\text{Al}_2\text{O}_3$ :30%  $\text{SiO}_2$  и 10%  $\text{Al}_2\text{O}_3$ :80%  $\text{SiO}_2$ , была рассчитана энергия активации образования этилена из этилового спирта и

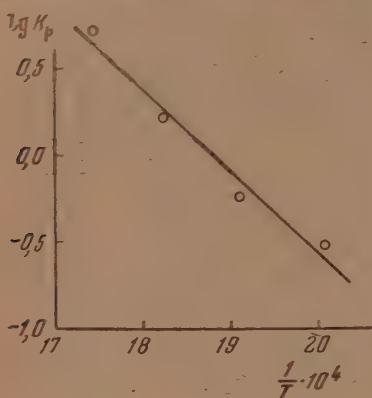


Рис. 3

Рис. 3. Зависимость  $\lg K_p$  от  $\frac{1}{T}$  для превращения спирта в эфир

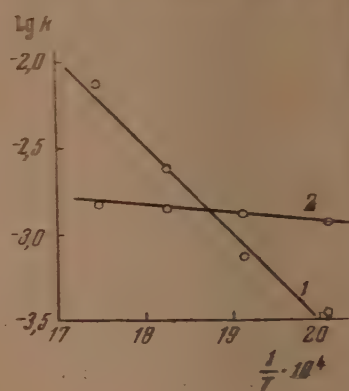
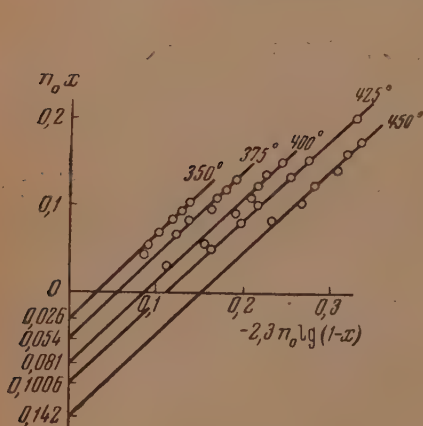
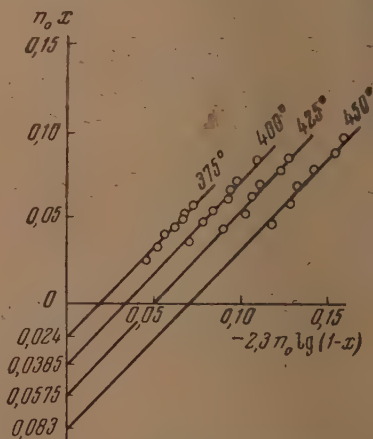


Рис. 4

Рис. 4. Зависимость  $\lg k$  от  $\frac{1}{T}$  для превращения спирта в эфир. Кривая 1 — для прямой реакции; кривая 2 — для обратной реакции

Рис. 5. Кинетика дегидратации спирта на  $\text{Al}_2\text{O}_3$ Рис. 6. Кинетика дегидратации эфира на  $\text{Al}_2\text{O}_3$ 

этилового эфира\*. При указанных условиях проведения опытов кинетика дегидратации этилового спирта и эфира описывается уравнением (1).

Кинетические данные этих опытов приведены на рис. 5—10. В табл. 1 приведены значения констант скорости дегидратации этилового спирта и эфира.

\* В указанных условиях проведения опытов при дегидратации спирта количество эфира в катализе не превышало 5%, а нахождение спирта при дегидратации эфира не превышало 3%.

Таблица 3

| Катализатор и вещество                          | T° К | k      | lg k                | Энергия активации<br>в кал/моль |
|---|------|--------|---------------------|---------------------------------|
| Na Al <sub>2</sub> O <sub>3</sub><br>для спирта | 623  | 0,0260 | $\overline{2},4150$ | 14 670                          |
|   | 648  | 0,0460 | $\overline{2},6628$ |                                 |
|   | 673  | 0,0750 | $\overline{2},8780$ |                                 |
|   | 698  | 0,1006 | $\overline{1},0253$ |                                 |
|   | 723  | 0,1340 | $\overline{1},1271$ |                                 |
| Na Al <sub>2</sub> O <sub>3</sub><br>для эфира  | 623  | 0,0240 | $\overline{2},3802$ | 14 210                          |
|   | 648  | 0,0385 | $\overline{2},5855$ |                                 |
|   | 673  | 0,0575 | $\overline{2},7597$ |                                 |
|   | 698  | 0,0830 | $\overline{2},9191$ |                                 |
| Na 50 : 50<br>для спирта                        | 623  | 0,0130 | $\overline{2},1139$ | 14 760                          |
|   | 648  | 0,0185 | $\overline{2},2672$ |                                 |
|   | 673  | 0,0360 | $\overline{2},5563$ |                                 |
|   | 698  | 0,0500 | $\overline{2},6990$ |                                 |
|   | 723  | 0,0740 | $\overline{2},8692$ |                                 |
| Na 50 : 50<br>для эфира                         | 623  | 0,0095 | $\overline{3},9777$ | 14 320                          |
|   | 648  | 0,0168 | $\overline{2},2041$ |                                 |
|   | 673  | 0,0260 | $\overline{2},4150$ |                                 |
|   | 698  | 0,0390 | $\overline{2},6911$ |                                 |
|   | 723  | 0,0535 | $\overline{2},7284$ |                                 |
| Na 16 : 84<br>для спирта                        | 673  | 0,0140 | $\overline{2},1461$ | 14 550                          |
|   | 698  | 0,0215 | $\overline{2},3324$ |                                 |
|   | 723  | 0,0325 | $\overline{2},5122$ |                                 |
|   | 748  | 0,0420 | $\overline{2},6231$ |                                 |
| Na 16 : 84<br>для эфира                         | 648  | 0,0070 | $\overline{3},8451$ | 14 500                          |
|   | 673  | 0,0112 | $\overline{2},0492$ |                                 |
|   | 698  | 0,0175 | $\overline{2},2430$ |                                 |
|   | 723  | 0,0250 | $\overline{2},3979$ |                                 |
|   | 748  | 0,0320 | $\overline{2},5051$ |                                 |

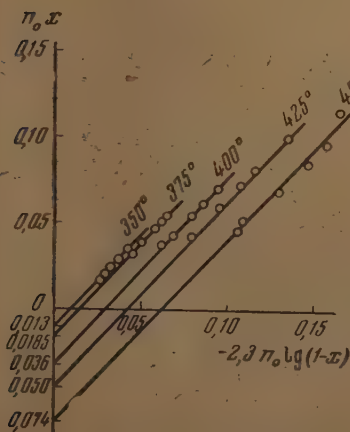


Рис. 7. Кинетика дегидратации спирта на 50 : 50

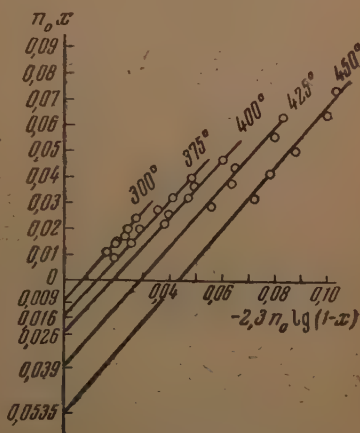


Рис. 8. Кинетика дегидратации эфира на 50 : 50

На рис. 11 и 12 графически представлена зависимость  $\lg k$  от  $1/T$ . рис. 11 и 12 видно, что все прямые как для реакции дегидратации этилового спирта, так и для реакции дегидратации диэтилового эфира на силикатах алюминия и на алюмосиликатах имеют одинаковый наклон и параллельны друг другу, что указывает на то, что энергия активации

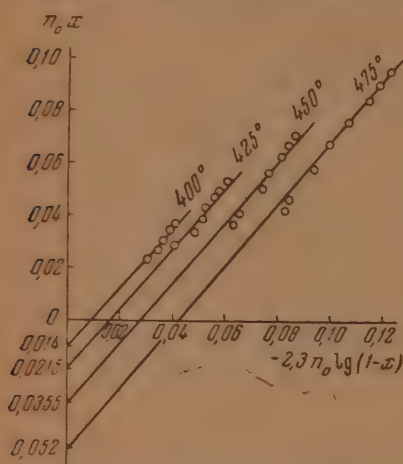


Рис. 9. Кинетика дегидратации спирта на 16:84

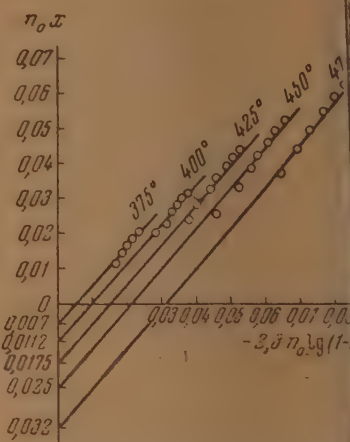


Рис. 10. Кинетика дегидратации эфира на 16:84

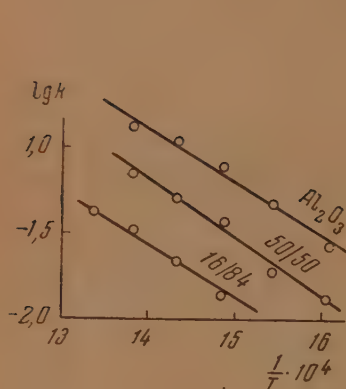


Рис. 11. Зависимость  $\lg k$  от  $\frac{1}{T}$  для дегидратации спирта

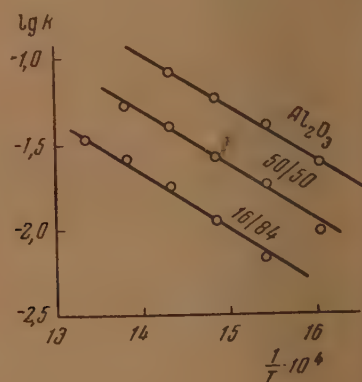


Рис. 12. Зависимость  $\lg k$  от  $\frac{1}{T}$  для дегидратации эфира

образования этилена из этилового спирта и диэтилового эфира на разных катализаторах имеет одинаковое значение, равное в среднем 14500 кал/моль, что хорошо совпадает с данными, известными в литературе [3].

#### ПРИРОДА АКТИВНЫХ ЦЕНТРОВ РЕАКЦИИ ДЕГИДРАТАЦИИ

Нами показано [4], что общая степень превращения спирта в этилен при 320°C растет непрерывно с увеличением содержания окиси алюминия в алюмосиликатных катализаторах, степень же превращения спирта в диэтиловый эфир при этом проходит через максимум. Однако при 250



максимума выхода эфира в зависимости от состава не наблюдается. На основании этих и более поздних [5] данных было сделано заключение об отсутствии активных центров реакции дегидратации спирта и эфира и окись алюминия является основным дегидрирующим компонентом в алюмосиликатных катализаторах.

Однако для такой реакции, как дегидратация спирта, протекающей по консекитивному механизму, определение активности по степени протекания является не строгим и может привести к большим ошибкам [6], особенно, когда стандартные условия для разных катализаторов будут отвечать разным временам контакта, соответствующим восходящей или нисходящей ветви кинетической кривой. Поэтому правильной и определяющей характеристикой активности катализаторов могут служить только константы их скоростей.

Зависимость констант скорости дегидратации спирта и эфира при разных температурах от состава алюмосиликатных катализаторов приведена в табл. 4 и 5 на рис. 13 и 14. В табл. 6 и на рис. 15 приведена зависимость удельной константы скорости дегидратации этилового спирта и эфира от состава катализаторов при 425°C. Из приведенных рисунков видно, что активность, выраженная через константы скорости дегидратации спирта и эфира, является линейной функцией содержания окиси алюминия в алюмосиликатных катализаторах. Интересно заметить, что силикагель до 400°C практически не активен для дегидратации этилового

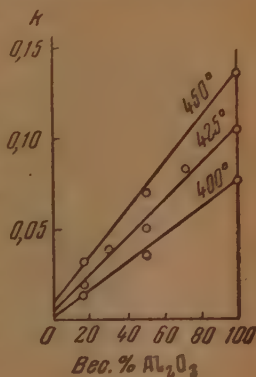


Рис. 13. Зависимость константы скорости дегидратации спирта от содержания  $Al_2O_3$  в катализаторе

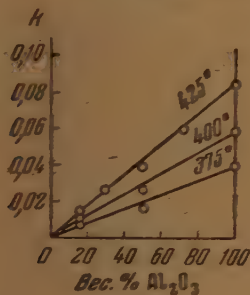


Рис. 14

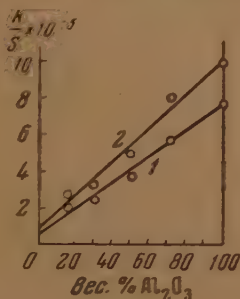


Рис. 15

Рис. 14. Зависимость константы скорости дегидратации эфира от содержания  $Al_2O_3$  в катализаторе

Рис. 15. Зависимость удельной константы скорости дегидратации эфира (кривая 1) и спирта (кривая 2) от содержания  $Al_2O_3$  в катализаторе при 425°C

спирта и эфира. Заметная каталитическая активность силикагеля проявляется лишь при температуре выше 400°C.

Значения констант скоростей, отнесенных к одному атому алюминия на поверхности катализатора, приведены в табл. 7\*. Из таблицы видно, что константа скорости дегидратации спирта и эфира, отнесенная к од-

\* При вычислении этих данных было сделано допущение, что окись алюминия распределяется равномерно как на поверхности, так и в объеме. Площадка каталитически активной ячейки была принята равной  $8\text{ \AA}^2$ .

Таблица 4

| Состав катализатора в вес. %   |                  | Константы скорости |       |       |
|--------------------------------|------------------|--------------------|-------|-------|
| Al <sub>2</sub> O <sub>3</sub> | SiO <sub>2</sub> | 400°               | 425°  | 450°  |
| 16                             | 84               | 0,014              | 0,019 | 0,032 |
| 30                             | 70               | —                  | 0,034 | —     |
| 50                             | 50               | 0,036              | 0,050 | 0,074 |
| 72                             | 28               | —                  | 0,083 | —     |
| 100                            | 0                | 0,075              | 0,101 | 0,134 |

Таблица 5

| Состав катализатора в вес. %   |                  | Константы скорости |        |        |
|--------------------------------|------------------|--------------------|--------|--------|
| Al <sub>2</sub> O <sub>3</sub> | SiO <sub>2</sub> | 375°               | 400°   | 425°   |
| 16                             | 84               | 0,0070             | 0,0112 | 0,0145 |
| 30                             | 70               | —                  | —      | 0,0260 |
| 50                             | 50               | 0,0168             | 0,0260 | 0,0390 |
| 72                             | 28               | —                  | —      | 0,0590 |
| 100                            | 0                | 0,0385             | 0,0575 | 0,0830 |

Таблица 6

| Состав катализатора в вес. %   |                  | Удельн. поверхность (ЛОТ)<br>в $\frac{м^2}{см^2}$ | Насыпной вес<br>в $\frac{г}{см^3}$ | Удельная константа скорости дегидратации |  |
|--------------------------------|------------------|---|------------------------------------|--|--|
| Al <sub>2</sub> O <sub>3</sub> | SiO <sub>2</sub> |   |                                    | спирта<br>$\frac{k_1}{S} \cdot 10^{-4}$  | эфира<br>$\frac{k_2}{S} \cdot 10^{-4}$ |
| 16                             | 84               | 440   | 0,48                               | 2,9                                      | 2,1                                    |
| 30                             | 70               | 500   | 0,49                               | 3,3                                      | 2,6                                    |
| 50                             | 50               | 460   | 0,57                               | 4,9                                      | 3,9                                    |
| 72                             | 28               | 420   | 0,61                               | 8,3                                      | 5,9                                    |
| 100                            | 0                | 250   | 0,67                               | 10,0                                     | 7,9                                    |

Таблица 7

| Состав катализатора в вес. %   |                  | Число атомов на поверхности<br>1 см <sup>2</sup> катализатора<br>$N \cdot 10^{-16}$ | Константа скорости дегидратации, отнесенная к 1 атому алюминия на поверхности катализатора |  |
|--------------------------------|------------------|---|--|--|
| Al <sub>2</sub> O <sub>3</sub> | SiO <sub>2</sub> |   | для спирта<br>$\frac{k_1}{N} \cdot 10^{16}$  | для эфира<br>$\frac{k_2}{N} \cdot 10^{16}$ |
| 16                             | 84               | 4,2   | 4,6  | 3,5  |
| 30                             | 70               | 9,2   | 3,6  | 3,3  |
| 50                             | 50               | 16,4  | 3,0  | 2,4  |
| 72                             | 28               | 25,6  | 3,2  | 2,3  |
| 100                            | 0                | 21,0  | 4,8  | 3,9  |

му атому алюминия, является величиной постоянной, не зависящей от состава катализатора. Аналогичные данные были получены и Г. К. Боресвым с сотрудниками [7].

Все установленные факты — линейная зависимость констант скорости гидратации этилового спирта и эфира от состава катализатора, практическое равенство кажущейся энергии активации этих реакций на окиси алюминия и алюмосиликатах, постоянство значений констант скорости, отнесенных к одному атому алюминия катализатора, а также неменность констант скорости для дегидратации спирта и эфира на исходном и отравленном ионами натрия катализаторе [5], — указывают на то, что активные центры для реакции дегидратации этилового спирта и диэтилового эфира являются одними и теми же и что окись алюминия является основным активным компонентом алюмосиликатных катализаторов реакции дегидратации спирта и эфира. На основании полученных данных можно сделать вывод, что ион водорода алюмосиликатной структуры, принимающий участие в реакциях углеводородов, не оказывает заметного каталитического действия на реакцию дегидратации, которая связана с гидроксильными группами алюминия.

### ВЫВОДЫ

1. Даны уравнения, описывающие постадийно кинетику дегидратации этилового спирта на окиси алюминия и алюмосиликатных катализаторах. Показано, что кинетика первой стадии — дегидратации спирта и эфира — описывается уравнением (11) бимолекулярной обратимой гетерогенной реакции в потоке, когда один из продуктов реакции адсорбируется сильно. Для средних температур кинетика превращения спирта в этилен описывается уравнением (5), в которое введен множитель  $x_p$ , учитывающий образование эфира по последовательной схеме реакции — превращения эфира в этилен и спирта в этилен при высоких температурах (выше 350°C) показана применимость уравнения (1), выведенного Г. М. Панченковым.
2. Найдено, что тепловой эффект каталитической дегидратации этилового спирта в диэтиловый эфир равен 21 700 кал/моль. Кажущаяся энергия активации прямой реакции равна 22 600 кал/моль, а кажущаяся энергия активации обратной реакции — 3500 кал/моль.
3. Установлено, что энергия активации образования этилена из этилового спирта и диэтилового эфира на окиси алюминия и алюмосиликатных катализаторах разного состава имеет одинаковое значение, равное 15 500 кал/моль.
4. Показана однотипность активных центров для реакции дегидратации спирта и эфира на окиси алюминия и алюмосиликатных катализаторах и что основным дегидратирующим компонентом в алюмосиликатах является свободная окись алюминия с гидроксильными группами на поверхности. Ион водорода алюмосиликатной структуры, принимающий участие в реакциях углеводородов, не оказывает заметного каталитического действия на реакцию дегидратации.

Московский государственный  
университет им. М. В. Ломоносова

Поступила  
4.III.1955

### ЛИТЕРАТУРА

- К. В. Топчиева и К. Юн-Пин, Вестник МГУ, № 2, 89, 1953.  
Г. М. Панченков, Журн. физ. химии, 22, 209, 1948.  
Т. В. Антипина, Канд. диссертация, Москва, МГУ, 1949.  
К. В. Топчиева и К. Юн-Пин, Вестник МГУ, № 12, 39, 1952.  
К. В. Топчиева и К. Юн-Пин, ДАН, 101, 305, 1955.  
А. В. Фрост, Изв. Туркм. филиала АН СССР, 3, 58, 1949.  
Г. К. Боресков, В. А. Дзясько и Н. П. Ясевич, Журн. физ. химии, 28, 835, 1954.

## ИССЛЕДОВАНИЕ СТЕКЛЯННОГО ЭЛЕКТРОДА МЕТОДОМ РАДИОАКТИВНЫХ ИНДИКАТОРОВ

Н. А. Измайлов и А. Г. Васильев

Попытки применения стеклянного электрода для измерения pH концентрированных растворов кислот показали [1—3], что в растворах с pH ниже 1—2 потенциал стеклянного электрода отклоняется от потенциала водородного электрода. По абсолютной величине эти отклонения возрастают с ростом концентрации кислоты, по знаку противоположны ранее обнаруженным щелочным ошибкам стеклянного электрода.

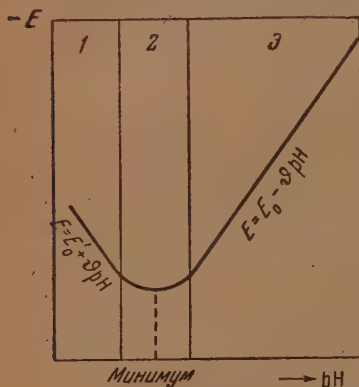


Рис. 1. Вид калибровочной кривой стеклянного электрода в кислой области

в связи с чем ошибки стеклянного электрода в кислых растворах были названы «отрицательными» или «кислыми» ошибками.

При одном и том же pH величина кислотной ошибки зависит от природы кислоты и состава электрода.

Проводя калибровку стеклянных электродов в очень широком диапазоне pH, Н. А. Измайлов и А. М. Александрова [4, 5] впервые обнаружили, что калибровочная кривая стеклянного электрода из стекла Юза в сильнокислой области проходит через явно выраженный минимум (рис. 1). Калибровочная кривая стеклянного электрода из стекла Маджунеса и Дола хотя и обнаруживает в кислой области отступление от прямолинейности, через минимум обычно не проходит.

Интересно отметить, что угловой коэффициент для «отрицательной» ветви калибровочной кривой по абсолютной величине имеет то же значение, что и угол наклона «положительной» ветви:  $\varphi = 58$  мВ. Таким образом, калибровочная кривая стеклянного электрода из стекла Юза в кислой области имеет симметричный вид (рис. 1).

Сравнение свойств стеклянного электрода из стекла Юза в растворах различных кислот, проведенное Н. А. Измайловым и А. М. Александровой [6], показало, что положение минимума калибровочной кривой определяется природой кислоты. Так, в растворах HCl минимум наблюдался при  $\text{pH} \approx -0,2$ , а в растворах  $\text{H}_2\text{SO}_4$  — при  $\text{pH} \approx -0,9$ . Начало отклонений калибровочной кривой от прямолинейности наблюдалось соответственно при  $\text{pH} = 1$  для HCl и  $\text{pH} = -0,2$  для  $\text{H}_2\text{SO}_4$ . Н. А. Измайлов и А. М. Александрова [7, 8] показали экспериментально, что в сильно кислой области (при  $\text{pH} < \text{pH}_{\text{мин}}$ ) стеклянный электрод приобретает функцию обратимого анионного электрода. Так, в сериях растворов, составленных из солей в концентрированных растворах соответствующих кислот, потенциал стеклянного электрода обнаруживал линейную зависимость от логарифма активности анионов. Следовательно, в сильно кислых растворах стеклянный электрод становится электродом второго рода. Теоретических истолкований такого превращения нет.

Теория стеклянного электрода Б. П. Никольского [9, 10], в основе которой лежат представления об обмене ионами водорода и натрия (или другими катионами) между стеклом и раствором, хорошо объясняет водородную, катионную и смешанную водородно-катионную функцию стеклянного электрода. Вместе с тем теория Б. П. Никольского не рассматривает поведения стеклянного электрода в сильно кислых растворах, в которых стеклянный электрод приобретает функцию анионного электрода. Пересмотр представлений об ионном обмене на кислую область встречает определенные трудности, так как согласно сложившимся представлениям анионы в стекле связаны молекулами и не способны перемещаться, а тем более обмениваться на анионы из раствора.

Теория «кислых» ошибок Дола [3, 11], предполагающая участие молекул воды в электродном процессе, как показали работы Н. А. Измайлова с сотрудниками [6, 12—14], не выдерживает экспериментальной проверки.

В настоящее время в литературе отсутствуют сколько-нибудь обоснованные представления о механизме ошибок стеклянного электрода.



кислотах. Это указывает на необходимость систематического исследования взаимодействия стеклянного электрода с анионами, а также с катионами в кислых растворах.

В данной работе выяснялся механизм ошибок стеклянного электрода, возникающих в кислой области. Для этого методом радиоактивных индикаторов исследовалась адсорбция анионов и катионов на стеклянном электроде в кислой области. Высокая чувствительность метода позволила количественно измерять сорбционные эффекты непосредственно на поверхности стекла уже при нескольких минутах погружения, т. е. при времени, соответствующем времени измерения рН со стеклянным электродом. Измеренные в определенных условиях величины сорбционных эффектов сопоставлены со значениями потенциала, приобретаемого стеклянным электродом в этих же условиях.

В работе применялись радиоактивные изотопы  $\text{Br}^{82}$  (период полураспада  $T = 34$  часа),  $\text{S}^{35}$  ( $T = 87,1$  дня),  $\text{Na}^{24}$  ( $T = 15,1$  часа) и  $\text{Ca}^{45}$  ( $T = 152$  дня).

Объектами исследования служили шарообразные стеклянные электроны и стеклянные пластинки из электродного и неэлектродного стекла. Характер адсорбционных зависимостей для электродов и пластинок был тем же. Основная часть измерений проведена со стеклянными пластинками, так как в этом случае наблюдаемые сорбционные эффекты легко получают количественное выражение.

Уровень погружения стеклянных электродов в растворы стандартизировался. Для облегчения количественной интерпретации погружение стеклянных пластинок осуществлялось таким образом, что с раствором соприкасалась только одна грань пластинки, тщательно отполированная. Стеклянные пластинки обрабатывались растворами соляной кислоты точно так же, как и стеклянные электроды. Специальные опыты показали, что адсорбционная емкость подготовленных таким образом пластинок падала в пределах 15—20%. Равномерность поглощения контролировалась путем получения радиоавтографов излучающей поверхности. Промывка образцов производилась в воспроизводимых условиях.

Измерение радиоактивности пластинок производилось при помощи счетчика с тонким слюдяным окном, помещенного в свинцовую защиту. Исследуемые образцы размещались в стандартных условиях по отношению к счетчику.

Измеренные интенсивности излучения для стеклянных пластинок рассчитывались на адсорбцию ионов на  $1 \text{ см}^2$  видимой поверхности стекла по формуле:

$$N = \frac{(P + P^*) N_A I_0}{I_0^* \eta S}, \quad (1)$$

где  $N$  — число адсорбированных ионов на  $1 \text{ см}^2$  видимой поверхности;  $P$  — количество стабильного элемента в исследуемом растворе в граммах;  $P^*$  — количество элемента в радиоактивном препарате, вводимом в раствор, выраженное в грамм-атомах;  $N_A$  — число Авогадро;  $I_0$  — зарегистрированная счетчиком интенсивность излучения в имп./мин., пересчитанная на условный нуль времени;  $I_0^*$  — полная интенсивность излучения данного раствора в имп./мин., пересчитанная на условный нуль времени;  $\eta$  — коэффициент счета;  $S$  — площадь стеклянной пластинки ( $\text{см}^2$ ).

За условный нуль времени принималось определенное значение времени между началом и концом данной серии измерений. Пересчет производился на основании основного закона радиоактивного распада:

$$\lg I_0 = \lg I + \frac{\lambda}{2,3} \tau; \quad (2)$$

$$\lg I_0^* = \lg I^* + \frac{\lambda}{2,3} \tau^*; \quad (3)$$

где  $I$  — зарегистрированная счетчиком интенсивность излучения, имп./мин. за вычетом фона;  $\lambda$  — постоянная распада ( $\lambda = 0,69/T$ );  $\tau$  — время в минутах от момента измерения до времени, соответствующего условному нулю [со знаком плюс (+), если измерение проводилось после условного нуля времени, и со знаком минус (—), если измерение проводилось до условного нуля];  $I^*$  — интенсивность излучения вводимого в раствор радиоактивного препарата (по паспорту);  $\tau^*$  — время от момента измерения радиоактивности препарата (по паспорту) до условного нуля времени.

Коэффициент счета  $\eta$  равен отношению зарегистрированной счетчиком интенсивности излучения к полному значению интенсивности излучения от данного образца. Для определения величины  $\eta$  для данных геометрических условий и для данного изотопа на поверхность пластинок тонким равномерным слоем наносился радиоактивный препарат с известной интенсивностью излучения, рассчитанной по данным, взятым из паспорта радиоактивного препарата.

Поправки на распад [уравнение (2)] вводились лишь при работе с короткоживущими изотопами  $\text{Br}^{82}$  и  $\text{Na}^{24}$ .

В результате предварительных опытов было установлено, что число ионов данного сорта, адсорбированных поверхностью стекла, зависит от ряда факторов, в том числе от кислотности раствора, концентрации адсорбируемых ионов, времени погружения в раствор и времени промывки. Эти зависимости исследовались в работе.

Опыты с  $\text{Br}^{82}$  проводились в сериях растворов, составленных из  $\text{HBr}$  и  $\text{NaBr}$  таким образом, что общая концентрация ионов брома и удельная радиоактивность большинства растворов каждой серии оставались постоянными.

Результаты исследования в первой серии растворов приведены в табл. 1. В третьем столбце таблицы указано время погружения в раствор. Для раствора с  $\text{pH} = -0,56$  уравнение (1) записывается:

Таблица 1

Зависимость интенсивности излучения стеклянных пластинок из стекла Юза от  $\text{pH}$  раствора, времени погружения и времени промывки (первая серия)

| pH    | с <sub>Br</sub> | t            | I, после промывки в мл |     |     |     |      |      |
|-------|-----------------|--------------|------------------------|-----|-----|-----|------|------|
|       |                 |              | 2                      | 5   | 10  | 830 | 4110 | 8210 |
| —0,56 | 6,03            | 15 мин.      | 158                    | 119 | 103 | 82  | 79   | 68   |
| —0,56 | 6,03            | 1 ч. 30 мин. | 290                    | 262 | 213 | 198 | 197  | 164  |
| —0,56 | 6,03            | 4 ч. 30 мин. | —                      | —   | 428 | —   | 360  | —    |
| —0,56 | 6,03            | 6 ч. 09 мин. | —                      | —   | 449 | —   | 396  | —    |
| —0,20 | 2,48            | 15 мин.      | 117                    | 77  | 80  | 67  | 63   | 61   |
| —0,20 | 2,48            | 1 ч. 30 мин. | 155                    | 143 | 143 | 132 | 124  | 110  |
| 0,13  | 2,48            | 15 мин.      | 162                    | 128 | 104 | 91  | 83   | 70   |
| 0,13  | 2,48            | 1 ч. 30 мин. | 218                    | 197 | 160 | 156 | 147  | 146  |
| 0,13  | 2,48            | 4 ч. 01 мин. | —                      | —   | 295 | —   | 250  | —    |
| 0,40  | 2,48            | 15 мин.      | 96                     | 66  | 60  | 54  | 52   | 44   |
| 0,40  | 2,48            | 1 ч. 30 мин. | 163                    | 137 | 133 | 112 | 112  | 97   |
| 1,10  | 2,48            | 15 мин.      | 178                    | 32  | 34  | 0   | 0    | —    |
| 1,10  | 2,48            | 1 ч. 30 мин. | 92                     | 68  | 40  | —   | —    | —    |
| 1,27  | 2,48            | 15 мин.      | 51                     | 27  | 9   | 7   | 7    | —    |
| 1,27  | 2,48            | 1 ч. 30 мин. | 67                     | 48  | 36  | 38  | 36   | 33   |
| 7,0   | 2,48            | 15 мин.      | 30                     | 27  | 28  | 15  | 13   | 9    |
| 7,0   | 2,48            | 1 ч. 30 мин. | 13                     | 8   | 7   | 7   | 7    | 8    |
| 12,5  | 0,076           | 15 мин.      | 52                     | 24  | 0   | 0   | 0    | —    |
| 12,5  | 0,076           | 1 ч. 30 мин. | 24                     | 0   | 0   | 0   | 0    | 8    |

как  $N = 8,40 \cdot 10^{13} I_0$  атом/см<sup>2</sup>; для растворов с рН от  $-0,2$  до  $7$  — как  $= 5,75 \cdot 10^{13} I_0$  атом/см<sup>2</sup>.

Раствор с рН =  $12,5$  исследовался для сравнения. Этот раствор представлял собой щелочной буферный раствор, меченный солью  $\text{NaBr}^{82}$ . Для этого раствора  $N = 5,86 \cdot 10^{11} I_0$  атом/см<sup>2</sup>. Табл. 1 показывает, что адсорбция ионов брома в щелочных, нейтральных и слабо кислых растворах практически не наблюдается. При увеличении кислотности вплоть до значений рН =  $1-2$  наблюдаются заметные сорбционные эффекты, которые резко возрастают при дальнейшем уменьшении рН раствора (рис. 2). Табл. 1 также показывает, что адсорбированные ионы десорбируются в процессе промывки, хотя десорбция протекает довольно медленно. Кре-

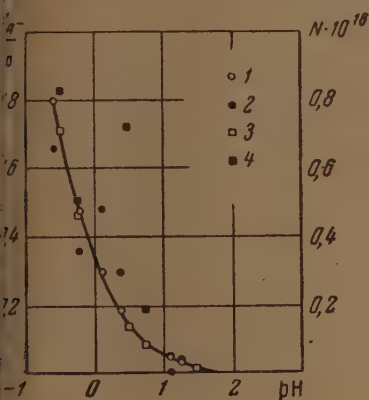


Рис. 2

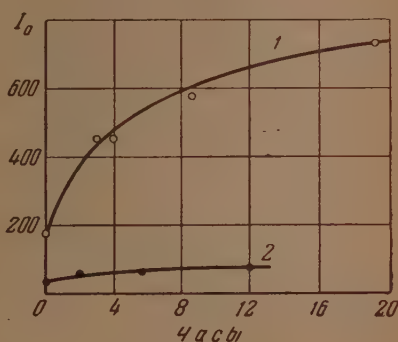


Рис. 3

Рис. 2. Адсорбция ионов брома на стекле Юза.  $t = 15$  мин.,  $V = 4100$  мл. 1 — 1-я серия, рассчитанная 2 — 1-я серия, экспериментальная, 3 — 2-я серия, рассчитанная, 4 — 2-я серия, экспериментальная

Рис. 3. Адсорбция ионов брома на стеклянных электродах в  $6N$   $\text{HCl}$ . 1 — стекло Юза, 2 — стекло Мак-Иннеса и Дола

е того, приведенные данные показывают, что число адсорбированных в данном растворе анионов возрастает со временем погружения. В сильно кислых растворах за время опытов адсорбционное равновесие еще не достигалось. Справедливость этого положения для электродов (из стекла Юза) иллюстрируется рис. 3. На рис. 3 представлена зависимость интенсивности излучения двух стеклянных электродов от времени погружения в раствор  $6N$   $\text{HCl} + 1,65$  г/л  $\text{NaBr}^{82}$ . Электроды имели приблизительно одинаковые размеры и располагались на равном расстоянии от окна счетчика.

Представленные результаты показывают, что при сопоставлении данных адсорбцию следует относить к определенному значению времени погружения и промывки (в стандартных условиях).

Результаты измерений во второй серии растворов  $\text{HBr}$  (при 15 мин. погружения и 4100 мл промывной воды) представлены на рис. 2. Во второй серии растворов рН изменялся от  $-0,46$  до  $7$ . В растворе с рН =  $-0,46$   $c_{\text{Br}} = 4,56$  н.,  $N = 4,64 \cdot 10^{14} I_0$  атом./см<sup>2</sup>; в остальных растворах  $c_{\text{Br}} = 2,33$  н.,  $N = 2,32 \cdot 10^{14} I_0$  атом. см<sup>2</sup>. Зависимости адсорбции от времени погружения и промывки точно такие же, как и в первой серии.

Нами исследовалась также адсорбция анионов в растворах  $\text{Na}_2\text{SO}_4$  в воде и в водных растворах  $\text{H}_2\text{SO}_4$ . Установлено, что адсорбция анионов в нейтральных и кислых растворах вплоть до  $16,5N$  не наблюдается. При дальнейшем увеличении концентрации кислоты, как видно из рис. 4,

адсорбция анионов резко возрастает. Серная кислота с концентрацией выше  $16,2N$  представляла собой насыщенные растворы  $\text{Na}_2\text{SO}_4$  в  $\text{H}_2\text{SO}_4$ . В этих растворах  $N = 2,18 \cdot 10^{13} / \text{о}$  атом/см<sup>2</sup>. Отдельные опыты в концентрированных растворах показали, что адсорбция анионов в серной кислоте возрастает со временем погружения, а десорбция является медленным процессом. В целом характер адсорбции анионов в бромистодородной и серной кислотах совпадает.

Для выяснения механизма адсорбции анионов проведено исследование адсорбции ионов натрия в растворах соляной кислоты с концентрацией от 0,06 до 6,0 н. (табл. 2) и ионов кальция в растворе азотной кислоты

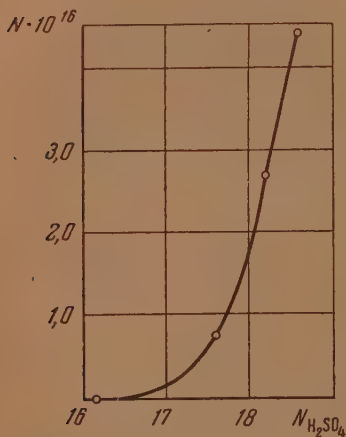


Рис. 4. Адсорбция анионов на стекле Юз в растворах серной кислоты

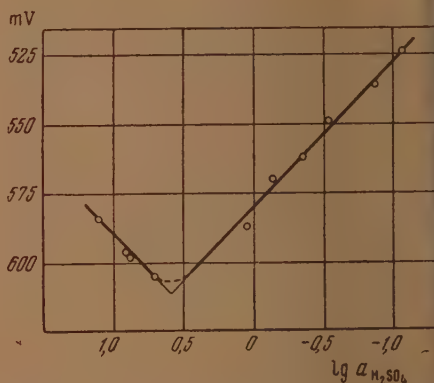


Рис. 5. Электродвижущая сила элемента со стеклянным электродом из стекла Юз в растворах серной кислоты

с  $\text{pH} = -0,5$ . Полученные данные показывают, что адсорбция катионов в сильно кислой области не имеет места. Адсорбция ионов натрия за несколько часов погружения не выходила за пределы  $10^{14}$  атом./см<sup>2</sup>, что составляет величину  $\sim 0,001$  от адсорбции ионов брома при этих же условиях. Адсорбция ионов кальция в  $\text{HNO}_3$  не наблюдалась.

Таблица 2

Адсорбция ионов натрия на стекле Юз в растворах  $\text{HCl}$   
(при 4100 мл промывной воды)

| $c_{\text{HCl}}$ | $t$           | $I_0$ | $N$                 |
|------------------|---------------|-------|---------------------|
| 6,00             | 0 ч. 30 мин.  | 7     | $5,0 \cdot 10^{13}$ |
| 6,00             | 2 ч. 00 мин.  | 15    | $1,1 \cdot 10^{14}$ |
| 6,00             | 9 ч. 05 мин.  | 32    | $2,3 \cdot 10^{14}$ |
| 6,00             | 14 ч. 49 мин. | 17    | $1,2 \cdot 10^{14}$ |
| 3,00             | 1 ч. 30 мин.  | 9     | $6,5 \cdot 10^{13}$ |
| 3,00             | 8 ч. 35 мин.  | 2     | $1,4 \cdot 10^{13}$ |
| 0,60             | 1 ч. 30 мин.  | 4     | $2,9 \cdot 10^{13}$ |
| 0,60             | 8 ч. 35 мин.  | 0     | 0                   |
| 0,06             | 1 ч. 30 мин.  | 0     | 0                   |
| 0,06             | 8 ч. 35 мин.  | 0     | 0                   |



Сравнение величины ошибок стеклянного электрода в растворах кислот с величиной адсорбции анионов показывает, что «кислые» ошибки теклянного электрода вызываются проникновением анионов из раствора в поверхностный слой стекла. Так, с возрастанием кислотности раствора возрастает и величина «кислых» ошибок и адсорбция.

В работе установлено, что адсорбция анионов в растворах  $\text{HBr}$  наступает при значительно более низких концентрациях, чем в растворах  $\text{H}_2\text{SO}_4$ . В соответствии с

этим ошибки в растворах серной кислоты наступают при значительно более высоких концентрациях, чем в растворах  $\text{HBr}$ .

Мы проводили калибровку стеклянного электрода, изготовленного из того же образца стекла Юза, который шел на изготовление пластинок, в растворах серной и бромистоводородной кислот.

Калибровочная кривая для серной кислоты представлена на рис. 5. Активность растворов  $\text{H}_2\text{SO}_4$  вычислялась при помощи

коэффициентов активностей [15]. Из рисунка следует, что калибровочная кривая распадается на «положительную» и «отрицательную» ветви с нормальным углом наклона ( $\vartheta \approx 58 \text{ mV}$ ). Минимум калибровочной кривой лежит при значении  $\lg a_{\text{H}_2\text{SO}_4} = 0,60$ . На отрицательной ветви кривой располагаются точки, отвечающие концентрациям  $\text{H}_2\text{SO}_4$  в 26,0; 22,1; 21,6 и 18,5 г-экв./л. На положительной ветви находятся точки, отвечающие концентрациям от 9,90 до 1,08 г-экв./л.

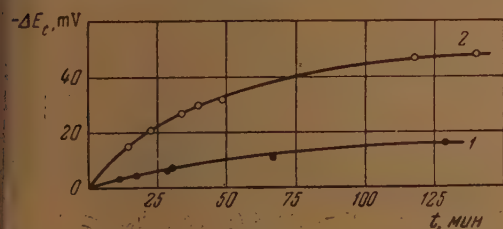


Рис. 7. Изменение потенциала стеклянного электрода из стекла Юза во времени. 1 — 18,5N  $\text{H}_2\text{SO}_4$ , 2 — 21,1N  $\text{H}_2\text{SO}_4$ .

(в координатах:  $-E = f(\text{pH})$ ) наблюдается при  $\text{pH} = -0,26$ .

Приведенные электрохимические данные в сравнении с адсорбционными показывают, что граница между областью водородной функции стеклянного электрода и областью смешанной водородно-анионной функции совпадает с границей адсорбции анионов, а положение минимума калибровочной кривой соответствует области наиболее интенсивного возрастания адсорбции анионов.

Потенциал стеклянного электрода в сильно кислых растворах, как указывает ряд авторов [4,16], является неустойчивым и «ползет» во времени. Это особенно хорошо заметно на тех стеклянных электродах, которые дают значительные «кислые» ошибки. На рис. 6 представлен график, построенный нами по данным работы Синклера и Мартелла [16]. По оси ординат отложено значение «кислой» ошибки  $\Delta E = (E - 351,8) \text{ mV}$ , где 351,8 mV — значение э. д. с. цепи, стеклянный электрод — водородный

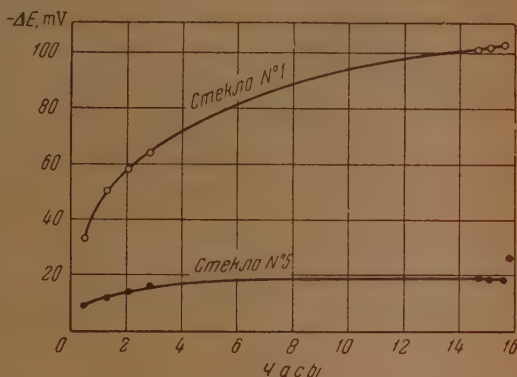


Рис. 6. Зависимость кислой ошибки стеклянного электрода от времени погружения в 5N  $\text{HCl}$ .

электрод в области средних значений pH. Стекло № 1 по составу (72%  $\text{SiO}_2$ , 6%  $\text{CaO}$ , 22%  $\text{Na}_2\text{O}$ ) представляет собой типичное электродное стекло. Стекло № 5 (56,8  $\text{SiO}_2$ , 2,6%  $\text{CaO}$ , 23,4%  $\text{Na}_2\text{O}$ , 17,2%  $\text{Al}_2\text{O}_3$ ) — неэлектродное стекло. Из рис. 6 видно, что потенциал стеклянного электро-

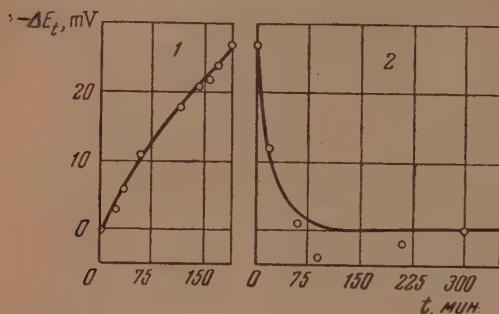


Рис. 8. Изменение потенциала стеклянного электрода из стекла Юза во времени; 1—5,4N HBr, 2 — буферный раствор с pH = 4,35

В концентрированных растворах  $\text{H}_2\text{SO}_4$  в наших опытах также наблюдалось изменение потенциала во времени. На рис. 7 представлена зависимость величины  $\Delta E_t = E - E_0$ , где  $E$  — э. д. с. элемента в данный момент времени,  $E_0$  — э. д. с. элемента в начальный момент времени. Как видно из рис. 7, величина «кислой» ошибки в  $\text{H}_2\text{SO}_4$  (так же как и в HBr) возрастает со временем погружения и стремится к некоторому пределу. Этот предел тем выше, чем выше концентрация кислоты. Сопоставление зависимости потенциала от времени погружения (рис. 6, 7) с зависимостью адсорбции анионов от времени погружения (табл. 1, рис. 3) показывает, что неустойчивость потенциала стеклянного электрода вызывается проникновением анионов в глубинные слои поверхностного слоя стеклянного электрода.

Интересно отметить, что после продолжительного выдерживания в сильно кислых растворах стеклянный электрод приобретает нормальные значения потенциала в нейтральных растворах лишь через определенное время (кислотный гистерезис потенциала стеклянного электрода). На рис. 8 приведены экспериментальные данные, иллюстрирующие это положение.

Если проводить быструю калибровку стеклянного электрода, предварительно выдержанного в концентрированном растворе кислоты, можно получить линейный участок калибровочной кривой, который, однако, будет смещен по оси потенциалов на величину  $\Delta E_t$ , зависящую от времени пребывания электрода в концентрированной кислоте. После продолжительного пребывания в растворах со средним значением pH калибровочные кривые совпадают. На рис. 9 показано смещение линейных участков калибровочных кривых после 15-часовой обработки стеклянного электрода раствором 5,4 N HBr.

из типичного электродного стекла, дающего большую ошибку, не достигает равновесного значения даже за 15 час. погружения.

В соответствии с этим наших опытах (рис. 3) стеклянные электроды из стекла Юза, дающие большую ошибку, чем стеклянные электроды из стекла Дола, адсорбировали большее число анионов. Адсорбционное равновесие на стекле Юза полностью не устанавливалось даже при 19 час. взаимодействия. В целом рис. 3 и 6 совершенно подобны

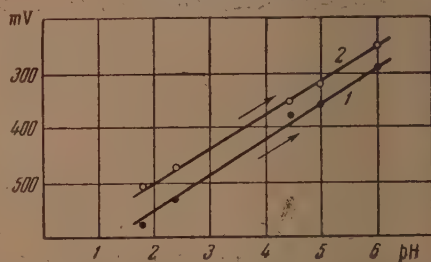


Рис. 9. Гистерезис потенциала стеклянного электрода. 1 — линейный участок калибровочной кривой, 2 — тот же участок после 15 час. обработки 5,4N HBr

Приведенные факты указывают на то, что потенциал стеклянного электрода определяется адсорбцией ионов на поверхности раздела стекло—раствор и быстро изменяется при изменении pH раствора. Проникшие же глубинные слои поверхностной пленки стеклянного электрода ионы изменяют только потенциал асимметрии стеклянного электрода, обусловленный различным состоянием внутреннего и наружного набухшего слоя стеклянной мембраны\*.

Взаимодействие анионов с поверхностью стекла носит, повидимому, сложный характер. Можно предположить, что в сильно кислой области происходит обмен анионов из раствора на ионы  $\text{OH}^-$  в стекле. Такое предположение обсуждалось в нашей работе [17]. В частности, было показано, что на основе рассмотрения равновесного распределения анионов между стеклянной фазой и раствором может быть выведено уравнение:

$$E = E_0^* - \frac{RT}{F} \ln (a_{\text{OH}^-} + K_A a_{\text{A}^-}), \quad (4)$$

где  $E_0^*$  — нулевой потенциал стеклянного электрода;  $a_{\text{OH}^-}$  — активность гидроксильных ионов в растворе

$$K_A = \frac{a'_{\text{A}^-} a_{\text{OH}^-}}{a_{\text{OH}^-} a_{\text{A}^-}}$$

— константа ионного обмена анионов в кислой области;  $a'_{\text{A}^-}$  и  $a'_{\text{OH}^-}$  — активности анионов в стекле,  $a_{\text{A}^-}$  и  $a_{\text{OH}^-}$  — активности анионов в растворе.

Выражение (4) является уравнением калибровочной кривой (рис. 1) и правильно описывает поведение стеклянного электрода в нейтральных и кислых растворах. В сильно кислой области 1 (рис. 1)  $a_{\text{OH}^-} \ll K_A a_{\text{A}^-}$  — стеклянный электрод приобретает полную анионную функцию:

$$E = E'_0 - \frac{RT}{F} \ln a_{\text{A}^-}, \quad (5)$$

где

$$E'_0 = E_0^* - \frac{RT}{F} \ln K_A.$$

В отсутствие солей, например, в растворах HCl, где  $a_{\text{Cl}^-} \approx a_{\text{H}^+}$ , уравнение (5) примет вид:

$$E = E'_0 - \frac{RT}{F} \ln a_{\text{H}^+} = E'_0 + \vartheta \text{ pH}, \quad (6)$$

где  $\vartheta = \frac{RT}{F} 2,3$ .

В слабокислых и нейтральных растворах (область 3 на рис. 1)  $a_{\text{OH}^-} \gg K_A a_{\text{A}^-}$  и стеклянный электрод приобретает функцию водородного электрода:

$$E = E_0 + \frac{RT}{F} \ln a_{\text{H}^+} = E_0 - \vartheta \text{ pH}, \quad (7)$$

где  $E_0 = E_0^* - \frac{RT}{F} \ln K_w$ ;  $K_w$  — ионное произведение воды.

Сравнение уравнений (4), (6) и (7) показывает, что в переходной области 2 (рис. 1) калибровочная кривая должна проходить через мини-

\* Весьма небольшие различия в составе электродного стекла (например, стекла Оза и Мак-Иннеса и Дола) приводят к резко различным величинам «кислых» ошибок, соответственно, адсорбции анионов. Кроме того, отдельные опыты, проведенные на образцах одинакового состава, но разного возраста, указывают на изменение и величин «кислых» ошибок, и адсорбции анионов на стекле при его старении.

мум в координатах:  $-E = f(\text{pH})$ , что находится в полном соответствии с экспериментом.

Очевидно, что положение минимума будет наблюдаться при

$$a_{\text{A}^-} K_{\text{A}} = a_{\text{OH}^-} = \frac{K_{\text{w}}}{a_{\text{H}^+}} \quad (8)$$

Вводя в (8)  $a_{\text{A}^-} \approx a_{\text{H}^+}$ , получим

$$K_{\text{A}} = \frac{K_{\text{w}}}{a_{\text{H}^+}^2} \quad \text{или} \quad \text{p}K_{\text{A}} = \text{p}K_{\text{w}} - 2(\text{pH})_{\text{мин}} \quad (9)$$

Уравнение (9) позволяет вычислять константы обмена анионов в кислой области из электрохимических данных. Так, например, калибровочная кривая из стекла Юза в водных растворах НВг проходит через минимум при  $\text{pH} = -0,26$  (см. выше). Отсюда по формуле (9) константа обмена  $K_{\text{A}} = 3,0 \cdot 10^{-15}$ . Заменяя в выражении константы обмена анионов  $K_{\text{A}}$  активности ионов в стеклянной фазе их концентрациями  $N$ , выраженными числом соответствующих ионов в единице объема стеклянной фазы, получим

$$K_{\text{A}} = \frac{N_{\text{A}^-} a_{\text{OH}^-}}{N_{\text{OH}^-} a_{\text{A}^-}} \quad (10)$$

Теория стеклянного электрода [9,10] предполагает постоянство чисел мест для обменивающихся ионов в стеклянной фазе. Для нашего случая можно записать:  $N_{\text{A}^-} + N_{\text{OH}^-} = N_0 = \text{const}$ . Подставляя в (10)  $N_{\text{OH}^-} = N_0 - N_{\text{A}^-}$  и решая полученное уравнение относительно  $N_{\text{A}^-}/N_0$ , найдем

$$\frac{N_{\text{A}^-}}{N_0} = \frac{1}{1 + \frac{K_{\text{w}}}{a_{\text{H}^+} K_{\text{A}} a_{\text{A}^-}}} \quad (11)$$

Для растворов НВг уравнение (11) запишется так:

$$\frac{N_{\text{Br}^-}}{N_0} = \frac{1}{1 + \frac{3,31}{a_{\text{H}^+} a_{\text{Br}^-}}} \quad (12)$$

Результаты расчетов величин  $N_{\text{Br}^-}/N_0$  для двух исследованных серий растворов НВг представлены на рис. 2. Рассмотрение рис. 2 показывает, что экспериментально установленный характер зависимости адсорбции от  $\text{pH}$  совпадает с рассчитанным теоретически. Таким образом, полученные независимо электрохимические и адсорбционные данные подтверждают друг друга.

Следует отметить, что хотя предположение об обмене ионов  $\text{OH}^-$  из стекла на анионы из раствора в кислой области и позволяет вывести уравнение, правильно описывающее зависимость потенциала от состава раствора, и рассчитать зависимость адсорбции анионов от состава раствора, вопрос о действительном механизме взаимодействия анионов со стеклом требует дальнейшего изучения, которое является предметом наших исследований.

В заключение авторы выражают благодарность М. С. Веретке и Е. И. Гончаровой за помощь в работе.

## ВЫВОДЫ

1. Методом радиоактивных индикаторов исследована адсорбция анионов и катионов на электродном стекле в кислой области.
2. Установлено, что в сильноокислых растворах наблюдается адсорбция анионов, резко возрастающая с ростом концентрации кислоты. Гра-



на поглощения стеклом анионов при прочих равных условиях зависит природы кислоты и от сорта стекла.

3. Адсорбция катионов в кислой области практически не наблюдалась.

4. Наблюдаемые в определенных условиях сорбционные эффекты составлены со значениями потенциала стеклянного электрода в этих же условиях. Такое сопоставление показало, что ошибки стеклянного электрода в растворах кислот вызываются проникновением анионов из раствора поверхностный слой стеклянного электрода.

5. Установлено, что гистерезис потенциала стеклянного электрода кислой области обусловлен проникновением анионов в глубинный слой верхностной пленки стеклянного электрода.

6. Выведено уравнение, правильно описывающее поведение стеклянного электрода в кислой области.

Харьковский государственный  
университет им. А. М. Горького

Поступила  
18. III. 1955

#### ЛИТЕРАТУРА

- McInnes and D. Belcher, Journ. Amer. Chem. Soc., 53, 3315, 1931.  
В. А. Пчелин, Измерение активности водородных ионов стеклянным электродом, Гизлегпром, М.—Л., 1941.  
M. Dole, The Glass Electrode, N. Y., J. Wiley, 1947.  
Н. А. Измайлов и А. М. Александрова, Журн. общ. химии, 19, 1403, 1949.  
Н. А. Измайлов и А. М. Александрова, Журн. общ. химии, 20, 2127, 1950.  
Н. А. Измайлов и А. М. Александрова, Сборник статей по общей химии, Изд-во АН СССР, т. 1, стр. 173, 1953.  
Н. А. Измайлов и А. М. Александрова, ДАН, 71, 311, 1950.  
Н. А. Измайлов и А. М. Александрова, Труды Н. и. ин-та химии ХГУ, 10, 85, 1953.  
Б. П. Никольский, Журн. физ. химии, 10, 495, 1937.  
Б. П. Никольский, Журн. физ. химии, 27, 724, 1953.  
M. Dole, Journ. Amer. Chem. Soc., 54, 3095, 1932.  
Н. А. Измайлов и М. А. Бельгова, Журн. общ. химии, 8, 1873, 1938.  
Н. А. Измайлов и Т. Ф. Францевич-Заблудовская, Журн. общ. химии, 15, 283, 1945.  
Н. А. Измайлов и А. М. Александрова, Труды Комиссии по аналитической химии АН СССР, 4, 149, 1952.  
Г. Харнед и Б. Оуэн, Физическая химия растворов электролитов, ИИЛ, М., 1952.  
E. E. Sinclair and A. E. Martell, Journ. Chem. Phys., 18, 224, 1950.  
Н. А. Измайлов и А. Г. Васильев, ДАН, 95, 579, 1954.

## ВЛИЯНИЕ ПРИМЕСЕЙ НЕКОТОРЫХ ГИДРООКИСЕЙ НА ПРОЦЕСС ДЕГИДРАТАЦИИ ГИДРООКИСИ АЛЮМИНИЯ

*В. А. Комаров и Е. А. Черникова*

В литературе имеется ряд исследований о влиянии добавок на скорость разложения различных веществ. Так, установлено, что примешанные перманганату калия окислы повышают скорость его разложения [1]. Скорость разложения карбонатов магния, кадмия, серебра и др. зависит от чистоты карбонатов в том смысле, что с накоплением продуктов разложения изменяется скорость распада карбонатов [2—4].

В. Сребров [5] исследовал скорость разложения карбонатов марганца, никеля, кобальта, цинка, кадмия и свинца — чистых и с примесью различных окислов. Скорость разложения карбонатов определялась волюмометрически по количеству выделившейся углекислоты. Введение примеси производилось путем прибавления ее к навеске карбоната и последующего перемешивания. Опыты указанного автора установили понижение температуры диссоциации исследованных карбонатов, определяемой по кривым нагревания, в результате примешивания различных порошкообразных окислов металлов. Кроме того, было замечено, что повышение скорости разложения карбоната при определенной температуре растает непропорционально возрастанию количества примеси и что максимальная скорость разложения при различных примесях имеет место не при одинаковом количестве примеси. Было показано также, что ускоряющее действие примесей сказывается до определенного предела, выше которого возрастание количества примеси уже не влияет на скорость реакций.

Причиной обнаруженных явлений автор считает поверхностные явления, происходящие в местах соприкосновения карбоната с примесью. Как показали результаты исследований, в случае систем



протекание реакции часто осложняется образованием твердых растворов распадающегося вещества и твердого продукта реакции. Так, согласно исследованиям А. А. Байкова [6], диссоциация карбоната кальция начинается с образования твердого раствора окиси кальция в карбонате и заканчивается разложением твердого раствора карбоната кальция и окиси

Результаты исследования карбонатов приложимы, по видимому, к гидроокисям. Однако экспериментальных данных о влиянии примесей на процесс диссоциации гидроокисей, насколько нам известно, не имеется.

Предпринятая нами работа имела целью восполнить в некоторой мере имеющийся в этом отношении пробел. В настоящей работе два препарата чистой гидроокиси алюминия и четыре препарата гидроокиси алюминия, содержащей примесь 1% других гидроокисей (магния, хрома, тория и циркония), охарактеризованы в следующих отношениях: 1) по величине удельной поверхности как исходных гидроокисей, так и окислов, а также по насыпному весу; 2) по рентгенографическому исследованию порошков гидроокисей и соответствующих окислов, устанавливающему их структуру; 3) по исследованию дегидратации гидроокисей методом непрерывного взвешивания в печи, температура которой со временем возрастает по прямой; 4) по кривым нагревания гидроокисей, полученным термографическим методом на соответствующей установке.

Исходные препараты гидроокисей готовились методом осаждения растворов алюмокалиевых квасцов, с добавками растворимых солей соответствующих металлов, раствором едкого кали, при условии возможности постоянства температуры, скорости перемешивания и приливания твора осадителя. Точное соблюдение условий осаждения и небольшие количества примесных гидроокисей не давали все же полной гарантии отсутствия различия в рН осаждения гидроокисей [7], входящих примесных окисей в решетку гидроокиси алюминия. Промытые осадки формовались и высушивались.

В табл. 1 приводится характеристика препаратов гидроокиси и соответствующих окислов.

Удельная поверхность определялась по изотерме низкотемпературной сорбции паров азота [8], полученной на адсорбционной установке, оставшей по принципу измерения изменения давления при постоянном объеме, при температуре адсорбционных опытов  $-185^{\circ}$ . Вычисление удельной поверхности производилось по уравнению БЭТ путем графического построения зависимости

$$\frac{P/P_s}{V_a(1 - P/P_s)} \text{ от } P/P_s.$$

Насыпной вес препаратов определялся путем взвешивания 20 мл гидроокиси или окисла, помещенных в мерный цилиндр. Ввиду несовершенства определений последние повторялись 3—5 раз и брались средние значения.

В табл. 1 приводится потеря в весе при прокаливании гидроокисей  $650^{\circ}$ .

Таблица 1

| Препарат                                    | $\frac{\text{Al}(\text{OH})_3}{1}$ | $\frac{\text{Al}(\text{OH})_3}{2}$ | $\frac{\text{Al}(\text{OH})_3 + \text{Mg}(\text{OH})_2}{+ \text{Mg}(\text{OH})_2}$ | $\frac{\text{Al}(\text{OH})_3 + \text{Cr}(\text{OH})_3}{+ \text{Cr}(\text{OH})_3}$ | $\frac{\text{Al}(\text{OH})_3 + \text{Th}(\text{OH})_4}{+ \text{Th}(\text{OH})_4}$ | $\frac{\text{Al}(\text{OH})_3 + \text{Zr}(\text{OH})_4}{+ \text{Zr}(\text{OH})_4}$ |
|---|------------------------------------|------------------------------------|--|--|--|--|
| поверхность, м <sup>2</sup> /г              | 236                                |                                    | 108  | 86   | 90   | 50   |
| насыпной вес, г/мл                          | —                                  | 0,735                              | 0,24   | 0,45   | 0,38   | 0,735  |
| потеря веса при прокаливании гидроокисей, % | —                                  | 28,45                              | 35,5   | 35,900   | 39,15  | 37,1   |

| Препарат                       | $\frac{\text{Al}_2\text{O}_3}{1}$ | $\frac{\text{Al}_2\text{O}_3}{2}$ | $\frac{\text{Al}_2\text{O}_3 + \text{MgO}}{+ \text{MgO}}$ | $\frac{\text{Al}_2\text{O}_3 + \text{Cr}_2\text{O}_3}{+ \text{Cr}_2\text{O}_3}$ | $\frac{\text{Al}_2\text{O}_3 + \text{ThO}_2}{+ \text{ThO}_2}$ | $\frac{\text{Al}_2\text{O}_3 + \text{ZrO}_2}{+ \text{ZrO}_2}$ |
|--------------------------------|-----------------------------------|-----------------------------------|---|---|---|---|
| поверхность, м <sup>2</sup> /г | 245                               | 173                               | 61  | 83  | 71  | 111   |
| насыпной вес, г/мл             | —                                 | 0,905                             | 0,50  | 0,43  | 0,44  | 0,645   |

Из сопоставления приведенных в табл. 1 данных можно сделать вывод, что удельная поверхность при дегидратации гидроокисей может как уменьшаться, так и увеличиваться, а также оставаться практически неизменной. Удельная поверхность гидроокисей, содержащих примеси, во всех случаях меньше, в большей или меньшей степени, удельной поверхности чистой гидроокиси; аналогичное явление имеет место и для окислов. Насыпной вес, напротив, почти во всех случаях повышается в результате дегидратации.

Данные, дающие потерю в весе гидроокисей при прокаливании до  $650^\circ$ , зависящую от выделения воды при дегидратации, показывают, что во всех гидроокисях, содержащих примеси, количество выделившейся воды достаточно для того, чтобы удовлетворить формуле  $Al_2O_3 \cdot 3H_2O$ .

Рентгенографическая характеристика гидроокисей и окислов приводится отдельно в табл. 2. Рентгенограммы порошков гидроокисей и окислов были получены с применением медной трубки с никелевым фильтром при силе тока 12 мА, напряжении 35 кВ и продолжительности съема 2,5—3 часа.

Таблица 2

| Препарат                       | $\frac{Al(OH)_3}{1}$                        | $\frac{Al(OH)_3}{2}$ | $\frac{Al(OH)_3 + Mg(OH)_2}{+Mg(OH)_2}$ | $\frac{Al(OH)_3 + Cr(OH)_3}{+Cr(OH)_3}$ | $\frac{Al(OH)_3 + Th(OH)_4}{+Th(OH)_4}$ | $\frac{Al(OH)_3 + Zr(OH)_4}{+Zr(OH)_4}$ |
|--------------------------------|---|----------------------|---|---|---|---|
| Рентгенографич. характеристика | Кристаллический $\alpha-Al_2O_3 \cdot H_2O$ |                      |   | Аморфный                                |   | Кристаллический                         |
| Препарат                       | $\frac{Al_2O_3}{2}$                         | $\frac{Al_2O_3}{2}$  | $\frac{Al_2O_3 + MgO}{+MgO}$            | $\frac{Al_2O_3 + Cr_2O_3}{+Cr_2O_3}$    | $\frac{Al_2O_3 + ThO_2}{+ThO_2}$        | $\frac{Al_2O_3 + ZrO_2}{+ZrO_2}$        |
| Рентгенографич. характеристика | $\gamma-Al_2O_3$                            |                      | $\gamma-Al_2O_3$                        | Аморфный                                |   |   |

Как оказалось, часть препаратов, содержащих примеси, дали рентгенограммы без линий, т. е. соответствующие аморфному веществу; остальная часть препаратов гидроокиси и окислов, содержащих примеси и чистых — рентгенограммы, свойственные кристаллическому состоянию. Путем сравнения рентгенограмм исследуемых препаратов с эталонными был установлен состав исследуемых препаратов: чистые гидроокиси и часть гидроокисей, содержащих примеси, представляли собой осажденный бомит  $\alpha-Al_2O_3 \cdot H_2O$ , дававший при прокаливании кристаллическую  $\gamma-Al_2O_3$  различной степени дисперсности.

#### ИССЛЕДОВАНИЕ ПРОЦЕССА ДЕГИДРАТАЦИИ ГИДРООКИСЕЙ

Исследование дегидратации гидроокисей методом непрерывного взвешивания производилось на установке, применяющейся для изучения образования окалин на металлах и сплавах и описанной в литературе [9]. Установка состояла из вертикально расположенной печи с электрообогревом и аналитических весов, одна из чашек которых находилась непосредственно над отверстием печи. На длинной проволоке из нихрома к этой чашке весов подвешивался образец, помещенный в узкий фарфоровый тигелек таким образом, чтобы образец находился в середине температурного плато печи.

После помещения в печь взятой на аналитических весах навески гидроокиси (около 0,3 г), температура в печи равномерно повышалась до  $600^\circ$  (скорость подъема  $25^\circ$  каждые 10 мин.). Взвешивание образца в печи производилось каждые 20 мин.

Кривые обезвоживания гидроокисей, полученные описанным методом, представлены на рис. 1—4, причем на оси ординат отложены количества выделившейся воды в граммах на 1 г гидроокиси, на оси абсцисс — соответствующие температуры.

Полученные в результате проведенных опытов кривые дегидратации оказались весьма различными для чистой гидроокиси алюминия и препа-



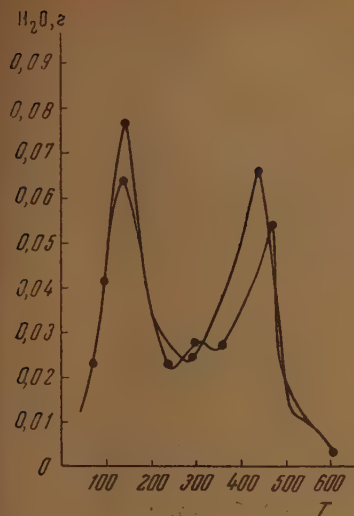


Рис. 1. Кривые дегидратации гидроокиси алюминия

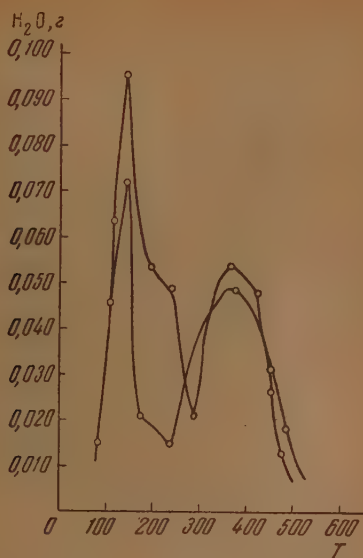


Рис. 2. Кривые дегидратации гидроокиси алюминия с примесью гидроокиси магния

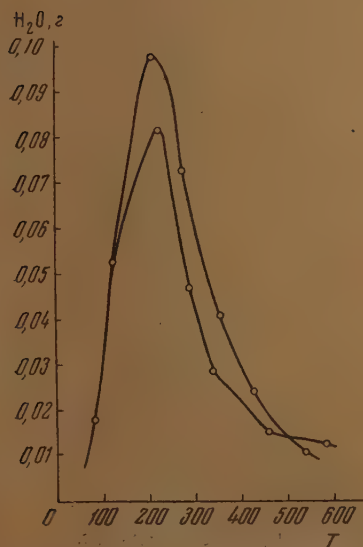


Рис. 3. Кривые дегидратации гидроокиси алюминия с примесью гидроокиси хрома

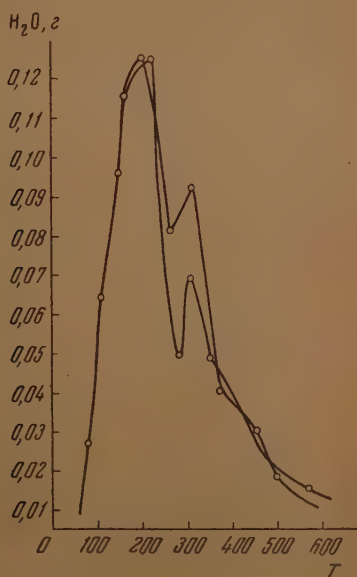


Рис. 4. Кривые дегидратации гидроокиси алюминия с примесью гидроокиси хрома

ратов, содержащих примеси. Чистая гидроокись алюминия имеет два максимума, при температурах 155 и 455°, соответствующие наибольшие скоростям выделения воды (рис. 1). Противоположный характер носит кривая дегидратации гидроокиси алюминия с примесью гидроокиси хрома — в этом случае имеется лишь один эндотермический максимум при 230° (рис. 3).

Кривые дегидратации других исследованных нами препаратов гидроокиси носят промежуточный характер между этими двумя крайними случаями, второй максимум выражен слабее, чем у чистой гидроокиси, и иногда почти исчезает, температурный же интервал между максимумами сокращается (рис. 2 и 4). Полученные методом непрерывного взвешивания результаты сопоставлены также в табл. 3.

Таблица 3

| Препарат  | Число максимумов | Температура максимумов °С |     |     | Интервал температур между максимумами °С |
|---|------------------|---------------------------|-----|-----|--|
|   |                  | 1                         | 2   | 3   |  |
| $\text{Al}(\text{OH})_3$                          | 2                | 155                       | 455 | —   | 300                                      |
| $\text{Al}(\text{OH})_3 + \text{Mg}(\text{OH})_2$ | 2                | 150                       | 365 | —   | 215                                      |
| $\text{Al}(\text{OH})_3 + \text{Cr}(\text{OH})_3$ | 1                | 220                       | —   | —   | —  |
| $\text{Al}(\text{OH})_3 + \text{Th}(\text{OH})_4$ | 2                | 215                       | 360 | —   | 145                                      |
| $\text{Al}(\text{OH})_3 + \text{Zr}(\text{OH})_4$ | 3                | 150                       | 200 | 300 | 150                                      |

Следует указать, что для образцов гидроокиси алюминия с примесью гидроокиси циркония можно констатировать, повидимому, наличие трех неясно выраженных максимумов в интервале 150—300°.

Кроме того, процесс дегидратации гидроокисей был изучен термографическим методом на установке с автоматической записью на фотобумагу показаний простой (температура образца) и дифференциальной (разность температур исследуемого образца и эталона) термопар. Эталон во всех случаях служила сильно прокаленная окись алюминия. Установка обеспечивала автоматический подъем температуры печи по прямой до 600° в течение 2 час.

Данные, представленные на рис. 5—9 и сопоставленные в табл. 4, получены по нашей просьбе М. Ф. Колечковой.

Таблица 4

| Препарат  | Число максимумов | Температуры максимумов, °С |     | Температура окончанья выделения воды, °С | Интервал между максимумами, °С |
|---|------------------|----------------------------|-----|--|--------------------------------|
|   |                  | 1                          | 2   |  |                                |
| $\text{Al}(\text{OH})_3$                          | 2                | 167                        | 499 | 578                                      | 332                            |
| $\text{Al}(\text{OH})_3 + \text{Mg}(\text{OH})_2$ | 2                | 164                        | 468 | 559                                      | 304                            |
| $\text{Al}(\text{OH})_3 + \text{Cr}(\text{OH})_3$ | 1                | 234                        | —   | 523                                      | —                              |
| $\text{Al}(\text{OH})_3 + \text{Th}(\text{OH})_4$ | 1                | 225                        | —   | 520                                      | —                              |
| $\text{Al}(\text{OH})_3 + \text{Zr}(\text{OH})_4$ | 1                | 185                        | —   | 572                                      | —                              |

Полученные термографическим методом результаты в общем подтверждают результаты исследования дегидратации методом непрерывного взвешивания. Однако по два эндотермических максимума наблюдалось

либо для чистой гидроокиси алюминия и гидроокиси алюминия с примесью гидроокиси магния; для препаратов гидроокиси алюминия с другими примесями можно было определить лишь по одному максимуму, лежащему в промежуточной области температур.

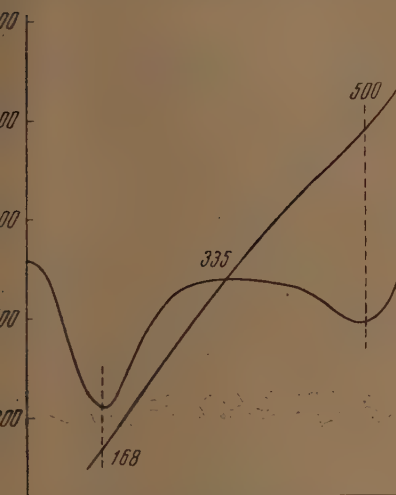


Рис. 5. Термограмма дегидратации гидроокиси алюминия

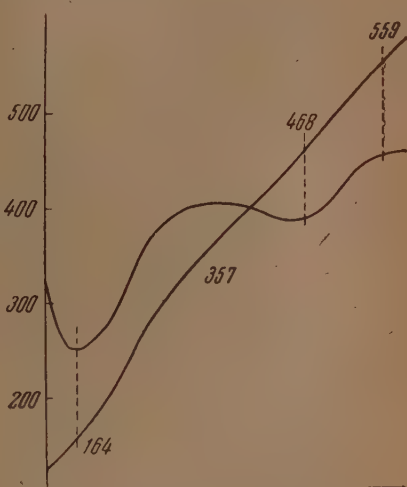


Рис. 6. Термограмма дегидратации гидроокиси алюминия с примесью гидроокиси магния

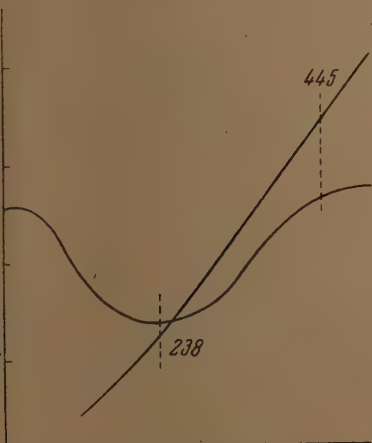


Рис. 7. Термограмма дегидратации гидроокиси алюминия с примесью гидроокиси хрома

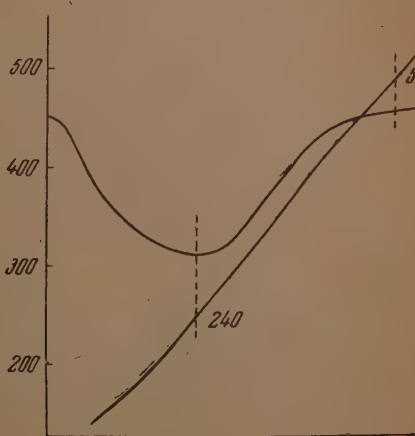


Рис. 8. Термограмма дегидратации гидроокиси алюминия с примесью гидроокиси тория

Имеющиеся расхождения в числе эндотермических максимумов при применении двух независимых методов исследования объясняются или меньшей чувствительностью метода термического анализа, или же неточностью теплового режима печи в методе непрерывного взвешивания, что представляется все же маловероятным ввиду неплохой воспроизводимости

максимумов при повторении опытов. Имеющиеся расхождения в температурах максимумов и температурных интервалах между ними объясняются неточностью замера температур, связанной преимущественно с тепловой инерцией измеряющих температуру термодпар, а также, возможно, сказывается то обстоятельство, что в методе непрерывного взвешивания измеряется температура печи в районе образца, а в термографическом методе — непосредственно температура образца.

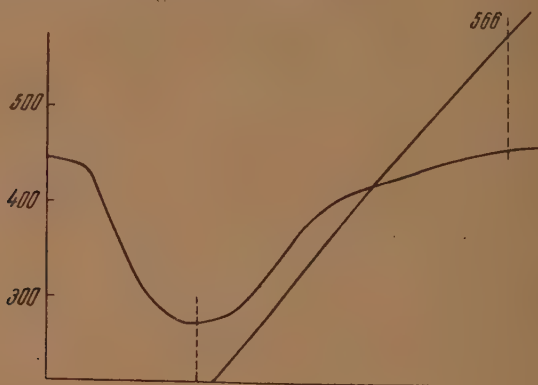


Рис. 9. Термограмма дегидратации гидроксида алюминия с примесью гидроксида циркония

Несмотря на упомянутые выше расхождения в отдельных результатах, оба метода позволяют обнаружить сильное влияние небольших количеств примесей (1%) других гидроокисей на ход процесса дегидратации гидроксида алюминия.

#### ВЫВОДЫ

1. В результате исследования методами непрерывного взвешивания в печи и термографическим методом процесса дегидратации гидроксида алюминия, чистой и содержащей примеси других гидроокисей, установлено сильное влияние примеси других гидроокисей на ход дегидратации гидроксида алюминия.

2. Упомянутое выше влияние заключается в уменьшении числа эндотермических максимумов, соответствующих наибольшей скорости выделения воды, и в уменьшении температурного интервала между максимумами.

3. Показано, что удельная поверхность препаратов гидроксида алюминия, содержащих примеси, и полученных из них окислов во всех случаях меньше удельной поверхности чистых препаратов.

Ленинградский университет им. А. А. Жданова  
Химический институт

Поступила  
19. III. 1955

#### ЛИТЕРАТУРА

1. С. З. Рогинский, Проблемы кинетики и катализа, 6, 10, 1949.
2. L. Andrussoff, Zs. phys. Chem., 115, 273, 1925.
3. M. Zentnerschwer, Zs. phys. Chem., 111, 79, 1924, 114, 237, 1924; 115, 20, 1925; 119, 405, 1926; 123, 111, 127, 1926.
4. G. F. Hüttig, Handbuch d. Katalyse, 6, 319, 1943.
5. В. Сребров, Kolloid. Zs., 71, 293, 1935.
6. А. А. Байков, Н. Тумарев, Изв. АН СССР, ОТН, 4, 565, 1937.
7. Х. Бриттон, Водородные ионы, Химтеоретиздат, 1936, стр. 314.
8. С. Брунауер, Адсорбция газов и паров, ИИЛ, М., т. 1, 213, 1948.
9. В. В. Ипатьев, В. И. Тихомиров, Уч. зап. ЛГУ, сер. хим., вып. 14, 8, 1954.



## ИССЛЕДОВАНИЕ ДИНАМИКИ АДСОРБЦИИ СМЕСЕЙ Веществ из водных растворов на угле с применением радиоактивных индикаторов

*А. Н. Харин и Е. М. Лотменцева*

Исследование динамики адсорбции смесей растворенных веществ на зеренных сорбентах является важным вопросом для рекуперационной техники. Сравнение результатов эксперимента с требованиями теорий дает возможность решить вопрос о степени пригодности теоретических расчетов для предсказания поведения компонентов смесей при разных параметрах динамического процесса.

Впервые динамика сорбции смесей паров на зерненном угле была изучена М. М. Дубининым с сотрудниками [1,2]. На основе этих работ и развитие работ Н. А. Шилова [3] О. М. Тодесом [4] было дано теоретическое описание установившегося режима динамики сорбции смеси веществ. В последнее время эта теория была развита с учетом кинетических факторов [5—8].

Целью настоящей работы было изучение динамики адсорбции смесей уксусной и масляной кислот из водных растворов на зерненном угле, на котором изучалась в наших прежних работах адсорбция каждой из этих кислот [9—11]. Уголь для нашего исследования подготавливался, как описано в этих работах, и имел следующую характеристику:

Характеристика березового угля № 11 (фракция со средним диаметром 0,25 см)

|                               |                       |                                  |                  |
|-------------------------------|-----------------------|----------------------------------|------------------|
| Гравиметрический удельный вес | $\Delta = 0,21$ г/см. | Зольность                        | — 0,5%           |
| Кажущийся                     | » » $\delta = 0,37$   | Влажность                        | — 0,7%           |
| Истинный                      | » » $d = 1,97$        | Кислотность спиртовой<br>вытяжки | — 0,01 мг-экв./г |

Пористость 81,3%

Фракция зерен угля со средним диаметром 0,15 см готовилась из фракции со средним диаметром 0,25 см.

Выбор веществ для исследования определялся следующими соображениями. Уксусная и масляная кислоты не взаимодействуют друг с другом индивидуально адсорбируются из водных растворов на березовом угле удовлетворительном соответствии с изотермами лэнгмюровского типа известной области концентраций [см. 9, 10, 11]. Кроме того в этих же работах были установлены и кинетические коэффициенты адсорбции для этих кислот.

### ЭКСПЕРИМЕНТАЛЬНАЯ ЧАСТЬ

Статика адсорбции каждой из кислот на угле № 11 изучалась так же, как это описано в предыдущей работе [11]. Средние из двух определений приведены в табл. 1 и 2.

Вычисленные количества адсорбированных кислот (цифры последнего столбца) удовлетворительно отражают опытные определения адсорбции.

Таблица 1

Изотерма адсорбции уксусной кислоты ( $t=18-22^\circ\text{C}$ )

| Исходная<br>концентрация<br>$c_1^0, \frac{\text{мг-экв.}}{\text{л}}$ | Объем<br>раствора<br>$V, \text{ л}$ | Навеска<br>угля<br>$m, \text{ г}$ | Равновесная<br>концентрация<br>$c_1, \frac{\text{мг-экв.}}{\text{л}}$ | Адсорбция<br>$a_1 = \frac{(c_1^0 - c_1)V}{m}, \frac{\text{мг-экв.}}{\text{г}}$ | Адсорбция<br>по экстракции<br>$a_1, \frac{\text{мг-экв.}}{\text{г}}$ | Рассчитано<br>по уравнению<br>$a_1 = \frac{z_1 c_1}{c_1 + y_1}, \frac{\text{мг-экв.}}{\text{г}}$ |
|--|-------------------------------------|-----------------------------------|---|--|--|--|
| 60   | 0,025                               | 0,4                               | 45,95   | 0,88   | 0,85   | 0,85   |
| 30   | 0,020                               | 0,2                               | 23,30   | 0,67   | 0,62   | 0,69   |
| 15   | 0,020                               | 0,2                               | 10,66   | 0,43   | 0,47   | 0,48   |
| 7,5  | 0,020                               | 0,2                               | 4,42  | 0,31   | 0,32   | 0,26   |

\* Константы  $z_1 = 1,12$  мг-экв./г и  $y_1 = 14,35$  мг-экв./л найдены методом наименьших квадратов по опытным результатам.

Таблица 2

Изотерма адсорбции масляной кислоты ( $t=18-22^\circ\text{C}$ )

| Исходная<br>концентрация<br>$c_2^0, \frac{\text{мг-экв.}}{\text{л}}$ | Объем<br>раствора<br>$V, \text{ л}$ | Навеска<br>угля<br>$m, \text{ г}$ | Равновесная<br>концентрация<br>$c_2, \frac{\text{мг-экв.}}{\text{л}}$ | Адсорбция<br>$a_2 = \frac{(c_2^0 - c_2)V}{m}, \frac{\text{мг-экв.}}{\text{г}}$ | Адсорбция<br>по экстракции<br>$a_2, \frac{\text{мг-экв.}}{\text{г}}$ | Рассчитано<br>по уравнению<br>$a_2 = \frac{z_2 c_2}{c_2 + y_2}, \frac{\text{мг-экв.}}{\text{г}}$ |
|--|-------------------------------------|-----------------------------------|---|--|--|--|
| 60   | 0,025                               | 0,4                               | 31,08   | 1,81   | 1,71   | 1,74   |
| 30   | 0,020                               | 0,2                               | 15,05   | 1,50   | 1,45   | 1,54   |
| 15   | 0,020                               | 0,2                               | 4,88  | 1,01   | 0,98   | 1,04   |
| 7,5  | 0,020                               | 0,2                               | 1,51  | 0,60   | 0,66   | 0,51   |

\*  $z_2 = 1,99$  мг-экв./г и  $y_2 = 4,37$  мг-экв./л.

Если уравнениям изотерм придать ту форму, какой пользуются О. М. Тодес и Я. М. Биксон [5—8], и выражать  $a$  и  $A_\infty$  в мг-экв./см<sup>3</sup>,  $b$  — в см<sup>3</sup>/мг-экв. и  $c$  — в мг-экв./см<sup>3</sup>, то изотермы адсорбции запишутся следующим образом:

$$a_1 = A_{1\infty} \frac{b_1 c_1}{1 + b_1 c_1} = 0,235 \frac{70 c_1}{1 + 70 c_1} \quad \text{для уксусной кислоты,} \quad (1)$$

$$a_2 = A_{2\infty} \frac{b_2 c_2}{1 + b_2 c_2} = 0,42 \frac{227 c_2}{1 + 227 c_2} \quad \text{для масляной кислоты.} \quad (2)$$

Динамические опыты проводились в стеклянных трубках с площадью поперечного сечения 1 см<sup>2</sup>. Трубки составлялись из секций длиной 10 см. В каждую секцию загружались порционно определенные навески угля, предварительно прокипяченные в дистиллированной воде. Навески угля в 0,21 г предназначались или для определения суммарного количества адсорбированных кислот в данном месте слоя, или для определения уксусной кислоты методом меченых атомов. Навески разделялись медными сетками. Вся составленная по определению плану колонка перед началом опыта заполнялась дистиллированной водой. Раствор подавался снизу. Опыты продолжались до появления на выходе концентрации кислоты, равной 0,002 N. Сейчас же по окончании опыта, начиная сверху колонки, из каждой секции в 10 см длиной жидкость сливалась в сухой стаканчик с притертой пробкой. Для этой цели в толстых резиновых

льцах, соединявших каждые две соседние секции, делались отверстия, приходящиеся в месте стыка секций. В эти отверстия вводились маленькие трубочки с краниками, через которые и производился слив жидкости. В каждой слитой порции межзвенной жидкости определялась суммарная концентрация кислот (титрованием щелочью в микробюретке) и концентрация уксусной кислоты (методом меченых атомов, о чем см. ниже). По этим результатам строились концентрационные кривые распределения  $c$  и  $c_1$  (рис. 1, 3, 5, 7), а также кривые  $c_2$  — по разности ординат точек кривых  $c$  и  $c_1$ .

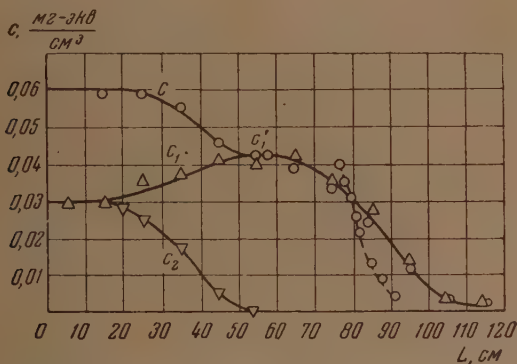


Рис. 1. Концентрационные кривые распределения. Опыт 1-й.  $c_1^0 : c_2^0 = 0,03 : 0,03 = 1 : 1$ ;  $\alpha = 1$  см/мин.;  $d = 0,25$  см

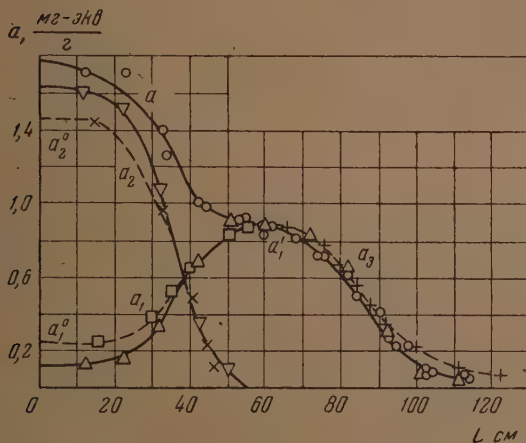


Рис. 2. Адсорбционные кривые распределения. Опыт 1-й.  $c_1^0 : c_2^0 = 0,3 : 0,003 = 1 : 1$ ;  $\alpha = 1$  см/мин.;  $d = 0,25$  см

тем трубка расчленялась на секции, и каждая порция угля, предназначавшаяся для определения суммарного количества адсорбированных кислот, извлекалась и аналировалась, как описано в работе И. Е. Амфилогова и А. Н. Харина [11]. Из общего количества содержащихся в мокром угле кислот вычиталось их содержание в жидкости, омывающей уголь (средний объем  $V$  этой жидкости равнялся  $0,54$  см<sup>3</sup> на  $1$  см<sup>3</sup> угля, взятого на навеску в  $0,21$  г). Это количество равнялось  $Vc$ , где  $c$  — концентрация кислот в данном месте слоя угля. Она бралась по кривым  $c$  (рис. 1, 3, 5, 7). Найденная таким образом суммарная адсорбция  $a = a_1 + a_2$  откладывалась по оси ординат на расстояниях 2, 4, 6, 8, что давало адсорбционную кривую распределения суммы веществ вдоль

Порции угля, предназначенные для определения адсорбированной уксусной кислоты, сейчас же извлекались, и уксусная кислота определялась разработанным нами методом меченых атомов. Для этого в подвешенный в колонку раствор всегда вводилось определенное относительное количество меченых молекул  $C^{14}H_3COOH$ .

Определения адсорбированной уксусной кислоты по счету  $\beta$ -импульсов, излучаемых атомами углерода  $C^{14}$ , дали нам возможность получить адсорбционные кривые распределения уксусной кислоты  $a_1$ , приведенные на рис. 2, 4, 6, 8. По разности ординат кривых  $a$  и  $a_1$  на этих рисунках строились адсорбционные кривые распределения масляной кислоты  $a_2$ .

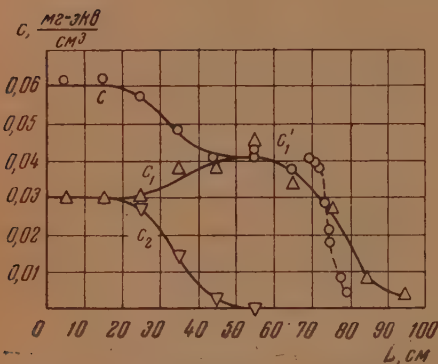


Рис. 3. Концентрационные кривые распределения. Опыт 5-й.  $c_1^0:c_2^0 = 0,03:0,03 = 1:1$ ;  $\alpha = 1$  см/мин.;  $d = 0,15$  см

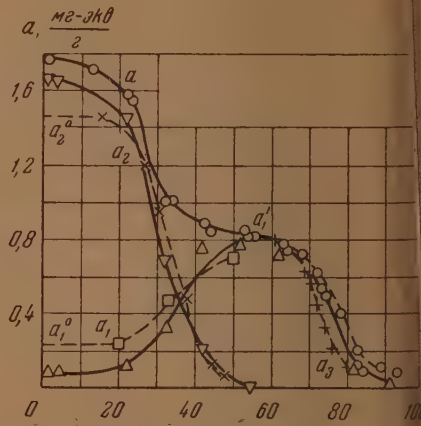


Рис. 4. Адсорбционные кривые распределения. Опыт 5-й.  $c_1^0:c_2^0 = 0,03:0,03 = 1:1$ ;  $\alpha = 1$  см/мин.;  $d = 0,15$  см

Опишем наш метод определения уксусной кислоты в окончательной форме, в какой мы пользовались им в работе. Навеска мокрого угля в 0,21 г, извлеченная из определенного места угольной колонки со средним содержанием раствора в ней  $0,54 \text{ см}^3$  и с адсорбированной уксусной кислотой, нейтрализовалась всегда одним и тем же количеством  $NaOH$  ( $0,8 \text{ см}^3 1 N$  раствора) в целях перевести кислоту в нелетучую соль и в целях создания условий самопоглощения  $\beta$ -излучения, близких к одинаковым во всех случаях.

Затем уголь высушивался в течение нескольких часов при  $60^\circ C$  и растирался. После тщательного перемешивания в той же посуде он в виде порошка переносился в цилиндрическое углубление с диаметром 1,6 см в плексигласовой пластинке. Уголь сдавливался, и поверхность его сглаживалась специально сделанным для этого поршеньком. В дальнейшем пластинки с образцами угля хранились в эксикаторе над концентрированной серной кислотой. Необходимо строго (!) соблюдать указанную последовательность операций при подготовке образцов и условия хранения.

Слой угля получался толщиной  $\sim 2$  мм, что значительно превышало толщину так называемого «бесконечно толстого» слоя, т. е. такого, при дальнейшем увеличении толщины которого число  $\beta$ -импульсов, регистрируемых счетчиком, не изменяется. Таким образом мы были избавлены при измерениях радиоактивности от необходимости создания слоев угля точно определенной толщины.

Подготовленный таким образом препарат помещался на определенном расстоянии под окошко торцевого счетчика типа ТМ-20, пригодного для счета «мягких»  $\beta$ -импульсов, излучаемых атомами  $C^{14}$ , которыми «метилась» уксусная кислота. Счет импульсов производился при помощи установки Б.

При определенном относительном содержании радиоактивной уксусной кислоты и при определенных стандартных условиях счета импульсов можно было по числу импульсов, регистрируемых счетчиком, судить о количестве адсорбированной уксусной кислоты в данной навеске угля. Для получения зависимости числа импульсов  $N$  от количества адсорбированной уксусной кислоты  $a_1$  ( $N = f(a_1)$ ) в навески угля № 11 (0,21 г) вносились определенные (разные) количества уксусной кислоты с такой же



Характеристика условий динамических опытов

| № опытов | Концентрации на входе<br>мг-эпв.<br>см <sup>3</sup> |         | Отношение<br>$c_1^0 : c_2^0$ | Скорость<br>тока<br>раствора,<br>$\frac{\text{см}}{\text{мин.}}$ | Средн.<br>диаметр<br>зерен угля<br>$d$ , см | Длина слоя<br>угля<br>$L$ , см | Время<br>работы<br>слоя угля<br>$t$ , мин. | Объем<br>пропущ.<br>раствора<br>$V$ , см <sup>3</sup> | Рис. 1—8                     |                         |
|----------|---|---------|------------------------------|--|---|--------------------------------|--|---|------------------------------|-------------------------|
|          | $c_1^0$   | $c_2^0$ |                              |  |   |                                |  |   | концентрацион-<br>ные кривые | адсорбционные<br>кривые |
| 1        | 0,030   | 0,030   | 1:1                          | 1  | 0,25  | 120                            | 452  | 443   | 1                            | 2                       |
| 1'       | 0,030   | 0,030   | 1:1                          | 1  | 0,25  | 100                            | 277  | 270   | —                            | —                       |
| 2        | 0,030   | 0,030   | 1:1                          | 3  | 0,25  | 140                            | 150  | 460   | —                            | —                       |
| 3        | 0,015   | 0,045   | 1:3                          | 3  | 0,25  | 140                            | 175  | 530   | —                            | —                       |
| 4        | 0,045   | 0,015   | 3:1                          | 3  | 0,25  | 140                            | 130  | 400   | —                            | —                       |
| 5        | 0,030   | 0,030   | 1:1                          | 1  | 0,15  | 100                            | 388  | 387   | 3                            | 4                       |
| 5'       | 0,030   | 0,030   | 1:1                          | 1  | 0,15  | 80                             | 340  | 342   | —                            | —                       |
| 6        | 0,015   | 0,045   | 1:3                          | 1  | 0,15  | 100                            | 460  | 460   | 5                            | 6                       |
| 6'       | 0,015   | 0,045   | 1:3                          | 1  | 0,15  | 80                             | 343  | 340   | —                            | —                       |
| 7        | 0,045   | 0,015   | 3:1                          | 1  | 0,15  | 100                            | 364  | 360   | —                            | —                       |
| 7'       | 0,045   | 0,015   | 3:1                          | 1  | 0,15  | 80                             | 262  | 255   | —                            | —                       |
| 8        | 0,030   | 0,030   | 1:1                          | 3  | 0,15  | 120                            | 370  | 123   | 7                            | 8                       |
| 9        | 0,015   | 0,045   | 1:3                          | 3  | 0,15  | 120                            | 480  | 160   | —                            | —                       |
| 10       | 0,045   | 0,015   | 3:1                          | 3  | 0,15  | 120                            | 390  | 132   | —                            | —                       |

долей меченых молекул, как и в растворах, применявшихся в динамических опытах. Этот уголь обрабатывался, как описывалось выше, и производился счет импульсов. Счет импульсов длился 20 или 25 мин. Фон был порядка 20—26 имп./мин.\*

На рис. 9 приведены некоторые эталонные линии  $N = f(a_1)$ , полученные при различных относительных содержаниях меченых молекул уксусной кислоты с разными счетчиками.

Имея эталонные зависимости  $N = f(a_1)$ , мы могли определить количество адсорбированной уксусной кислоты прямо на угле. Для определения в межзеренной жидкости 1—2 см<sup>3</sup> раствора смешивалось с 0,21 г того же угля, обрабатывалось 0,8 см<sup>3</sup> 1*N* раствора NaOH, избыток воды испарялся, и дальше делалось все так же, как и при определении адсорбированной на угле уксусной кислоты.

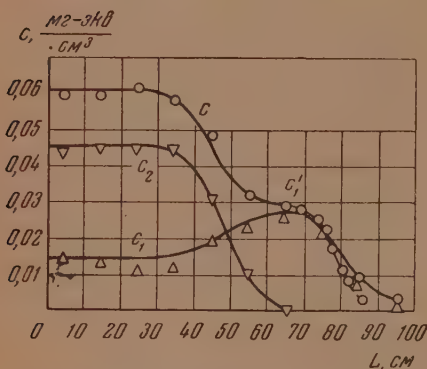


Рис. 5. Концентрационные кривые распределения. Опыт 6-й.  $c_1^0:c_2^0=0,015:0,045=1:3$ ;  $\alpha=1$  см/мин.;  $d=0,15$  см

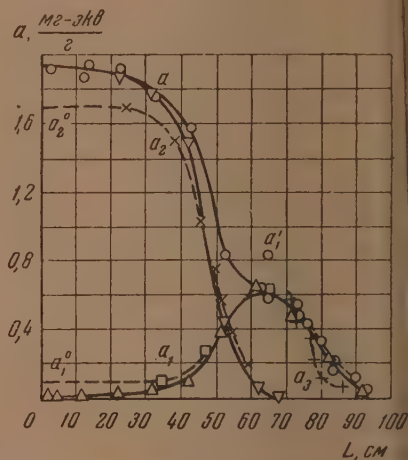


Рис. 6. Адсорбционные кривые распределения. Опыт 6-й.  $c_1^0:c_2^0=0,015:0,045=1:3$ ;  $\alpha=1$  см/мин.;  $d=0,15$  см

Пользуясь всеми описанными методами, мы провели динамические опыты со смесями кислот. Характеристика опытов приведена в табл. 3. Для экономии места мы приводим концентрационные и адсорбционные кривые распределения на рис. 1—8 только для некоторых опытов.

Для иллюстрации и пояснения деталей построения кривых, изображенных на рис. 1—8, мы приводим результаты определений, сделанных в одном из опытов (№ 8).

В табл. 4 приводим определения суммарной концентрации кислоты в межзеренной жидкости и уксусной кислоты по счету  $\beta$ -излучений, причем для этого бралось по 2 см<sup>3</sup> жидкости.

### ОБСУЖДЕНИЕ РЕЗУЛЬТАТОВ ОПЫТОВ

Мы принимаем следующие обозначения величин:

- $\alpha$  — скорость потока жидкости в см/сек. (или см/мин.).
- $v$  — скорость продвижения первой волны.
- $w$  — скорость продвижения второй волны.

\* Среднее квадратичное отклонение  $\sigma = \sqrt{N/t}$  [12]. При счете, например 1000 имп. за 20 мин.  $\sigma = 1000/20 \pm 1,6$  имп./мин., и среднее квадратичное отклонение при счете фона  $\sigma = 400/20 \pm 1$  имп./мин. Общая ошибка равна  $\sqrt{1,6^2 + 1^2} = \pm 1,9$  имп./мин. В процентах от 50 имп./мин. это составляет  $\pm 4\%$ .

Таблица 4

## Концентрация кислот в межзеренной жидкости в опыте № 8

| № секций   | Суммарная<br>концентра-<br>ция $c$ ,<br>$\frac{\text{мг-экв.}}{\text{см}^3}$ | Число<br>импульсов<br>в 1 мин. после<br>вычета «фона»<br>$N$ , $\frac{\text{имп.}}{\text{мин.}}$ | Содерж.<br>уксусн.<br>кислоты<br>в угле $m_1$ ,<br>$\frac{\text{мг-экв.}}{\text{г}}$ | Концентрация<br>уксусной<br>кислоты<br>$c_1 = \frac{m_1 \cdot 0,21}{2}$ ,<br>$\frac{\text{мг-экв.}}{\text{см}^3}$ | Концентрация<br>масляной<br>кислоты<br>$c_2 = c - c_1$ ,<br>$\frac{\text{мг-экв.}}{\text{см}^3}$ |
|------------|--|--|--|---|--|
|            |  |  |  |   |  |
| 1 (нижн.)  | 0,059  | 166  | 0,29*  | 0,0304  | 0,030**  |
| 2          | 0,057  | 152  | 0,27   | 0,0284  | 0,028  |
| 3          | 0,049  | 165  | 0,29   | 0,0304  | 0,024  |
| 4          | 0,047  | 172  | 0,31   | 0,0325  | 0,014  |
| 5          | 0,041  | 169  | 0,30   | 0,0315  | 0,005  |
| 6          | 0,038  | 216  | 0,40   | 0,0420  | 0  |
| 7          | 0,034  | 195  | 0,35   | 0,0367  | 0  |
| 8          | 0,027  | 137  | 0,24   | 0,0252  | 0  |
| 9          | 0,018  | 96   | 0,16   | 0,0168  | 0  |
| 10         | 0,009  | 64   | 0,09   | 0,0094  | 0  |
| 11         | 0,004  | 19   | 0  | 0   | 0  |
| 12 (верх.) | 0,002  | 25   | 0  | 0   | 0  |

\* Найдено по I линии рис. 9.

\*\* Найдено по разности ординат кривых  $c$  и  $c_1$ , рис. 7. $\omega_1 = v/\alpha$  и  $\omega_2 = w/\alpha$  — относительные скорости продвижения первой и второй п. $x$  — расстояние от начала слоя угля. $a_1$  и  $a_2$  — адсорбция уксусной и масляной кислот в мг-экв./г или мг-экв./см<sup>3</sup>. $a$  — суммарная адсорбция. $c_1^0$  и  $c_2^0$  — концентрации уксусной и масляной кислот на входе или исходная концентрация при определении адсорбции в статических условиях в мг-экв./см<sup>3</sup>. $c$  — суммарная концентрация. $\beta_1$  и  $\beta_2$  — кинетические коэффициенты адсорбции уксусной и масляной кислот эк. <sup>-1</sup> (или мин. <sup>-1</sup>). $a_1^0$  и  $a_2^0$  — адсорбция, равновесная с концентрацией  $c_1^0$  и  $c_2^0$ . $A_{1\infty}$  и  $A_{2\infty}$  — предельные значения адсорбции, вычисленные, как константывзвешиваний Ленгмюра:  $a_1 = A_{1\infty} \frac{b_1 c_1}{1 + b_1 c_1}$  и  $a_2 = A_{2\infty} \frac{b_2 c_2}{1 + b_2 c_2}$ . $b_1$  и  $b_2$  — константы. $c_1'$  и  $c_1''$  — максимальные концентрации и адсорбции уксусной кислоты в первой волне. $\Delta$  — гравиметрический удельный вес угля № 11 ( $\Delta = 0,21$  г/см<sup>3</sup>).

$$\theta_1 = \frac{a_1}{A_{1\infty}}; \quad \theta_2 = \frac{a_2}{A_{2\infty}}; \quad \theta_1^0 = \frac{a_1^0}{A_{1\infty}}; \quad \theta_2^0 = \frac{a_2^0}{A_{2\infty}}; \quad \theta_1' = \frac{a_1'}{A_{1\infty}};$$

$$\gamma_1 = b_1 c_1^0; \quad \gamma_2 = b_2 c_2^0; \quad \Gamma_1 = \frac{A_{1\infty}}{c_1^0}; \quad \Gamma_2 = \frac{A_{2\infty}}{c_2^0}.$$

а) Из рассмотрения опытных кривых распределения обеих кислот и суммы можно установить, что почти во всех случаях образуются ясно выраженные две волны. Менее сорбирующаяся уксусная кислота идет впереди масляной. Некоторая часть колонки содержит только уксусную кислоту. Максимум концентраций в первой волне оказываются выше концентрации уксусной кислоты на входе. Это является доказательством несения ее масляной кислотой из начальных слоев угольной колонки. Второй адсорбционной волне содержится подавляющее количество масляной кислоты.

Проводя опыты при одних и тех же условиях, но с разной длиной слоя угля (см. рис. 1, 5, 6, 7), мы имели в виду установить воспроизводимость форм волн и параллельность переноса фронта. Сходство форм волн достигается. Однако при увеличении длины слоя угля происходит не только продвижение вперед обеих волн, но максимумы адсорбции в первой и второй волнах немного повышаются.

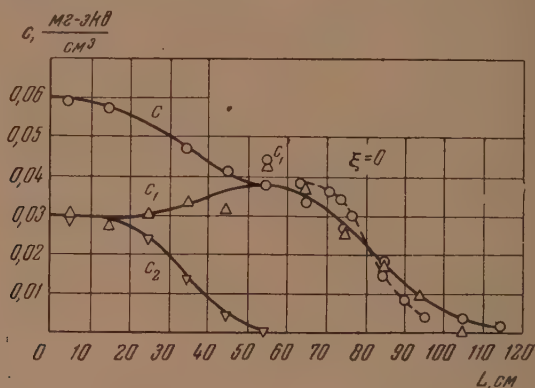


Рис. 7. Концентрационные кривые распределения. Опыт 8-й.  $c_1^0 : c_2^0 = 0,03 : 0,03 = 1 : 1$ ;  $\alpha = 3$  см/мин.;  $d = 0,15$  см

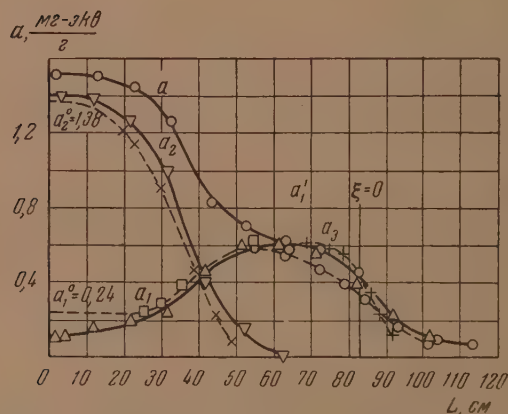


Рис. 8. Адсорбционные кривые распределения. Опыт 8-й.  $c_1^0 : c_2^0 = 0,03 : 0,03 = 1 : 1$ ;  $\alpha = 3$  см/мин.;  $d = 0,15$  см

Если сравнить кривые с одними и теми же концентрациями кислот, получаемые при одинаковых скоростях потока на зернах угля разного диаметра, то обнаруживается большая растянутость волн при большем диаметре зерен угля. Это видно, например, из сравнения рис. 1 и 3, 2 и 4. При одинаковом диаметре зерен угля, но при разных скоростях, большая растянутость волн получается при большей скорости (см., например, рис. 3 и 7 или 4 и 8).

Полученные нами кривые мы сравнили с рассчитанными по теории О. М. Тодеса и Я. М. Биксона [4—8].



Таблица 5

## Значение относительных скоростей

| № | $\omega$                      | $d, \text{ см}$ | 0,25            |       |       | 0,15  |       |       |
|---|-------------------------------|-----------------|-----------------|-------|-------|-------|-------|-------|
|   |                               |                 | $c_1^0 : c_2^0$ | 1 : 1 | 1 : 3 | 3 : 1 | 1 : 1 | 1 : 3 |
| 1 | $\omega_1$                    | По ф-ле (5)     | 0,185           | —     | —     | 0,190 | 0,183 | 0,240 |
|   | $\omega_{1c}$ и $\omega_{1d}$ | Опытные         | 0,175           | —     | —     | 0,210 | 0,163 | 0,215 |
| 3 | $\omega_1$                    | По ф-ле (5)     | 0,212           | 0,199 | 0,232 | 0,233 | 0,192 | 0,221 |
|   | $\omega_2$                    | По ф-ле (6)     | 0,094           | —     | —     | 0,094 | 0,113 | 0,074 |
| 4 | $\omega_{2c}$                 | Опытные         | 0,100           | —     | —     | 0,103 | 0,115 | 0,220 |
|   | $\omega_{2d}$                 |                 | 0,023           | —     | —     | 0,090 | 0,145 | 0,090 |
| 5 | $\omega_2$                    | По ф-ле (6)     | 0,094           | 0,113 | 0,074 | 0,094 | 0,113 | 0,074 |

б) В табл. 5 приводятся средние вычисленные и опытные значения относительных скоростей передвижения первой и второй волн.

$$\omega_1 = v/\alpha \quad (3)$$

$$\omega_2 = w/\alpha. \quad (4)$$

Вычисление делалось по уравнениям:

$$\omega_1 = \frac{\varphi_1}{\theta_1 \Gamma_1 + \varphi_1} \quad (5)$$

$$\omega_2 = \frac{1}{1 + \Gamma_2 \theta_2^0} \quad (6)$$

обозначения в начале этого раздела). Экспериментальные значения  $\omega_1$  и  $\omega_2$  могли быть непосредственно получены только для тех опытов, которые повторялись при другой длине (1 и 1', 5 и 5', 6 и 6', 7 и 7') и угля. Средние значения скорости продвижения первой волны  $\omega_{1c}$ , вычисленные по сравнению положений концентрационных кривых  $c_1$  в

Таблица 6

Связь между  $\theta_1$  и  $\varphi_1$  ( $a_1$  и  $c_1$ ) в первой волне опыта № 8. Рис. 7 и 8

| Состояние<br>начала<br>волн, см | $\varphi_1 = \frac{c_1}{c_1^0}$ | $\theta_1 = \frac{1 - \omega_1}{\Gamma_1 \omega_1} \varphi_1 = 0,421 \varphi_1$ | $a_1 = \frac{\theta_1 A_1 \infty}{\Delta}$<br>мг-экв.<br>г | Значения<br>$\varphi_1'$ и $c_1'$ ; $\theta_1'$ и $a_1'$                        |
|---------------------------------|---------------------------------|---|--|---|
| 101                             | 5/30                            | 0,07  | 0,08   | $\varphi_1' = \frac{0,038}{0,030} = 1,27$                                       |
| 93                              | 10/30                           | 0,14  | 0,16   | $c_1' = 0,038 \frac{\text{мг-экв.}}{\text{см}^3}$                               |
| 88                              | 15/30                           | 0,21  | 0,24   | $\theta_1' = 0,421 \quad \varphi_1' = 0,535$                                    |
| 84                              | 20/30                           | 0,28  | 0,32   | $\theta_1' A_1 \infty = \frac{0,535 \cdot 0,235}{0,21} =$                       |
| 79                              | 25/30                           | 0,35  | 0,40   | $a_1' = \frac{\theta_1' A_1 \infty}{\Delta} = \frac{0,535 \cdot 0,235}{0,21} =$ |
| 72                              | 1                               | 0,42  | 0,48   | $= 0,60 \frac{\text{мг-экв.}}{\text{г}}$  |
| 63                              | 35/30                           | 0,49  | 0,55   |   |
| 55                              | 38/30                           | 0,53  | 0,60   |   |

указанных опытах, и  $\omega_{1a}$ , найденные по сравнению положений адсорбционных кривых  $a_1$ , оказались близкими в соответственных опытах и близкими с вычисленными по теории значениями  $\omega_1$ . Скорости продвижения второй волны  $\omega_{2c}$  и  $\omega_{2a}$ , найденные по изменению положения концентрационной кривой  $c_2$  и адсорбционной кривой  $a_2$  в соответственных опытах, оказались несовпадающими и указаны в табл. 5 раздельно.

Из того, что рассчитанные скорости продвижения первой волны близки к опытным, открывается возможность продвижения положения первой

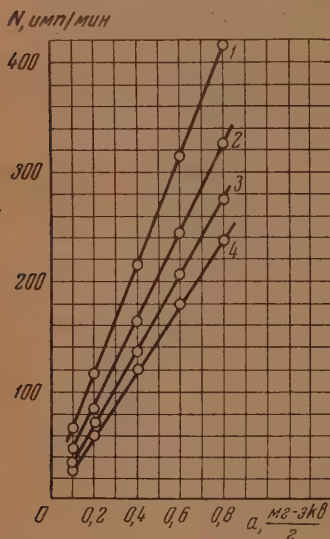


Рис. 9. Зависимость числа регистрируемых счетчиком  $\beta$ -импульсов от количества адсорбированной уксусной кислоты. 1 — ТМ-20 № 134; 2 — ТМ-20, № 134; 3 — ТМ-20 № 135; 4 — ТМ-20 № 1135

волны (относительно какого-нибудь заданного ее вполне оформленного положения) для какого угодно промежутка времени или возможность указания времени, за которое продвинется первая волна на определенное расстояние от какого-нибудь исходного ее положения.

в) Затем мы исследовали связь между концентрацией в межзеренной жидкости и адсорбцией в одних и тех же сечениях динамической колонки в первой волне. Эта связь по теории О. М. Тоде-са и Я. М. Биксона выражается уравнением:

$$\theta_1 = \frac{(1 - \omega_1) \varphi_1}{\omega_1 \Gamma_1} \quad (7)$$

Например, по некоторым выбранным точкам концентрационной волны опыта № 8 (рис. 7, кривая  $c_1$ ) вычислялись значения  $\varphi_1$ , затем по уравнению (7) — значения  $\theta_1$ , и по ним —  $a_1$  (см. табл. 6)

$$\left( \Gamma_1 = \frac{A_{1\infty}}{c_1^0} = \frac{0,235}{0,030} = 7,83, \quad \omega_1 = 0,233 \right)$$

Пунктирная кривая с кружочками на рис. 8 построена по данным 1-го и 4-го столбцов табл. 6. Эта кривая до некоторой степени отражает форму первой адсорбционной волны, найденной по опытным значениям адсорбции уксусной кислоты (часть сплошной кривой  $a_1$  на рис. 8). Такие же кривые нанесены и на других четных рисунках. Все они находятся в довольно хорошем согласии с участками соответствующих опытных кривых  $a_1$ . Прямо пропорциональная связь между  $\theta_1$  и  $\varphi_1$ , требуемая теорией в отношении первой волны, действительно наблюдается, и коэффициент пропорциональности удовлетворительно вычисляется через константу уравнения (1)  $A_{1\infty}$  индивидуальной изотермы адсорбции уксусной кислоты. Максимумы  $c_1'$  и  $a_1'$  первой волны лежат в области 55-го сантиметра по длине колонки.

г) Взаимосвязь  $\theta_1$  и  $\varphi_1$  ( $a_1$  и  $c_1$ ) и  $\theta_2$  и  $\varphi_2$  ( $a_2$  и  $c_2$ ) во второй волне задается теоретическими уравнениями (8) и (9) (см. [5] и [8]):

$$\theta_1 = \frac{\Gamma_2 \theta_2^0 (\varphi_1 - 1)}{\Gamma_1} + \theta_1^0 \quad (8)$$

$$\theta_2 = \frac{(1 - \omega_2) \varphi_2}{\Gamma_2 \omega_2^2} \quad (9)$$

Например, для опыта № 8

$$\Gamma_1 = \frac{A_{1\infty}}{c_2^0} = 7,83; \quad \Gamma_2 = \frac{A_{2\infty}}{c_2^0} = 14; \quad \omega_2 = 0,094;$$

$$\theta_1^0 = \frac{b_1 c_1^0}{1 + b c_1^0 + b_2 c_2^0} = \frac{70 \cdot 0,03}{1 + 70 \cdot 0,03 + 227 \cdot 0,03} = 0,212;$$

$$\theta_2^0 = \frac{b_2 c_2^0}{1 + b c_1^0 + b_2 c_2^0} = \frac{227 \cdot 0,03}{1 + 70 \cdot 0,03 + 227 \cdot 0,03} = 0,687.$$

На основе этого сделанного расчета взаимосвязи концентрации и адсорбции уксусной и масляной кислот во второй волне опыта № 8 на ис. 8 нанесены пунктирные кривые  $a_1$  и  $a_2$ . Подобные кривые имеются на всех других четных рисунках.

Эти рассчитанные части кривых  $a_1$  и  $a_2$  в разных случаях различно отходят к опытным сплошным кривым  $a_1$  и  $a_2$ . В общем же заметна тенденция рассчитанных кривых  $a_1$  в начальных участках слоя проходить выше опытных, а теоретических кривых  $a_2$  — ниже опытных.

д) Далее мы вычисляли значения максимумов концентраций и адсорбций уксусной кислоты в первой волне по уравнениям (10) и (11):

$$\theta_1' = \frac{\omega_1 + \Gamma_1 \gamma_1 \omega_1 - 1}{\Gamma_1 \gamma_1 \omega_1}, \quad (10)$$

$$\varphi_1' = \frac{\Gamma_2 (\theta_1' - \theta_1^0)}{\Gamma_2 \theta_2^0} + 1. \quad (11)$$

По  $\theta_1'$  и  $\varphi_1'$  вычислялись  $a_1'$  и  $c_1'$ . Почти во всех случаях опытные максимумы  $a_1'$  и  $c_1'$  меньше рассчитанных (см. табл. 7).

Таблица 7

Опытные и теоретические значения  $a_1'$  и  $c_1'$

|  |        | $c_1^0 : c_2^0$ | $d = 0,25 \text{ см}$ |       |       | $d = 0,15 \text{ см}$ |       |       |
|--|--------|-----------------|-----------------------|-------|-------|-----------------------|-------|-------|
|  |        |                 | 1:1                   | 1:3   | 3:1   | 1:1                   | 1:3   | 3:1   |
| $x = 1 \frac{\text{см.}}{\text{мин.}}$ | $a_1'$ | Рассчитанное    | 0,83                  | —     | —     | 0,83                  | 0,82  | 0,92  |
|  | $a_1'$ | Опытное         | 0,88                  | —     | —     | 0,80                  | 0,62  | 0,803 |
|  | $c_1'$ | Рассчитанное    | 0,043                 | —     | —     | 0,043                 | 0,034 | 0,073 |
|  | $c_1'$ | Опытное         | 0,044                 | —     | —     | 0,040                 | 0,028 | 0,05  |
|  | $a_1'$ | Рассчитанное    | 0,86                  | 0,85  | 0,89  | 0,90                  | 0,83  | 0,88  |
|  | $a_1'$ | Опытное         | 0,60                  | 0,46  | 0,76  | 0,60                  | 0,48  | 0,787 |
| $x = 3 \frac{\text{см.}}{\text{мин.}}$ | $c_1'$ | Рассчитанное    | 0,043                 | 0,035 | 0,052 | 0,044                 | 0,035 | 0,066 |
|  | $c_1'$ | Опытное         | 0,034                 | 0,024 | 0,047 | 0,038                 | 0,024 | 0,04  |

е) Далее мы попытались сделать вычисления форм первой и второй волн\*. Форма первой адсорбционной волны задается уравнением (12) по О. М. Тодесу и Я. М. Бяксову [5]:

$$\frac{\theta_1}{(\theta_1' - \theta_1)^{1-\theta_1}} = \exp \left\{ -\frac{\beta_1}{\alpha} \frac{1 + \gamma_1 \Gamma_1 (1 - \theta_1')}{\gamma_1 \Gamma_1 \theta_1'} z \right\}, \quad (12)$$

\* Абсолютного положения волны эта теория не дает возможности рассчитать как это удастся делать по асимптотическому уравнению теории динамики адсорбции одного вещества А. А. Жуховицкого и сотрудников [13].

где

$$z = x - \omega_1 \alpha t. \quad (13)$$

В частном случае, например для опыта № 8, уравнение (12) принимает вид:

$$\frac{\theta_1}{(0,535 - \theta_1)^{0,465}} = e^{-0,212z}. \quad (14)$$

Задавая определенные значения  $\theta_1$ , можно найти для каждого из них  $z$  и значение  $\theta_1$ , отвечающее  $z = 0$ . В опыте № 8 оно оказалось равным 0,39 и отвечающее ему  $a_1 = 0,44$  мг-экв./г. На рис. 8 этому значению адсорбции отвечает абсцисса  $x_0 = 83$  см. При  $z = 0$ ,  $x_0 = \omega_1 \alpha t$  уравнение (13) можно переписать так:

$$x = x_0 + z. \quad (15)$$

Теперь, зная связь  $a_1$  с  $z$ , по уравнению (15) устанавливалась связь между  $a_1$  и  $x$  и по ней строилась кривая  $a_3$  на рис. 8 и аналогично найденные кривые на других четных рисунках.

Концентрационная волна вычислялась по уравнению (16):

$$\frac{\varphi_1}{(1 - \varphi_1)^{1 - \theta_1}} = \exp \left\{ -\frac{\beta_1}{\alpha} \left( \theta_1' + \frac{c_1'}{A_{1\infty}} \right) z \right\}. \quad (16)$$

Значения кинетических коэффициентов  $\beta_1$  для уксусной кислоты вычислялись по эмпирической формуле:

$$\beta \frac{1}{\text{сек}} = 28,4 \frac{Dx^{0,41}}{v^{0,41} d^{1,59}},$$

найденной И. Е. Ампиловым и А. Н. Хариным [11]. Устанавливалась взаимосвязь  $c_1$  и  $x$ , аналогично связи  $a_1$  и  $x$ , строилась кривая  $c_1$  на рис. 7 и аналогично на других нечетных рисунках.

Эти теоретические кривые  $c_1$  на нечетных рисунках и  $a_1$  на четных рисунках в некоторых случаях довольно правильно ориентируют в опытной форме первой волны (особенно адсорбционной). Однако, особенно в случаях относительно большого содержания уксусной кислоты в смеси, на опыте получаются более размытые концентрационные волны, чем рассчитанные по уравнению (16) при подстановке в него опытных значений  $\theta_1'$  и  $c_1'$  и  $\varphi_1 = c_1/c_1'$ .

Из всех этих расчетов вытекает, что теория О. М. Тодеса и Я. М. Биксона дает возможность наметить схему концентрационных и адсорбционных кривых распределения, однако опытные кривые и положения точек  $a_1$  и  $c_1$  не вполне отвечают теоретическим. Отклонения от теории, по нашему мнению, прежде всего связаны с тем, что статические предпосылки теории не отвечают опытным для случая адсорбции смеси уксусной и масляной кислот на угле из водных растворов.

В предпосылках этой теории полагается, что если адсорбция индивидуальных веществ описывается уравнениями (1) и (2), то адсорбция этих веществ из смесей должна подчиняться уравнениям:

$$a_1 = A_{1\infty} \frac{b_1 c_1}{1 + b_1 c_1 + b_2 c_2}, \quad (17)$$

$$a_2 = A_{2\infty} \frac{b_2 c_2}{1 + b_1 c_1 + b_2 c_2}. \quad (18)$$



Статика адсорбции смеси уксусной и масляной кислот при 18—22 °С (навески угля  $m = 0,21$  г)

| Суммарная адсорбция по разности концентрации                          |   |  |  | Равновесные концентрации   |  | Адсорбция   |   | Рассчитано по уравнениям (17) и (18)       |  |  |
|---|---|--|--|--|--|---|---|--|--|--|
| Объем<br>0,06N<br>раствора<br>CH <sub>3</sub> COOH<br>см <sup>3</sup> | Объем<br>0,06N<br>раствора<br>C <sub>3</sub> H <sub>7</sub> COOH<br>см <sup>3</sup> | Равновесная<br>концентрация<br>$c = c_1 + c_2$<br>$\frac{\text{мг-экв.}}{\text{см}^3}$ | Суммарная<br>адсорбция<br>$a = \frac{m}{(c^0 - c)} V$<br>$\frac{\text{мг-экв.}}{\text{г}}$ | Уксусной<br>кислоты<br>$c_1$<br>$\frac{\text{мг-экв.}}{\text{см}^3}$ | Масляной<br>кислоты<br>$c_2$<br>$\frac{\text{мг-экв.}}{\text{см}^3}$ | Уксусной<br>кислоты<br>$a_1$<br>$\frac{\text{мг-экв.}}{\text{г}}$ | Масляной<br>кислоты<br>$a_2$<br>$\frac{\text{мг-экв.}}{\text{г}}$ | $a_1$<br>$\frac{\text{мг-экв.}}{\text{г}}$ | $a_2$<br>$\frac{\text{мг-экв.}}{\text{г}}$ | $a = a_1 + a_2$<br>$\frac{\text{мг-экв.}}{\text{г}}$ |
| 15  | 45  | 0,0481   | 1,700  | 0,0294   | 0,0187   | 0,154   | 1,546   | 0,316                                      | 1,463                                      | 1,479  |
| 10  | 20  | 0,0480   | 1,714  | 0,0199   | 0,0281   | 0,089   | 1,625   | 0,178                                      | 1,454                                      | 1,632  |
| 20  | 10  | 0,0501   | 1,414  | 0,0394   | 0,0106   | 0,219   | 1,495   | 0,501                                      | 0,781                                      | 1,282  |
| 10  | 10  | 0,0412   | 1,790  | 0,0283   | 0,0129   | 0,177   | 1,613   | 0,376                                      | 0,991                                      | 1,367  |
| 5   | 15  | 0,0413   | 1,781  | 0,0142   | 0,0271   | 0,083   | 1,697   | 0,137                                      | 1,510                                      | 1,647  |
| 15  | 5   | 0,0459   | 1,343  | 0,0431   | 0,0028   | 0,329   | 1,014   | 0,726                                      | 0,273                                      | 0,999  |

Равновесные адсорбции той и другой кислоты и их смесей, как следует из наших опытов, не соответствуют рассчитанным по уравнениям (17) (18). Это видно из того, что в первых сантиметрах слоев угля реальное насыщение уксусной кислотой оказывается всегда меньше рассчитанного по уравнениям (17) и (18), а масляной — больше. [Вычисленные значения  $a_1^0$  и  $a_2^0$  отмечены на всех четных рисунках в местах пересечения теоретических (пунктирных) кривых  $a_1$  и  $a_2$  с осью ординат]. С этим связано расхождение опытных и теоретических максимумов  $a_1$  и  $c_1$  в первой волне.

Для проверки правильности нашего предположения об ограниченности применимости уравнений (17) и (18) для описания статистики адсорбции смесей уксусной и масляной кислот на угле № 11 мы поставили соответствующие статистические опыты, результаты которых приведены в табл. 8. Уксусная кислота ( $c_1$  и  $a_1$ ) определялась по счету  $\beta$ -импульсов, а масляная ( $c_2$  и  $a_2$ ) — по разностям ( $c - c_1$ ) и ( $a - a_1$ ). Если сравнить цифры столбцов 7—9, то оказывается, что все опытные значения адсорбции уксусной кислоты (столбец 7) меньше вычисленных (столбец 9), а для масляной, наоборот: опытные значения (столбец 8) адсорбции больше вычисленных (столбец 10).

Суммарные количества адсорбированных кислот на опыте (столбец 4) тоже больше вычисленных (столбец 11).

Сближение опытных и теоретических точек изотерм адсорбции смесей получается при малых концентрациях уксусной кислоты и больших — масляной (5-я строка и отчасти 2-я). При обратных соотношениях расхождения очень велики (строки 6 и 3).

#### ВЫВОДЫ

1. Разработанным нами методом меченых атомов удается определять содержание уксусной кислоты как адсорбированной на угле, так и в растворе в смеси с масляной кислотой.

2. Показано, что некоторые закономерности динамики адсорбции смесей уксусной и масляной кислот из водных растворов на зерненном березовом угле удовлетворительно охватываются теорией О. М. Тодеса и Я. М. Биксона, однако в некоторых отношениях эта теория не дает правильного описания реальных процессов.

3. Различные отклонения теории от опыта прежде всего объясняются тем, что масляная и уксусная кислоты адсорбируются из смеси их в водных растворах не в строгом соответствии с уравнениями изотерм

$$a_1 = A_{1\infty} \frac{b_1 c_1}{1 + b_1 c_1 + b_2 c_2}; \quad a_2 = A_{2\infty} \frac{b_2 c_2}{1 + b_1 c_1 + b_2 c_2}.$$

Уксусная кислота адсорбируется в меньшем количестве, чем требует расчет по этим уравнениям, а масляная — в большем количестве.

Таганрогский радиотехнический  
институт  
Краснодарский педагогический  
институт

Поступила  
28.III.1955

#### ЛИТЕРАТУРА

1. М. М. Дубинин и М. В. Хренова, Журн. прикл. химии, 9, 1204, 1936.
2. М. М. Дубинин и С. Явич, Журн. прикл. химии, 9, 1191, 1936.
3. Н. А. Шиплов, Л. К. Лепинь и С. А. Вознесенский, ЖРХО, 61, 1107, 1929.
4. О. М. Тодес, Журн. прикл. химии, 18, 591, 1945.
5. Я. М. Биксон, О роли диффузионно-кинетических факторов в динамике сорбции, Диссертация, ИФХ АН СССР, 1950.
6. О. М. Тодес и Я. М. Биксон, ДАН, 75, № 5, 727, 1950.
7. Я. М. Биксон, Журн. физ. химии, 27, 1530, 1953.
8. Я. М. Биксон, Журн. физ. химии, 28, 1017, 1954.
9. А. Н. Харин и П. Н. Протасов, Журн. физ. химии, 22, 1219, 1948.
10. П. Н. Протасов, А. Н. Харин и др., Журн. физ. химии, 24, 182, 1950.
11. И. Е. Амфилогов и А. Н. Харин, Журн. физ. химии, 25, 1479, 1951.
12. М. Камен, Радиоактивные индикаторы в биологии, ИИЛ, М., 1948.
13. А. А. Жуховицкий, Я. Л. Забежников, А. Н. Тихонов, Журн. физ. химии, 19, 253, 1945; 20, 1113, 1946; 23, 192, 1949.

## НИЗКОТЕМПЕРАТУРНЫЕ ИССЛЕДОВАНИЯ СТРУКТУРЫ АРОМАТИЧЕСКИХ СОЕДИНЕНИЙ

### III. КРИСТАЛЛИЧЕСКАЯ И МОЛЕКУЛЯРНАЯ СТРУКТУРА НАФТАЛИНА

*В. М. Кожин и А. И. Китайгородский*

Большая анизотропия теплового расширения в нафталине [1] приводит значительному изменению параметров элементарной ячейки, при переходе от комнатной температуры к низкой ( $-195^{\circ}\text{C}$ ):

Для  $t_1 = +20^{\circ}\text{C}$

Для  $t_2 = -195^{\circ}\text{C}$

$$a = 8,218 \pm 0,01 \text{ кХ};$$

$$a = 8,018 \pm 0,01 \text{ кХ};$$

$$b = 5,990 \pm 0,01 \text{ кХ};$$

$$b = 5,938 \pm 0,01 \text{ кХ};$$

$$c = 8,640 \pm 0,01 \text{ кХ};$$

$$c = 8,6168 \pm 0,01 \text{ кХ};$$

$$\beta = 122^{\circ}55' \pm 10'.$$

$$\beta = 124^{\circ}40' \pm 10'.$$

В литературе нет сравнительных данных атомной структуры одного того же молекулярного кристалла при разных температурах.

Нам казалось небезинтересным провести такого рода исследование на таком подходящем объекте, как нафталин. С этой целью было проведено измерение интенсивностей отражений от монокристалла нафталина, которые можно получить на медном излучении как при комнатной, так и при низкой температурах образца. На основе этих измерений методом построения трехмерных рядов электронной плотности установлены структуры нафталина при двух температурах. Из сравнения этих структур можно сделать некоторые выводы о характере влияния температуры на структуру нафталина, а также некоторые выводы общего характера.

### ЭКСПЕРИМЕНТАЛЬНАЯ ЧАСТЬ

Методика получения на одной пленке двух идентичных рентгенограмм при разных температурах образца была описана нами ранее [1]. Для получения рентгенограмм использовалась кассета диаметром 57,3 мм и монокристаллы нафталина размером  $1 \times 1 \times 1$  мм. Соответственно ориентированный на гониометрической головке кристалл покрывался целлофановым колпачком в виде гильзы, диаметром 8 мм и высотой 10 мм. Колпачок был необходим как для предотвращения быстрого испарения кристалла, так и для предохранения его от разрушения при переходе от комнатной температуры к низкой. Охлаждение кристалла производилось тонкой струей охладителя (азот), падающей на колпачок. Измерения, проведенные при помощи термопары медь—константан, показали, что кристалл достигает температуры кипения жидкого азота ( $-195^{\circ}\text{C}$ ) через 5 мин. после начала охлаждения.

Для каждой из двух температур образца нам удалось получить и измерить около 645 из 831 возможных отражений. Оценка интенсивностей отражений производилась визуально, а в некоторых случаях при помощи микрофотометра.

Сравнение интенсивностей отражения плоскостей с одинаковыми индексами ( $hkl$ ) показало довольно монотонное увеличение значений интенсивности при низкой температуре в зависимости от угла  $\vartheta$ . Увеличение интенсивности начинается примерно от  $\vartheta = 25^{\circ}$  и достигает четырехкратного значения при  $\vartheta = 70-85^{\circ}$ .

Температурные изменения интенсивности отражений не показали заметной анизотропии температурного фактора.

Структурные факторы, полученные для комнатной температуры, в пределах ошибок опыта сходятся с данными других авторов [2]. Поэтому модули и знаки структурных факторов были взяты из работы [2].

Таблица 1

## Измеренные структурные факторы для нафталина

| hkl   | F—измеренное |         | hkl    | F—измеренное |         | hkl   | F—измеренное |         |
|-------|--------------|---------|--------|--------------|---------|-------|--------------|---------|
|       | +20° C       | —195° C |        | +20° C       | —195° C |       | +20° C       | —195° C |
| 001   | 33,5         | 33,5    | 40.10  | 2,2          | 5,3     | 610   | 1,6*         | 1,9     |
| 002   | 18,2         | 18,2    | 40.11  | 1,0          | —       | 710   | 1,3          | 2,0     |
| 003   | 22,4         | 22,4    | 604    | 0,9          | —       | 810   | 1,4          | 2,4     |
| 004   | 16,5         | 16,5    | 603    | 4,3          | 8,6     | 118   | 0,7*         | 1,2*    |
| 005   | 1,6          | 1,8     | 602    | 1,9          | 3,2     | 117   | 2,0          | 3,0     |
| 006   | 2,7          | 3,8     | 601    | 1,5          | 2,6     | 116   | 0,9          | 1,1     |
| 007   | 3,9          | 6,6     | 601    | 8,7          | 8,7     | 115   | 1,0*         | 1,1     |
| 008   | 1,3          | 2,6     | 602    | 3,6          | 3,6     | 114   | 2,9          | 3,2     |
| 009   | 1,1          | 2,2     | 603    | 3,3          | 3,3     | 113   | 11,3         | 11,3    |
| 020   | 14,7         | 14,7    | 604    | 11,7         | 11,7    | 112   | 3,3          | 3,3     |
| 040   | 0,8          | 0,8     | 605    | 3,9          | 3,9     | 111   | 8,9          | 8,9     |
| 060   | 1,6          | 1,6     | 606    | 1,9          | 1,9     | 111   | 19,5         | 19,5    |
| 200   | 43,9         | 43,9    | 607    | 11,2         | 15,5    | 112   | 12,6         | 12,6    |
| 400   | 4,6          | 4,6     | 608    | 12,3         | 17,2    | 113   | 14,8         | 14,8    |
| 600   | 6,2          | 6,2     | 609    | 1,4          | 2,0     | 114   | 12,2         | 12,2    |
| 800   | 1,3*         | 2,0*    | 60.10  | 1,4          | 2,0     | 115   | 1,0*         | 1,0*    |
| 208   | 1,4          | 1,4     | 60.11  | 2,1          | 4,2     | 116   | 3,4          | 3,8     |
| 207   | 2,6          | 5,2     | 801    | 1,3          | —       | 117   | 1,3          | 1,6     |
| 206   | 3,4          | 5,8     | 801    | 5,7          | 8,0     | 118   | 1,9          | 2,9     |
| 205   | 1,1          | 1,5     | 802    | 3,3          | 4,5     | 119   | 0,8          | 1,4     |
| 204   | 6,1          | 6,1     | 803    | 1,8          | 2,5     | 218   | 0,9          | —       |
| 203   | 16,8         | 16,8    | 804    | 6,3          | 9,0     | 217   | 0,9*         | 1,5*    |
| 202   | 5,5          | 5,5     | 805    | 6,1          | 8,0     | 216   | 0,9          | 1,4     |
| 201   | 4,9          | 4,9     | 806    | 1,7          | 2,0     | 215   | 1,0          | 1,2     |
| 201   | 37,5         | 37,5    | 807    | 1,9          | 3,0     | 214   | 2,2*         | 2,4*    |
| 202   | 17,3         | 17,3    | 808    | 6,5          | 13,0    | 213   | 4,0          | 4,0     |
| 203   | 0,6*         | 0,6*    | 809    | 1,2          | 2,4     | 212   | 2,2          | 2,2     |
| 204   | 8,7          | 8,7     | 80.10  | 1,4          | 2,8     | 211   | 1,3          | 1,3     |
| 205   | 3,2          | 3,2     | 10.0.3 | 1,2          | 1,2     | 211   | 28,1         | 28,1    |
| 206   | 1,2          | 1,2     | 10.0.4 | 1,2          | 1,2     | 212   | 1,1*         | 1,1*    |
| 207   | 3,5          | 3,5     | 10.05  | 1,2          | 2,4     | 213   | 6,9          | 6,9     |
| 208   | 1,5          | 2,1     | 10.06  | 1,2          | 1,2     | 214   | 10,0         | 10,0    |
| 209   | 1,1          | 1,3     | 10.07  | 1,2          | 2,4     | 216   | 6,2          | 6,2     |
| 20.10 | 1,8          | 3,1     | 10.08  | 1,2          | 1,2     | 215   | 8,4          | 9,3     |
| 406   | 1,3          | 2,2     | 10.09  | 1,2          | 1,2     | 217   | 10,2         | 12,2    |
| 405   | 1,2*         | 1,2*    | 011    | 6,4          | 6,4     | 218   | 2,2          | 3,3     |
| 404   | 1,4          | 1,4     | 012    | 3,8          | 3,8     | 219   | 1,1          | 1,9     |
| 403   | 1,7          | 2       | 013    | 6,7          | 6,7     | 21.10 | 0,9          | 1,5     |
| 402   | 5,7          | 6,9     | 014    | 9,4          | 9,4     | 317   | 0,7          | 1,2     |
| 401   | 1,2          | 1,4     | 015    | 1,4          | 1,5     | 316   | 1,1          | 1,9     |
| 401   | 2,9          | 2,9     | 016    | 4,1          | 5,0     | 315   | 1,0*         | 1,5*    |
| 402   | 6,2          | 6,2     | 017    | 3,5          | 4,2     | 314   | 2,0          | 2,4     |
| 403   | 1,0*         | 1,0*    | 018    | 0,7*         | 1*      | 313   | 3,2          | 3,5     |
| 404   | 9,4          | 9,4     | 019    | 1,1          | 1,1     | 312   | 5,0          | 5,5     |
| 405   | 3,9          | 3,9     | 110    | 37,0         | 37,0    | 311   | 6,5          | 6,5     |
| 406   | 1,0*         | 1,0*    | 210    | 28,9         | 28,9    | 311   | 20,3         | 20,3    |
| 407   | 13,3         | 18,6    | 310    | 5,4          | 5,4     | 312   | 0,6          | 0,6     |
| 408   | 6,6          | 9,2     | 410    | 14,4         | 14,4    | 313   | 6,9**        | 6,9**   |
| 409   | 2,2          | 2,6     | 510    | 4,7          | 5,2     | 314   | 15,7         | 15,7    |



Таблица 1 (продолжение)

| hkl | F—измеренное |         | hkl   | F—измеренное |         | hkl   | F—измеренное |         |
|-----|--------------|---------|-------|--------------|---------|-------|--------------|---------|
|     | +20° C       | —195° C |       | +20° C       | —195° C |       | +20° C       | —195° C |
| 315 | 1,5*         | 1,5*    | 61.10 | 1,0          | 1,7     | 029   | 0,9          | 1,5     |
| 316 | 2,5          | 2,8     | 61.11 | 0,8          | 0,8     | 120   | 13,2         | 13,2    |
| 317 | 8,0          | 8,8     | 713   | 1,3          | —       | 220   | 6,9          | 6,9     |
| 318 | 1,0          | 1,0     | 712   | 1,3          | 2,2     | 320   | 15,0         | 15,0    |
| 319 | 1,0          | 1,5     | 711   | 0,8          | 1,2     | 420   | 2,3          | 2,5     |
| 410 | 1,5          | 2,6     | 711   | 2,6          | 3,1     | 520   | 3,1          | 3,4     |
| 416 | 0,9          | 0,9     | 712   | 1,0          | 1,2     | 620   | 1,3          | 1,4     |
| 415 | 0,9          | 1,5     | 713   | 1,0          | 1,0     | 720   | 1,2          | 1,5     |
| 414 | 3,0          | 4,5     | 714   | 2,7          | 3,2     | 820   | 1,1          | 1,9     |
| 413 | 8,0          | 9,6     | 715   | 2,9          | 3,5     | 128   | 0,6          | 0,9     |
| 412 | 3,4          | 4,1     | 716   | 1,9          | 2,3     | 127   | 1,7          | 2,6     |
| 411 | 1,0          | 1,1     | 717   | 1,7          | 2,0     | 126   | 3,9          | 4,7     |
| 411 | 23,5         | 23,5    | 718   | 5,5          | 8,3     | 125   | 4,2          | 5,0     |
| 412 | 3,0          | 3,0     | 719   | 0,8          | 1,2     | 124   | 4,5          | 5,0     |
| 413 | 11,7         | 11,7    | 71.10 | 0,7          | 1,2     | 123   | 4,0          | 4,0     |
| 414 | 5,0          | 5,0     | 71.11 | 0,7          | —       | 122   | 1,5          | 1,5     |
| 415 | 2,5          | 2,5     | 811   | 0,7          | —       | 121   | 7,5          | 7,5     |
| 416 | 2,9          | 3,2     | 811   | 0,8          | 1,2     | 121   | 2,3*         | 2,3*    |
| 417 | 8,4          | 9,2     | 812   | 0,9          | 1,4     | 122   | 11,8         | 11,8    |
| 418 | 3,9          | 4,7     | 813   | 1,0          | 1,5     | 123   | 9,2          | 9,2     |
| 419 | 0,9          | 1,5     | 814   | 2,3          | 3,5     | 124   | 1,2          | 1,2     |
| 410 | 0,7          | 1,0     | 815   | 1,8          | 2,7     | 125   | 1,2          | 1,2     |
| 415 | 1,0          | 1,0     | 816   | 1,0          | 1,5     | 126   | 7,8          | 8,6     |
| 414 | 1,4          | 2,4     | 817   | 2,6          | 3,9     | 127   | 6,2          | 6,8     |
| 413 | 2,0          | 3,0     | 818   | 5,2          | 7,8     | 128   | 1,0*         | 1,5*    |
| 412 | 1,5          | 1,8     | 819   | 2,3          | 3,6     | 129   | 1,4          | 2,4     |
| 411 | 1,1          | 1,2     | 81.10 | 0,6          | 0,9     | 227   | 1,0          | 1,5     |
| 411 | 3,0          | 3,3     | 911   | 2,6          | 3,6     | 226   | 3,8          | 5,7     |
| 412 | 3,5          | 3,5     | 912   | 0,9          | 1,5     | 225   | 1,3          | 1,6     |
| 413 | 1,6          | 1,6     | 913   | 0,8          | 1,4     | 224   | 8,4          | 9,2     |
| 414 | 10,2         | 11,2    | 914   | 0,9          | 1,3     | 223   | 2,2          | 2,4     |
| 415 | 1,9          | 2,0     | 915   | 0,9          | 1,3     | 222   | 3,1          | 3,1     |
| 416 | 1,4          | 1,5     | 916   | 1,0          | 1,5     | 221   | 11,5         | 11,5    |
| 417 | 7,1          | 8,5     | 917   | 1,2          | 2,0     | 221   | 4,0          | 4,0     |
| 418 | 5,0          | 6,0     | 918   | 1,5          | 2,5     | 222   | 1,9          | 1,9     |
| 419 | 2,3          | 3,5     | 919   | 1,4          | 2,0     | 223   | 16,3         | 16,3    |
| 410 | 0,7          | 1,2     | 91.10 | 0,7          | —       | 224   | 12,2         | 12,2    |
| 411 | 1,0          | 1,0     | 10.13 | 0,8          | 1,1     | 225   | 1,1          | 1,2     |
| 414 | 0,8          | 1,2     | 10.14 | 2,9          | 4,0     | 226   | 4,9          | 5,4     |
| 413 | 4,3          | 7,3     | 10.15 | 3,0          | 4,2     | 227   | 4,6          | 5,2     |
| 412 | 4,4          | 6,6     | 10.16 | 0,9          | 1,3     | 228   | 2,5          | 3,8     |
| 411 | 0,8          | 1       | 10.17 | 0,9          | 1,3     | 229   | 1,3**        | 2,2     |
| 411 | 6,1          | 6,7     | 10.18 | 2,7          | 3,8     | 22.10 | 0,6*         | 1,0     |
| 412 | 1,1          | 1,2     | 021   | 15,8         | 15,8    | 327   | 0,7          | —       |
| 413 | 3,6          | 4,0     | 022   | 5,3          | 5,3     | 326   | 0,8          | 1,2     |
| 414 | 2,7          | 3,0     | 023   | 11,2         | 11,2    | 325   | 1,6          | 2,4     |
| 415 | 1,0          | 1,1     | 024   | 4,0          | 4,4     | 324   | 5,6          | 6,7     |
| 416 | 1,0          | 1,0     | 025   | 1,4**        | 1,5**   | 323   | 6,9          | 7,6     |
| 417 | 1,2          | 1,4     | 026   | 8,2          | 9,9     | 322   | 1,3*         | 1,4     |
| 418 | 1,4          | 1,7     | 027   | 2,5          | 2,8     | 321   | 0,8          | 0,8     |
| 419 | 0,9          | 1,5     | 028   | 0,9          | 1,5     | 321   | 15,1         | 15,1    |

Таблица 1 (продолжение)

| hkl   | F—измеренное |         | hkl   | F—измеренное |         | hkl | F—измеренное |         |
|-------|--------------|---------|-------|--------------|---------|-----|--------------|---------|
|       | +20° C       | —195° C |       | +20° C       | —195° C |     | +20° C       | —195° C |
| 322   | 2,7          | 2,7     | 628   | 1,9          | 2,9     | 430 | 1,1          | 1,2     |
| 323   | 8,3          | 8,3     | 629   | 1,1          | 1,6     | 530 | 1,1          | 1,3     |
| 324   | 2,3          | 2,3     | 62.10 | 2,0          | 3,4     | 630 | 0,9          | 1,3     |
| 325   | 6,9          | 7,6     | 722   | 2,0          | 3,0     | 730 | 1,4          | 2,4     |
| 326   | 2,2          | 2,4     | 721   | 1,4          | 2       | 830 | 0,6          | —       |
| 327   | 6,5          | 7,9     | 721   | 3,5          | 5,3     | 138 | 0,6          | —       |
| 328   | 2,0          | 3,0     | 722   | 4,2          | 5,0     | 137 | 0,6          | 1,0     |
| 329   | 0,6          | 1,0     | 723   | 2,4          | 3,5     | 136 | 5,8          | 8,7     |
| 32.10 | 0,9          | 1,4     | 724   | 3,6          | 4,3     | 135 | 1,1          | 1,3     |
| 426   | 0,9          | 1,5     | 725   | 2,2          | 2,6     | 134 | 9,8          | 10,8    |
| 425   | 0,7          | 1,2     | 726   | 1,5          | 1,8     | 133 | 3,0          | 3,3     |
| 424   | 4,3          | 6,5     | 727   | 2,2          | 3,3     | 132 | 10,8         | 12,0    |
| 423   | 3,8          | 4,6     | 728   | 2,5          | 3,8     | 131 | 6,5          | 6,5     |
| 422   | 1,8          | 2,2     | 729   | 1,3          | 2,2     | 131 | 8,9          | 8,9     |
| 421   | 2,8          | 3,1     | 72.10 | 2,0          | 3,4     | 132 | 0,6*         | 0,6*    |
| 421   | 14,2         | 14,2    | 821   | 1,1          | 1,6     | 133 | 8,8          | 8,8     |
| 422   | 7,0          | 7,0     | 821   | 1,2          | 1,8     | 134 | 5,2          | 5,7     |
| 423   | 1,5          | 1,5     | 822   | 2,1          | 3,1     | 135 | 7,8          | 8,6     |
| 424   | 10,0         | 10,0    | 823   | 2,8          | 4,2     | 136 | 2,7          | 3,2     |
| 425   | 4,6          | 5,1     | 824   | 4,8          | 7,2     | 137 | 1,5          | 2,3     |
| 426   | 1,4*         | 1,5     | 825   | 1,2          | 1,7     | 138 | 1,7          | 2,6     |
| 427   | 0,9          | 1,0     | 826   | 1,1          | 1,6     | 139 | 0,4          | —       |
| 428   | 2,7          | 3,2     | 827   | 1,5          | 2,3     | 237 | 1,0          | —       |
| 429   | 1,3          | 2,0     | 828   | 0,9          | 1,4     | 236 | 3,3          | 5,6     |
| 42.10 | 1,1          | 1,9     | 829   | 0,9          | 1,4     | 235 | 5,1          | 7,7     |
| 525   | 0,7          | 1,0     | 82.10 | 0,7          | 1,4     | 234 | 6,1          | 7,4     |
| 524   | 1,5          | 2,5     | 921   | 0,8          | 1,6     | 233 | 5,7          | 6,3     |
| 523   | 4,9          | 7,4     | 922   | 0,9          | 1,5     | 232 | 4,6          | 4,5     |
| 522   | 3,4          | 4,1     | 923   | 1,3          | 2,2     | 231 | 5,3          | 5,3     |
| 521   | 1,8          | 2,2     | 924   | 4,8          | 8,2     | 231 | 9,7          | 9,7     |
| 521   | 14,3         | 15,7    | 925   | 2,6          | 4,4     | 232 | 5,4          | 5,4     |
| 522   | 6,4          | 7,0     | 926   | 1,2          | 1,7     | 233 | 0,8*         | 0,8*    |
| 523   | 1,0**        | 1,1**   | 927   | 1,2          | 1,7     | 234 | 2,9          | 3,2     |
| 524   | 1,4          | 1,5     | 928   | 3,3          | 5,6     | 235 | 2,7          | 3,0     |
| 525   | 5,1          | 5,6     | 929   | 0,8          | 1,4     | 236 | 1,0          | 1,2     |
| 526   | 2,0          | 2,2     | 10.24 | 3,0          | —       | 237 | 0,8          | 0,9     |
| 527   | 1,3          | 1,6     | 10.25 | 1,1          | —       | 238 | 0,8          | 1,0     |
| 528   | 1,6          | 2,4     | 10.26 | 1,1          | —       | 239 | 0,5          | 0,8     |
| 529   | 0,9          | 1,3     | 10.27 | 1,0          | —       | 336 | 2,1          | 2,7     |
| 52.10 | 1,0          | 1,7     | 10.28 | 1,0          | —       | 335 | 3,4          | 5,1     |
| 624   | 0,7          | 1,0     | 031   | 13,7         | 13,7    | 334 | 4,0          | 6,0     |
| 623   | 0,8          | 1,4     | 032   | 8,0          | 8,0     | 333 | 3,0          | 3,6     |
| 622   | 0,3          | 0,5     | 033   | 7,8          | 7,8     | 332 | 4,5          | 5,0     |
| 621   | 1,5          | 2,2     | 034   | 8,9          | 9,8     | 331 | 0,9          | 1,0     |
| 621   | 7,7          | 9,2     | 035   | 6,8          | 8,2     | 331 | 0,8*         | 0,8*    |
| 622   | 8,3          | 9,2     | 036   | 3,2          | 3,8     | 332 | 5,6          | 5,6     |
| 623   | 3,3          | 3,6     | 037   | 1,3          | 2,0     | 333 | 1,8          | 1,8     |
| 624   | 1,7          | 1,9     | 038   | 1,0          | —       | 334 | 2,0          | 2,2     |
| 625   | 3,2          | 3,5     | 130   | 10,0         | 10,0    | 335 | 3,3          | 3,6     |
| 626   | 1,6          | 1,9     | 230   | 1,6*         | 1,6*    | 336 | 2,7          | 3,2     |
| 627   | 2,4          | 2,4     | 330   | 4,3          | 4,8     | 337 | 0,8          | 1,0     |

Таблица 1 (продолжение)

| hkl   | F—измеренное |         | hkl | F—измеренное |         | hkl | F—измеренное |         |
|-------|--------------|---------|-----|--------------|---------|-----|--------------|---------|
|       | +20° C       | —195° C |     | +20° C       | —195° C |     | +20° C       | —195° C |
| 338   | 1,8          | 2,7     | 735 | 3,2          | 4,8     | 246 | 0,5          | 0,8     |
| 339   | 1,3          | 2,2     | 736 | 1,7          | 2,5     | 245 | 2,4          | 3,6     |
| 33.10 | 0,4          | —       | 737 | 2,4          | 3,6     | 244 | 1,9          | 2,9     |
| 435   | 1,4          | 1,8     | 738 | 1,7          | 3,0     | 243 | 1,5          | 1,7     |
| 434   | 1,4          | 2,1     | 739 | 0,7          | 1,2     | 242 | 5,0          | 5,5     |
| 433   | 2,0          | 3,0     | 831 | 2,7          | 4,6     | 241 | 1,5*         | 1,7*    |
| 432   | 1,5          | 1,8     | 832 | 4,6          | 7,8     | 241 | 5,5          | 6,0     |
| 431   | 1,0          | 1,0     | 833 | 4,6          | 7,8     | 242 | 10,5         | 11,5    |
| 431   | 1,0          | 1,1     | 834 | 4,7          | 7,0     | 243 | 4,5          | 5,0     |
| 432   | 0,8          | 0,9     | 835 | 2,2          | 3,3     | 244 | 4,7          | 5,2     |
| 433   | 5,5          | 6,0     | 836 | 0,9          | 1,4     | 245 | 9,9          | 12,0    |
| 434   | 4,8          | 5,3     | 837 | 0,9          | 1,2     | 246 | 5,1          | 6,1     |
| 435   | 2,4          | 2,6     | 838 | 0,9          | 1,2     | 247 | 1,0          | 1,2     |
| 436   | 2,5          | 3,0     | 839 | 0,9          | 1,2     | 248 | 1,0          | 1,5     |
| 437   | 1,9          | 2,3     | 932 | 1,8          | 1,7     | 249 | 0,7          | 1,4     |
| 438   | 1,1          | 1,6     | 933 | 0,5          | 0,7     | 325 | 1,0          | 1,5     |
| 349   | 1,2          | 2,0     | 934 | 2,2          | 3,8     | 344 | 0,9          | 1,4     |
| 43.10 | 0,5          | —       | 935 | 0,5          | 0,9     | 343 | 1,1          | 1,2     |
| 534   | 0,4          | 0,8     | 936 | 1,3          | 2,2     | 342 | 4,4          | 5,3     |
| 533   | 0,5          | 0,8     | 937 | 0,6          | 1,0     | 341 | 4,2          | 5,0     |
| 532   | 0,8          | 1,2     | 938 | 0,6          | 1,0     | 341 | 5,2          | 5,7     |
| 531   | 1,1          | 1,3     | 041 | 3,3          | 3,6     | 342 | 1,8          | 2,0     |
| 531   | 5,3          | 5,8     | 042 | 1,6          | 1,8     | 343 | 8,7          | 9,6     |
| 532   | 1,3          | 1,4     | 043 | 0,9          | 1,0     | 344 | 1,2          | 1,3     |
| 533   | 8,9          | 9,8     | 044 | 7,0          | 8,4     | 345 | 6,8          | 8,2     |
| 534   | 0,7          | 0,8     | 045 | 5,4          | 6,5     | 346 | 1,4          | 1,7     |
| 535   | 4,1          | 5       | 046 | 0,7          | 1,0     | 347 | 2,0          | 3,0     |
| 536   | 1,3          | 1,6     | 047 | 0,7          | 1,0     | 348 | 1,1          | 1,9     |
| 537   | 3,1          | 3,7     | 048 | 0,7          | 1,0     | 349 | 1,2          | 2,0     |
| 538   | 2,1          | 3,1     | 140 | 1,0          | 1,1     | 445 | 1            | 1,7     |
| 539   | 0,8*         | 1,2*    | 240 | 1,0          | 1,1     | 444 | 2,0          | 3,4     |
| 53.10 | 1,3          | 2,2     | 340 | 1,0          | 1,1     | 443 | 0,9          | 1,4     |
| 633   | 0,8          | 1,4     | 440 | 1,0          | 1,2     | 449 | 2,2          | 3,3     |
| 632   | 0,7          | 1,3     | 540 | 1,5          | 1,8     | 441 | 1,0*         | 1,2     |
| 631   | 0,5**        | 0,8     | 640 | 2,0          | 3,0     | 441 | 2,7          | 3,3     |
| 631   | 3,6          | 4,3     | 740 | 0,9          | 1,5     | 442 | 9,8          | 12,0    |
| 632   | 6,1          | 7,3     | 147 | 2,7          | 3,5     | 443 | 9,3          | 11,0    |
| 633   | 7,5          | 9,0     | 146 | 1,0          | 1,4     | 444 | 1,9*         | 2,3     |
| 634   | 6,7          | 8,0     | 145 | 1,2          | 1,8     | 445 | 4,0          | 4,8     |
| 635   | 3,7          | 4,4     | 144 | 3,3          | 4,0     | 446 | 5,1          | 6,1     |
| 636   | 2,7          | 3,2     | 143 | 3,8          | 4,6     | 447 | 1,3          | 1,5     |
| 637   | 2,1          | 3,1     | 142 | 1,8          | 2,0     | 448 | 1,0          | 1,5     |
| 638   | 1,3          | 2,0     | 141 | 3,3          | 3,6     | 449 | 0,8          | 1,6     |
| 639   | 2,1          | 3,6     | 141 | 5,8          | 6,4     | 544 | 0,4          | —       |
| 63.10 | 0,8          | 1,3     | 142 | 3,0          | 3,3     | 543 | 0,8          | 1,4     |
| 732   | 0,7          | —       | 143 | 2,9          | 3,2     | 542 | 1,8          | 3,1     |
| 731   | 1,2          | 2,0     | 144 | 6,0          | 6,6     | 541 | 3,7          | 5,5     |
| 731   | 2,7          | 4,0     | 145 | 4,6          | 5,5     | 541 | 1,3          | 1,6     |
| 732   | 4,7          | 7,0     | 146 | 1,1          | 1,6     | 542 | 1,3          | 1,5     |
| 733   | 4,0          | 6,0     | 147 | 1,0          | 1,5     | 543 | 6,0          | 7,2     |
| 734   | 5,2          | 7,8     | 148 | 1,1          | 1,9     | 544 | 2,7          | 3,2     |

Таблица 1 (продолжение)

| hkl | F—измеренное |         | hkl | F—измеренное |         | hkl | F—измеренное |         |
|-----|--------------|---------|-----|--------------|---------|-----|--------------|---------|
|     | +20° C       | —195° C |     | +20° C       | —195° C |     | +20° C       | —195° C |
| 545 | 2,3          | 2,8     | 155 | 0,8          | 1,6     | 551 | 1,0          | 1,7     |
| 546 | 1,0          | 1,5     | 154 | 0,8          | 1,2     | 551 | 1,0          | 1,5     |
| 547 | 1,1          | 1,7     | 153 | 0,7          | 0,8     | 552 | 2,6          | 3,9     |
| 548 | 1,1          | 1,9     | 152 | 6,1          | 7,3     | 553 | 1,8          | 2,7     |
| 549 | 0,9          | 1,5     | 151 | 4,6          | 5,5     | 554 | 0,7          | 1,0     |
| 642 | 1,6          | 2,1     | 151 | 3,8          | 4,6     | 555 | 3,2          | 4,8     |
| 641 | 0,7          | 1,2     | 152 | 10,2         | 12,2    | 556 | 4,8          | 7,2     |
| 641 | 1,1          | 1,7     | 153 | 3,3          | 4,0     | 557 | 1,0          | 1,8     |
| 642 | 2,1          | 3,1     | 154 | 1,0          | 1,2     | 558 | 1,1          | 1,9     |
| 643 | 5,7          | 8,6     | 155 | 3,2          | 3,8     | 651 | 0,8          | 1,1     |
| 644 | 1,1          | 1,7     | 156 | 1,8          | 3,1     | 651 | 0,8          | 1,4     |
| 645 | 2,1          | 3,1     | 157 | 0,8          | 1,6     | 652 | 3,4          | 5,8     |
| 646 | 0,8          | 1,2     | 255 | 3,3          | 5,6     | 653 | 2,2          | 3,8     |
| 647 | 0,8          | 1,3     | 254 | 2,8          | 4,8     | 654 | 0,7*         | 1,2     |
| 648 | 0,8          | 1,3     | 253 | 1,1          | 1,4     | 655 | 1,7          | 2,9     |
| 649 | 0,8          | 1,3     | 252 | 1,9          | 2,3     | 656 | 1,3          | 2,2     |
| 741 | 0,7          | 1,4     | 251 | 1,1          | 1,8     | 657 | 0,5          | 0,9     |
| 741 | 1,0          | 1,7     | 251 | 1,5          | 1,8     | 658 | 0,5          | 1,0     |
| 742 | 1,1          | 1,9     | 252 | 6,6          | 8,0     | 751 | 0,8          | 1,6     |
| 743 | 1,3          | 2,0     | 253 | 6,0          | 7,2     | 752 | 0,8          | 1,6     |
| 744 | 1,3          | 2,0     | 254 | 2,7          | 3,2     | 753 | 0,9          | 1,8     |
| 745 | 1,1          | 1,6     | 255 | 3,6          | 5,4     | 754 | 0,9          | 1,8     |
| 746 | 1,0          | 1,4     | 256 | 1,1          | 1,6     | 755 | 1,0          | 2,0     |
| 747 | 1,0          | 1,5     | 257 | 0,7*         | 1,2     | 756 | 2,5          | 3,8     |
| 748 | 0,8          | 1,4     | 258 | 0,7          | 1,4     | 757 | 0,8          | 1,6     |
| 749 | 0,8          | 1,6     | 355 | 0,8          | 1,6     | 853 | 0,7          | 1,4     |
| 841 | 0,8          | 1,6     | 354 | 0,9          | 1,8     | 854 | 0,7          | 1,4     |
| 842 | 1,9          | 2,9     | 353 | 0,8          | 1,2     | 855 | 0,9          | 1,4     |
| 843 | 1,2          | 2,0     | 352 | 0,8          | 1,2     | 856 | 0,7          | 1,4     |
| 844 | 0,8          | 1,3     | 351 | 2,7          | 3,2     | 061 | 3,6          | 5,4     |
| 845 | 1,9          | 3,2     | 351 | 1,6          | 1,9     | 063 | 1,4          | 2,1     |
| 846 | 1,2          | 2,0     | 352 | 7,9          | 9,5     | 064 | 2,0          | 3,2     |
| 847 | 1,0          | 1,8     | 353 | 4,3          | 5,2     | 065 | 2,0          | 3,5     |
| 848 | 0,8          | 1,6     | 354 | 1,0          | 1,2     | 066 | 1,5          | —       |
| 944 | 0,9          | 1,8     | 355 | 5,5          | 8,3     | 160 | 1,0          | 1,5     |
| 945 | 0,9          | 1,8     | 356 | 4,1          | 6,2     | 260 | 1,1**        | 1,6     |
| 946 | 0,9          | 1,8     | 357 | 1,0          | 1,5     | 360 | 0,9          | 1,5     |
| 051 | 3,1          | 3,7     | 358 | 0,9          | 1,8     | 460 | 0,9          | 1,5     |
| 052 | 6,3          | 7,6     | 454 | 0,4          | —       | 560 | 0,9          | 1,8     |
| 053 | 1,8          | 2,2     | 453 | 0,6          | 1,0     | 165 | 0,9          | 1,8     |
| 054 | 2,3          | 2,5     | 452 | 1,8          | 3,0     | 164 | 0,9          | 1,8     |
| 055 | 2,0          | 2,3     | 451 | 3,6          | 5,4     | 163 | 1,0          | 1,6     |
| 056 | 2,0          | 2,5     | 451 | 0,9          | 1,4     | 162 | 2,4          | 3,6     |
| 057 | 1,8          | 2,6     | 452 | 0,8          | 1,2     | 161 | 2,7          | 4,0     |
| 150 | 1,3          | 1,6     | 453 | 2,8          | 4,2     | 161 | 0,9          | 1,4     |
| 250 | 0,9          | 1,1     | 454 | 1,1          | 1,6     | 162 | 1,7          | 2,6     |
| 350 | 0,9          | 1,1     | 455 | 5,9          | 8,9     | 163 | 0,9          | 1,4     |
| 450 | 2,5          | 3,8     | 456 | 2,5          | 3,8     | 164 | 2,7          | 4,0     |
| 550 | 1,3          | 2,0     | 457 | 0,6          | 0,9     | 165 | 0,9          | 1,5     |
| 650 | 0,9          | 1,5     | 458 | 0,4          | 0,7     | 166 | 0,9          | 1,8     |
| 156 | 0,8          | 1,6     | 552 | 0,4          | 0,6     | 264 | 1,1          | 2,0     |



Таблица 1 (продолжение)

| F—измеренное |        |         | F—измеренное |        |         | F—измеренное |        |         |
|--------------|--------|---------|--------------|--------|---------|--------------|--------|---------|
| hkl          | +20° C | —195° C | hkl          | +20° C | —195° C | hkl          | +20° C | —195° C |
| 263          | 0,8    | 1,5     | 464          | 0,9    | 1,5     | 370          | 0,6    | 1,0     |
| 262          | 4,8    | 7,2     | 465          | 2,5    | 4,3     | 173          | 0,8    | 1,6     |
| 161          | 7,4    | 11,0    | 466          | 1,7    | 2,9     | 172          | 1,0    | 2,0     |
| 261          | 1,0    | 1,4     | 467          | 0,8    | 1,6     | 171          | 1,8    | 3,1     |
| 262          | 3,5    | 5,2     | 561          | 0,7    | 1,2     | 171          | 1,8    | 3,1     |
| 263          | 0,7    | 1,0     | 561          | 0,8    | 1,4     | 172          | 1,0    | 1,6     |
| 264          | 1,2    | 1,8     | 562          | 2,4    | 4,1     | 173          | 0,8    | 1,5     |
| 265          | 1,0    | 1,8     | 563          | 2,1    | 3,6     | 174          | 0,8    | 1,6     |
| 266          | 0,8    | 1,6     | 564          | 0,8    | 1,4     | 272          | 2,3    | 3,5     |
| 363          | 0,8    | 1,6     | 565          | 0,8    | 1,4     | 271          | 2,1    | 3,6     |
| 362          | 1,8    | 3,1     | 566          | 0,8    | 1,6     | 271          | 1,9    | 3,2     |
| 361          | 2,5    | 4,3     | 661          | 0,4    | 0,8     | 272          | 3,2    | 5,4     |
| 361          | 0,8    | 1,2     | 662          | 0,4    | 0,8     | 273          | 1,3    | 2,2     |
| 362          | 1,3    | 2,0     | 663          | 0,4    | 0,8     | 274          | 0,8    | 1,6     |
| 363          | 0,9    | 1,5     | 664          | 0,4    | 0,8     | 371          | 2,2    | 4,4     |
| 364          | 0,9    | 1,5     | 665          | 2,0    | 2,8     | 371          | 0,7    | 1,4     |
| 365          | 0,8    | 1,5     | 666          | 2,6    | 3,4     | 372          | 0,7    | 1,4     |
| 366          | 0,7    | 1,4     | 071          | 0,7    | 1,2     | 373          | 0,7    | 104     |
| 367          | 0,7    | 1,4     | 072          | 0,5    | 0,8     | 374          | 0,7    | 1,6     |
| 462          | 0,7    | 1,2     | 073          | 0,5    | 1,0     | 471          | 0,8    | 1,6     |
| 461          | 0,8    | 1,1     | 074          | 0,5    | 1,0     | 472          | 0,8    | 2,6     |
| 461          | 1,0    | 1,7     | 170          | 0,6    | 1,0     | 473          | 1,3    | 1,4     |
| 462          | 0,9    | 1,5     | 270          | 0,7*   | 1,2     | 474          | 0,7    |         |
| 463          | 0,9    | 1,5     |              |        |         |              |        |         |

\* — значения, не включенные в синтез Фурье.

\*\* — значения, включенные в синтез Фурье с неправильным знаком — плоскость вышла из сферы отражений.

Определение значений структурных факторов при низкой температуре (табл. 1) производилось по формуле

$$F_{-195^{\circ}} = kF_{+20^{\circ}}, \quad (1)$$

$$k = \sqrt{\frac{I_{-195^{\circ}} L_{+20^{\circ}}}{I_{+20^{\circ}} L_{-195^{\circ}}}}. \quad (2)$$

Для оценки электронной плотности были подсчитаны трехмерные ряды. Каждая из осей элементарной ячейки делилась на 48 частей. Усреднение распространялось на четверть элементарной ячейки. Ряд содержал 612 членов.

Пять независимых атомов молекулы нафталина были локализованы и помощи интерполяционного метода [3] определения координат максимумов трехмерных рядов электронной плотности.

В табл. 2 даны координаты атомов, отнесенные к моноклинным  $(yz)$  и ортогональным  $(x'yz')$  осям для двух температур. Обозначения атомов и их положения по отношению к осям кристалла даны на рис. 1.

Максимальные значения электронной плотности атомов при низкой температуре приблизительно в 1,4 раза больше, чем при комнатной (табл. 8).

Таблица 2

Координаты атомов, отнесенные к моноклинным ( $xuz$ ) и ортогональным ( $x'uz'$ ) осям кристалла

| Атом            | $x$ (кХ) |         | $x'$ (кХ) |         | $u$ (кХ) |         | $z$ (кХ) |         | $z'$ (кХ) |         |
|-----------------|----------|---------|-----------|---------|----------|---------|----------|---------|-----------|---------|
|                 | +20 °С   | -195 °С | +20 °С    | -195 °С | +20 °С   | -195 °С | +20 °С   | -195 °С | +20 °С    | -195 °С |
| $C_A$ . . . . . | 0,715    | 0,669   | -0,812    | -0,918  | 0,092    | 0,089   | 2,810    | 2,790   | 2,358     | 2,295   |
| $C_B$ . . . . . | 0,932    | 0,896   | -0,094    | -0,173  | 0,958    | 0,961   | 1,888    | 1,883   | 1,586     | 1,549   |
| $C_C$ . . . . . | 0,389    | 0,372   | 0,228     | 0,203   | 0,610    | 0,612   | 0,296    | 0,297   | 0,248     | 0,244   |
| $C_D$ . . . . . | 0,613    | 0,598   | 0,984     | 0,970   | 1,480    | 1,476   | -0,684   | -0,655  | -0,574    | -0,538  |
| $C_E$ . . . . . | 0,083    | 0,076   | 1,272     | 1,325   | 1,119    | 1,138   | -2,191   | -2,195  | -1,838    | -1,806  |

Таблица 3

| Атомы<br>Температура | Электронная плотность в электр. кХ <sup>-3</sup> |       |       |       |       |        |
|----------------------|--|-------|-------|-------|-------|--------|
|                      | $C_A$  | $C_B$ | $C_C$ | $C_D$ | $C_E$ | Средн. |
| + 20° С              | 6,5  | 7     | 8     | 7     | 6,5   | 7      |
| -195° С              | 9,1  | 9,9   | 11,0  | 9,0   | 9,4   | 9,7    |

Применяя аппроксимацию  $f$ -кривой, предложенную А. И. Китайгородским [4]:  $f_i = ke^{-\alpha S}$  (где  $k$  — константа,  $S = 4\pi \sin \vartheta / \lambda$ ,  $\alpha$  — постоянная, найденная из опыта), можно представить  $f$ -кривую как функцию одного параметра  $\alpha$ . В этом случае радиальное распределение электронной плотности сферически симметричного атома будет иметь вид:

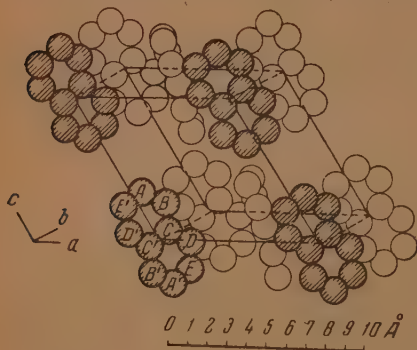


Рис. 1. Вид элементарной ячейки нафталина и положения молекул по отношению к осям кристалла

для низкой 9,7 электр. кХ<sup>-3</sup>, получим соответствующие значения  $\alpha$ . Было найдено  $\alpha_{+20} = 0,39$ ,  $\alpha_{-195} = 0,32$ .

Найденные значения параметров позволяют оценить относительное увеличение точности в определении координат атомов для двух указанных температур. Согласно формулам точности, выведенным в работе [4],

$$\rho(r) = \frac{k}{2\pi^2 r} \int_0^S Se^{-\alpha S} \sin Sr dS. \quad (3)$$

В нашем случае для  $Cu - K\alpha$  излучения  $S_{\max} = 8,0$ .

Как известно из цитированной работы [4], значение коэффициента  $\alpha$  связано со значением электронной плотности в максимуме  $\rho(0)$ . Беря  $\rho(0)$  для комнатной температуры в среднем 7 электр. кХ<sup>-3</sup> и

пропорционально  $\alpha^{5/2}$ ; следовательно,

$$\frac{\Delta r_{+20^\circ}}{\Delta r_{-195^\circ}} = \left( \frac{\alpha_{+20^\circ}}{\alpha_{-195^\circ}} \right)^{5/2} = 1,65.$$

И оценка интенсивностей проведена с точностью  $\pm 50\%$ , то точность распределения координат атомов для  $+20^\circ \text{C}$   $\Delta r = \pm 0,013 \text{ kX}$ , а для  $-195^\circ \text{C}$   $\Delta r = \pm 0,008 \text{ kX}$ .

Из координат атомов, указанных в табл. 2, найдено уравнение плоскости, в которой лежат атомы молекулы нафталина. Для  $t_1 = 20^\circ \text{C}$  уравнение плоскости молекулы имеет вид:

$$x' - 0,527y + 0,369z' = 0.$$

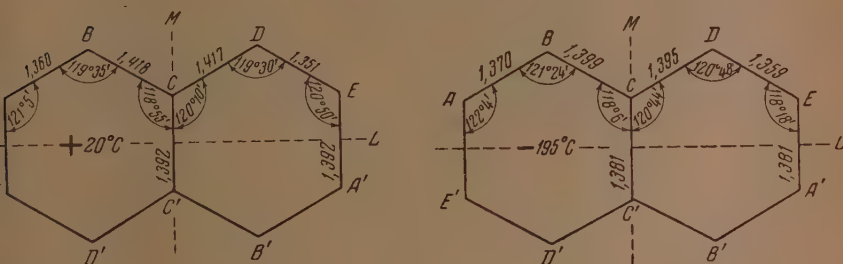


Рис. 2. Молекула нафталина при разных температурах

Соответственно для  $t_2 = -195^\circ \text{C}$

$$x' - 0,500y + 0,419z' = 0,$$

где  $x'y'z'$  — координаты атомов, отнесенные к ортогональным осям  $b$  и  $c'$ , причем ось  $c'$  перпендикулярна  $a$  и  $b$ , а  $x' = x + z \cos \beta$ ,  $z' = z \sin \beta$  (для удобства сравнения полученных данных обозначения взяты те же, как и в работе [2]).

Вид молекулы при разных температурах, с указанием межатомных расстояний и углов, показан на рис. 2.

Ориентация молекулы в кристалле описывается углами  $\chi_L, \psi_L, \omega_L, \chi_M, \psi_M, \omega_M; \chi_N, \psi_N, \omega_N$ , которые образуются осями молекулы  $L, M$

Таблица 4

Ориентация молекулы

| $t_1 = +20^\circ \text{C}$ |                        | $t_2 = -195^\circ \text{C}$ |                        |
|----------------------------|------------------------|-----------------------------|------------------------|
| $\cos \chi_L = -0,4350$    | $\chi_L = 115,0^\circ$ | $\cos \chi_L = -0,4681$     | $\chi_L = 117,9^\circ$ |
| $\cos \psi_L = -0,2128$    | $\psi_L = 102,6$       | $\cos \psi_L = -0,2128$     | $\psi_L = 102,7$       |
| $\cos \omega_L = 0,8750$   | $\omega_L = 29,0$      | $\cos \omega_L = 0,8552$    | $\omega_L = 31,2$      |
| $\cos \chi_M = 0,3217$     | $\chi_M = 71,2$        | $\cos \chi_M = 0,2817$      | $\chi_M = 73,6$        |
| $\cos \psi_M = 0,8709$     | $\psi_M = 29,45$       | $\cos \psi_M = 0,8813$      | $\psi_M = 28,2$        |
| $\cos \omega_M = 0,3718$   | $\omega_M = 68,2$      | $\cos \omega_M = 0,3791$    | $\omega_M = 67,6$      |
| $\cos \chi_N = 0,8410$     | $\chi_N = 32,8$        | $\cos \chi_N = 0,8875$      | $\chi_N = 33,1$        |
| $\cos \psi_N = -0,4428$    | $\psi_N = 116,3$       | $\cos \psi_N = -0,4188$     | $\psi_N = 114,7$       |
| $\cos \omega_N = 0,3102$   | $\omega_N = 71,9$      | $\cos \omega_N = 0,3509$    | $\omega_N = 69,5$      |

и  $N$  с осями  $a$ ,  $b$  и  $c$  кристалла. Ось  $N$  перпендикулярна плоскости молекулы, ось  $L$  лежит в плоскости молекулы и проходит посередине между атомами  $C_A$  и  $C_E$ , а ось  $M$  перпендикулярна осям  $N$  и  $L$ .

Значения углов приведены в табл. 4. Максимальное отклонение в величине углов при разных температурах достигает значений не более  $\pm 2,5^\circ$ .

Как видно из рис. 2, сокращение межатомных расстояний незначительно.

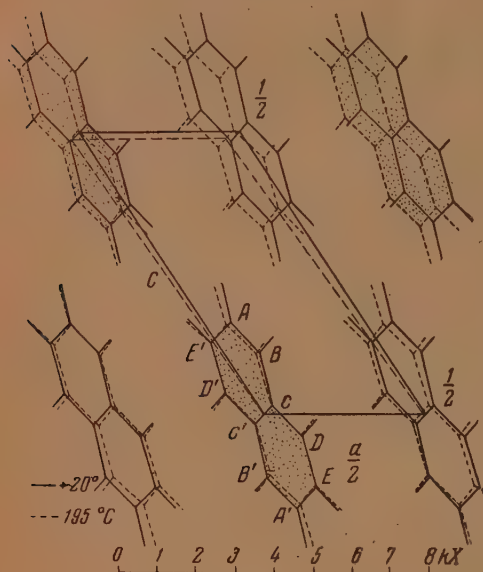


Рис. 3. Проекция молекул нафталина на плоскость  $ac$  кристалла для двух температур

Плотную упаковку молекул нафталина в кристалле можно представить в виде плотной упаковки [5] тождественных «слоев» молекул.

Основной слой состоит из молекул, центры тяжести которых расположены в плоскости  $ab$ . Следующие слои накладываются трансляцией вдоль оси  $c$  кристалла.

В плоскости  $ab$  молекулы образуют слой плотнее 2, а [1]—с координацией 6. Наложение слоев ведет к координации 12.

В соответствии с указанным представлением структуры в табл. 6 мы приводим данные об изменении минимальных межмолекулярных рас-

стояний. Вполне естественно, что уменьшение размеров элементарной ячейки произошло за счет сокращения межмолекулярных расстояний.

Для более полной характеристики упаковки молекул в кристалле нафталина мы считали целесообразным ввести в рассмотрение атомы водорода, находящиеся на расстоянии 1,08 кХ от связанных с ними атомов углерода. Рассчитанные координаты атомов Н приведены в табл. 5. Дальнейшим расчетом были найдены минимальные межмолекулярные расстояния  $H...H$  и  $C...H$ , и  $C...C$ .

На рис. 3 показана проекция молекул нафталина на плоскость  $ac$  кристалла. Пунктирными и сплошными линиями изображены положения молекул соответственно при температуре кристалла нафталина  $-195^\circ$  и  $+20^\circ$  С.

Таблица 5

Рассчитанные координаты атомов водорода

| Атом  | $x'$ (кХ)     |                | $y'$ (кХ)     |                | $z'$ (кХ)     |                |
|-------|---------------|----------------|---------------|----------------|---------------|----------------|
|       | $+20^\circ$ С | $-195^\circ$ С | $+20^\circ$ С | $-195^\circ$ С | $+20^\circ$ С | $-195^\circ$ С |
| $H_A$ | -1,05         | -1,2           | 0,37          | 0,37           | 3,37          | 3,30           |
| $H_B$ | 0,27          | 0,15           | 1,90          | 1,92           | 1,97          | 1,94           |
| $H_D$ | 1,34          | 1,28           | 2,42          | 2,40           | -0,19         | -0,15          |
| $H_E$ | 1,85          | 1,91           | 1,78          | 1,81           | -2,46         | -2,40          |



яний (Н...Н), (С...Н) и (С...С) при переходе от комнатной температуры к низкой.

Из рассмотрения межмолекулярных расстояний, данных в табл. 6, нашей точки зрения, можно сделать следующие заключения:

1. Сокращение среднего расстояния в слое между атомами Н...Н почти два раза больше, чем между атомами С...С (0,135 и 0,067).

Таблица 6

| АТОМЫ            | Межмолекулярные расстояния в кХ |        | Δ — сокращ. |
|------------------|---------------------------------|--------|-------------|
|                  | +20°С                           | —195°С |             |
| I. В слое        |                                 |        |             |
| Н...Н            | 2,923                           | 2,794  | 0,129       |
| Н...Н            | 2,936                           | 2,794  | 0,142       |
| С...Н            | 2,805                           | 2,780  | 0,025       |
| С...Н            | 2,975                           | 2,928  | 0,047       |
| С...Н            | 3,210                           | 3,110  | 0,100       |
| С...Н            | 3,225                           | 3,108  | 0,117       |
| С...С            | 3,608                           | 3,54   | 0,068       |
| С...С            | 3,795                           | 3,728  | 0,067       |
| II. Между слоями |                                 |        |             |
| Н...Н            | 2,408                           | 2,345  | 0,063       |
| Н...Н            | 2,740                           | 1,651  | 0,089       |
| Н...Н            | 2,695                           | 2,685  | 0,010       |
| Н...Н            | 2,842                           | 2,729  | 0,113       |
| С...Н            | 3,151                           | 3,082  | 0,069       |
| С...Н            | 3,210                           | 3,180  | 0,038       |
| С...Н            | 3,250                           | 3,180  | 0,070       |
| С...С            | 3,940                           | 3,870  | 0,070       |
| С...С            | 3,991                           | 3,955  | 0,036       |

2. С понижением температуры происходит процесс выравнивания межмолекулярных расстояний. Атомы, расположенные более тесно, сблизятся на меньшую величину.

3. В кристалле нафталина при низкой температуре средние межмолекулярные радиусы увеличены против обычных в органической кристаллической величин.

Повидимому, этим можно объяснить летучесть нафталина. Хотя при низкой температуре межмолекулярные радиусы также превышают средние в органической кристаллохимии величины на 0,07 кХ, но свойство летучести уже исчезает.

4. Уплотнение при переходе от комнатной температуры к низкой равно

$$\frac{+20}{-195} = 1,053.$$

5. Схему аддитивности межмолекулярных радиусов в нафталине показывает расстояние С...Н, равное 2,80. Это расстояние резко сокращено при комнатной температуре. Весьма интересно отметить, что это расстояние почти не изменилось при понижении температуры на 215°.

### ВЫВОДЫ

1. Произведено полное структурное исследование нафталина при температуре —195°С.

Построены трехмерные ряды и сравнены между собой координаты атомов и атомные функции для температур —195° и +20°С.

2. Анализ межатомных расстояний показал, что сокращение ячеек происходит благодаря изменению расстояний между разными молекулами.

3. При понижении температуры происходит процесс «выравнивания» межмолекулярных радиусов.

Академия наук СССР  
Институт элементоорганических соединений  
Москва

Поступила  
6.1V.1955

#### ЛИТЕРАТУРА

1. В. М. Кожин и А. И. Китайгородский, Журн. физ. химии, 27, 534, 1953.
2. S. C. Abrahams, J. M. Robertson and J. G. White, Acta Crystallogr. 2, 233, 1949.
3. А. И. Китайгородский, Т. Л. Хоцянови Ю. Т. Стручков, Журн. физ. химии, 27, 1490, 1953.
4. А. И. Китайгородский, Журн. техн. физики, 20, 397, 1950.
5. А. И. Китайгородский, Изв. АН СССР, серия физ., № 3, 265, 1946.

## ТЕОРИЯ ДИНАМИКИ ИОННОГО ОБМЕНА

## II. ДИНАМИКА ОБМЕНА ПРИ ВОГНУТОЙ ИЗОТЕРМЕ

*О. М. Тодес и В. В. Рачинский*

Ранее [1] нами было проведено исследование задачи динамики ионного обмена при константах обмена  $k < 1$ . Было показано, что при  $k < 1$  образуется стационарный фронт сорбируемого иона. Была также дана количественная характеристика скорости движения фронта, профиля фронта и его ширины. Проведенная в той же работе [1] экспериментальная проверка теоретических результатов при помощи радиоактивных индикаторов показала удовлетворительное согласие теории с опытом. При этом удалось получить ряд добавочных сведений о механизме кинетики сорбции на синтетических смолах в динамических условиях. На основе анализа полученной экспериментальным путем величины коэффициента скорости сорбции  $\beta$ , который для одновалентных ионов казался довольно большим (около  $0,7 \text{ сек}^{-1}$ ), было сделано предположение, что ионы могут вместе с потоком фильтрующего растворителя проходить сквозь набухшие зерна ионообменной смолы, благодаря чему путь диффузии ионов к местам сорбции будет значительно меньше диаметра зерен смолы.

В данной работе будет рассмотрена задача динамики ионного обмена при константах обмена  $k > 1$ .

Как уже было отмечено ранее [1], основным фактором, определяющим характер динамики сорбции при  $k > 1$ , являются неблагоприятные условия равновесия (вогнутая изотерма), при которых введенный в колонку ион будет сорбироваться слабее, чем вытесняемый ион. Согласно теории при  $k > 1$  должно происходить постепенное размытие фронта, даже если предположить наличие равновесного режима работы сорбционной колонки. Поскольку расширение фронта является основным явлением, характеризующим динамику ионного обмена при константе обмена  $k > 1$ , то проведем теоретическое исследование этого процесса подробнее.

Пусть имеется колонка ионообменного сорбента, и через нее с постоянной скоростью фильтруется раствор электролита. Пусть константа обмена обменивающихся ионов будет больше единицы. Совершенно очевидно, что в этих условиях насыщение верхнего слоя колонки будет происходить значительно медленнее, чем при  $k < 1$ . В соответствии с этим уже в начальной стадии динамики сорбции будет получаться сильно размытый фронт сорбируемого иона. Однако и при  $k > 1$  в некоторый момент времени насыщение самого верхнего слоя сорбента, наконец, должно наступить. Пусть кривая распределения сорбируемого иона в растворе по длине колонки в этот момент характеризуется кривой  $AB$  (рис. 1). Заметим, что кривые распределения сорбируемого и вытесняемого ионов на разных стадиях динамики сорбции могут быть рассчитаны методом исчисления конечных разностей, как это было сделано Е. Н. Гапоном и Т. Б. Гапон [2] и одним из нас [3]. Однако применение этого метода мы здесь не рассматриваем. Для упрощения поставленной задачи определения расширения фронта в первом приближении кинетику сорбции не будем принимать во внимание. Это можно сделать потому, что влияние статического фактора (вогнутая изотерма) будет более сильным, чем влияние кинетики. Итак, будем считать, что

процесс динамической сорбции при  $k > 1$  совершается в равновесных условиях, и поэтому система уравнений, описывающих этот процесс будет

$$\frac{\partial u}{\partial t} + u \frac{\partial u}{\partial x} + \frac{\partial N}{\partial t} = 0, \quad N = f(n), \quad (1)$$

где  $n$  — концентрация сорбируемого иона в растворе,  $N$  — концентрация иона в сорбенте, в тех же единицах,  $x$  — расстояние от начала колонки,  $t$  — время,  $u$  — линейная скорость потока раствора в колонке.  $N = f(n)$  — уравнение изотермы сорбции.

Из (1) следует, что скорость движения точки данной концентрации  $n$  определяется следующим уравнением:

$$v_n = \frac{u}{1 + f'(n)}, \quad (2)$$

Рис. 1. Расширение фронта при константе обмена  $k_{12} > 1$ .  $AA_1 = BB_1 = v_{n_0}t$ ;  $BC = v_0t$ . Расширение  $\zeta = B_1C = BC - BB_1 = (v_0 - v_{n_0})t$

где  $f'(n)$  — производная от уравнения изотермы по концентрации.

Легко показать, что в силу условий равновесия с такой же скоростью должна перемещаться вдоль колонки соответствующая равновесная концентрация иона в сорбенте  $N$ . Действительно, возьмем обратную функцию от изотермы:

$$n = F(N). \quad (3)$$

Подставляя ее в уравнение баланса (1), получим

$$v_N = \frac{uF'(N)}{1 + F'(N)}. \quad (4)$$

Так как  $F'(N) = 1/f'(n)$ , то и получаем, что  $v_N = v_n$ . Отсюда следует также, что и суммарная концентрация  $S = n + N$  будет перемещаться с такой же скоростью, т. е.

$$v_N = v_n = v_S. \quad (5)$$

Для расчета скорости движения точки данной концентрации мы должны теперь взять уравнение изотермы, которое для случая  $k > 1$  запишем в ранее принятом (1) виде:

$$N = \frac{N_0 n}{kn_0 - (k-1)n}, \quad (6)$$

где  $n_0$  — исходная концентрация иона в растворе,  $N_0$  — емкость поглощения сорбента. Подставляя производную по концентрации от этого уравнения в уравнение (2), получим искомую скорость:

$$v_n = \frac{u}{1 + \frac{kn_0 N_0}{[kn_0 - (k-1)n]^2}}, \quad (7)$$

или, обозначая  $n/n_0$  через  $y$ , а  $n_0/N_0$  через  $h$  (ионное отношение):

$$v_y = \frac{u}{1 + \frac{k/h}{[k - (k-1)y]^2}} < \bar{u}. \quad (8)$$



определим, с какой скоростью будут двигаться две крайние точки — точка  $y = 0$  и точка  $y = 1$ . Из (8) имеем

$$v_0 = \frac{hk}{1+hk} u, \quad (9)$$

$$v_1 = \frac{h}{h+k} u. \quad (10)$$

Условие размывания фронта можно записать следующим образом:

$$\frac{hk}{1+hk} > \frac{h}{h+k}. \quad (11)$$

Очевидно, возможно только при  $k > 1$ .

Таким образом,  $v_0$  представляет максимальную скорость передвижения точек фронта,  $v_1$  — минимальную скорость. Поэтому на величину  $v_y$  наложено следующее ограничительное условие:

$$\frac{h}{h+k} u \leq v_y \leq \frac{hk}{1+hk} u. \quad (12)$$

Скорость движения крайних точек фронта, можно рассчитать величину расширения фронта  $\zeta$  (рис. 1), определив ее как разность расстояний, пройденных точками  $y = 0$  и  $y = 1$  за время  $t$ :

$$\zeta = (v_0 - v_1) t = \left( \frac{hk}{1+hk} - \frac{h}{h+k} \right) ut. \quad (13)$$

Отсюда следует, что расширение фронта при константе обмена  $k > 1$  должно происходить с постоянной скоростью, зависящей от скорости потока, константы обмена и ионного отношения.

Так как  $u = \frac{\dot{V}}{Q}$  ( $\dot{V} = \frac{V}{t}$  — объемная скорость раствора в колонке,  $Q$  — свободное сечение колонки), то

$$\zeta = \left( \frac{hk}{1+hk} - \frac{h}{h+k} \right) \frac{V}{Q} t. \quad (14)$$

Поэтому скорость расширения фронта можно характеризовать также следующим уравнением:

$$\frac{\zeta}{V} = \frac{1}{Q} \left( \frac{hk}{1+hk} - \frac{h}{h+k} \right). \quad (15)$$

Аналогичное преобразование сделаем и для уравнения (8):

$$\frac{x_y}{V} = \frac{1}{Q} \cdot \frac{1}{1 + \frac{k/h}{[k - (k-1)y]^2}}, \quad (16)$$

где  $x_y/V$  характеризует скорость движения точки данной относительной концентрации внутри расширяющегося фронта. Как уравнение (8), так уравнение (16) показывают, что в условиях равновесного режима динамики сорбции каждая точка заданной концентрации будет перемещаться со своей характерной постоянной скоростью, тем меньшей, чем выше концентрация данной точки фронта.

Для экспериментального подтверждения существования установленных теоретическим путем закономерностей приведем результаты одного эксперимента, выполненного с применением ранее описанной методики

Для опыта была взята колонка К-обменной смолы КУ-2. Предварительно было установлено в статических условиях, что константа обмена  $k_{12}$  для системы  $K^+ \rightleftharpoons Na^+$  на смоле КУ-2 равна 1,4 ( $k_{K^+, Na^+} = 1,4$ ). Таким образом, исследование динамики обмена иона натрия на К-обменной

КУ-2 как раз должно соответствовать рассматриваемому случаю, когда  $k > 1$ . Динамические кривые распределения иона натрия вдоль колонки, полученные при помощи применения изотопной методики (в качестве индикатора применялся  $\text{Na}^{24}$ ), показаны на рис. 2.

Как видно из рисунка, можно считать, что область насыщения в верхнем слое сорбента образовалась при прохождении примерно 3 мл раствора ( $V = 3$  мл). С этого момента началось дальнейшее постепенное расширение фронта. Движение каждой точки фронта должно выражаться

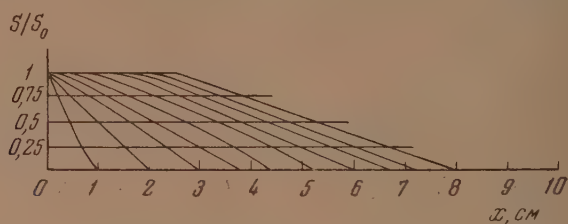


Рис. 2. Динамические кривые распределения меченого иона натрия в колонке К-обменной КУ-2. Раствор хлористого натрия с концентрацией 5 мг Na/мл вводился в колонку отдельными порциями по 1 мл. Всего в колонку введено 10 мл раствора.

уравнением (16). Однако это уравнение характеризует скорость движения точек данной концентрации равновесного раствора, находящегося в порах колонки. Как было показано выше [см. формулы (4) и (5)], это же уравнение справедливо и для характеристики движения точек равновесной концентрации иона в сорбенте  $N$ , а также и для точек суммарной концентрации  $S = n + N$ , поскольку все эти концентрации связаны между собой уравнением изотермы ионного обмена.

При помощи счетчика мы исследовали распределение суммарной концентрации меченого иона вдоль колонки, т. е. функцию  $s = f(x)$ . Однако, зная суммарную концентрацию иона в растворе  $n$  в сорбенте, легко по уравнению изотермы рассчитать концентрации  $n$  и  $N$  в отдельности, а затем, используя эти значения концентраций, по формуле (16) рассчитать смещения данной суммарной концентрации.

Покажем, как можно провести такой расчет.

Пусть дано значение суммарной концентрации  $S = n + N$ . Выразим  $S$  в долях от  $S_0 = n_0 + N_0$ . Для этого введем безразмерную величину

$$\xi = \frac{S}{S_0} = \frac{n + N}{n_0 + N_0}. \quad (1)$$

Если еще ввести безразмерную концентрацию  $z = N/N_0$ , а также воспользоваться уже введенными обозначениями  $y = n/n_0$  и  $h = n_0/N_0$ , то на основании (6) и (17) получим следующую систему уравнений с двумя неизвестными  $y$  и  $z$ :

$$z = \frac{y}{k - (k-1)y}, \quad (1)$$

$$yh + z = \xi(h + 1).$$

Решая эту систему относительно  $y$ , получим

$$y = \frac{B - \sqrt{B^2 - 4AC}}{2A}, \quad (1)$$

$$\begin{aligned} A &= h(k-1), \quad B = [hk + 1 + \xi(h+1)(k-1)], \\ C &= \xi k(h+1), \quad 0 \leq y \leq 1. \end{aligned} \quad (20)$$

рассматриваемом опыте величина ионного отношения  $h = 0,08$  и константа обмена  $k = 1,4$ . Если вычислить относительные концентрации  $y$  для трех значений  $\xi = 0,25; 0,5; 0,75$ , то получим следующие значения:  $0,31; 0,58; 0,81$  соответственно.

Чтобы определить теоретически скорость расширения фронта  $\xi/V$  и скорость движения каждой его точки  $x_y/V$ , согласно формулам (15) и (3), необходимо, кроме константы обмена и ионного отношения, еще знать площадь свободного сечения колонки.

Как было показано в предыдущем сообщении [1], для определения площади свободного сечения колонки необходимо сделать определенные предположения о механизме фильтрации раствора через колонку набухшей смолы. Мы, однако, поступим иначе: для расчета площади свободного сечения колонки используем экспериментальные динамические кривые распределения меченого иона натрия на колонке К-обменной КУ-2, представленные на рис. 2.

Для такого расчета можно было использовать формулу (15), характеризующую расширение фронта. Однако вследствие возможной неопределенности в определении крайних точек фронта определение ширины фронта также может стать недостаточно точным. Поэтому для нашей цели выгоднее воспользоваться формулой (16) и рассмотреть движение самых крайних точек фронта, а промежуточных точек, например, для которых  $\xi = 0,25; 0,5$  и  $0,75$  или соответственно  $y = 0,31; 0,58; 0,81$ .

Напомним, что мы рассматриваем закон расширения фронта на той стадии динамики сорбции, когда в самом верхнем слое колонки уже произошло насыщение сорбента новым ионом. Так как в данном опыте это произошло при введении примерно 3 мл раствора, то дальнейшее расширение фронта было обусловлено введением в колонку следующих порций раствора с общим объемом  $V = 7$  мл. На рис. 3 представлены графики движения  $x = f(V)$  трех указанных точек фронта при пропуске через колонку именно последних 7 мл раствора. Как видно, закон постоянства скорости движения точек расширяющегося фронта при  $k > 1$  соблюдается вполне удовлетворительно, и, таким образом, выдвинутое вначале предположение о том, что в случае вогнутой изотермы кинетический фактор может играть второстепенную роль, в данном случае экспериментально оправдывается. Переходим к расчету площади свободного сечения колонки. Согласно (16) имеем

$$Q = \frac{V/x_y}{1 + \frac{k/h}{[k - (k-1)y]^2}}. \quad (21)$$

По графикам на рис. 3 можно определить расстояние  $x_{0,31}$ ,  $x_{0,58}$  и  $x_{0,81}$ . При  $V = 7$  мл имеем следующее значение этих расстояний:  $x_{0,31} = 4,3$  см;  $x_{0,58} = 3,6$  см;  $x_{0,81} = 2,9$  см.

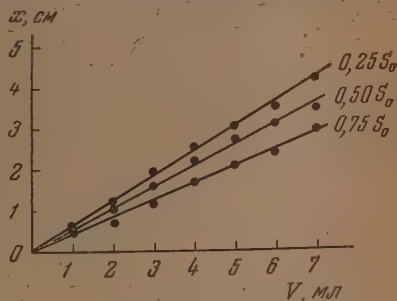


Рис. 3. Графики движения трех точек фронта меченого иона натрия  $S = 0,25S_0$ ,  $S = 0,50S_0$  и  $S = 0,75S_0$  в колонке К-обменной КУ-2. По оси абсцисс — объем вливаемого в колонку раствора, по оси ординат — смещение точек фронта в сантиметрах после введения в колонку 3 мл раствора

Если наряду с другими необходимыми данными подставлять эти значения в формулу (21), то должны получиться равные, конечно в пределах точности опыта, данные для величины  $Q$ . Вычисление дало следующие значения:  $Q = 0,14; 0,14; 0,16 \text{ см}^2$ , или окончательно:  $Q = 0,15 \pm \pm 0,01 \text{ см}^2$ .

Такое же значение площади свободного сечения колонки было получено в опыте при исследовании динамики сорбции иона натрия на Н-обменной КУ-2 [1], когда сорбция происходила при режиме параллельного переноса. Оно в точности соответствует предположению, что фильтрация раствора через колонку набухшей смолы происходит как через пространства между зернами смолы, так и сквозь их внутренние поры. Такой механизм фильтрации раствора обеспечивает сравнительно быструю кинетику сорбции, как это было установлено ранее [1]. Поэтому и не удивительно, что для таких сорбентов, как набухающие ионообменные смолы, даже при константе обмена  $k = 1,4$  (константа обмена очень близка к единице) влияние кинетического фактора практически незаметно.

Выяснив вопрос о площади свободного сечения колонки, теперь рассчитаем по формуле (15) расширение фронта:

$$\zeta = \left( \frac{0,08 \cdot 1,4}{1 + 0,08 \cdot 1,4} - \frac{0,08}{0,08 + 1,4} \right) \frac{7}{0,15} = 2,2 \text{ см.}$$

Как показывают динамические кривые распределения меченого иона натрия (рис. 2), начальная ширина фронта при  $V = 3$  мл была равна 3 см, а ширина фронта при  $V = 10$  мл равна  $\sim 5,5$  см. Таким образом, введение в колонку 7 мл раствора привело к расширению фронта примерно на 2,5 см, что удовлетворительно согласуется с теоретическим значением расширения, которое, как показал расчет, равно 2,2 см.

В заключение отметим, что при разработке более точной теории расширения фронта при  $k > 1$  необходим, конечно, учет и кинетики сорбции. Однако это уже более трудная задача. Ее необходимо разрешить в дальнейшем.

### ВЫВОДЫ

1. На основе теории равновесной динамики сорбции рассмотрена задача динамики ионного обмена при константе обмена  $k_{12} > 1$ .
2. Дан вывод формул скорости движения точек фронта с заданной концентрацией и формулы скорости расширения фронта при константе обмена  $k_{12} > 1$ .
3. При помощи радиохроматографического метода проведена экспериментальная проверка теоретических результатов. Исследована динамика ионного обмена иона  $\text{Na}^+$  на К-обменной смоле КУ-2.
4. Показано, что теоретическая и экспериментальная оценки скорости расширения фронта иона меченого натрия находятся в удовлетворительном согласии.
5. Получены новые экспериментальные доказательства сделанного ранее предположения о фильтрации раствора сквозь зерна ионообменной смолы КУ-2.

Сельскохозяйственная академия  
им. К. А. Тимирязева  
Москва

Поступила  
8.IV.1955

### ЛИТЕРАТУРА

1. О. М. Тодес, В. В. Рачинский, Журн. физ. химии, **29**, 1591, 1955.
2. Е. Н. Гапон, Т. Б. Гапон, Журн. физ. химии, **22**, 859, 979, 1948.
3. В. В. Рачинский, Журн. прикл. химии, **17**, 831, 1954.



# РАСПРЕДЕЛЕНИЕ ИЗОТОПОВ СВИНЦА МЕЖДУ КРИСТАЛЛАМИ И НАСЫЩЕННЫМ РАСТВОРОМ ИОДИСТОГО АММОНИЯ ПРИ ТЕМПЕРАТУРЕ 25°

*М. С. Меркулова*

Известно, что при кристаллизации галогенидов щелочных металлов растворов, содержащих изотопы свинца, последние сильно концентрируются в осадке [1]. Коэффициент кристаллизации  $K_f(D)$  является величиной постоянной, независимо от количества выделившейся твердой фазы.

Сокристаллизация изотопов свинца с кристаллами хлористого натрия хлористого калия изучалась О. Ханом и его сотрудниками. Так, ими было найдено, что при распределении ThB между кристаллами и раствором хлористого калия величина коэффициента кристаллизации  $K_f(D) = 58$  сохраняет постоянное значение при изменении концентрации изотопов свинца от  $1 \cdot 10^{-10}$  г на грамм-молекулу KCl до нескольких молекулярных процентов. Некоторые авторы полагают, что в данном случае происходит аморфное соосаждение, и механизм образования смешанных кристаллов сводится к замещению иона хлора в решетке галогенидов щелочных металлов комплексным анионом свинца [2]. Однако последнее весьма трудно допустить, так как комплексный анион свинца  $(PbCl_3)'$ , хотя и новалентный, по размерам намного отличается от иона хлора. Наиболее вероятным является предположение, что в данном случае имеет место образование аномальных смешанных кристаллов вследствие геометрического сходства кристаллов KCl и  $K[PbCl_3]$ , и замещение происходит на участках кристаллической решетки каждого из компонентов. Тогда при кристаллизации изотопов свинца с галогенидами щелочных металлов должна существовать нижняя граница смешиваемости [3]. В отсутствие и постоянство коэффициента кристаллизации  $K_f(D)$  можно объяснить тем, что образцы солей, с которыми проводили опыты О. Хан и его сотрудники, содержали всегда примеси неактивного свинца.

Вышеуказанное обстоятельство подтверждается тем, что обычные методы очистки KCl и NaCl от свинца, как, например, перекристаллизация и осаждение хлористоводородной кислотой, не приводят к желаемой цели. Следовательно, содержание свинца в растворе в опытах было выше концентрации, отвечающей нижней границе смешиваемости, и распределение ThB между кристаллами и раствором галогенидов щелочных металлов происходило по закону В. Г. Хлопина [4].

В последнее время появился ряд работ по исследованию электропроводности смешанных кристаллов NaCl— $PbCl_2$ , NaCl— $SrCl_2$  и т. д. [5], авторы которых дают другое объяснение захвату свинца кристаллами галогенидов щелочных металлов. Согласно их предположению, при кристаллизации в присутствии изотопов свинца соли типа NaCl захватывают ионы двухвалентного свинца вследствие чисто статистических причин, и при этом образуются места с искаженной решеткой. Ионы свинца становятся на место ионов натрия, но в силу их двойного заряда рядом с ними образуются пустые места, в которых катион вовсе отсутствует. Вытесненные ионы щелочных металлов остаются свободными в кристаллической решетке и обуславливают повышенную электропроводность смешанных кристаллов по сравнению с электропроводностью чистых солей. Кроме того, было показано [5], что число пустых мест (дислокаций) в решетке совпадает с числом примесных двухвалентных ионов. Если это предположение о

характере внедрения свинца в решетку кристаллов галогенидов щелочных металлов является правильным, то коэффициент кристаллизации  $K_{\phi}(D)$  должен оставаться постоянной величиной при данной концентрации распределяющегося вещества и не будет зависеть от присутствия в растворе многовалентных, легко адсорбируемых ионов. Но при увеличении концентрации распределяющегося вещества величина  $K_{\phi}(D)$  должна уменьшаться, так как в кристаллическую решетку может перейти только вполне определенное число ионов свинца. Подобные же закономерности должны наблюдаться и в том случае, если совместную кристаллизацию изотопов свинца с галогенидами щелочных металлов объяснять специфической адсорбцией ионов свинца на определенных плоскостях растущего кристалла [6].

Для выяснения причины сокристаллизации свинца с галогенидами щелочных металлов прежде всего представлялось необходимым провести изучение распределения изотопов свинца в точных условиях эксперимента, в условиях установления истинного равновесия между жидкой и твердой фазами, пользуясь методикой, разработанной В. Г. Хлопиным и его учениками [7].

Для выяснения вопроса об образовании аномальных смешанных кристаллов в случае соосаждения изотопов свинца с галогенидами щелочных металлов было необходимо приготовить исходные вещества, свободные от свинца, и изучить влияние концентрации изотопов свинца в растворе на величину коэффициента кристаллизации  $K_d(D)$ . Изучение зависимости величины коэффициента кристаллизации от концентрации распределяющегося вещества даст ответ сразу на два вопроса; существует ли нижняя граница распределения, характерная для образования аномальных смешанных кристаллов, и как изменяется значение  $K_d(D)$  при увеличении концентрации изотопов свинца в растворе.

Нами\* была выбрана система  $\text{NH}_4\text{J} - \text{PbJ}_2 - \text{H}_2\text{O}$ , так как подиистый аммоний может быть получен синтетическим путем в свободном от следов свинца виде и поэтому является наиболее подходящим объектом для выяснения характера захвата изотопов свинца галогенидами щелочных металлов, кристаллизующимися в структуре хлористого натрия. Как известно, галогениды щелочных металлов, кристаллы которых принадлежат по структуре к типу хлористого натрия, систематически захватывают при кристаллизации изотопы свинца; напротив, галогениды щелочных металлов, кристаллизующиеся в структуре хлористого цезия, или совсем не захватывают при кристаллизации изотопов свинца, или захватывают их весьма незначительно. Иодистый аммоний принадлежит к числу тех редких солей, которые, не изменяя своего состава, не давая гидратов кристаллизуются в двух различных кристаллических структурах — при тех же температурах —  $-17,5^\circ\text{C}$  в структуре хлористого цезия, и выше  $-17,5^\circ\text{C}$  в структуре типа хлористого натрия. Изучение распределения изотопов свинца  $\text{ThB}$  между кристаллами и раствором иодистого аммония было проведено нами при температуре  $25^\circ$ .

Для получения чистых препаратов иодистого аммония последний готовился синтетическим путем из газообразных аммиака и иодистого водорода. Необходимый для синтеза газообразный аммиак получался путем постепенного нагревания концентрированного водного раствора аммиака. Выделяющийся аммиак проходил через холодильник, затем поступал в промывную склянку и сульфидную колонку с твердым сорбентом окиси натрия. После этого аммиак подводился к приемнику, содержащему дважды перегнанную в кварцевом аппарате воду, охлаждаемую снегом.

Иодистый водород получался действием фосфора и воды на иод. Для этого в реторту с тубусом помещалось 100 г иода, смоченного 10 мл воды. В тубус реторты вставлялась капельная воронка, имеющая вместо крана длинную стеклянную палочку, припаянную к концу трубки. В воронку помещалось 5 г фосфора с 10 мл воды. Осторожным поднятием палочки вода с фосфором пропусклась в реторту. Выделяю-

\* Экспериментальная работа выполнена при участии Н. М. Матвеевича.

идийс иодистый водород для очистки от увлеченного иода проходил последовательно через две U-образные трубки, из которых первая была заполнена влажной смесью фосфора со стеклом, а вторая содержала небольшое количество воды. В приемнике иодистый водород и аммиак реагировали с образованием иодистого аммония. Раствор из приемника переливался в фарфоровую чашку и упаривался на водяной бане. При этом выкристаллизовывался иодистый аммоний, который после отфильтровывания, высушивался при температуре 110°C.

Для приготовления насыщенных растворов и во всех последующих химических операциях употреблялась дистиллированная вода, дважды перегнанная в кварцевом перегонном аппарате. Изотоп свинца ThB собирался на золотой пластинке в эманаторе. Пластинки ThB смывался небольшим количеством горячей азотной кислоты (1 : 1). Раствор кислоты выпаривался досуха, затем прибавлялось несколько миллилитров воды и производилось повторное выпаривание.

К полученному таким образом осадку добавлялось 15—20 г иодистого аммония и 20 мл воды, раствор подогревался на водяной бане и служил для приготовления насыщенного раствора иодистого аммония, содержащего ThB.

При проведении опытов в сосудики, снабженные обратным холодильником и металлкой, отweighивалось некоторое количество мелко измельченной твердой соли с таким расчетом, чтобы определенный процент иодистого аммония был в осадке, и туда же добавлялось 20 мл исходного насыщенного раствора иодистого аммония, содержащего известное количество ThB. Путем осторожного нагревания избыток твердой фазы переводился в раствор, сосудики помещались в термостат, где раствор энергично перемешивался при постоянной температуре 25° в течение 3 час. до полного слиятия перемешивания. Во избежание разложения иодистого аммония сосудики, в которых происходила кристаллизация, покрывались черным лаком. После окончания опыта осадку давали отстояться при той же температуре 25° и при помощи подогретой пипетки отбирались пробы раствора для анализа его на содержание микро- и макрокомпонентов.

Содержание иодистого аммония определялось иодометрическим методом. Изменение содержания ThB производилось на счетчике Гейгера — Мюллера через 6 час. после окончания опыта.

Результаты опытов по изучению распределения ThB между кристаллами иодистого аммония и его насыщенным раствором при температуре 25° даны в табл. 1.

Т а б л и ц а 1

Распределение ThB между кристаллами и раствором иодистого аммония при температуре 25°

| % $\text{NH}_4\text{I}$<br>в твердой фазе | % ThB<br>в твердой фазе | Коэффициент<br>обогащения | Коэффициент кри-<br>сталлизации<br>$K_{\text{ф}} (D)$ |
|---|-------------------------|---------------------------|---|
| 4,90                                      | 32,1                    | 6,55                      | 9,18  |
| 4,90                                      | 33,3                    | 6,80                      | 9,71  |
| 6,06                                      | 38,1                    | 6,29                      | 9,56  |
| 8,82                                      | 46,8                    | 5,30                      | 9,09  |
| 8,82                                      | 46,8                    | 5,30                      | 9,09  |
| 11,40                                     | 54,3                    | 4,76                      | 9,24  |
| 16,20                                     | 64,6                    | 3,99                      | 9,43  |
| 16,20                                     | 64,5                    | 3,98                      | 9,38  |
| Среднее                                   |                         |                           | 9,33  |

Опыты проводились с иодистым аммонием, свободным от примесей свинца (концентрация распределяющегося ThB порядка  $10^{-12}$  м-моль), поэтому в случае образования аномальных смешанных кристаллов мы должны были бы обнаружить наличие нижней границы смешиваемости. Если, по крайней мере, величина коэффициента кристаллизации ThB должна была бы иметь значения, близкие к нулю. Однако данные таблицы показывают, что распределение ThB между кристаллами и насыщенным раствором иодистого аммония происходит по закону В. Г. Хлопина, коэффициент кристаллизации имеет довольно высокую величину, равную среднему 9,33.

Таким образом в системе  $\text{NH}_4\text{J}-\text{PbJ}_2-\text{H}_2\text{O}$  не наблюдается нижний предел смешиваемости, столь характерный для образования псевдоили аномальных смешанных кристаллов.

Для решения вопроса, нельзя ли данный тип соосаждения отнести к соосаждению с образованием внутренне-адсорбционных систем, нами изучено влияние многовалентных ионов на величину коэффициента кристаллизации  $K_\Phi(D)$ .

В случае адсорбционного захвата микрокомпонента твердой фазой величина коэффициента кристаллизации резко уменьшается при добавлении к раствору легко адсорбирующихся многовалентных ионов.

Был приготовлен ряд насыщенных растворов иодистого аммония с различным содержанием алюминия в виде азотнокислой соли. Опыты проводились в тех же условиях, как и в предыдущем случае. Результаты опытов приведены в табл. 2, из которой видно, что величина коэффициента кристаллизации  $K_\Phi(D)$  не зависит от присутствия в растворе легко адсорбирующегося иона алюминия, и распределение изотопа свинца ThB между кристаллами и раствором иодистого аммония происходит по закону В. Г. Хлопина.

Таблица 2

Влияние присутствия ионов алюминия на коэффициент кристаллизации ThB между кристаллами и раствором иодистого аммония при температуре 25°

| Количество прибавленного Al в мг | % $\text{NH}_4\text{J}$ в осадке | % ThB в осадке | Коэффициент кристаллизации $K_\Phi(D)$ |
|----------------------------------|----------------------------------|----------------|--|
| 0                                | 4,9                              | 32,25          | 9,24                                   |
| 0,024                            | 4,9                              | 32,70          | 9,43                                   |
| 0,24                             | 4,9                              | 32,20          | 9,21                                   |
| 0,48                             | 4,9                              | 32,60          | 9,39                                   |
| 1,00                             | 4,9                              | 32,25          | 9,24                                   |
| 2,00                             | 4,9                              | 32,20          | 9,21                                   |
|                                  |                                  |                | Среднее 9,28                           |

Отсутствие нижней границы смешиваемости, постоянство и независимость коэффициента кристаллизации от посторонних примесей заставляют предполагать, что в случае сокристаллизации изотопов свинца с галогенидами щелочных металлов образуются истинные смешанные кристаллы. Но тогда коэффициент кристаллизации  $K_\Phi(D)$  должен сохранять постоянное значение в широком интервале концентраций распределяющегося вещества.

С целью выяснения зависимости коэффициента кристаллизации  $K_\Phi(D)$  в системе  $\text{NH}_4\text{J}-\text{PbJ}_2-\text{H}_2\text{O}$  от концентрации распределяющегося вещества было изучено соосаждение свинца с кристаллами иодистого аммония при различной концентрации изотопов свинца в растворе. Был приготовлен ряд насыщенных растворов иодистого аммония с различным содержанием свинца в виде азотнокислой соли. Опыты проводились в тех же условиях, в которых изучалось распределение ThB между кристаллами и раствором иодистого аммония в отсутствие свинца. Результаты опытов приведены в табл. 3.

Данные табл. 3 показывают, что коэффициент кристаллизации ThB в системе  $\text{NH}_4\text{J}-\text{PbJ}_2-\text{H}_2\text{O}$  при увеличении концентрации ионов свинца в растворе от  $3,4 \cdot 10^{-8}$  до  $3,4 \cdot 10^{-6}$  м-моль уменьшается в десять раз, что говорит против образования истинных смешанных кристаллов и делает



вероятным предположение о специфической адсорбции ионов свинца на определенных гранях поверхности кристалла, или о чисто статистическом захвате ионов свинца кристаллической решеткой галогенидов щелочных металлов.

В работе [5] делается предположение, что свинец входит в кристаллическую решетку в виде катиона  $Pb^{2+}$ , что вполне вероятно ввиду близости радиусов ионов  $NH_4^+$  (1,43 Å),  $K^+$  (1,33 Å)

$Pb^{++}$  (1,32 Å). Однако этому предположению противоречит то обстоятельство, что свинец в насыщенных растворах галогенидов щелочных металлов находится в виде комплексного аниона. Таким образом, данную систему нельзя отнести ни к одному из известных типов соосаждения, и поэтому должно быть продолжено дальнейшее исследование механизма образования подобных систем.

Зная зависимость коэффициента кристаллизации от концентрации изотопов свинца в растворе, представляло интерес посмотреть, какова будет величина коэффициента кристаллизации  $K_d(D)$ , если провести опыты с продажным химически чистым иодистым аммонием. Для очистки иодистый аммоний был дважды перекристаллизован. Опыты проводились тем же самым способом, как и в случае иодистого аммония, полученного синтетическим путем из аммиака и иодистого водорода.

Результаты опытов приведены в табл. 4.

Таблица 4

Распределение ThВ между кристаллами и насыщенным раствором дважды перекристаллизованного, продажного иодистого аммония при температуре 25°

| % $NH_4I$<br>в твердой фазе | % ThВ<br>в твердой фазе | Коэффициент<br>обогащения | Коэффициент<br>кристаллизации<br>$K_d(D)$ |
|-----------------------------|-------------------------|---------------------------|---|
| 3,54                        | 14,90                   | 4,20                      | 4,76                                      |
| 6,06                        | 24,20                   | 3,99                      | 4,95                                      |
| 6,06                        | 24,20                   | 3,99                      | 4,95                                      |
| 11,40                       | 34,80                   | 3,05                      | 4,14                                      |
| 16,20                       | 50,70                   | 3,13                      | 5,32                                      |
| 16,20                       | 48,00                   | 2,96                      | 4,78                                      |
| 22,50                       | 62,00                   | 2,75                      | 5,61                                      |
|                             |                         | Среднее                   | 4,92                                      |

Из табл. 4 видно, что средняя величина коэффициента кристаллизации равна 4,9. Отсюда можно сделать заключение, что содержание свинца в насыщенном растворе, приготовленном из химически чистого, перекристаллизованного иодистого аммония порядка  $10^{-5}$  г Pb в 1 мл.

### ВЫВОДЫ

1. Изучено при  $T = 25^\circ$  распределение изотопа свинца ThВ между кристаллами и насыщенным раствором иодистого аммония, приготовленного синтетическим путем в свободном от свинца виде.

2. Распределение изотопов свинца между жидкой и твердой фазами подчиняется закону, аналогичному закону В. Г. Хлопина, коэффициент кристаллизации  $K_d(D)$  имеет постоянное значение равное 9,3 и не зависит от присутствия в растворе легко адсорбирующихся ионов алюминия.

3. Показано, что в системе  $\text{NH}_4\text{J}-\text{PbJ}_2-\text{H}_2\text{O}$  нижняя граница смешиваемости отсутствует, и, следовательно, при соосаждении свинца с галогенидами щелочных металлов, кристаллизующимися в структуре  $\text{NaCl}$  не происходит образования аномальных смешанных кристаллов.

4. При увеличении концентрации распределяющегося вещества в растворе, величина коэффициента кристаллизации  $K_d(D)$  падает, что свидетельствует против образования истинных смешанных кристаллов и делает вероятным предположение о специфической адсорбции ионов свинца на определенных гранях поверхности кристалла или о чисто статистическом захвате ионов свинца кристаллической решеткой.

Московский государственный университет  
им. М. В. Ломоносова

Поступила  
1.V.1955

#### ЛИТЕРАТУРА

1. О. Хан, Прикладная радиохимия, ОНТИ, 1947, стр. 109.
2. H. Kading, Zs. phys. Chem., A, 162, 174, 1932; K. Lorenz, V. Hevesy, E. Wolff, Zs. phys. Chem. 76, 732, 1911.
3. В. Г. Хлопин и Б. А. Никитин, Zs. phys. Chem., A, 145, 137, 1929; В. Г. Хлопин и М. А. Толстая, Журн. физ. химии, 14, 941, 1940.
4. Э. М. Иоффе и Б. А. Никитин, Изв. АН СССР ОХН, № 1, 15, 1943. В. Г. Хлопин и М. С. Меркулова, ДАН, 65, 861, 1949; В. Г. Хлопин и М. С. Меркулова, ДАН, 71, 689, 1950.
5. C. Wagner a. P. Hantelmann, Journ. Chem. Phys., 18, 72, 1950; F. Seitz, Phys. Rev., 79, 890, 1950.
6. A. H. Booth, Trans. Farad. Soc., 47, 6, 663, 1951.
7. В. Г. Хлопин, Труды Радиового ин-та, 4, 34, 1938; В. Г. Хлопин и М. С. Меркулова, Радиохимия, Сборник работ МГУ, 1952.

## ДИСКУССИЯ

### О КАТАЛИТИЧЕСКОЙ КОРРОЗИИ

(В связи со статьей Кэртона и Туркевича [1])

*С. З. Рогинский, И. И. Третьяков и А. Б. Шехтер*

Начиная с 1947 г. нами систематически изучаются, с использованием метода электронно-микроскопических реплик, изменения, претерпеваемые поверхностью металлов при катализе, хемосорбции и нагревании [2, 3]. В этих работах было показано, что под действием катализируемой реакции поверхность массивных и плечочных контактов с самого начала работы подвергается значительным изменениям [4, 5], не прекращающимся и после 1000-часовой работы, и впервые была изучена детальная топография «разработки» катализатора [6].

Для иллюстрации мы приведем здесь один из электронно-микроскопических снимков поверхности металлического палладия после проведения на нем реакции окисления водорода, продемонстрированных в докладе на Конференции по катализу в 1947 г. в Москве [2] (рис. 1).

Для наблюдений за последовательными стадиями изменения поверхности металла мы разработали метод повторной съемки реплик с одного и того же субмикроскопического участка поверхности после проведения на ней химических превращений [7]. Этот метод позволил установить, что при открытом ранее [8] зональном характере «разработки» поверхности массивных металлов под действием катализируемой реакции (рис. 2) в пределах каждой зоны характер изменения структуры вполне однотипен, но может сильно отличаться для двух соседних зон [6] (рис. 3).

Дальнейшие опыты показали, что отдельные зоны, появляющиеся на поверхности палладия, представляют выходы граней кристаллитов поликристаллического образца. Это привело к выводу о разной легкости «разработки» при катализе граней разных индексов. Этот вывод был подтвержден прямыми опытами с электронно-микроскопическим исследованием изменения поверхности отдельных граней монокристаллов меди при нескольких каталитических реакциях [9].

Специальными систематическими опытами с прямым контролем за температурой поверхности катализатора было показано, что «разработка» не может быть следствием общего или локального нагревания поверхности в атмосфере отдельных компонентов реакционной смеси [4]. К тому же заключению приводит наблюдением нами «разработки» поверхности ряда металлов при эндотермической реакции [10] (рис. 4).

Указанные наблюдения и возможность интенсивной «разработки» в условиях, исключающих образование объемных твердых соединений при взаимодействии катализатора с реагирующей системой, привели к выводу, что в описанной группе явлений имеем дело с особой «каталитической коррозией» [10], вызываемой богатыми энергией активными промежуточными формами, появляющимися в системе при каталитическом процессе.

При продвинутом процессе каталитической коррозии вызванные ею изменения поверхности металла напоминают фигуры травления (рис. 5). Однако прямыми опытами показано отсутствие прямого уноса вещества [9] при «каталитической коррозии», в основе которой, по нашему мнению, лежит перераспределение материала рекристаллизации. Последняя осуществляется путем плоского ползания поверхностных атомов, вызванного катализируемой реакцией. Как показано нами в работах по электронно-микроскопическому изучению генезиса катализаторов, поверхностная миграция атомов играет выдающуюся роль в процессах приготовления простых и нанесенных катализаторов [11, 12] (рис. 6).

Измерения и расчеты показали, что даже при далеко зашедшей каталитической коррозии в наших условиях абсолютная величина поверхности в зависимости от глубины «разработки» изменяется всего лишь в 3 раза [13]. На примере платины было установлено, что рост каталитической активности предварительно активированных образцов, вызванный каталитической коррозией, соответствует наблюдаемому электронно-микроскопическому увеличению поверхности. Значительно более сильные изменения каталитической активности, наблюдающиеся при действии гремучей смеси на платину и палладий, обусловлены захватом кислорода и могут быть получены без видимого изменения электронно-микроскопического рельефа при поглощении металлом кислорода в пределах ниже 1 монослоя [14].

Детальное изучение структуры показало слоистость крупных террас (рис. 1 и 7), образующихся при «каталитической коррозии», со слоями до 200 Å [15]; тем самым была опровергнута концепция Графа [16] о существовании критических размеров ступенек в 5000 Å, основанная на изучении структуры в оптическом микроскопе.

Приведенная выше краткая сводка данных отнюдь не исчерпывает полученных нами результатов. В частности, наряду с «каталитической коррозией» электронно-микроскопически была исследована перестройка поверхности металлов при адсорбции кислорода и установлен характер изменения разработки поверхности платины при окислении аммиака под влиянием введения в последнюю стабилизирующих добавок родия (рис. 8). Мы считаем, что при всяком исследовании текстуры катализаторов «каталитическая коррозия» должна приниматься во внимание и что электронно-микроскопически нам удалось наблюдать ранние стадии разрушения массивных металлических контактов при длительной работе, хорошо известного в каталитической практике [17, 18]. Мы полагаем, что это разрушение является следствием далеко зашедшей «каталитической коррозии».

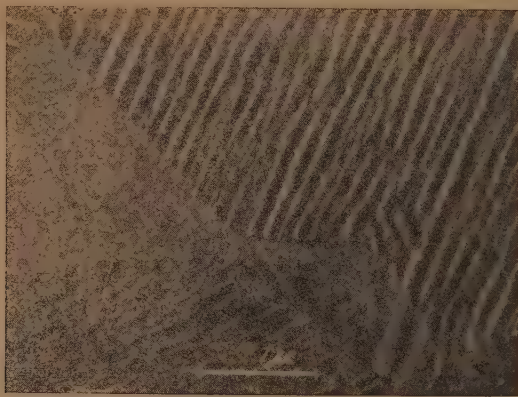


Рис. 9. Электронно-микроскопический снимок ступенек, образованных при разработке платины (рис. 4 в статье Кэртон и Туркевича [1])

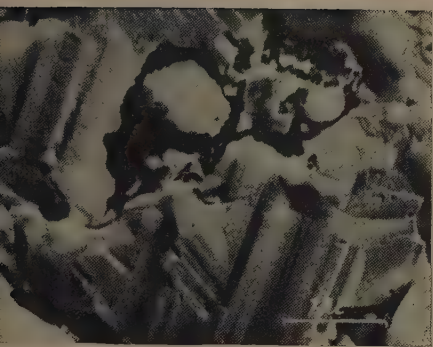
Как отмечалось в наших публикациях [6], изменения поверхности массивных моно- и поликристаллических контактов при каталитических реакциях успешно изучали оптическими методами Гватмей с сотрудниками [19, 20 и др.]. Однако низкая разрешающая способность световых микроскопов сильно ограничила их возможности.

В сентябрьском номере *Journal de chimie physique* за 1954 г. опубликована статья Кэртон и Туркевича [1]. В этой статье для одной частной системы (окисление аммиака на платине) описывается часть явлений и закономерностей, совпадающих с ранее установленными в наших работах для ряда систем (зональность разработки, выявление определенных кристаллографических плоскостей, слоистость уступов, невозможность объяснения изменения структуры термическим воздействием и др.). Кэртон и Туркевич вводят также совершенно идентичный с нашим термин «каталитическая коррозия» [10].

Поразительное сходство данных американских авторов с нашими ясно из сопоставления снимков рис. 9 и 10, взятых из их работы, с нашими снимками рис. 3, 6 и рис. 5.

Само по себе воспроизведение одними исследователями закономерностей, найденных другими, можно только приветствовать, как подтверждение реальности нового явления и правильности его интерпретации, но при этом желательно: а) упоминание о предшественниках и б) проведение работы в сравнимых условиях. К сожалению, авторы, повидимому, не знакомы с нашими работами, опубликованными в советских журналах, а также с изложением значительной части их в реферативных журналах *Chem. Abstracts* и *Chem. Zentralbl.* Не выполнено и второе условие, и поэтому не имеет смысла сопоставление результатов Кэртон и Туркевича с нашими данными невозможно, особенно из-за недостаточной определенности температурных условий в работе указанных авторов и несоответствия между увеличением электронных микрофотографий, приводимых ими в тексте, и масштабом, означенным на снимках.





1



5



4

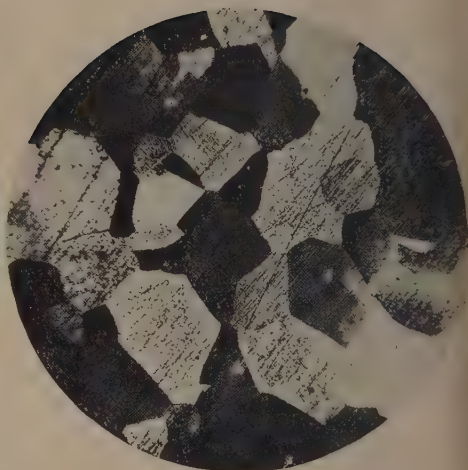
Рис. 1. Палладиевый катализатор после длительной работы при окислении водорода

Рис. 4. Поверхность гладкой платины после проведения на ней разложения аммиака при  $900^{\circ}\text{C}$  в течение 7 час.

Рис. 5. Фигуры травления, образовавшиеся на платиновом катализаторе после окисления водорода при  $600^{\circ}\text{C}$  в течение 102 час.

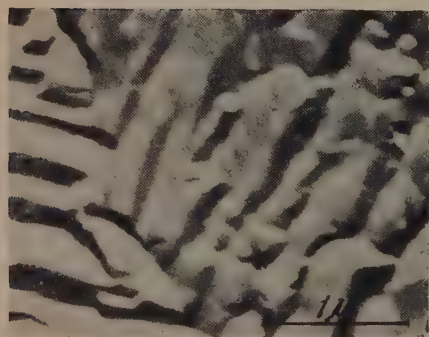


*a*



*б*

2



*a*

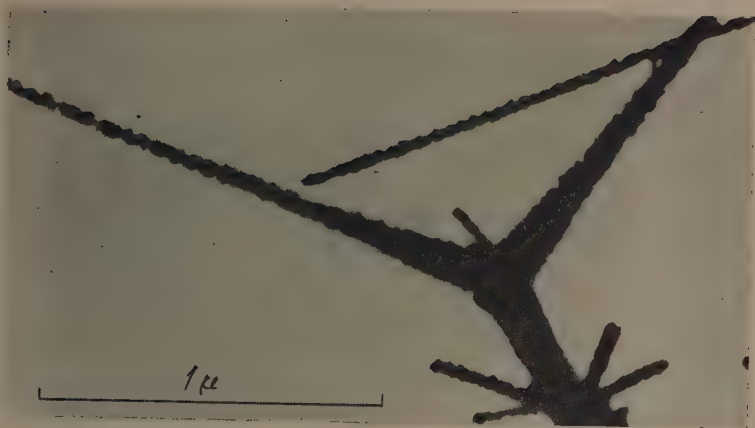


*б*

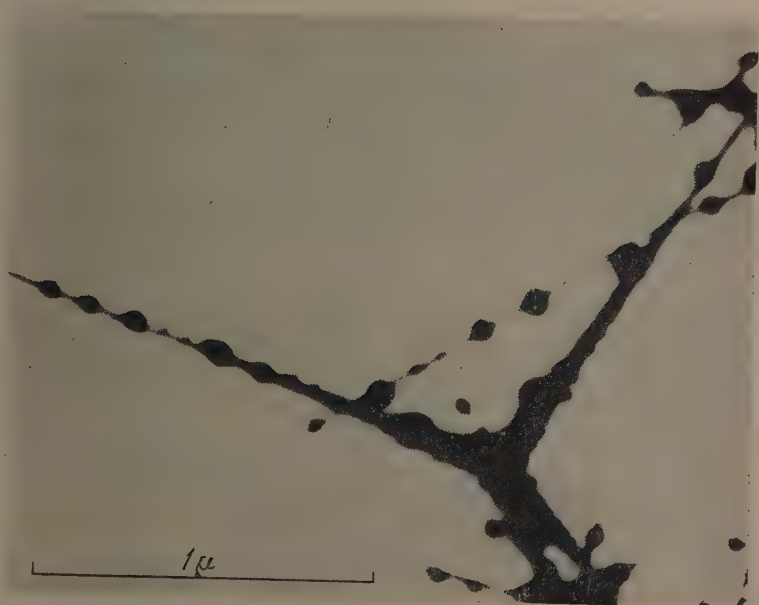
3

Рис. 2. Выявление структуры металла при каталитической коррозии: *a* — палладий после окисления водорода при  $500^{\circ}\text{C}$  в течение 10 час.  $\times 260$ ; *б* — платина после окисления аммиака при  $600^{\circ}\text{C}$  в течение 36 час.  $\times 170$

Рис. 3. Границы между различными зонами на поверхности работавшего катализатора: *a* — палладий после окисления водорода при  $450^{\circ}\text{C}$  в течение 20 час.; *б* — платина после окисления водорода при  $600^{\circ}\text{C}$  в течение 102 час.

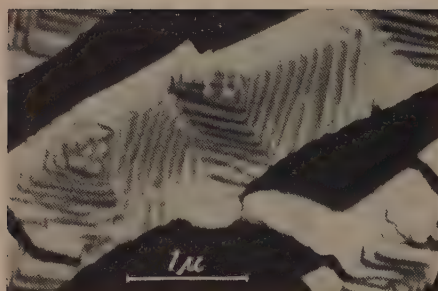


*a*

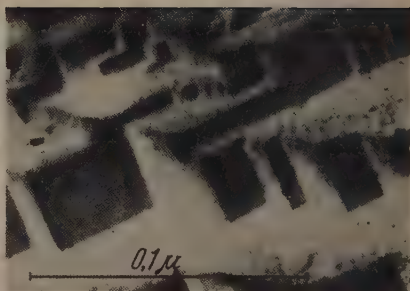


*б*

Рис. 6. Кристаллы окиси цинка с напыленным слоем золота: *a* — до нагревания; *б* — после нагревания на воздухе при 400° С в течение 1 часа



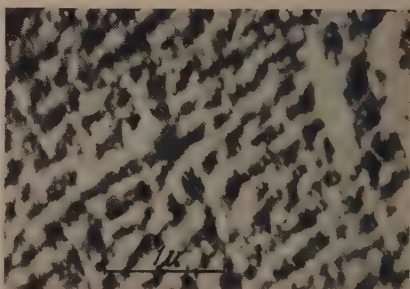
7



10



а



б

8

Рис. 7. Слоистость террас, образовавшихся на платине при окислении водорода в течение 440 час. при  $600^{\circ}\text{C}$

Рис. 8. Влияние добавок родия на каталитическую коррозию платины при окислении аммиака: а — чистая платина после 162 час. работы при  $600^{\circ}\text{C}$ ; б —  $\text{Pt} + 10\% \text{Rh}$  после 162 час. работы при  $600^{\circ}\text{C}$

Рис. 10. Электронно-микроскопический снимок зональной разработки платины (рис. 2 в статье Кэртон и Туркевича [1])



## ЛИТЕРАТУРА

- G. Carton, J. Turkevich, Journ. de chim. phys. et chim.—phys. biol., 51, 516, 1954.
- А. Б. Шехтер, Доклад на Всесоюзной конференции по катализу 15.V. 1947 г. (см. Сборник «Проблемы кинетики и катализа», т. VI, М., 1949 стр. 137). См. фотографию в книге С. З. Рогинского «Адсорбция и катализ на неоднородных поверхностях», М., 1948, стр. 8.
- С. З. Рогинский, И. И. Третьяков и А. Б. Шехтер, Журн. физ. химии, 23, 50, 1949.
- С. З. Рогинский, И. И. Третьяков и А. Б. Шехтер, Журн. физ. химии, 23, 1152, 1949.
- А. Б. Шехтер и И. И. Третьяков, Изв. АН СССР ОХН, № 3, 442, 1953.
- И. И. Третьяков, А. Б. Шехтер, ДАН, 66, 231, 1949.
- А. Б. Шехтер, И. И. Третьяков, ДАН, 72, 551, 1950.
- И. И. Третьяков, Канд. диссертация, И-т физ. химии АН СССР, 1954.
- С. З. Рогинский, И. И. Третьяков и А. Б. Шехтер, ДАН, 91, 881, 1953.
- А. Б. Шехтер, А. И. Ечеистова, И. И. Третьяков, ДАН, 68, 1069, 1949.
- А. Б. Шехтер, А. И. Ечеистова, И. И. Третьяков, Изв. АН СССР ОХН, № 5, 465, 1950.
- О. В. Крылов, С. З. Рогинский, И. И. Третьяков, ДАН, 91, 1353, 1953.
- О. В. Крылов, С. З. Рогинский, И. И. Третьяков, ДАН, 88, 293, 1953.
- С. З. Рогинский, И. И. Третьяков и А. Б. Шехтер, ДАН, 91, 1167, 1953.
- L. Graf, Zs. Elektrochem., 48, 181, 1942.
- Э. Райдили Г. Тейлор, Катализ в теории и практике, пер. под ред. А. А. Баландина, Госхимиздат, Москва, 1935.
- И. Е. Ададуров и П. Д. Диденко, Журн. прикл. химии, 7, 1339, 1934.
- A. T. Gwathmey, A. F. Benton, Journ. Phys. Chem., 46, 969, 1942.
- H. Leidheiser, A. T. Gwathmey, Journ. Amer. Chem. Soc., 70, 1200 1948.

## ХРОНИКА

СОВЕЩАНИЕ ПО ХИМИЧЕСКОЙ КИНЕТИКЕ, КАТАЛИЗУ  
И РЕАКЦИОННОЙ СПОСОБНОСТИ

В период с 20 по 24 июня 1955 г. в Москве проходила работа Совещания по химической кинетике, катализу и реакционной способности.

Свыше 550 человек ученых физико-химиков, химиков-органиков и неоргаников, съехавшихся из 31 города Союза, вместе с московскими химиками приняли участие в работе этого Совещания.

Впервые основные проблемы теории химического процесса обсуждались совместно в столь большом кругу химиков, работавших ранее без достаточного творческого контакта друг с другом.

Необходимость созыва такого Совещания назрела давно. Нужно было обсудить современное состояние теории, выявить основные направления ее развития, заострить дискуссионные вопросы. Поэтому повестка дня Совещания была предопределена лишь в самой общей форме — обсуждению подлежали вопросы химической кинетики, катализа и реакционной способности.

И. Н. Семенову было поручено подготовить вводный доклад, посвященный проблемам химической кинетики и реакционной способности.

В результате проведенной подготовительной работы к началу Совещания были изданы две книги: Доклад И. Н. Семенова «О некоторых вопросах химической кинетики и реакционной способности» (1954 г.) и сборник докладов (66 докладов) участников Совещания «Вопросы химической кинетики, катализа и реакционной способности» (1955 г.).

Оргкомитет изучил представленные материалы и сформулировал шесть основных вопросов, которые объединяют все поставленные в докладах конкретные вопросы.

Эти вопросы, сообщенные участникам Совещания председателем Оргкомитета В. Н. Кондратьевым в его вступительном слове при открытии Совещания, были следующие:

1. Элементарный акт химических реакций (реакции свободных атомов и радикалов, реакции ионов, взаимодействие молекул, комплексы, теория активированного комплекса).
2. Природа элементарного химического акта в связи со строением участвующих в нем частиц (реакционная способность), влияние среды.
3. Общие закономерности реакционной способности.
4. Общие кинетические закономерности гомогенных реакций, кинетика и механизм конкретных реакций.
5. Механизм каталитического действия.
6. Общие кинетические закономерности и кинетика конкретных гетерогенно-каталитических реакций.

По этим основным направлениям и развернулась дискуссия, в которой приняло участие свыше ста человек.

Ниже дается обзор выступлений участников Совещания. Естественно, что содержание докладов, опубликованных в упомянутых выше книгах, в этом обзоре не излагается.

В течение первых трех дней, с 20 по 22 июня, Совещание обсуждало доклады и вопросы, касающиеся элементарных актов химических реакций и реакционной способности соединений.

Совещание уделило большое внимание химии свободных радикалов и их роли в механизмах сложных химических превращений, в частности, в цепных реакциях. Как известно, высокая реакционная способность свободных атомов и радикалов делает эти частицы весьма распространенным типом активных промежуточных веществ. Поэтому рассмотрение основных типов радикальных реакций, вопросов активности радикалов различного строения вызвало значительный интерес у участников Совещания.

В докладах и выступлениях Л. И. Авраменко, Е. И. Тиняковой, И. А. Казарновского были сообщены новые данные по элементарным реакциям свободных атомов и радикалов с различными молекулами (реакции атомов кислорода с непредельными углеводородами; реакции свободных радикалов, содержащих серу, в процессах полимеризации; реакции свободного гидроксила и т. п.).

В выступлении В. В. Воеводского был поднят вопрос об усложнениях химии одновалентных радикалов. Обычно в простейших реакциях одновалентных радикалов обменные реакции, присоединение радикалов к кратной связи, распад радикала (образование молекулы с кратной связью и радикала) в элементарном акте затрагиваются три электрона. Однако, по всей вероятности, следует принимать во внимание и более сложные системы, в которых в элементарном акте взаимодействует большее число электронов, хотя и попрежнему нечетное (пять и семь электронов). Новое представление позволяет понять многие случаи перераспределения водорода в сложных неимических системах.

Новые типы элементарных процессов, повидимому, осуществляются в механизмах таких важных реакций, как крекинг углеводородов, окисление углеводородов и в других случаях.

Р. Е. Мардакелшвили говорил об экспериментальных обоснованиях представления о возможности изомеризации свободных радикалов (миграция свободной валентности). Наличие этого типа элементарных реакций позволяет во многих случаях понять химизм различных сложных химических процессов, в частности реакций окисления.

Б. А. Долгопосек выдвинул интересный тезис о влиянии поляризованности радикалов на их химические свойства.

Выступление Б. Л. Ерусалимского было посвящено рассмотрению элементарных реакций замещения, в которых свободный радикал осуществляет разрыв связи углевод — углерод, а также реакций присоединения алкильных и близких к ним радикалов по кратным связям.

В. Л. Тальрозе сообщил о работах, в которых при помощи масс-спектрометрического метода было доказано, что молекула при столкновении со свободным радикалом проявляет отсутствие сферической симметрии. Эта же методика позволила изучить элементарные реакции ионов-радикалов. Данный тип активных частиц имеет существенное значение для процессов радиационной химии и для газовых реакций в электрическом разряде.

Много внимания уделено реакциям бирадикалов, которые несомненно играют важную роль в механизмах разветвленных цепных реакций, а также в различных реакциях органической химии, в том числе фотохимических, как это особенно четко показано в работах А. Н. Теренина.

Повидимому, следует обратить большее внимание на реакции бирадикалов, чем это делалось до сих пор.

Хотя свободные радикалы и атомы и являются высокоактивными частицами, но все же реакционная способность их различна и зависит от различных факторов, в первую очередь от строения радикалов. Поэтому С. З. Рогинский выступил с требованием химической и кинетической конкретизации «свободных валентностей». Недифференцированное понятие валентных черточек на сегодняшнем этапе развития теоретической химии представляется уже несовместимым с тонкой дифференциацией связей, тонкими эффектами наложения и взаимных влияний отдельных групп в молекулах.

В выступлении А. Е. Шиловой указывалось, что во многих работах последнего времени проявляется тенденция к излишнему нагромождению гипотетических механизмов. Это обстоятельство имеет место и при рассмотрении механизмов элементарных актов в связи со строением реагирующих частиц. Отражая неуловительность таким положением дела, А. Е. Шилова высказал пожелание, чтобы особенности влияния строения реагирующих частиц выяснялись на примере тех элементарных реакций, которые в наибольшей степени достоверны.

Высокая активность свободных атомов и радикалов в реакциях с молекулами связана с малой энергией активации соответствующих элементарных процессов. Обычно эта величина заключена в интервале 0 — 10 ккал/моль, тогда как энергии активации молекулярных реакций во многих случаях достигают значений порядка половины энергии разрыва химических связей в молекулах реагирующих веществ. Неудивительно поэтому, что на Совещании с большим интересом обсуждались границы применимости и теоретические основания правила Поланьи, которое связывает энергию активации с тепловым эффектом элементарного акта.

Н. Н. Семенов подчеркнул, что для надежного определения тепловых эффектов нужны тщательно поставленные термодинамические опыты. В то же время имеет место и недостаточное развитие соответствующих исследований.

Соотношение Поланьи, по мнению Н. Д. Соколова, — это одна из основ, на которой возможно развитие исследований в области реакционной способности веществ. В то же время, как отметил Х. С. Багдасарьян, в настоящее время нет строгого теоретического вывода этого соотношения. Повидимому, правило Поланьи не соблюдается в тех случаях, когда в радикальных реакциях участвуют молекулы, обладающие резко выраженными электронно-донорными или электронно-акцепторными свойствами.

В. И. Веденев высказал мнение, что, пользуясь правилом Поланьи, можно корректировать литературные данные по энергиям диссоциации химических связей.

В своем выступлении А. Д. Степухович выразил опасение, что правилу Поланьи со временем будет угрожать опасность превращения в линейную интерполяционную фор-



мулу, если при помощи квантовой механики или других точных количественных методов оно не будет строго обосновано.

А. Н. Фрумкин обратил внимание, что правило Поланьи — это, по сути дела широко известное соотношение Бренстеда, которое применяется к реакциям, идущим с участием протона. В частности, ряд закономерностей в электрохимии может быть истолкован на основе применения к электрохимическим реакциям соотношения Бренстеда.

В. Н. Кондратьев во вступительном слове обратил внимание на совершенно недостаточное развитие у нас в Союзе работ по квантовой химии. О больших трудностях получения количественных решений квантово-механических задач в области химии говорил Н. Н. Семенов. Он высказался в пользу качественных выводов на основе квантово-механических представлений.

Вопросы теории активированного комплекса, дальнейшего развития и усовершенствования теории, а также критика некоторых направлений ее разработки были предметом выступлений А. В. Пальма и М. И. Темкина. Против концепции Н. Н. Семенова о преимуществах линейной структуры активированного комплекса возражал В. Н. Кондратьев. По мнению В. Н. Кондратьева, нелинейный комплекс обладает рядом преимуществ. В частности, возможна большая компенсация потерь, которые связаны с разрывом связей.

Зависимость реакционной способности радикалов от их строения и строения частиц, с которыми они реагируют, проявляется, в частности, в наличии определенных пространственных затруднений при осуществлении реакции. Эти затруднения находят отражение в стерическом факторе. Со стерическим фактором приходится считаться при расчете констант скоростей элементарных процессов. На Советании этому вопросу было посвящено выступление А. Д. Степуховича, который показал, что методом переходного состояния можно с успехом пользоваться для расчетов стерического фактора.

Для многих органических реакций, протекающих в жидкой фазе, весьма распространенным становится представление о ионе карбония, которому приписывается активное участие в механизме реакции. В ряде случаев пользуются также представлением о тримолекулярном комплексе. По вопросу о существовании иона карбония и его роли в реакциях органической химии возникла дискуссия, в которой приняли участие С. Г. Энтелис, Е. А. Шилов, М. И. Усанович, М. И. Винник, С. З. Рогинский и другие.

Повидимому, будет выработан согласованный взгляд на истинный механизм соответствующих реакций, так как представление о тримолекулярном комплексе включает в себя более детальное представление о ионе карбония. Кинетические закономерности таких реакций, как полимеризация изобутилена, гидратация и гидрохлорирование пропилена в присутствии кислотных катализаторов, как указал М. И. Винник, очень трудно объяснить, не прибегая к представлению о ионе карбония.

Однако во многих выступлениях высказывались пожелания о непосредственных экспериментальных доказательствах существования этого промежуточного соединения.

В выступлении Н. В. Фок был поднят вопрос о необходимости разработки надежных методов определения концентраций активных частиц в жидкофазных реакциях.

М. Б. Нейман отметил, что вопрос о роли растворителя в ионных реакциях на Советании почти не рассматривался.

В выступлении М. Г. Гоникберга было показано, что применение высокого давления для выяснения механизма химических реакций, в частности для установления роли растворителя в жидкофазных реакциях, весьма перспективно.

А. Н. Фрумкин посвятил свое выступление механизму элементарных актов взаимодействия между ионами в растворах. Он рассмотрел вопросы об электронных туннельных переходах и ускоряющем действии анионов.

Большое внимание было уделено обсуждению вопроса о роли комплексов в кинетике химических реакций.

Д. Г. Кнорре отметил, что в большинстве опубликованных работ, а также в докладах, представленных на Советании, рассматриваются обменные реакции комплексов. В этих реакциях происходит замена одного адденда во внутренней сфере комплекса на другой. Однако не меньшее значение имеют процессы, связанные с преобразованием адденда во внутренней сфере комплекса. Известно, например, что кислотность молекул воды, аммиака и др. значительно усиливается при попадании этих молекул во внутреннюю сферу комплексного иона. Подобные изменения свойств молекул не могут не сказываться на кинетике соответствующих реакций.

Е. А. Шилов обосновал существенную роль молекулярного донорно-акцепторного комплекса в механизме гетеролитических реакций.

В. Ф. Гачковский указал, что в литературе появилась точка зрения, согласно которой межмолекулярное взаимодействие в некоторых случаях осуществляется путем перехода атома кислорода в положительное ионизованное трехвалентное состояние. Существование атома кислорода в таком состоянии, повидимому, проявляется в спектральных свойствах молекул фталоцианина магния и хлорофилла. Было обнаружено образование весьма реакционноспособных комплексов адсорбирующего фталоцианина магния со многими молекулами (кислородом, хлором, иодом).



Влияние комплексобразования на реакционную способность связанных молекул подчеркнул А. А. Гринберг. Оказывается, что внутри комплекса может осуществляться омыление даже таких устойчивых соединений, как жирные амины.

Г. А. Шагисултанова сообщила некоторые результаты изучения изотопного обмена в бромилатах калия, причём была установлена зависимость реакционной способности растворенного вещества от времени нахождения его в растворе.

О роли промежуточных стабильных молекулярных комплексов в химической кинетике говорил В. В. Восводский. Значение комплексных соединений в каталитических реакциях в связи с ионным механизмом полимеризации было предметом выступления А. Л. Клебанского.

Выступая по вопросу об активности комплексов, В. Н. Кондратьев указал, что следует отличать заряженные комплексы от нейтральных. По всей вероятности, заряженные комплексы благодаря действию кулоновских сил должны быть более реакционноспособными. Не исключена возможность, что именно вследствие образования заряженных комплексов реакции в растворах идут иначе, чем в газовой фазе, где заряженные комплексы не образуются.

Во вступительном слове В. Н. Кондратьева и в выступлении Л. И. Авраменко говорилось о совершенно недостаточном развертывании работ в области теоретического и экспериментального изучения элементарных процессов. В. Н. Кондратьев считает, что в имеющихся исследованиях не уделяется должного внимания количественной характеристике элементарных процессов, в первую очередь определению констант скоростей. Л. И. Авраменко говорил о том, что мало фактов получается упорным трудом экспериментаторов и слишком много обсуждается надуманных гипотетических механизмов.

В выступлениях многих участников прозвучало требование комплексного использования различных современных физических и физико-химических методов для изучения элементарных процессов и механизма химических реакций. Среди этих методов были названы: кинетический метод, метод меченых атомов, радиоспектроскопия, метод магнитного резонанса, масс-спектроскопия и другие.

Интересно, что при обсуждении вопросов об элементарных химических процессах неожиданно возникла дискуссия по понятию, которое казалось вообще не дискуссионным. Речь шла о том, что следует понимать под термином механизм химической реакции. А. И. Бродский поставил вопрос: следует ли называть механизмом реакции совокупность всех элементарных стадий с полной их количественной характеристикой, или сведения о последовательности образования продуктов в сложных реакциях и о макроскопических стадиях также объединяются этим понятием? Принятие первой точки зрения сильнейшим образом суживает круг процессов, относительно которых можно говорить о каком-либо познании их механизма. Достаточно вспомнить хорошо изученную реакцию окисления водорода, чтобы увидеть, что и в этом случае мы еще не все знаем об элементарных ее стадиях. Для широких кругов химиков понятие механизм реакции связывается с получением сведений о том, какими путями осуществляется тот или иной процесс химического превращения. Степень детализации при этом может быть, естественно, разной в зависимости от уровня возможностей эксперимента.

В этой связи А. И. Бродский пропагандировал метод меченых атомов, который позволяет получить сведения о последовательности образования продуктов. Повидимому, необходимо ввести большую ясность в понятие «механизм реакции». В противном случае это понятие может стать применимым лишь к весьма ограниченному кругу исследований. Такие опасения были высказаны на Советании в ряде выступлений.

Во вступительном слове В. Н. Кондратьев сказал, что понятие «реакционная способность» должно перестать быть качественным понятием. На основе квантовой механики, используя представления электронной теории и теории валентностей, необходимо давать количественную кинетическую характеристику реакционной способности, т. е. константу скорости.

В выступлении А. И. Штенштейна было подчеркнуто большое значение, которое приобрели последние годы изотопы, как средство изучения реакционной способности. При применении сильных кислот и сильных оснований для изучения водородного обмена происходит обмен водорода в C—H связях многих органических веществ. Естественно, что для органических реакций наиболее существенны данные по обмену водорода, связанного с атомами углерода. А. И. Штенштейн обратил внимание, что водородная связь играет роль в изотопном обмене водорода. Он связал это обстоятельство с общим вопросом о роли водородных связей в кинетике химических реакций, который был поставлен в докладе Д. Г. Кнорре и Н. М. Емануэля.

Интересно, что исследование водородного обмена в неводных растворителях открыло новые перспективы в области получения полностью и частично дейтерированных соединений.

О реакциях изотопного обмена говорил также Я. М. Варшавский.

В докладе С. С. Васильева был изложен вывод уравнений кинетики цепных реакций, позволивший обнаружить особенности кинетических кривых в начальные моменты времени. С. С. Васильев критиковал возможность применения расчетной схемы Н. Н. Семенова к общему случаю цепного процесса.

М. М. Шемякин остановился в своем выступлении на вопросе таутомерии и двойственной реакционной способности, которому был посвящен доклад А. Н. Несмеянова и М. И. Кабачника. Указав, что данные понятия сформулированы четко, М. М. Шемякин говорит о трудностях, которые возникают при применении этих представлений к конкретным реакциям. В настоящее время еще трудно решить этот вопрос теоретически, и требуется экспериментально выяснить, какие типы соединений и в каких условиях способны к таутомерным превращениям, а в каких случаях проявляется двойственная (множественная) реакционная способность. Следует помнить, что в обоих случаях существенную роль играет природа реакционной среды и реагентов.

В выступлении М. И. Кабачника говорилось о том, что под двойственной реакционной способностью авторы доклада понимают хорошо известные в органической химии явления, при которых происходит образование двух рядов производных, соответствующих двум изомерным формам.

В ряде выступлений говорилось о полезности для химической кинетики и органической химии понятия переноса реакционного центра.

С возражениями против представлений А. Н. Несмеянова и М. И. Кабачника по поводу явлений двойственной реакционной способности и таутомерии, а также по поводу переноса реакционного центра, выступил М. И. Батуев.

Е. А. Шиллов расширяет работу Н. А. Несмеянова и М. И. Кабачника как попытку дать теорию реакционной способности, не прибегая к анализу детального механизма органических реакций, однако было бы лучше отправляться от конкретных представлений о механизме.

А. А. Петров выдвинул требование к физико-химикам по поводу теоретического обоснования органических реакций. В конкретной части своего выступления он указал, что реакции присоединения галогенов и подобных соединений к сопряженным системам не могут рассматриваться как ионные процессы, хотя это делают многие исследователи. Скорее, это — реакции между поляризованными молекулами. Существенное влияние на протекание таких реакций оказывают пространственные факторы.

А. Д. Петров говорил о влиянии сопряжения простых связей на реакционную способность органических соединений.

П. В. Зимаков отметил, что искажение валентных углов для атомов в молекулах должно иметь следствием изменение их валентных состояний и реакционной способности. Эту идею он иллюстрировал, рассматривая особенности химического поведения окиси этилена и циклопропана.

И. П. Цукерваник обратил внимание на необходимость изучения всех побочных продуктов любого органического синтеза, так как без этого мы не сможем выяснить истинный механизм изучаемого процесса.

В своем выступлении Г. В. Челинцев сказал, что, по его мнению, это совещание не имеет солидной базы, так как вопросы химического строения, поставленные на Совещании по теории химического строения, остались нерешенными.

О проблеме химической связи говорил также В. З. Алексеев.

В выступлении Г. В. Быкова была подчеркнута мысль о необходимости связывать изучение реакционной способности с изучением химического строения.

Н. Н. Семенов отметил, что возникающая дискуссия по вопросам строения молекул и «теории резонанса» находится вне программы Совещания.

Два заседания (утреннее и вечернее) 23 июня были посвящены обсуждению докладов и вопросов, касающихся кинетических характеристик и механизма гомогенных реакций.

Н. Н. Семенов предложил классифицировать химические реакции по следующим основным типам: радикальные, молекулярно-радикальные, ионные, молекулярно-ионные, молекулярные.

В связи с этим большое значение приобретает вопрос о конкуренции различных механизмов в конкретных химических процессах. Этот вопрос был предметом многих высказываний. Так, Г. Б. Сергеев указал, что часто идентификация активных центров той или иной цепной реакции и доказательство того, что реакция является цепной представляются весьма затруднительными. Однако можно привести примеры, когда кинетические закономерности позволяют однозначно определить тип реакции и выявить влияние строения на реакцию. Этот тезис иллюстрировался данными по распаду бромистых алкилов.

В связи с вопросом о конкуренции цепных, ионных и радикальных реакций В. В. Моисеев говорил о реакциях диенового синтеза.

С. З. Рогинский считает, что предложенные Н. Н. Семеновым шесть типов реакций не исчерпывают всех возможностей, реализующихся в действительности.

Большое выступление Я. К. Сыркина было посвящено вопросу о недооценке молекулярных реакций в химической кинетике. Идея о том, что радикальные реакции всегда выгоднее молекулярных, по его мнению — предвзятая. При помощи набора радикалов можно объяснить любые особенности сложной реакции. Докладчик считает, что необходимо пересмотреть вопрос об активированных комплексах в тех случаях, когда реагируют молекулы, и требует пересмотра понятия донорно-акцепторной связи. Он обращает внимание на факты снижения энергии активации в случаях, когда рвется слабая связь и возникает более прочная (реакция идет с большим тепловым эффектом, термохимия «помогает» кинетике). По мнению Я. К. Сыркина, школа Ингольда

лоупотребляет термином «атака». Эта школа придает решающее значение месту, где должна образоваться новая связь, что неверно, так как на энергии активации больше называется рвущаяся связь, нежели образующаяся.

О связи кинетических и термодинамических характеристик химических реакций говорил В. А. Тулузов.

Весьма интересным оказалось обсуждение вопроса о ионных реакциях. Д. Н. Куранов поднял вопрос о необходимости уточнения понятия ионных реакций. Химики-органики иногда понимают этот класс реакций в расширительном смысле. К ионным реакциям часто относится значительная группа гетеролитических реакций. Так, например, реакции электрофильного замещения в ароматической системе часто классифицируются как ионные процессы, хотя они идут без образования индивидуальных ионов через активированный комплекс. Механизмы реакций в жидкой фазе изучены более, чем в газовой. Д. Н. Куранов также остановился на вопросе о ионе карбония. Он считает, что ион карбония весьма существенен для понимания таких важных реакций, как вагнеровская перегруппировка, пинаколиновая, ретропинаколиновая и другие перегруппировки органической химии. По мнению Д. Н. Куранова, согласие кинетического материала с представлением о ионе карбония является важным химическим доказательством его существования.

Уточнения понятия «ионные реакции» требовала в своем выступлении также И. В. Сапожникова. Она возражала против механического переноса данных о азовых реакциях на кинетику реакции в растворах.

Следует также отметить обсуждавшиеся на Совещании вопросы общности механизмов ионных реакций в растворах и механизмов электрохимических процессов. Хотя непосредственный перенос представлений гомогенной газовой кинетики на область реакций в растворах далеко не всегда возможен, все же нельзя не отметить наличия интересных аналогий. Подобно тому как в кинетике газовых реакций известны случаи перехода активных центров, образующихся на поверхности сосуда, в объем, так и электрохимических процессах имеет место переход активных центров с поверхности электрода в объем раствора.

Во вступительном слове В. Н. Кондратьева было высказано соображение по поводу того, что кинетический метод зачастую понимается в ограничительном смысле. Весьма часто экспериментатор ограничивается снятием кинетических кривых для конечных продуктов и лишь изредка для промежуточных.

Однако, несмотря на справедливость этого замечания, все же не следует пренебрегать таким важнейшим начальным этапом кинетического изучения реакции, каким является снятие кинетических кривых.

С. З. Рогинский справедливо выразил сожаление по поводу того, что на Совещании слабо рассматриваются реакции неорганической химии. В неорганической химии есть большой материал, касающийся проблемы связи между строением и реакционной способностью. Недостатком Совещания также является отсутствие обсуждения проблем топохимических реакций. С. З. Рогинский обратил внимание на распространенность ионных механизмов в неорганической химии.

В этом же выступлении С. З. Рогинский высказал мысль о том, что в химической кинетике имеет место гипертрофия математических работ и, наоборот, недостаточный объем экспериментально-измерительных работ. Если вторая половина тезиса не вызывает сомнений и действительно необходимо резко увеличить объем экспериментальных исследований, то вопрос о преобладании расчетно-математических работ явился несколько неожиданным. Действительно, в последние годы математические работы в кинетике появились не столь уже часто. В то же время нужда в количественных теориях и расчетных формулах очень велика.

Поэтому участники Совещания с интересом выслушали Ю. С. Саясова, который говорил о математических методах решения систем кинетических уравнений, дающих макроскопическое описание кинетики соответствующих реакций. Ю. С. Саясов подробно остановился на методе квазистационарных концентраций Семенова — Боденштейна. Как известно, метод Боденштейна заключается в приравнивании нулю производных от концентраций всех активных центров сложной реакции. Н. Н. Семенов обобщил этот метод также на случай нестационарных процессов тем, что принял производную от концентрации наиболее медленно реагирующего центра не равной нулю. Этот метод позволяет сильно упрощать системы нелинейных кинетических уравнений, описывающих полный ход цепных реакций во времени с учетом выгорания исходных веществ. В математическом отношении такие упрощения системы кинетических уравнений и характер получающихся при этом приближений не всегда очевидны. Однако, как оказалось, характер приближений может быть проанализирован на основе общей теории систем обыкновенных дифференциальных уравнений с малым параметром при производных. Выяснилось, что метод применим к подавляющему большинству цепных реакций. Существуют лишь весьма немногие специальные случаи, когда метод не применим. Ю. С. Саясов указал на громоздкость математического аппарата, которым пользуется С. С. Васильев.

С. С. Васильев выступил с ответом на критику.

Выступление И. Ф. Бахаревой было посвящено приближенным способам решения систем нелинейных дифференциальных уравнений кинетики химических реакций.

Совещание показало, что необходимо развивать в более широком плане матема-



тические теории химической кинетики и работать над уточнением решений систем кинетических уравнений. Хотя Оргкомитет Совещания и принял решение в обсуждать вопросы макрокинетики, т. е. закономерности протекания химических процессов в реальных условиях, осложненных диффузией реагирующих веществ, теплопередатчи, все же это решение нельзя не признать недостатком в работе Совещания. Об этом недостатке говорила Л. И. Комарова.

К числу несомненных недостатков в работе Совещания следует также отнести отсутствие докладов и обсуждения проблем горения в связи с химической кинетикой. И хотя Оргкомитет также сознательно не вынес этот вопрос на обсуждение ввиду перегрузки Совещания другими теоретическими вопросами, об этом недостатке говорил многие участники Совещания. Так, А. С. Соколик подчеркнул необходимость более детального рассмотрения вопроса о низкотемпературном и высокотемпературном окислении углеводородов и холодном пламени. Необходимо создать теорию пламени, связанных с цепными реакциями. Советская наука имеет большие заслуги в области создания теории процессов горения, но сейчас фронт работ в области горения в связи с химической кинетикой у нас сузился.

А. И. Розловский посвятил свое выступление теории нормального распространения горячих пламен. Изучение нормальных скоростей распространения пламени является мощным средством изучения кинетики высокотемпературных процессов. Сейчас это направление работ, успешно развивавшихся Я. Б. Зельдовичем и Д. А. Франк-Каменецким, практически забыто.

В. И. Штерном были приведены данные о том, что холоднопламенная вспышка при окислении углеводородов является побочным процессом, накладывающимся на основной процесс окисления.

В выступлении Н. М. Эмануэля было сказано о том, что основная проблема химической кинетики — это проблема управления процессом химического превращения. В то же время на Совещании совершенно недостаточно было показано, каким образом на основе знания детального механизма реакций решаются задачи управления реакцией. Н. М. Эмануэль обратил внимание, что во многих сложных реакциях, в том числе в цепных, наряду с элементарными процессами отчетливо выступают макрокинетические стадии — совокупности элементарных реакций. Эти стадии бывают последовательными — разделяющимися во времени, параллельными — независимыми и сопряженными. Поэтому для эффективного управления процессом нужно воздействовать на процесс по его ходу, на разные макрокинетические стадии, т. е. изменять условия по мере протекания реакции (менять температуру, давление, состав смеси, вводить или удалять катализаторы, удалять те или иные продукты реакции, воздвигать или прекращать воздействие света, проникающего излучения и т. п.). В выступлении были приведены примеры, иллюстрирующие эффективность воздействий на процесс по его ходу, основанные на представлении о макрокинетических стадиях. В ряде случаев это представление по-новому позволяет рассматривать вопросы гомогенного положительного и отрицательного катализа, вопросы о предельных выходах продуктов в сложных реакциях и другие важные вопросы химической кинетики. Была подчеркнута мысль о том, что весьма часто начальный период цепных реакций играет особую роль в развитии процесса.

Выступление А. С. Шевлякова было посвящено макрокинетическим стадиям при полимеризации хлористого винила в водной среде. Им также были отмечены особенности инициирования в виде существования начальной макрокинетической стадии. Последовательность стадий была зарегистрирована путем измерения интенсивности тепловыделения. В отличие от окислительных реакций, о которых шла речь в доклад и выступлении Н. М. Эмануэля, в данном случае имеет место более сложная система и могут проявляться факторы изменения физического состояния (изменение растворимости, изменение внутренней вязкости полимерных макромолекул, фактор обращения фаз коллоидной системы и т. п.).

Н. С. Ениколопов подчеркнул, что в кинетике цепных реакций уделялось мало внимания изучению влияния и роли промежуточных веществ и конечных веществ на реакцию. Эти вопросы приобретают важную роль в связи с существованием в механизмах цепных реакций макрокинетических стадий. В частности, Н. С. Ениколопов напомнил, что теория «вырожденных разветвлений», предложенная Н. Н. Семеновым для объяснения медленного самоускорения цепных реакций окисления углеводородов, разрабатывается недостаточно. В то же время, как показал Н. С. Ениколопов, при помощи этой теории при ее дальнейшем развитии могут быть объяснены многие опытные факты.

О макрокинетических стадиях и особой роли начального периода при превращениях хлористых алкилов (на примере взаимодействия хлористого изопронида с нафталином) говорил Б. А. Кренцель. Он подчеркнул также необходимость исследований в области сопряженного гомогенного катализа.

Кинетические особенности, характерные для цепных реакций, включающих в своем механизме макрокинетические стадии, были отмечены К. А. Корневым для процесса хлорирования фенетол дихлорбензолсульфонамидом в дихлорэтано в присутствии в качестве инициатора диазоминобензола. К. А. Корнев говорил также о своеобразной природе предельных выходов продуктов в этой реакции и о механизме инициирующего действия в цепных реакциях.



К. С. Минскер рассмотрел начальный период полимеризации хлористого винила в присутствии кислорода в этом периоде. Молекулярный кислород оказывает неодинаковое влияние на реакцию полимеризации различных мономеров. Это действие зависит химической природы мономеров и условий проведения процесса.

В выступлении И. В. Березина был поднят вопрос о необходимости изучения кинетического поведения молекулярных промежуточных веществ в цепных реакциях. Иллюстрировал свою мысль примерами выяснения основных путей превращения молекулярных промежуточных веществ при окислении жидких углеводородов. Эти исследования проводились с применением радиоуглерода  $C^{14}$ .

М. Б. Нейман остановился на кинетическом методе применения меченых атомов. Этот метод ликвидирует противопоставления метода меченых атомов кинетическому методу. Метод позволяет делать выводы не только о макроскопических стадиях, но и о скоростях отдельных элементарных процессов.

Б. В. Ерофеев, рассматривая вопрос о механизме катализа процессов окисления жидкой фазе солями катионов переменной валентности, подчеркнул, что, строго говоря, мы имеем здесь дело не с катализом, а с химической индукцией.

Этот тезис развивается также в работах В. К. Цыковского, а также Г. Кюорре, Э. К. Майзус и Н. М. Эмануэля. Действительно, при окислении жидких углеводородов наблюдается начальная макроскопическая стадия валентных превращений катализатора, которая заканчивается выпадением катализатора в осадок. Между тем, несмотря на резкое уменьшение контакта субстрата с катализирующим веществом, на кинетических кривых не регистрируется соответствующего затормаживания процесса. Более того, не происходит существенных изменений на всех кривых (кроме перекисей) даже при полном удалении осадка катализатора из системы. Таким образом роль катализатора в основном сводится к участию в начальной макроскопической стадии, после чего он делается ненужным для дальнейшего развития процесса по катализированному режиму. Следовательно, рассматривая процесс в целом, мы имеем дело не с катализом, а с индукцией. О решающей роли начальной макроскопической стадии валентных превращений катализатора говорил также Е. Т. Зинисов. Им были сделаны интересные наблюдения, касающиеся роли различных валентных состояний в ходе начальной макроскопической стадии.

Не вполне понятным поэтому прозвучало выступление Н. И. Мицкевича, который сразу с сообщением интересного конкретного материала по действию катионов переменной валентности в реакциях окисления настаивал на приоритете по постановке вопроса о том, что в этих процессах мы имеем дело с индукцией, а не с катализом.

Повидимому, в вопросах химической индукции и гомогенного катализа следует вести строгую терминологическую определенность, соответствующую современному уровню наших знаний. Действительно, термин «катализатор» сейчас слишком часто употребляется при рассмотрении случаев явной химической индукции.

В. П. Кондратьев, а также Д. В. Сокольский и другие говорили о том, что область гомогенных реакций тесно переплетается с областью гетерогенного катализа и что имеет место искусственное разделение этих двух областей. Особенно отчетливо это сходство иллюстрируется существованием обширной группы гомогенно-гетерогенных процессов. Многие химические процессы имеют гомогенные и гетерогенные составляющие. Иногда такое переплетение гомогенных и гетерогенных процессов проявляется весьма демонстративной форме: такова, например, изученная А. А. Ковальским реакция восстановления сернистого газа окисью углерода. Эта реакция лишь инициируется гетерогенным катализатором, а в главной своей части протекает в объеме по цепному механизму. Многие гомогенно-гетерогенные процессы изучаются М. В. Поляковым. Д. В. Сокольский подчеркнул, что сходство гетерогенно-каталитических и гомогенно-каталитических реакций может быть хорошо проиллюстрировано на процессах переноса водорода.

Интересным является новое направление в области изучения кислотного гетерогенного катализа в тонких пленках кислот, которое развивается в работах Н. М. Чиркова с сотрудниками. По сути дела, по своему механизму эти процессы относятся к области гомогенных реакций в растворах. В механизмах этих реакций (образование изопропилового спирта, гидратация пропилена, гидрохлорирование пропилена, полимеризация изобутилена) существенная роль отводится ионам карбония.

В своем выступлении Г. П. Миклухин обратил внимание на тот факт, что на Соединения слабо представлены и недостаточно обсуждаются вопросы фотохимии.

В этом же направлении выступал А. А. Красновский, который подчеркнул, что фотохимия представляет собой мощный метод изучения механизмов сложных процессов. При фотохимическом воздействии подводятся определенные порции энергии, а удобные спектральные методы позволяют получать точную информацию о судьбе возбужденной молекулы и ее элементарных превращениях. А. А. Красновский рассмотрел вопрос о фотопереносе электрона при поглощении света, в результате чего образуются ионы и свободные радикалы. Этот интересный вопрос поднят также в докладе Б. Я. Даина.

Согласно теории А. Н. Теренина, под влиянием света возбужденная молекула может переходить в длительно живущее метастабильное триплетное, бирадикальное состояние. Роль бирадикалов во многих органических процессах весьма существенна. Вопрос о природе фотохимического акта при сенсibilизированных реакциях окисле-

ния подробно рассмотрен в докладе А. Н. Теренина. А. А. Красновский подчеркнул, что большой интерес представляет изучение реакций, идущих с «запасанием» энергии света в продуктах реакции. Эти реакции моделируют процесс фотосинтеза. Основе модельных окислительно-восстановительных реакций, идущих с «запасанием» энергии видимого света, поглощаемого пигментом — сенсибилизатором, лежит реакция обратимого фотохимического восстановления порфириновых пигментов и их производных. Как сообщил В. Б. Евстигнеев, при изучении фотохимии хлорофилла и других пигментов удалось обнаружить весьма лабильное промежуточное соединение хлорофилла, обладающее свойством иона-радикала.

Об окислении углеводов говорили И. В. Березин, Б. В. Суворов, В. Я. Штерн и другие. Много внимания было уделено рассмотрению реакций перекисного радикала и молекулярных промежуточных перекисных соединений.

Б. А. Долгопосек возражал Н. Н. Семенову в том, что ингибирующее действие при торможении процессов окисления связано с разрушением промежуточных перекисей.

С процессах полимеризации говорилось в выступлениях Е. И. Тияковой, которая рассмотрела роль свободных радикалов, содержащих серу, в связи с процессом вулканизации.

В. И. Иванов подчеркнул, что разработка химии полисахаридов ведется недостаточными силами, вследствие чего намечается определенное отставание в этой области органической химии.

В выступлениях М. С. Немцова, М. И. Усановича, М. М. Шемякина, С. Н. Данилова и других обсуждался механизм реакции Канниццаро.

Последний день работы Совещания, 24 июня, был посвящен обсуждению вопросов механизма каталитического действия и кинетики реакций гетерогенного катализа.

Во вступительном слове В. В. Воеводский охарактеризовал содержание докладов, представленных для обсуждения на Совещании. Он отметил, что основные вопросы изучения о катализе все еще не решены — среди них важнейший о природе каталитического действия. Далее В. В. Воеводский подчеркнул сходство между гомогенными и гетерогенными реакциями. Он говорил также о легкости образования свободных валентностей на катализаторе и возможности осуществления гетерогенных цепных реакций.

А. А. Баландин говорил о том, что наблюдается сближение различных точек зрения на катализ. Для того чтобы построить будущую теорию подбора катализаторов, сказал А. А. Баландин, — необходимо учесть и использовать все рациональные моменты, которые имеются во всех ныне существующих теориях катализа. Теория химического строения является обязательным фундаментом при построении теории подбора катализаторов.

Так же, как в первый день работы Совещания, возникла дискуссия о понятии «механизм реакции», так и в последний день в дискуссионной форме был поднят вопрос о понятии «катализ» С. Ю. Еловичем, который подчеркнул роль физической формы движения материи в катализе. В. Н. Кондратев, поддерживая этот тезис, предостерег, однако, от сведения химического движения к физической форме движения.

Наибольшую дискуссию вызвали положения, выдвинутые в докладе В. В. Воеводского, Ф. Ф. Волькенштейна и Н. Н. Семенова, касающиеся роли свободных валентностей в гетерогенном катализе.

В. А. Ройтер, соглашаясь с существованием на поверхности свободных радикалов, выразил сомнение в возможности развития гетерогенных цепных процессов на поверхности катализаторов.

В выступлении С. З. Рогинского была высказана точка зрения, согласно которой не следует в полной мере переносить представления гомогенной кинетики на область гетерогенного катализа. На этом пути возможны значительные трудности и неудачи. С. З. Рогинский указал, что в теории катализа часто отождествляли атом на поверхности с активным центром реакции. Однако, например, прямые опыты показали, что свободные атомы, посаженные на поверхность, утрачивали свою химическую активность. Очень важно знать, каково электрическое состояние молекулы на поверхности. Оказывается, что во многих случаях атомы у молекулы на поверхности заряжены, причем иногда заряд соответствует свободным ионам, а иногда наблюдается сильная поляризация. Отсюда возникает тенденция к сближению теории катализа с теорией электрохимических процессов. С. З. Рогинский подчеркнул также, что протекание сложных каталитических реакций трудно объяснить, если не принимать во внимание отмечаемое теорией А. А. Баландина соответствие геометрии катализатора и молекул реагирующих веществ.

Примером электрохимического механизма в гетерогенном катализе, как указал М. И. Темкин, является используемый в технике процесс каталитического окисления сероводорода на поверхности угля.

Понятие «свободной валентности» на поверхности катализатора было предметом выступления Ф. Ф. Волькенштейна. Он говорил о том, что необходимо раскрыть физическую природу валентной черточки, выяснить свойства «свободных валентностей», механизм их возникновения и исчезновения, выяснить, чем определяется их поверхностная концентрация. Ф. Ф. Волькенштейн сделал попытку для отдельных слу-



в проиллюстрировать физическую природу свободных валентностей на поверхности катализатора.

Как указал В. Л. Бонч-Бруевич, современная электронная теория адсорбции и катализа пока развивается в основном применительно к полупроводниковым адсорбентам и катализаторам, и в этих случаях уже достигнуто полуколичественное сравнение опытом. Однако дело обстоит сложнее со случаями катализа на металлах. Здесь также стоит задача выяснения природы свободной валентности на поверхности металла. Катализ металлами представляет значительный практический интерес.

В выступлении Д. В. Сокольского была высказана мысль, что на поверхности катализатора действует сумма свободных валентностей, определенным образом расположенных в пространстве. Поэтому при создании теории необходимо учитывать возможность группировки свободных валентностей на поверхности катализатора.

Г. К. Боресков отметил, что в цепной теории гетерогенного катализа сделана попытка ответить на вопрос, почему при гетерогенном катализе при прочих взаимодействиях реагирующих веществ с катализатором имеют место высокие скорости реакции. Он поставил вопрос о необходимости развертывания экспериментальных исследований для выяснения характера промежуточных взаимодействий. Г. К. Боресков обратил внимание, что наметилось дальнейшее развитие мультиплетной теории катализа. А. А. Баландина — четко сформулированы условия взаимодействия молекул реагирующих веществ с катализатором, дана более совершенная схема дубных процессов.

В выступлении Я. Т. Эйдуся было показано, что во многих случаях протекание реакций гетерогенного катализа трудно объяснить без допущения существования центров на поверхности катализатора.

О. М. Полтораки считает, что рассматриваемый в докладе идеальный кристалл полупроводника, вопреки утверждению авторов, не является каталитически активным, следовательно значительного увеличения числа активных центров при адсорбции неоднозначно.

Ю. А. Колбановский указал, что при анализе механизма элементарных актов гетерогенного катализа мало внимания было уделено участию в этих процессах ионов-радикалов. В то же время следует иметь в виду некоторые возможности образования ионов-радикалов.

В выступлении Г. А. Рудакова было указано, что на Совещании мало внимания было уделено кислотному гетерогенному катализу. Например, вовсе не обсуждался катализ на алюмосиликатных катализаторах, хотя он широко используется в практике. Г. А. Рудаков привел доводы против чрезмерной тенденции к тому, чтобы поставить знак равенства между гомогенным и гетерогенным катализмом.

На примере реакций каталитического восстановления ароматических нитросоединений В. П. Шмонина показала, что в гетерогенном катализе присутствие в молекуле специфических групп атомов, так же как и в гомогенных процессах, существенно влияет на реакционную способность соединений. Однако в гетерогенном катализе природа поверхности не всегда предопределяет эффект, который будет оказан на скорость реакции. Так, например, введение одной и той же группы атомов в молекулу может как замедлить, так и ускорить реакцию в зависимости от природы взятого катализатора и условий проведения реакции.

Кроме уже упоминавшихся выступлений о механизмах и кинетике конкретных процессов говорили В. А. Тулузов (о гидрировании гетероциклических соединений), Д. Любарский (о кинетике дегидрогенизации бутана) и другие.

В заключительной части последнего вечернего заседания 24 июня, которым закончилась работа Совещания, имел место ряд выступлений итогового характера.

Н. Н. Семенов указал, что Совещание имело ряд минусов: дискуссия не была в должной мере подготовлена, из-за обилия вопросов их нельзя было обсудить до конца. Однако выявился и ряд положительных моментов: Совещание подготовило широкое мнение физико-химиков, химиков-органиков и неоргаников, которое необходимо для дальнейшего коллективного рассмотрения важнейших вопросов теоретической химии; на Совещании было высказано много ценных мыслей, поэтому целесообразно дать материалы дискуссии; на Совещании выявилась тематика для более узких встречаний по конкретным вопросам.

Д. В. Сокольский предложил созвать Совещание о каталитических реакциях в растворах и гомогенному катализу.

В. А. Пальм указал на отставание в изучении кинетики гомогенных органических реакций и высказал пожелание, чтобы на химических факультетах университетов читался общий курс химической кинетики для всех студентов-химиков.

А. И. Бродский говорил о том, что узкие Совещания будут подготавливать тематику всесоюзных совещаний.

В выступлении О. А. Чалтыкяна было подчеркнуто, что, несмотря на имевшиеся недостатки, созыв Совещания был необходим. Нужно было ознакомить химиков с новыми направлениями, которые у нас сложились за последние два-три десятилетия. Большую ценность имели встречи между учеными в кулуарах совещания.

В выступлении акад. М. М. Дубинина была отмечена большая положительная роль Совещания, которое дало возможность ученым-химикам, работающим в области



химической кинетики, снова встретиться после долгих лет перерыва, восстановить прежние связи и наладить научный контакт между новыми кадрами ученых.

Вместе с тем в работах Совещания были и серьезные недостатки. Предполагалось, что новая форма предварительного опубликования докладов, представленных на Совещание, даст возможность всем хорошо подготовиться, изучить материалы и выступить в дискуссии с критическими замечаниями. К сожалению, этого не получилось. Повидимому, сыграло роль то обстоятельство, что мало кто из участников успел за короткий срок изучить солидный том Сборника докладов. Поэтому большей частью имели место выступления с небольшими докладами, содержащими новый оригинальный материал. В массе таких докладов оказались затерянными собственно дискуссионные выступления. М. М. Дубинин указал, что организованные при Отделении химических наук ученые советы по проблемам «Теория химического строения, кинетики и реакционной способности» и «Научные основы подбора катализаторов» должны обеспечить организацию новых совещаний в будущем. Эти же советы должны организовать согласованную работу химических учреждений Союза по разработке соответствующих проблем в рамках плана научно-исследовательских работ на 1956 г. и нового пятилетнего плана. Таким образом советы выполнят свою роль координирующих центров в развитии основных определяющих направлений теории химического строения, химической кинетики, катализа и реакционной способности.

*Н. М. Эмануэл*



## СОДЕРЖАНИЕ

|   |      |
|---|------|
| работы А. Н. Фрумкина и его школы в области поверхностных явлений и кинетики электродных процессов. (К шестидесятилетию со дня рождения академика А. Н. Фрумкина). П. А. Ребиндер, П. И. Долин, Б. Н. Кабанов . . . . . | 1746 |
| В. Охотин. Расчет вязкости силикатных стекол в интервале $10^8$ — $10^{10}$ пуазов . . . . .  | 1751 |
| В. Дерягин и З. М. Зорин. Исследования поверхностной конденсации и адсорбции паров вблизи насыщения оптическим микрополяризационным методом. II. . . . .  | 1755 |
| В. Воронов. О влиянии обратимого превращения на характер зависимости свойств системы от обобщенных сил. I. Основные уравнения для экстенсивных свойств превращающейся системы . . . . .                                 | 1771 |
| В. Горбачев и А. В. Шлыков. К вопросу о поверхностном натяжении кристаллического зародыша в растворе . . . . .  | 1777 |
| С. Палатник и А. И. Ландау. Исследование процессов, протекающих с изменением числа степеней свободы в многокомпонентных гетерогенных системах. I . . . . .  | 1784 |
| П. Морозов. О вычислении нулевых частот трехатомных симметричных гидридов и дейтеридов . . . . .  | 1804 |
| С. Свердлов и И. Н. Годнев. О применении нулевых приближений и парциальных частот для приближенного решения задачи о колебаниях в молекуле . . . . .  | 1807 |
| С. Заславский, С. Э. Крейн и Р. Н. Шнеерова. Исследование механизма действия антикоррозионных присадок к маслам методом радиоактивных индикаторов . . . . .   | 1815 |
| Г. Рысс и Т. А. Грибанова. Кинетика разложения иона фторсульфоната в водных растворах . . . . .   | 1822 |
| М. Флорианович и А. Н. Фрумкин. О механизме электровосстановления анионов на ртутном электроде . . . . .  | 1827 |
| В. Новиковский, Е. А. Укше и А. И. Левин. О связи между потенциалом нулевого заряда и физико-химическими характеристиками металлов . . . . .  | 1847 |
| В. Топчиева, К. Юн-Пин. Кинетика дегидратации этилового спирта и диэтилового эфира на окиси алюминия и алюмосиликатных катализаторах. II . . . . .  | 1854 |
| А. Измайлов и А. Г. Васильев. Исследование стеклянного электрода методом радиоактивных индикаторов . . . . .  | 1866 |
| А. Комаров и Е. А. Черникова. Влияние примесей некоторых гидроокисей на процесс дегидратации гидроокиси алюминия . . . . .  | 1876 |
| Н. Харин и Е. М. Лотменцева. Исследование динамики адсорбции смесей веществ из водных растворов на угле с применением радиоактивных индикаторов . . . . .   | 1883 |
| М. Кожин и А. И. Китайгородский. Низкотемпературные исследования структуры ароматических соединений. III. Кристаллическая и молекулярная структура нафталина . . . . .  | 1897 |
| М. Тодес и В. В. Рачинский. Теория динамики ионного обмена. II. Динамика обмена при вогнутой изотерме . . . . .   | 1909 |
| С. Меркулова. Распределение изотопов свинца между кристаллами и насыщенным раствором иодистого аммония при температуре $25^\circ$ . . . . .   | 1915 |

## Дискуссия

|   |      |
|---|------|
| З. Рогинский, И. И. Третьяков и А. Б. Шехтер. О каталитической коррозии. (В связи со статьей Картона и Туркевича [1]) . . . . . | 1921 |
|---|------|

## Хроника

|   |      |
|---|------|
| М. Эмануэль. Совещание по химической кинетике, катализу и реакционной способности . . . . . | 1924 |
|---|------|

# ИСПРАВЛЕНИЯ К СТАТЬЕ

## М. И. Темкина и А. Н. Фрумкина «К ВОПРОСУ ОБ ЭНЕРГИИ АКТИВАЦИИ РАЗРЯДА ИОНА ВОДОРОДА»

Журнал физической химии, 29, вып. 8, 1955

| Страница                   | Напечатано   | Должно быть  |
|----------------------------|--|--|
| 1515                       |  | Третья сноски***<br>должна быть второй**,<br>а вторая** третьей***   |
| 1519<br>[ф-ла (19)]        | $\tilde{\mu}_{e-} - \mu_{e-} = F\phi$  | $\tilde{\mu}_{e-} = \mu_{e-} - F\phi$  |
| 1521<br>- [ур-ние<br>(34)] | $Zn(тв.) + 2HCl(раств.) +$<br>$+ 2e^- (в Cu, присоед. к Zn) =$<br>$= ZnCl_2(раств.) + H_2$<br>$(газ) + 2e^- (в Cu, присоед.$<br>$к Pt, H_2)$ | $Zn(тв.) + 2HCl(раств.) +$<br>$+ 2e^- (в Cu, присоед. к Pt,$<br>$H_2) = ZnCl_2(раств.) + H_2$<br>$(газ) + 2e^- (в Cu, присоед.$<br>$к Zn)$ |
| [ур-ние<br>(35)]           | $\Delta \tilde{H}_{цепь} = \Delta H_{цепь} -$<br>$- 2F(\psi'' - \psi')$  | $\Delta \tilde{H}_{цепь} = \Delta H_{цепь} +$<br>$+ 2F(\psi'' - \psi')$  |

# ИСПРАВЛЕНИЯ К СТАТЬЕ

А. П. Пурмаль

## «О ВЫСШЕЙ ПЕРЕКИСИ ВОДОРОДА»

Журнал физической химии, 29, вып. 5, 1955

| Страница   | Напечатано           | Должно быть           |
|--|----------------------|-----------------------|
| 848<br>(21-я строка<br>сверху)                           | $(n-2) H_2O_2$       | $(n-2) H_2O$          |
| 849<br>(табл. 3,<br>вторая гра-<br>фа, первая<br>строка) | $0,85 \cdot 10^{-4}$ | $0,265 \cdot 10^{-4}$ |